

IV
60438

INSTITUTUL DE PETROL SI GAZE

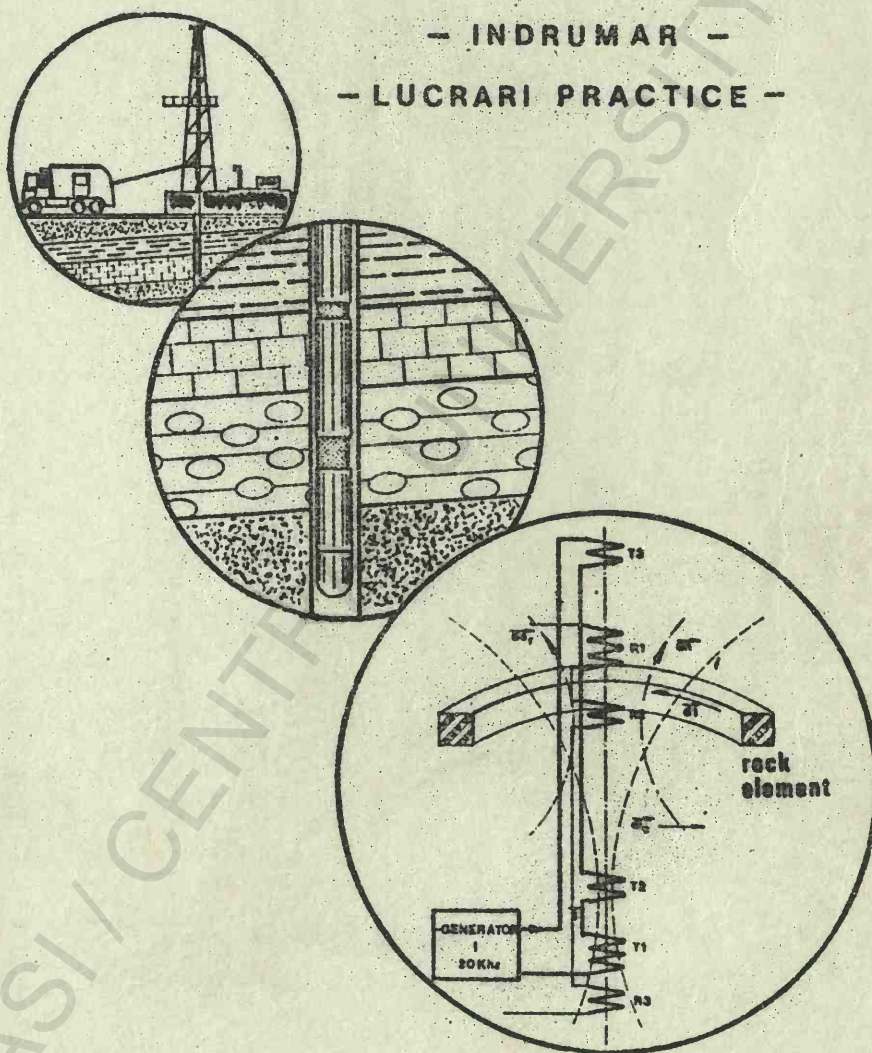
A. BABSKOW

I. MALUREANU

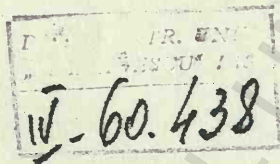
GEOFIZICA DE SONDA

— INDRUMAR —

— LUCRARI PRACTICE —



PLQIESTI 1986



p

INSTITUTUL DE PETROL SI GAZE

Dr.ing. Al. Babskow

Ing. I. Mălureanu

GEOFIZICA DE SONDA

- îndrumar lucrări practice -

311.720



286052

B.C.U. IASI

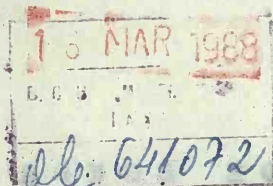
Ploiesti

- 1986 -

Referenți științifici:

Prof. dr. ing. Al. Soare

Conf. dr. ing. M. Ionescu



BABSKOV, A.; MĂLUREANU, I.

Geofizica de sondă ; îndrumar ;
lucrări practice / A. Babskow , I.
Mălureanu . - Ploiești : Institutul
de Petrol și Gaze, 1986 . - 173p.
multigr. & anexe : - (Institutul
de Petrol și Gaze) . -

Bibliogr. p. 170

550.83:622.2(075.8)

378-67:550.83:622.2

55.083 : 622.2 (076.5) = 59

622.2 : 55.083 (076.5) = 59

Dactilografiat: M. Goicea

Grafica: N. Goicea

INTRODUCERE

Geofizica de sondă face parte din geofizica industrială și cuprinde metodele de investigare, control tehnic, probare și deschidere a stratelor în timpul procesului de foraj și exploatare a sondelor.

Prin efectuarea unui complex de măsurători geofizice în sonde, atât în cele netubate, cât și în cele tubate și prin prelucrarea și interpretarea corespunzătoare a datelor obținute, se poate asigura rezolvarea unor probleme legate de procesul de foraj și exploatare a zăcămintului, cum sînt:

- studierea profilului geologic și litologic al stratelor traversate de sondă;
- corelarea geologică a profilelor de sondă;
- determinarea naturii stratelor geologice traversate de o sondă, a succesiunii acestora și a adîncimii la care se găsesc;
- determinarea naturii litologice și a proprietăților de colectoare ale stratelor geologice;
- evidențierea stratelor purtătoare de substanțe minerale utile: hidrocarburi, minereuri, cărbuni etc.;
- determinarea parametrilor necesari studiilor ingineresti asupra rezervoarelor;
- estimarea volumelor totale de hidrocarburi și a volumelor de hidrocarburi remanente și vehiculabile;
- controlul stării tehnice a sondelor în procesul de foraj și obținerea unor date necesare optimizării procesului de foraj;

II

- probarea rocilor colectoare pentru determinarea directă a conținutului de substanțe minerale utile;

- deschiderea stratelor după tubarea sondelor, în vederea punerii lor în exploatare, prin operația de perforare și alte aplicații.

Măsurătorile la sonde, pentru investigarea geofizică a acestora, se efectuează cu ajutorul unor utilaje speciale, montate de obicei pe două autovehicule (fig.I):

a) - autotroliul, pe care este instalat așa-numitul granic sau troliu cu un cablu geofizic necesar introducerii dispozitivelor de investigare în sondă și extragerii acestora;

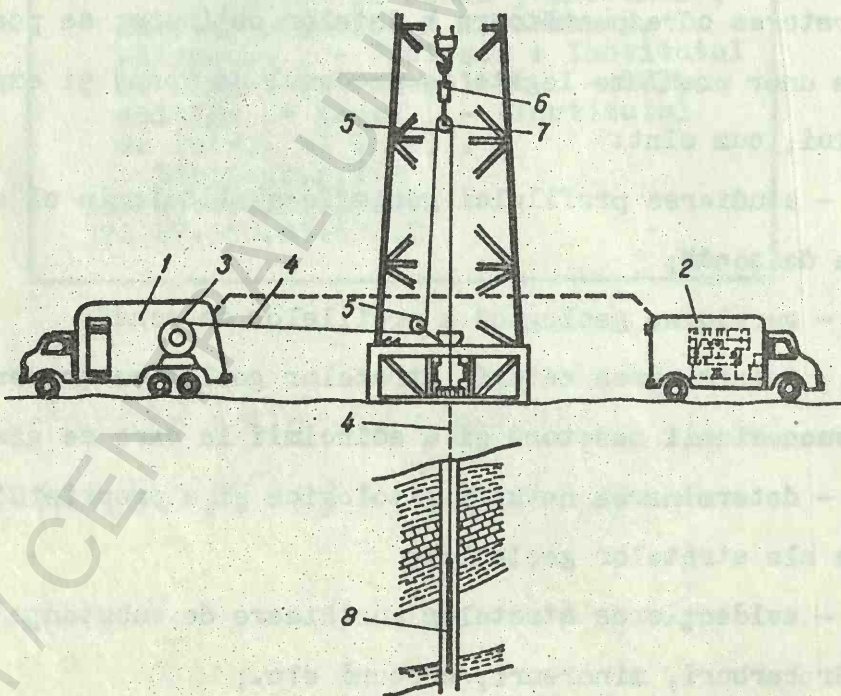


Fig. I. Utilajul pentru investigarea geofizică a sondelor:

- 1- autotroliu ; 2- autolaborator (stație de carotaj);
- 3- troliu cu cablu geofizic; 4- cablu geofizic;
- 5- role geamblac; 6- traductor de greutate;
- 7- motor sincron (selsin); 8- dispozitiv de sondă (electrodă).

III

- cablul geofizic sau cablul de carotaj utilizat pentru lansarea și extragerea dispozitivului de investigare este alcătuit din: unul, trei sau șapte conductori electrici, din cupru cu secțiunea de $0,5 \text{ mm}^2$, izolați cu cauciuc sau cu teflon avînd la exterior o armătură metalică compusă din două straturi din sîrmă de oțel, înfășurate în sensuri diferite pentru a asigura rezistență mecanică la întindere necesară operațiilor în sonde.

Conductorii electrici serveec la trimiterea curentului electric necesar alimentării dispozitivului de investigare și a semnalelor de măsură de la dispozitivul de sondă la echipamentul de suprafață.

b) - autolaboratorul sau stația de carotaj conține un ansamblu de aparatură și instrumente de măsură și control, care comandă, controlează și reglează funcționarea dispozitivelor de investigare introduse în sondă și totodată primește, prelucrează și redă semnalele primite de la dispozitivul de investigare. Stația automată cu-prinde următoarele părți componente:

- panoul de forță, care asigură alimentarea cu curent electric a tuturor elementelor stației;

- conexiunile exterioare la cablu, la sondă, la rețeaua electrică;

- panourile de bază necesare efectuării operațiilor de investigare geofizică, prin care sînt alimentate dispozitivele de investigare în vederea creării cîmpurilor de interacție și măsurare;

- canalele de prelucrare calibrată a semnalelor primite din sondă ca urmare a măsurării;

- camera fotoînregistratoare, pentru asigurarea înregistrării pe hîrtie sau film fotosensibil a parametrilor fizici măsu-

rați, în funcție de adâncime, obținându-se diagrama de carotaj sau diagrapia. Elementul de bază al camerei fotoînregistratoare este galvanometrul cu ajutorul căruia se efectuează măsurarea și înregistrarea parametrilor geofizici.

Elementul care se introduce în sondă se numește dispozitiv de investigare sau electrodă și este lansat cu ajutorul cablului geofizic pînă la limita inferioară a intervalului de investigat (de obicei pînă la talpa sondei). Parametrii măsurați se înregistrează, în general, în timpul extragerii cablului cu dispozitivul de investigare; doar unele înregistrări sînt efectuate în timpul introducerii dispozitivului (termocarotajul și termometria de sondă).

Utilajul de investigare mai este completat cu o serie de dispozitive auxiliare, cum sînt:

- rolele de geamblac, pentru ghidarea cablului la lansare și la extragere;
- traductorul (indicatorul) de greutate, folosit pentru măsurarea tensiunii mecanice în cablu, în timpul lansării și extragerii acestuia;
- motorul selsin (sincron), pentru transmiterea mișcării cablului la dispozitivul de înregistrare și marcarea a adâncimilor de înregistrare și altele.

Uneori, stația de carotaj este montată pe același vehicul cu trolu, iar la o serie de operații la sonde se utilizează numai autotrolu cu un panou de comandă mai simplu.

CAPITOLUL I

CAROTAJUL DE REZISTIVITATE APARENTA

1.1. Rezistivitatea rocilor

Parametrul fizic măsurat în metodele de rezistivitate pentru cercetarea sondelor este rezistivitatea electrică ρ . Rezistivitatea electrică caracterizează proprietatea rocilor de a conduce în grad diferit curentul electric și se definește ca rezistența electrică specifică raportată la un metru cub de rocă:

$$\rho = R \frac{S}{l} \quad (1.1)$$

în care:

- ρ este rezistivitatea,
- R - rezistența electrică $[\Omega]$,
- S - secțiunea transversală, $[m^2]$,
- l - lungimea conductorului, $[m]$.

Așa cum rezultă din relația (1.1) rezistivitatea se exprimă în ohm-metru $[\Omega m]$

Inversul rezistivității se numește conductibilitate electrică și se exprimă în Siemens/metru $[S/m]$. În geofizica de sondă se utilizează ca unitate de măsură $[mho/m]$

$$\sigma = \frac{1}{\rho} \quad (1.2)$$

Rocile se caracterizează printr-o gamă foarte largă de variație a rezistivității electrice și depinde de o serie de factori. Principalii factori care determină rezistivitatea unei roci sînt:

- a) compoziția mineralogică,
- b) porozitatea și conținutul în fluide,
- c) rezistivitatea fluidelor,
- d) conținutul în argilă, distribuția și rezistivitatea

proprie a materialului argilos,
e) temperatura.

a) Compoziția mineralogică a rocii. Rezistivitatea rocilor depinde de rezistivitatea mineralelor care formează scheletul mineral.

Dacă o rocă conține minerale cu conductibilitate electronică (pirită, magnetită, glauconit etc.) rezistivitatea ei va depinde de cantitatea acestor minerale și de distribuția lor în rocă.

În rocile sedimentare traversate în general de sondele forate pentru hidrocarburi, mineralele cu conductibilitate electronică se găsesc în cantități foarte mici, sub formă dispersată în masa rocii, în granule izolate între ele, astfel că influența lor asupra rezistivității este mică.

Principalele roci colectoare de hidrocarburi sînt rocile poroase-permeabile, silicioase (nisipuri și gresii) și carbonatate (calcare, dolomite, anhidrite). Mineralul preponderent care formează scheletul mineral al nisipurilor și gresiilor este SiO_2 , iar pentru rocile carbonatate CaCO_3 . Cele două minerale nu sînt bune conductoare de electricitate, rezistivitatea cuarțului și a calcitului fiind de aproximativ $10^7 \Omega \text{ m}$.

Rezultă că scheletul mineral al rocilor colectoare de hidrocarburi este rău conducător de electricitate, conductivitatea acestora fiind conferită de fluidele conținute în spațiul poros.

b) Porozitatea și conținutul în fluide. Porozitatea, m , este raportul dintre volumul spațiului poros V_p , și volumul total al rocii V_t , exprimat în procente

$$m = \frac{V_p}{V_t} \cdot 100 \% \quad (1.3)$$

Porozitatea condiționează volumul de fluid conținut de rocă. Rocile poroase-permeabile conțin în spațiul poros fie hidrocarburi și apă de zăcămint (apa interstițială), fie numai apă de zăcămint (fig.1.a și 1.b). Cantitatea de apă S_a (saturația în apă) respectiv cantitatea de hidrocarburi S_h (saturația în hidrocarburi) va fi egală cu

$$\left. \begin{aligned} S_a &= \frac{V_a}{V_p} \\ S_h &= \frac{V_h}{V_p} \end{aligned} \right\} \quad (1.4)$$

unde:

V_a este volumul de apă din spațiul poros și

V_h - volumul de hidrocarburi.

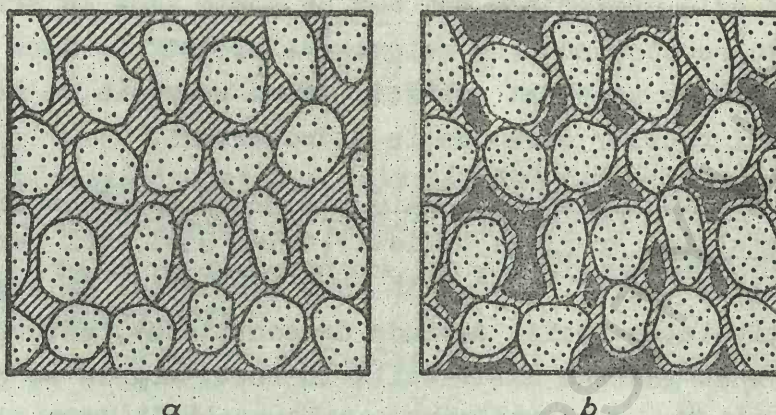
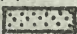




Fig.1 - a. Rocă hidrofilă cu apă ; b. Rocă hidrofilă cu hidrocarburi -  matrice ;  apă de zăcămint ;  hidrocarburi

Volumul de fluid din pori va fi:

$$S_a + S_h = \frac{V_a + V_h}{V_p} \quad (1.5)$$

Rocile colectoare de hidrocarburi sînt roci umede avînd întreg spațiul poros umplut cu fluide. Atunci $V_a + V_h = V_p$, deci

$$S_a + S_h = 1 \quad (1.6)$$

Rocile poroase permeabile au o conductibilitate ionică, datorită fluidelor ce umplu porii lor, scheletul mineral fiind rău conducător de electricitate.

c) Rezistivitatea fluidelor din pori. Rocile poroase-permeabile pot conține hidrocarburi și/sau apă de zăcămint. Cum petrolul și gazele sînt izolatori aproape perfecți (rezistivitatea petrolului = $10^9 - 10^{16} \Omega m$) fluidul care conferă conductibilitatea electrică a rocii este apa de zăcămint.

Apele de zăcămint sînt soluții electrolitice de săruri, predominînd în general NaCl. În soluție moleculele acestor săruri disociază în cationi și anioni care permit o conducție electrolitică a curentului electric. Despre rezistivitatea apei de zăcămint se va reveni în capitolul II.

Este evident. că, rezistivitatea unei roci poroase este dependentă atât de cantitatea de apă conținută în spațiul poros cât și de rezistivitatea acesteia.

Din cele prezentate mai sus se poate face în primă etapă o apreciere asupra conținutului colectoarelor astfel: dacă o rocă este saturată cu apă de zăcămint rezistivitatea acesteia va fi mai mică decât în cazul rocilor care conțin hidrocarburi.

d) Conținutul în argilă, distribuția și rezistivitatea proprie a materialului argilos: Rezistivitatea unei roci este afectată de conținutul în argilă. Gradul în care conținutul în argilă influențează rezistivitatea rocii, depinde de cantitatea, natura chimică și forma în care se găsește distribuită în rocă. Argila se poate întâlni sub formă laminară, diseminată sau structurală (fig.2).

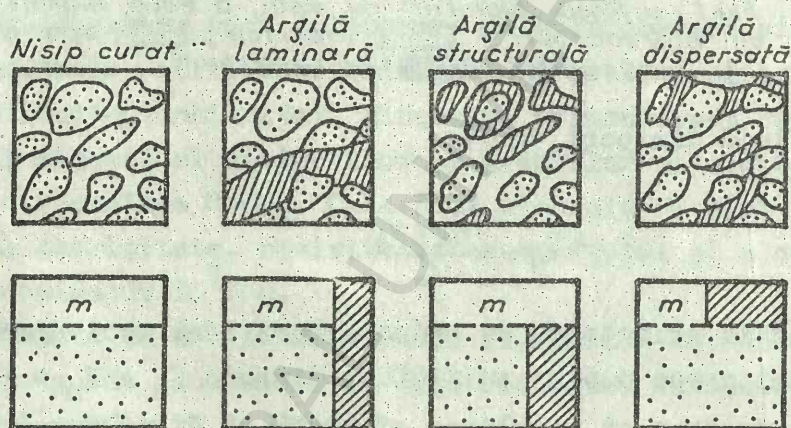


Fig.2. Modul de distribuție a argilei în roci
[dots] Schelet mineral; [diagonal lines] Argilă; [m] Spațiu poros.

Rezistivitatea unei roci argiloase scade cu creșterea conținutului în argilă, deoarece argila acționează ca un element conducător adițional la cel dat de apa din spațiul poros. Conductivitatea argilei se explică prin hidroliza parțială a mineralelor argiloase și disocierea în ioni a produselor hidrolizei care conferă argilei o conductivitate proprie.

e) Temperatura. Rezistivitatea electrică a unui electrolit și, prin urmare și a rocii care îl conține, este influențată de temperatură, prin modificarea mobilității ionilor din soluție, astfel că, la creșterea temperaturii crește mobilitatea ionilor din electrolit și prin urmare conduce la scăderea rezistivității rocii. La scăderea temperaturii fenomenul este invers, adică pentru același electrolit scade-

rea temperaturii va determina o creștere a rezistivității. Variația rezistivității unui electrolit de concentrație constantă cu temperatura este dată de relația

$$\rho^{T^{\circ}\text{C}} = \frac{\rho^{20^{\circ}\text{C}}}{1 + \alpha_f (T^{\circ}\text{C} - 20^{\circ}\text{C})} \quad (1.7)$$

în care: $\rho^{20^{\circ}\text{C}}$ - rezistivitatea electrolitului la temperatura de 20°C
 α_f - coeficientul de variație a rezistivității electrolitului cu temperatura, cu o valoare medie de $0,025^{\circ}\text{C}^{-1}$
 T - temperatura
 $\rho^{T^{\circ}\text{C}}$ - rezistivitatea electrolitului la temperatura T .

Pentru expeditivitatea determinărilor practice s-au construit nomograme care dau dependența dintre rezistivitate și temperatură (Abaca nr.1) .

1.2. Dependența rezistivitate-factor de formație-saturație

Se consideră un cub cu latura egală cu unitatea, dintr-un material neconductiv (scheletul mineral al unei roci) traversat de capilare rectilinii umplute cu un electrolit (fig.3). Porozitatea acestui eșantion de rocă poate fi determinată din raportul

$$m = \frac{V_p}{V_t} \quad (1.8)$$

unde V_p este volumul spațiului poros (reprezentat de capilarele rectilinii), iar V_t - volumul total al eșantionului ($V_t = 1 \text{ m}^3$).

Dacă se consideră suprafața transversală totală a capilarelor egală cu A_p , atunci se poate scrie pentru, m , identitatea (din relația 1.8)

$$m = \frac{1 \times A_p}{1 \times 1 \times 1} = A_p \quad (1.9)$$

(fiecare latură a eșantionului de rocă avînd lungimea de 1 m).

Rezistența între fețele transversale a și b ale cubului poate fi scrisă sub forma

$$R_o = \rho_{Ri} \frac{l}{A} \quad (1.10)$$

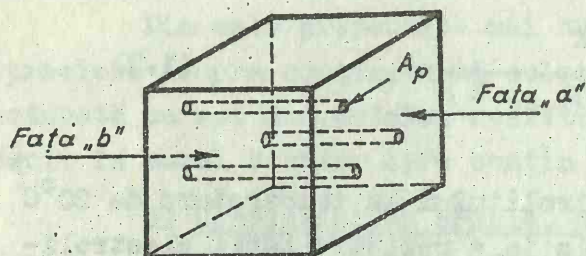


Fig. 3. Probă de rocă de volum unitar traversată de capilare rectilinii umplute cu electrolit (după Desbrandes)

unde: ρ_{Ri} este rezistivitatea volumului de rocă saturat cu electrolitul de rezistivitate ρ_{ai} din spațiile capilare, l și A sînt lungimea, respectiv aria transversală totală a cubului de rocă, egale respectiv cu unitatea ($l = 1 \text{ m}$ și $A = 1 \text{ m}^2$).

Intrucît scheletul mineral al rocii este izolant, conducția electrică are loc exclusiv prin electrolitul din spațiul poros, astfel încît ecuația

(1.10) poate fi scrisă, ținînd seama și de ecuația (1.9), astfel:

$$R_o = \rho_{Ri} = \rho_{ai} \frac{l}{A_p} = \frac{\rho_{ai}}{m} \quad (1.11)$$

Din relația (1.11) se poate defini factorul de rezistivitate al formațiunii sau simplu factorul de formațiune sub forma raportului dintre rezistivitatea ρ_{Ri} a formațiunii saturate cu apă de zăcămint, și rezistivitatea ρ_{ai} a apei respective:

$$F = \frac{\rho_{Ri}}{\rho_{ai}} = \frac{1}{m} \quad (1.12)$$

Factorul de formațiune determinat conform relației (1.12) este independent de rezistivitatea electrolitului din spațiul poros pentru o anumită rocă considerată, de porozitate m , pentru orice valoare $\rho_{ai} \leq 1 \Omega m$. Totuși, s-a dedus în mod experimental, că în cazul unor ape de zăcămint mai rezistive, valoarea lui F suferă o scădere cu creșterea valorilor ρ_{ai} , sau cu descreșterea dimensiunilor granulelor rocii avînd o porozitate cu caracter intergranular.

Desigur că forma simplă a factorului de formațiune, conform ecuației (1.12) respectiv ca fiind considerată $F = \frac{1}{m}$, nu este valabilă pentru cazul general al rocilor avînd o distribuție a porilor, total

diferită de cea a unor capilare rectilinii, ci sub forma unor spații poroase interconectate de canale subțiri, roca fiind caracterizată din acest punct de vedere de o anumită tortuozitate^{*)}. Factorul de formație este dependent, pe lângă porozitate, de structura și textura rocilor.

Dependența generală factor de formație-porozitate este guvernată de relație Archie:

$$F = \frac{\alpha}{m^{\gamma}} \quad (1.13)$$

în care α este constantă determinată în mod empiric, iar

γ - factorul de cimentare sau indicele structural.

În practica interpretării diagramei geofizice se acceptă în general ca relație de dependență, în formațiuni consolidate, o variantă a relației Archie, de tipul

$$F = \frac{I}{m^{\gamma}} \quad (1.14)$$

unde γ ia valori conform tabelului.

Valorile factorului de cimentare γ din formula Archie
(după Desbrandes și Schlumberger Doc)

Tabelul 1

Roca	γ
- Nisipuri slab consolidate	1,3...1,6
- Gresii	1,8...2,0
- Calcar cu porozitate intergranulară, calcar cretos	2,0
- Calcar compact, calcar oolitic	2,2...2,5
- Dolomit	2,2...2,8

Pentru roci neconsolidate (nisipuri), se acceptă ca dependență generală formula Humble:

$$F = \frac{0,62}{m^{2,15}} \quad (1.15)$$

*) Tortuozitatea: $T = \frac{l_c}{l}$ unde l_c = lungimea medie statistică a canalelor porilor
 l = lungimea minimă (considerînd capilarele rectilinii).

Pe baza formulelor (1.12) și (1.15) s-au realizat abacele de interpretare pentru dependență $F - m$, din Abaca nr. 2.

În raport cu cele prezentate, se poate deduce că rezistivitatea unei roci saturate cu apă de zăcămint de rezistivitate ρ_{ai} are valoarea

$$\rho_{Ri} = F \cdot \rho_{ai} \quad (1.16)$$

În cazul în care în spațiul poros al roci, pe lângă apa de zăcămint se găsește și un fluid neconducător, cum ar fi petrolul, se poate considera distribuția fluidelor conform schemei din fig.4, în care apa de zăcămint ocupă volumul V_a dat de relația

$$V_a = m S_a \quad (1.17)$$

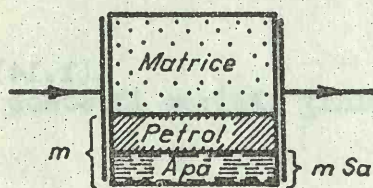


Fig.4. Schema simplificată a volumelor ocupate de diferiți constituenți (după Desbrandes)

unde S_a este saturația în apă dată de raportul

$$S_a = \frac{V_a}{V_p} \quad (1.18)$$

Rezistența R_t dintre fețele a și b este dată, ținând seama de ecuația (1.9) de relația

lația

$$R_t = \rho_R \frac{l}{A} = \frac{\rho_{ai}}{(m \cdot S_a)^2} \quad (1.19)$$

unde ρ_R este rezistivitatea reală a roci, conținând apă de zăcămint, de saturație S_a și petrol, de saturație $S_h = 1 - S_a$, iar l și A sînt, respectiv lungimea și aria transversală a eșantionului de rocă, egale cu unitatea.

Ținînd seama de relațiile (1.14-1.16) se poate deduce ecuația de dependență saturație-factor de formație-rezistivitate, de forma

$$S_{\alpha}^2 = \frac{\rho_{\alpha i}}{m^2 \rho_R} = \frac{F \rho_{\alpha i}}{\rho_R} = \frac{\rho_{Ri}}{\rho_R} = \frac{1}{I_{\rho}} \quad (1.20)$$

unde

$$I_{\rho} = \frac{\rho_R}{\rho_{Ri}} \quad (1.21)$$

reprezintă indicele de rezistivitate.

În sens mai larg, ecuația (1.20) poate fi scrisă sub forma

$$S_{\alpha}^n = \frac{F \cdot \rho_{\alpha i}}{\rho_R} \quad (1.22)$$

unde n este exponentul de saturație, care poate lua valori cuprinse între 1,6...2,2.

Relația (1.22) mai poate fi scrisă sub forma "relației generale a interpretării cantitative".

$$S_{\alpha} = \sqrt[n]{\frac{F \cdot \rho_{\alpha i}}{\rho_R}} \quad (1.23)$$

Exemplu

Să considerăm o rocă cu porozitatea $m = 25 \%$.

Factorul de formațiune poate fi determinat

$$F = \frac{1}{m^2} = \frac{1}{0,625} = 16$$

Considerând rezistivitatea apei de zăcămint $\rho_{\alpha i} = 0,05 \Omega \cdot m$ rezistivitatea rocii saturate cu apă este

$$\rho_{Ri} = F \cdot \rho_{\alpha i} = 16 \cdot 0,05 = 0,8 \Omega m$$

Dacă în stratul conținând petrol, se determină o rezistivitate $\rho_R = 10 \Omega m$, se poate calcula

$$S_{\alpha} = \sqrt{\frac{\rho_{Ri}}{\rho_R}} = \sqrt{\frac{0,8}{10}} = 0,28$$

adică saturația în apă este $S_a = 28 \%$.

Saturația în hidrocarburi va fi: $S_h = 1 - S_a = 1 - 0,28 = 0,72$ respectiv $S_h = 72 \%$.

1.3. Fenomenul de invazie și influența lui asupra rezistivității rocii

Stratele poroase-permeabile (colectoare) permit acumularea și respectiv circulația de fluide gaze, petrol, apă. Pentru a putea constitui un rezervor aceste strate trebuie să aibă în culcuș și acoperiș strate impermeabile.

Stratele impermeabile au porozitatea efectivă practic egală cu zero și nu permit circulația fluidelor.

În dreptul stratelor poroase-permeabile străbătute de o sondă, are loc fenomenul de invazie, respectiv separarea din noroiul de foraj a fazei lichide - compusă din apă, sărurile dizolvate și din elementele coloidale - sub formă de filtrat și pătrunderea acestuia în strat. Această pătrundere a filtratului de noroi în rocă are loc sub acțiunea diferenței de presiune dintre presiunea hidrostatică a coloanei de noroi, p_h , și presiunea de zăcămint "p_z" - cunoscut sub numele de fenomen de invazie. Ca urmare are loc formarea unor zone succesive ilustrate în fig. 5.a, ale căror caracteristici sînt prezentate în tabelul 2.

Ca urmare a fenomenului de invazie are loc o distribuție diferită a filtratului de noroi, a petrolului sau gazelor și a apei care duce la schimbarea rezistivității în direcție radială. O reprezentare calitativă asupra distribuției fluidelor și rezistivităților corespunzătoare este dată în fig. 5.b și c.

În stratele acvifere (fig.5.b), rezistivitatea scade treptat de la valoarea ρ_{io} în subzona spălată la valoarea $\rho_e = \rho_{ri}$, a rezistivității rocii saturate cu apă în zona necontaminată. Această scădere treptată se explică prin variația rezistivității fluidului, rezistivitatea filtratului de noroi fiind mai mare decît rezistivitatea apei de zăcămint.

În strate petrolifere (fig.5.c), rezistivitatea crește treptat de la valoarea ρ_{io} la valoarea ρ_e . Această creștere se datorează creșterii conținutului în petrol cu rezistivitatea mult mai mare decît a filtratului de noroi.

Măsurătorile de rezistivitate efectuate în carotajul electric,

se raportează la un volum de mediu în care intră noroiul din sondă, turta de noroi, zona de invazie, zona necontaminată și stratele adiacente (pentru strate de grosime mică) de unde reiese că parametrul măsurat este o valoare aparentă a rezistivității. Pentru a atinge o interpretare precisă a rezultatelor carotajului electric în general este necesar a fi luați în considerare toți factorii care influențează valoarea rezistivității măsurate.

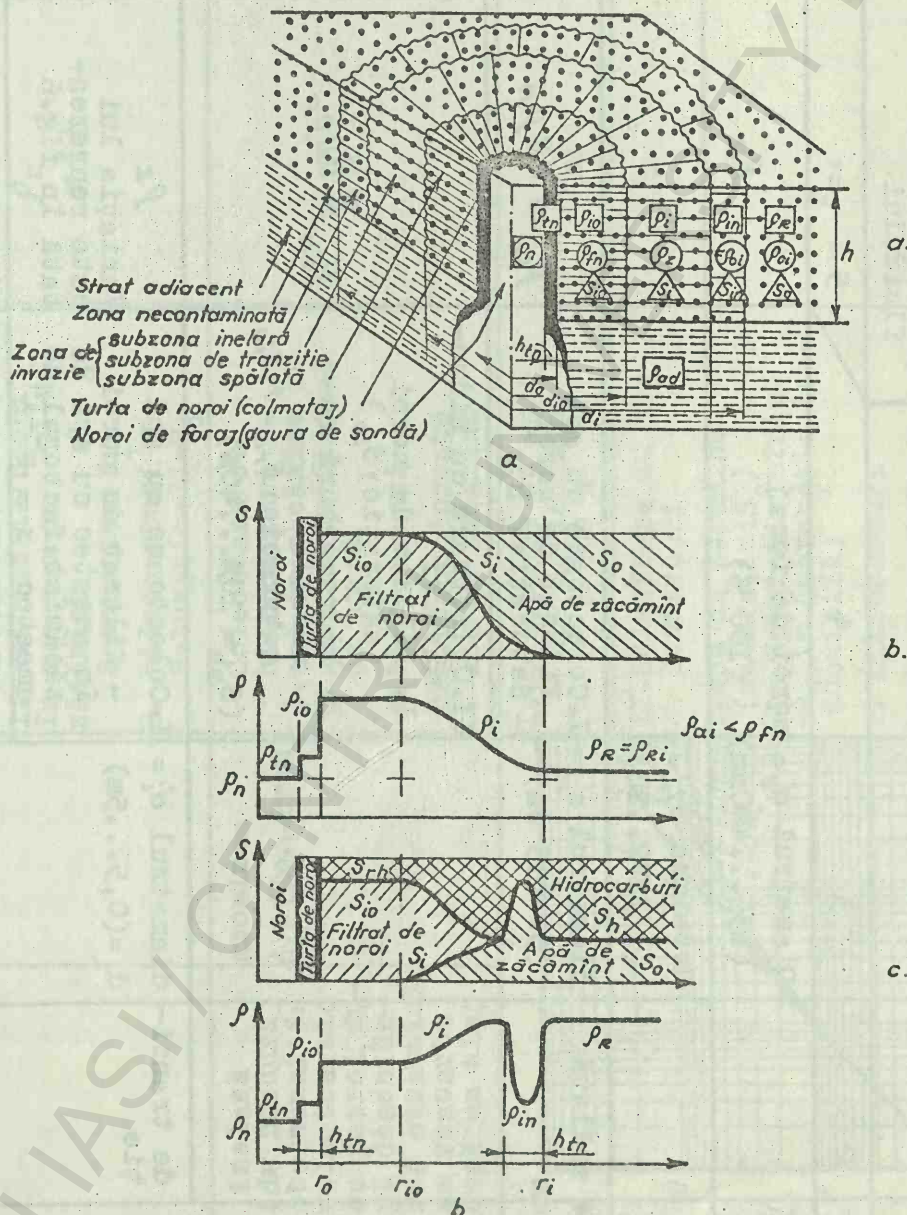


Fig. 5. Efectul fenomenului de invazie în dreptul straturilor poroase-permeabile : a - secțiune transversală și longitudinală ; b - profilele rezistivităților ; b - colector cu apă ; c - colector cu hidrocarburi .

EFFECTUL FENOMENULUI DE INVAZIE IN ROCILE POROASE-PERMEABILE
ASUPRA PARAMETRULUI REZISTIVITATE

Zona	Subzona	Dimensiuni	Fluidul saturat	Rezistivitatea fluidului	Rezistivitatea (m) zonei
1	2	3	4	5	6
Sondă		Diametrul $d_s =$ (135...440mm)	noroi de foraj (100 %)	ρ_n	ρ_n
Turtă de colmataj		Grosimea $h_{tn} =$ (1/32" ... 2")	-	-	$\rho_{tn} \approx 1,5 \rho_n$ (1.24)
de invazie spălată		diametrul $d_{io} =$ (5...15 cm)	I. Colectoare cu apă Filtrat de noroi Saturație: S_{io} II. Colectoare cu hidrocarburi 1. filtrat de noroi (saturație: S_{io}) 2. hidrocarburi reziduale saturație: $S_{rh} = 1 - S_{io}$ ($S_{rh} = 10\% \dots 40\%$)	$\rho_{fn} \approx 0,8 \rho_n$	$\rho_{io} = F \cdot \rho_{fn}$ (1.25)
				$\rho_{fn} \approx 0,8 \rho_n$	$\rho_{io} = \frac{F \cdot \rho_{fn}}{(1 - S_{rh})^2}$ (1.26)
de tranziție		diametrul $d_i =$ $d_i = (0,5 \dots 0,5m)$	I. Colectoare cu apă - filtrat de noroi în amestec cu apă de zăcămint: factorul de amestec $z = F_{-1,41}$ sau $z = 5\%$ pt. $10\% < m < 18\%$ $z = 7,5\%$ pt. $18\% < m < 25\%$ $z = 10\%$ pt. $m > 25\%$	ρ_z Variația lui este reprezentată în fig. 6	$\rho_i = F \cdot \rho_z$ (1.27)

1	2	3	4	5	6
			II. Colectoare cu hidrocarburi 1. Filtrat de noroi în amestec cu apă de zăcămint Saturație: S_i 2. hidrocarburi Saturație: $1-S_i$	ρ_z [v.i]	$\rho_i = \frac{F \cdot \rho_z}{S_i^2}$ (1.28)
	inelară (de bordură) obs. numai în colectoarele cu petrol, după deschiderea stratului; se resoarbe după un timp	grosimea $h_i = (10...20 \text{ cm})$	Colectoare cu hidrocarburi 1. apă de zăcămint în amestec cu filtrat de noroi 2. hidrocarburi Obs. preponderentă - apa de zăcămint	$\approx \rho_{ai}$	$\rho_{in} \approx F \cdot \rho_{ai}$ (1.29)
necontaminată			I. Colectoare cu apă - apa de zăcămint $S_a = 100 \%$ II. Colectoare cu hidrocarburi 1. apă de zăcămint (saturație: S_a) Obs. Saturația minimă = S_{ir} (saturația ireductibilă) 2. hidrocarburi (saturația $S_h = 1 - S_a$)	ρ_{ai} ρ_{ai}	$\rho_{ei} = F \cdot \rho_{ai}$ (1.30) $\rho_e = \frac{F \cdot \rho_{ai}}{(1 - S_h)^2}$ (1.31)

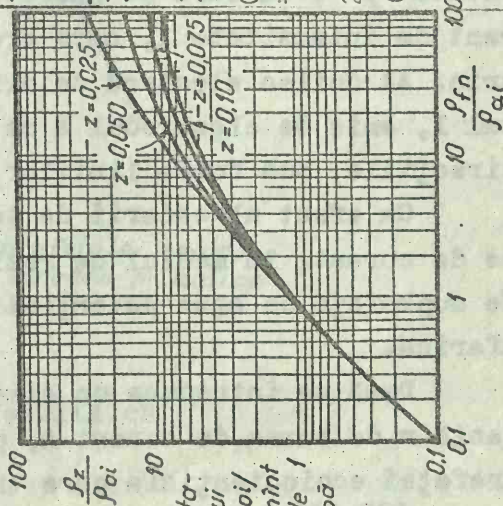


Fig.6. Rezistivitatea amestecului filtrat de noroi/apă de zăcămint în subzona de tranziție (după Pirson)

4. Principiul metodelor de rezistivitate aparentă

În carotajul de rezistivitate aparentă se înregistrează variația rezistivității aparente de-a lungul profilului unei sonde care dă posibilitatea separării după litologie a rocilor traversate, determinării parametrilor petrofizici, necesari proiectării exploataării și estimării rezervelor de hidrocarburi.

Principial, pentru determinarea rezistivității rocilor traversate de sondă se utilizează un dispozitiv cuadripal AMNB, unde A și B sînt electrozi de alimentare iar M și N electrozi de măsură. Curentul electric de intensitate I este introdus în rocă prin electrozii A și B, creînd un cîmp electric E și între electrozii M și N o diferență de potențial ΔV . Rezistivitatea rocii ρ este proporțională cu diferența de potențial creată ΔV și invers proporțională cu intensitatea curentului

$$\rho = K \frac{\Delta V}{I} \quad (1.32)$$

unde:

K este o constantă care depinde de configurația geometrică a dispozitivului.

Se consideră un mediu omogen și izotrop, infinit, de rezistivitate ρ , în care se găsește un electrod A, alimentat de un curent de intensitate I , care crează în mediul considerat un cîmp electric. Al doilea electrod de alimentare (B) se află la infinit. Curentul I , emis de electrodul A se distribuie radial, uniform în toate direcțiile, sub forma liniilor de cîmp ale densității de curent, j

Ca efect al căderii de tensiune de-a lungul liniei de densitate de curent, în mediul de rezistivitate ρ , se formează o serie de suprafețe de egal potențial - suprafețe echipotențiale - de formă sferică.

Dacă se introduce un electrod de măsură punctiform M, la o distanță r de sursa de curent A, poate fi măsurat potențialul V_M al suprafeței echipotențiale care trece prin punctul M.

Pentru determinarea valorii potențialului V_M , se poate porni de la expresia densității de curent prin suprafața sferică de rază r , dată de relația

$$j = \frac{I}{4\pi r^2} \quad (1.33)$$

În punctul M (fig.7) situat la distanța r de electrodul A , valoarea intensității câmpului electric E , este

$$E = \rho j = \frac{\rho \cdot I}{4\pi r^2} \quad (1.34)$$

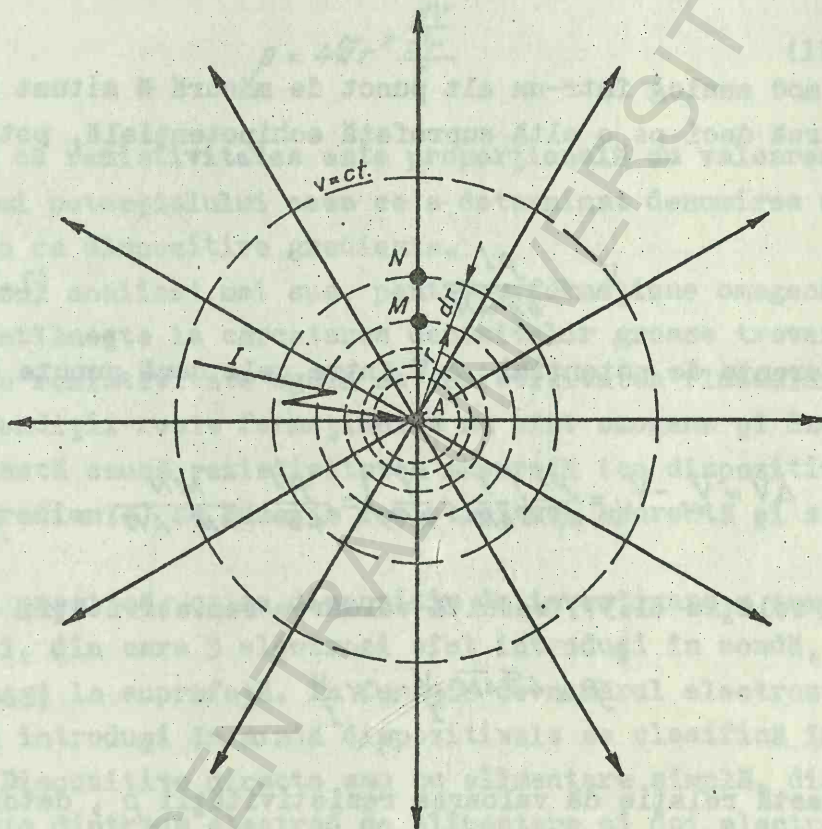


Fig.7. Liniile de câmp și suprafețele echipotențiale pentru un mediu omogen și izotrop

Întrucât $E = - \text{grad } V = - \frac{dV}{dr}$ rezultă că:

$$dV = - \frac{\rho I}{4\pi} \cdot \frac{dr}{r^2} \quad (1.35)$$

Prin integrarea relației (1.35) între r și ∞ (unde potențialul este nul) se obține:

$$V = - \int_{\infty}^r \frac{\rho I}{4\pi} \cdot \frac{dr}{r^2} = \frac{\rho I}{4\pi r} \quad (1.36)$$

Potențialul în punctul M , poate fi scris

$$V_M = \frac{\rho I}{4\pi \overline{AM}} \quad (1.37)$$

unde $\overline{AM} = r$

În mod analog într-un alt punct de măsură N situat la distanța \overline{AN} de sursă deci pe o altă suprafață echipotențială, potențialul va fi:

$$V_N = \frac{\rho I}{4\pi \overline{AN}} \quad (1.38)$$

Diferența de potențial ΔV între cele două puncte de măsură M și N este

$$\Delta V = V_M - V_N = \frac{\rho I}{4\pi} \left(\frac{1}{\overline{AM}} - \frac{1}{\overline{AN}} \right) = \frac{\rho I}{4\pi} \cdot \frac{MN}{\overline{AM} \cdot \overline{AN}} \quad (1.39)$$

Din relația (1.37) rezultă valoarea rezistivității

$$\rho = 4\pi \overline{AM} \frac{V}{I} = K \frac{V}{I} \quad (1.40)$$

Această relație dă valoarea rezistivității ρ , datorate unei măsurători a potențialului V , cu ajutorul unui dispozitiv cu doi electrozi. Acest dispozitiv este numit dispozitiv potențial ideal.

De asemenea rezistivitatea se poate obține din relația (1.39)

$$\rho = 4\pi \frac{\overline{AM} \cdot \overline{AN}}{\overline{MN}} \cdot \frac{\Delta V}{I} = K \frac{\Delta V}{I} \quad (1.41)$$

Relația (1.41) permite determinarea rezistivității, măsurând diferența de potențial ΔV cu ajutorul unui dispozitiv cu trei electrozi, un electrod de curent și doi electrozi de măsură M și N situați la distanță mică. Dacă relația (1.41) se scrie sub forma:

$$\rho = 4\pi \overline{AM} \cdot \overline{AN} \frac{\frac{\Delta V}{MN}}{I} \quad (1.42)$$

Intrucât M și N sînt foarte apropiați se poate scrie

$$AM \approx AN \approx r$$

$$MN \approx dr$$

$$\Delta V_{MN} = dV$$

atunci relația (3.11) devine

$$\rho = 4\pi r^2 \frac{dV}{dr} \frac{1}{I} \quad (1.43)$$

Se observă că rezistivitatea este proporțională cu valoarea medie a gradientului potențialului ceea ce a determinat denumirea acestor dispozitive ca dispozitive gradient.

Cazul analizat mai sus, pentru o formațiune omogenă și izotropă se întâlnește la cercetarea depozitelor groase traversate de sondă, cu o rezistivitate egală cu rezistivitatea fluidului de foraj. În condiții reale formațiunile nu sînt omogene și izotrope și din această cauză rezistivitatea măsurată (cu dispozitive potențiale și gradient) se numește rezistivitate aparentă și se notează cu ρ_a .

În practică, orice dispozitiv de investigare e compus din 4 electrozi, din care 3 electrozi sînt introduși în sondă, iar unul este amplasat la suprafață. În funcție de numărul electrozilor de alimentare introduși în sondă dispozitivele se clasifică în:

- Dispozitive directe sau cu alimentare simplă, dispozitivele formate dintr-un electrod de alimentare și doi electrozi de măsură.

- Dispozitive reciproce sau cu alimentare dublă, dispozitivele care conțin doi electrozi de alimentare și un electrod de măsură.

Pentru dispozitivele de rezistivitate se pot determina următoarele caracteristici:

- constanta dispozitivului - K - care depinde de configurația geometrică a dispozitivului;

- lungimea dispozitivului, care se notează cu:

L_p - pentru dispozitiv potențial (reprezintă distanța

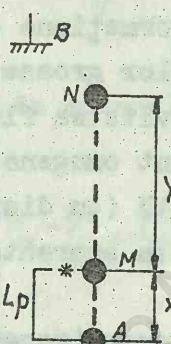
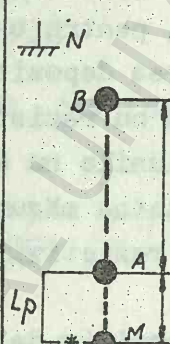
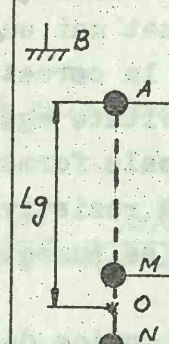
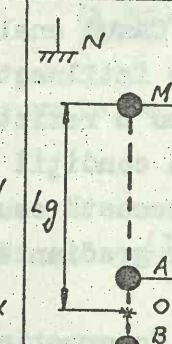
dintre electrozii A și M [$L_p = (\overline{AM})(\overline{MA})$]

L_g - pentru un dispozitiv gradient, reprezintă distanța dintre electrodul nepereche și punctul mediu O (situat la jumătatea distanței dintre electrozii pereche) [$L_g = \overline{OA}(\overline{OM})$]

- punctul de măsură este punctul la care se raportează valoarea rezistivității măsurate;
- raza de investigație este raza sferei cu centrul în punctul de măsură de la care provine cel puțin 50 % din valoarea rezistivității măsurate.

Aceste caracteristici sînt redade în tabelul 2.

Tabelul 2

	Disp. potențial		Disp. gradient	
	Direct	Reciproc	Direct	Reciproc
Caracteristici				
Symbol	$A \times M y N$	$M \times A y B$	$N \times M y B$	$B \times A y M$
Condiții	$AM \leq \frac{1}{10} MN$	$MA \leq \frac{1}{10} AB$	$NM \leq \frac{1}{10} MA$	$BA \leq \frac{1}{10} AM$
Constanta	$K = 4\pi \frac{AM \cdot AN}{MN}$	$K = 4\pi \frac{MA \cdot MB}{AB}$	$K = 4\pi \frac{NA \cdot MA}{NM}$	$K = 4\pi \frac{BM \cdot AM}{BA}$
Lungimea	$L_p = AM$	$L_p = MA$	$L_g = OA$	$L_g = OM$
Raza de inv.	$\rho_p = \frac{2L_p}{2AM}$	$\rho_p = \frac{2L_p}{2MA}$	$\rho_g = \frac{L_g}{OA}$	$\rho_g = \frac{L_g}{OM}$

x, y este distanța dintre electrozi, măsurată în metri

* punct de înregistrare (de măsurare)

CAPITOLUL II

POTENTIALUL SPONTAN SAU NATURAL

Potențialul spontan sau potențialul natural, ia naștere la interfața dintre noroiul de foraj și formațiunile traversate de sondă ca urmare a unor fenomene de activitate electrochimică. Procesele fizico-chimice care dau naștere potențialului spontan sînt:

- a) procesul de difuzie
- b) procesul de adsorbție
- c) procesul de electrofiltrație
- d) procesul de oxidare-reducere.

Componenta principală a potențialului spontan, în rocile sedimentate colectoare de hidrocarburi este dată de procesul de adsorbție și de difuzie și constituie potențialul de difuzie-adsorbție.

a) Procesul de adsorbție

Pentru a explica formarea potențialului de adsorbție, argila adiacentă stratului poros-permeabil, care separă noroiul din sondă, de apa de zăcămint conținută în stratul poros-permeabil poate fi considerată ca o membrană cationică (fig.8). Noroiul, respectiv filtratul de noroi și apa de zăcămint pot fi considerate ca două soluții electrolitice de NaCl, din care, prima este mai diluată, avînd concentrația C_{fn} mai mică decît cea de-a doua C_{ai} ($C_{fn} < C_{ai}$). Avînd concentrații diferite cele două soluții vor avea rezistivități diferite, rezistivitatea filtratului de noroi ρ_{fn} fiind mai mare decît rezistivitatea apei de zăcămint ρ_{ai} .

Moleculele de sare din soluțiile respective se disociază ionic, în cationi Na^+ și anioni Cl^- . Ca urmare a diferenței de densitate a ionilor în soluția concentrată față de soluția diluată, are loc o migrație a acestora dinspre soluția concentrată spre soluția diluată.

Membrana de argilă permite trecerea cationilor de Na^+ care

se formează în soluție, de la soluția mai concentrată (apa de zăcă-
mînt) la cea mai diluată (filtratul de noroi) și oprește anionii Cl^- ,
prin adsorbția acestora.

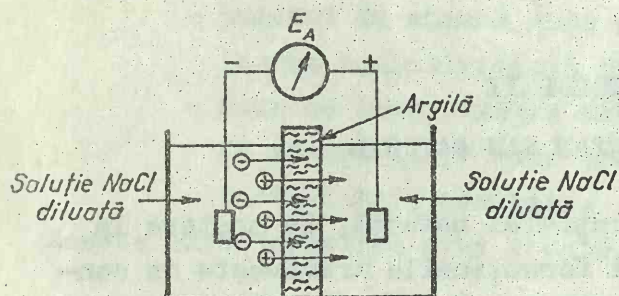


Fig.8. Potențialul de adsorbție

Ca urmare, are loc stabili-
rea unui echilibru ionic, soluția
inițial mai diluată încărcîndu-se
pozitiv în raport cu soluția mai con-
centrată, luînd naștere un potențial
de adsorbție, dat de relația

$$E_A = \frac{RT}{F} \ln \frac{\alpha_{ai}}{\alpha_{fn}} \quad (2.1)$$

unde: R este constanta gazelor perfecte [8314 J/kmol.K]

T - temperatura absolută [K]

F - constanta Faraday [96540 C]

α_{ai} și α_{fn} - activitățile electrochimice a soluției concen-
trate (apa de zăcămînt), respectiv a celei diluate
(filtratul de noroi).

Intr-o primă aproximație se poate scrie

$$\begin{cases} \alpha_{ai} \approx AC_{ai} = \frac{A}{\rho_{ai}} \\ \alpha_{fn} \approx AC_{fn} = \frac{A}{\rho_{fn}} \end{cases} \quad (2.2)$$

unde A este o constantă de proporționalitate

c_{ai} și c_{fn} - concentrațiile în NaCl ale apei de zăcămînt și,
respectiv

ρ_{ai} și ρ_{fn} - rezistivitățile respective.

Tinînd seama de ecuația (2.2) și trecînd în ecuația (2.1) de
la "ln" la "log", potențialul de adsorbție va avea expresia

$$E_A = K_A \log \frac{\rho_{fn}}{\rho_{ai}} \quad (2.3)$$

unde: K_A este constanta de adsorbție și care la temperatura de 25°C
are valoarea $K_A = 59,1 \text{ mV}$.

b) Procesul de difuzie

Pentru explicarea formării potențialului de difuzie, se consideră zonă de invazie a stratului poros-permeabil sub forma unei membrane poroase-permeabile care separă cele două soluții electrolitice (fig.9). Ca și în cazul anterior, cationii de Na^+ și anionii de Cl^- , migrează din soluția concentrată (apa de zăcămint) spre soluția diluată (filtratul de noroi). Ca urmare a diferenței de mobilitate dintre anionii Cl^- ($v = 67,6 \cdot 10^{-5} \text{ cm/s.V}$) și cationii Na^+ ($u = 45,6 \cdot 10^{-5} \text{ cm/s.V}$) are loc stabilirea unui echilibru ionic, soluția mai diluată încărcându-se negativ (mobilitatea ionului de Cl fiind mai mare decât a ionului de Na) în raport cu soluția mai concentrată, luând naștere potențialul de difuzie, dat de relația

$$E_D = - \frac{v-u}{v+u} \cdot \frac{RT}{F} \ln \frac{\alpha_{ai}}{\alpha_{fn}} \quad (2.4)$$

sau, ținând seama de ecuațiile(2.2)

$$E_D = -K_D \log \frac{\rho_{fn}}{\rho_{ai}} \quad (2.5)$$

unde K_D este constanta de difuzie și care la temperatura de 25°C are valoarea $K_D = 11,66 \text{ mV}$.

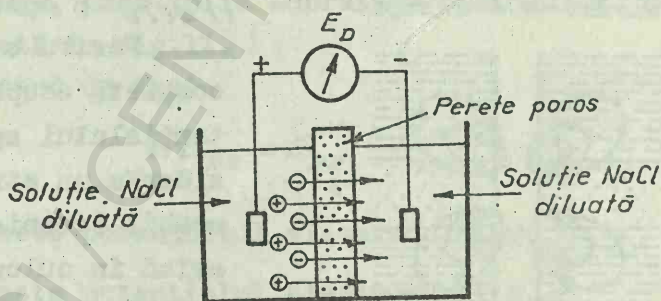


Fig.9. Potențialul de difuzie

*

*

*

Pentru un strat poros-permeabil de grosime mare (fig.10.a), saturat cu apă de zăcămint, suma algebrică a celor două potențiale reprezintă potențialul de difuzie-adsorbție, E_{DA} , identificându-se cu potențialul spontan static, E_{PSS}

$$E_{DA} = E_{PSS} = -E_A + E_D = -K \log \frac{\rho_{fn}}{\rho_{ai}} \quad (2.6)$$

unde K este constanta de difuzie-adsorbție și care la temperatura de 25 °C are valoarea $K = -70,7$ mV.

Relația (2.6) este valabilă pentru roci "curate", respectiv fără conținut de argilă, precum și pentru cazul unor soluții de NaCl.

În cazul general, al unor soluții conținând și alte săruri, relația generală care reprezintă potențialul spontan static are forma

$$E_{PSS} = -K \log \frac{(\rho_{fn})_e}{(\rho_{ai})_e} \quad (2.7)$$

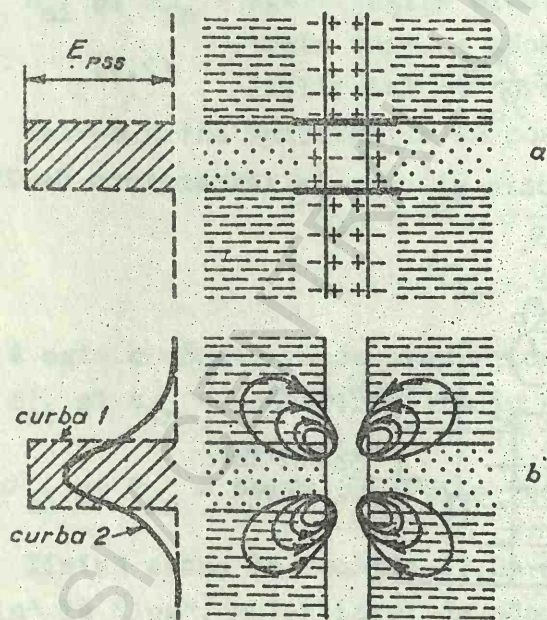


Fig.10. Potențialul spontan static și potențialul spontan înregistrat

în care se introduc rezistivitățile echivalente $(\rho_{fn})_e$ a filtratului de noroi și $(\rho_{ai})_e$ a apei de zăcămint.

Pentru o imagine mai completă asupra formării potențialului spontan, să considerăm un strat poros permeabil (gresie sau nisip) avînd în culcuș și acoperiș roci impermeabile (marne și/sau argile) traversat de o sondă.

În dreptul stratului poros-permeabil procesul predominant va fi procesul de difuzie, astfel că ioni de Cl^- vor trece din soluția

mai concentrată (apa de zăcămint) în soluția mai puțin concentrată (noroiul de foraj).

În dreptul stratelor impermeabile procesul predominant va fi cel de adsorbție, ioni care trec în noroiul de foraj fiind cei de Na^+ .

În consecință, potențialul măsurat în fața stratelor poroase-permeabile este negativ în raport cu potențialul din fața argilelor care este pozitiv. Rezultă că stratele poroase-permeabile sînt puse în evidență pe curbele de P.S. prin anomalii electronegative.

După cum se vede în fig.10.b, curenții de P.S. curg prin trei medii cu rezistivități diferite: noroiul de foraj, stratul poros-permeabil și argilele adiacente. Dacă stratul prezintă o zonă de invazie cu filtrat de noroi va interveni și această zonă. Ne rezumăm însă numai la cazul simplificat prezentat în această figură.

Dacă curenții I_{PS} ar fi împiedicați să curgă din mediile adiacente cu ajutorul unor ecrane izolatoare plasate în cursul și acoperișul stratului potențialul măsurat E_{PS} ar fi egal cu potențialul total sau static E_{PSS} (fig.10.b, curba 1). Cum acești curenți nu pot fi împiedicați să curgă din stratele adiacente, curba înregistrată diferă de cea teoretică, depășind lateral limitele stratului. (fig.10.b, curba 2).

Potențialul natural al rocilor se înregistrează cu ajutorul unui electrod de măsură M ce se deplasează în sondă. De regulă aceste potențiale sînt înregistrate în raport cu un electrod N plasat la mare distanță, practic la suprafața pămîntului. O schemă de măsură este redată în fig.11.

Se măsoară de fapt

$$\Delta E_{PS} = E_{PS}^M - E_{PS}^N \quad (2.8)$$

unde: E_{PS}^M - este potențialul electrodului M.

E_{PS}^N - este potențialul electrodului N.

Deoarece potențialul electrodului N este constant, curba de P.S. reprezintă de fapt variația potențialului spontan al electrodului M, deplasat de-a lungul sondei.

Potențialul spontan al rocilor se înregistrează sub forma unor curbe funcție de adîncime, de regulă simultan cu rezistivitatea aparentă. Această curbă este înscrisă pe trasa din stînga diagramei.

Scara de înregistrare este de 12,5 mV/div sau 10 mV/div, cu valorile electronegative în stînga.

Așa cum s-a arătat mai sus valorile înregistrate ale curbei de P.S. în dreptul argilelor sau marnelor sînt electropozitive și relativ constante plasîndu-se practic pe o linie dreaptă. Această dreaptă poartă denumirea de linia marnelor. Anomaliile de P.S., în milivolți, vor fi măsurate în raport cu această linie.

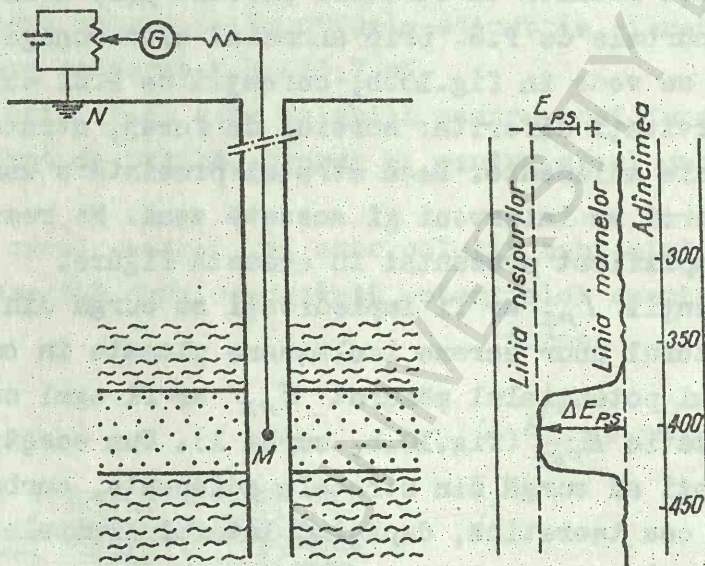


Fig. 11. Schema principală de măsură a potențialului spontan

Prin valorile maxime electronegative ale P.S. se poate trasa o a doua linie care poartă denumirea de linia nisipurilor. Valori maxime electronegative prezintă nisipurile și gresiile curate (fără conținut de argilă) saturate cu apă.

În mod frecvent se va sesiza faptul că linia nisipurilor nu va atinge toate amplitudinile. Causa principală o constituie prezența materialului argilos în colectoare.

Pentru a determina valoarea potențialului spontan înregistrat, se va măsura distanța de la linia marnelor pînă în punctul de maxim al amplitudinii curbei de P.S. în centimetri sau diviziuni (funcție de scară). Această distanță înmulțită cu scara va da valoarea lui ΔE_{PS} în dreptul stratului respectiv.

CAPITOLUL III

CAROTAJUL ELECTRIC

În forma actuală, carotajul electric cuprinde o serie de metode elaborate din necesitatea de a extinde domeniul de aplicabilitate al acestuia.

Ținând seama de fenomenul de invazie, metodele de rezistivitate se adresează fie unor microvolume, respectiv mediului apropiat în imediata vecinătate a peretelui sondei, cum sînt: turta de noroi și subzona spălată, fie unor macrovolume, cuprinzînd mediul mai depărtat, respectiv zona necontaminată și/sau zona de invazie cu subzona de tranziție.

În mod corespunzător sînt utilizate următoarele metode de investigare:

a) metode cu macrodispozitive

- carotajul electric standard
- carotajul electric special
- carotajul electric lateral
- carotajul electric cu curenți focalizați (laterolog)
- carotajul electric cu curenți de inducție (c.inductiv)

b) metode cu microdispozitive

- microcarotajul electric convențional (standard)
- microcarotajul electric focalizat (microlaterolog)
- carotajul de proximitate focalizat (proximity-log)

c) dispozitivele de mai sus pot fi utilizate în combinații, cum sînt:

- dispozitivul dual-laterolog
- dispozitivul dual-inducție-laterolog
- dispozitivul de microcarotaj și microlaterolog sau proximity-log combinat cu cavernometria.

Aplicațiile metodelor de rezistivitate, condițiile optime și limitările fiecărei metode sînt redată în tabelul 3.

Tabelul nr.3

Metoda	Aplicație	Condiții optime	Limitări	Condiții geologice optime	Interpretare
1	2	3	4	5	6
A. MACRODISPOZITIVE 1. CAROTAJ ELECTRIC STANDARD	-Corelare geologică -Determinarea limitelor straturilor și a grosimii aparente -Estimarea preliminară a conținutului colectorului și limitelor dintre fluide	Noroi dulce Grosimi de strat $h > 2$ m	Strate subțiri Strate rezistive Invasii adâncă Valori mici ρ_n (noroi sărat) Roci cu conținut de argilă Nu poate fi utilizată în noroi neconductiv	Succesiuni marnoase nisipoase de grosime acceptabilă Roci carbonatate cu porozitate intergrahulară cu $m \geq 10\%$	-Calitativă
1' CAROTAJ ELECTRIC SPECIAL					
2. CAROTAJ ELECTRIC LATERAL-METODA (Determinarea rezistivității rocilor) DRR	-Aprecierarea conținutului colectorului -Determinarea parametrilor ρ_R, ρ_i, D_i	Noroi dulce Grosimi de strat $h > 2$ m	Idem	Idem	Calitativă și semicantitativă -In anumite cazuri și cantitativă
a) Laterolog-7 (LL-7)	-Determinarea parametrului rezistivității reale ρ_R -Corelare geologică (în fluide de foraj mineralizate)	Strate rezistive Grosimi de strat $h > 0,5-1$ m	Invasii adânci	Roci carbonatate cu rezistivități mari, $m < 10\%$ Fluide de foraj mineralizate	Cantitativă -Determinarea ρ_R cu corecția efectului găurii de sondă -Corecția ρ_{10}
b) Laterolog-3 (LL-3)	Idem	Strate subțiri $h \approx 0,4$ m Valori ρ_R medii	Valori mari ρ_R Invasii adânci	Idem	Idem
c) Dual laterolog (DL)	-Determin. rezistiv. reale ρ_R și a diametrului zonei de invazie D_i -Evaluarea calitativă a colectorului	Strate rezistive grosimii de strat $h > 0,5-1$ m Invasii adânci		Roci carbonatate cu rezistivități mari $m < 10\%$ Fluide de foraj mineralizate. Precizie mărită a definiții parametrului ρ_R	Cantitativă Determin. ρ_R cu corecția efectului găurii de sondă sau corecția ρ_{10}

3. CAROTAJ ELECTRIC FOCALIZAT (Laterolog - LL)

1	2	3	4	5	6
B. CAROTAJ ELECTRIC DE INDUCȚIE	a) Electric inductiv	Valori ρ_R mici Grosimi medii $h > 1,6$ m Invazii adânci	Valori mari ρ_R Efect strate subțiri	Sucesiuni mar- noase-nisipoase Nisipuri argi- loase $\rho_R \leq 100$ ohm.m Noroaie necon- ductive (fluide negre)	Cantitativă Determina- rea ρ_R
	b) Dual-inducție- laterolog	Valori ρ_R mici Invazii adânci Grosimi de strat mai mici $h \approx 0,8$ m	Valori mari ρ_R	Idem	-Cantitativă -Determina- rea ρ_R și D _t cu co- recția ρ_{io}
B. MICRODISPOZITIVE	1. MICROCAROTAJ STAN- DARD (cuplat cu CAVERNOMETRIE) MC	Strate cu in- vazie Turtă de noroi $h_{tn} < 1$ in	ρ_{io} estima- tiv Efectul tur- tei de noroi	Sucesiuni-mar- noase nisipoase Noroaie dulci	Calitativă și cantitativă -Determina- rea ρ_{io}
	a) Microlaterolog (cuplat cu caver- nometrie) MLL	Strate cu in- vazie Turtă de noroi $h_{tn} < 1/4$ in	Efectul turtei Efectul rugozită- ții pereților gâ- rii de sonda	Roci carbonatate $5\% < m < 20\%$ Noroaie minera- lizate	Calitativă și cantitativă -Determina- rea ρ_{io}
	b) Proximitylog (cuplat cu caver- nometrie) PL	Strate cu invazie Turtă de noroi $h_{tn} < 1/2$ in	Efect. turtei Efectul rugo- zității	Roci nisipoase Roci carbonatate $5\% < m < 30\%$ Noroaie dulci și mineralizate	-Calitativă și cantita- tivă -Determina- rea ρ_{io}
2. MICROCAROTAJ POC-LITAJ		Idem pct.1 și 2			
3. Dispozitive combinate MC + MLL sau MC + PL					

3.1. Carotajul electric standard

Carotajul electric standard, constă în măsurarea rezistivității aparente a rocilor folosind un dispozitiv potențial și un dispozitiv gradient. Dispozitivele utilizate sînt standardizate, de unde și denumirea de "carotaj electric standard" ale căror caracteristici sînt redată în tabelul 4.

Tabelul 4

Dispozitivul (simbol)	Tipul dispozitivului	Lungimea dispozit. (m)	Raza de investi- gație (m)	Scara ohmică Ω/cm	Scara adîncimilor	Scara P.S. mV/cm	Obs.
Ao, 3M2N (Mo, 3A2B)	Potențial direct (reciproc)	$L_p = 0,3$	$r_{ip} = 0,6$	2,5	1:1000	-	
No, 3M2A (Bo, 3A2M)	Gradient direct (reciproc)	$L_g = 2,15$	$r_{ig} = 2,15$	2,5	1:1000	-	
Ao, 5M5N (Mo, 5A5B)	Potențial direct (reciproc)	$L_p = 0,5$	$r_{ip} = 1$	1,25	1:1000	-	Dispo- zitiv pentru sare
NO, 5N5A (Bo, 5A5M)	Gradient direct (reciproc)	$L_g = 5,25$	$r_{ig} = 5,25$	0,5	1:1000	-	
P.S.	-	-	-	-	1:1000	12,5 mV/cm	In cazul disp.pt. sare $n_{PS} = 5$ mV/cm

Schemele principale de măsură sînt reprezentate în figura 12a,b,c,d. In aceste scheme se disting:

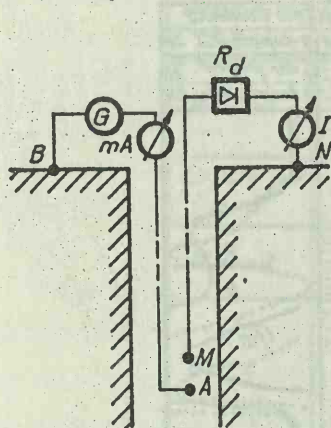
- un circuit de alimentare alcătuit dintr-un generator de curent G, un aparat de măsură a curentului mA și electrozii de alimentare A și B;

- un circuit de măsură alcătuit din electrozii M și N, un dispozitiv de redrasare a semnalului R_d și un aparat înregistrator I.

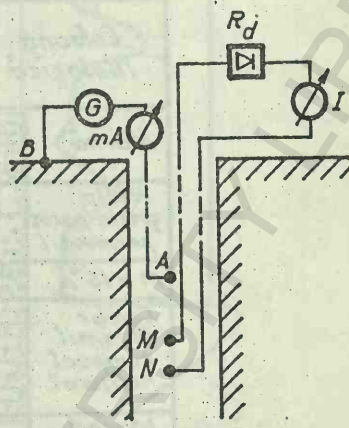
Aceste scheme permit înregistrarea curbelor de variație a rezistivității aparente în funcție de adîncime. Profilul electric standard fiind compus din următoarele curbe:

- o curbă de P.S. (înscrișă pe trasa din stînga a diagramei)

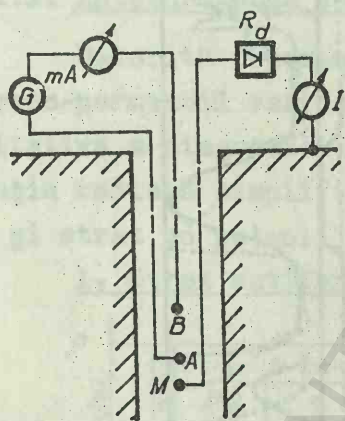
- o curbă de rezistivitate înregistrată cu dispozitiv potențial - $\rho_{0,3}$ *)
- o curbă de rezistivitate înregistrată cu dispozitiv gradient - $\rho_{2,15}$ *)



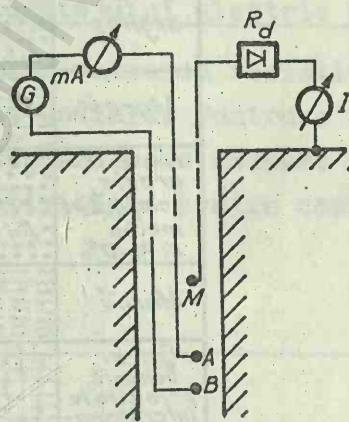
a - cu dispozitiv potențial ideal



b - cu dispozitiv gradient direct



c - cu dispozitiv potențial reciproc



d - cu dispozitiv gradient reciproc

Fig.12. Scheme principale de măsură:
G - generator de curent; mA - aparat de măsură a curentului; R_d - dispozitiv de redresare a semnalului; I - aparat de înregistrare.
(după A. Neguț)

Cele două curbe de rezistivitate sînt înscrise pe trasa din dreapta diagramelor.

* - indicele lui " ρ " reprezintă lungimea dispozitivului.

Un carotaj electric standard este redat in fig.13 a și b și anexa B₁; B₃.

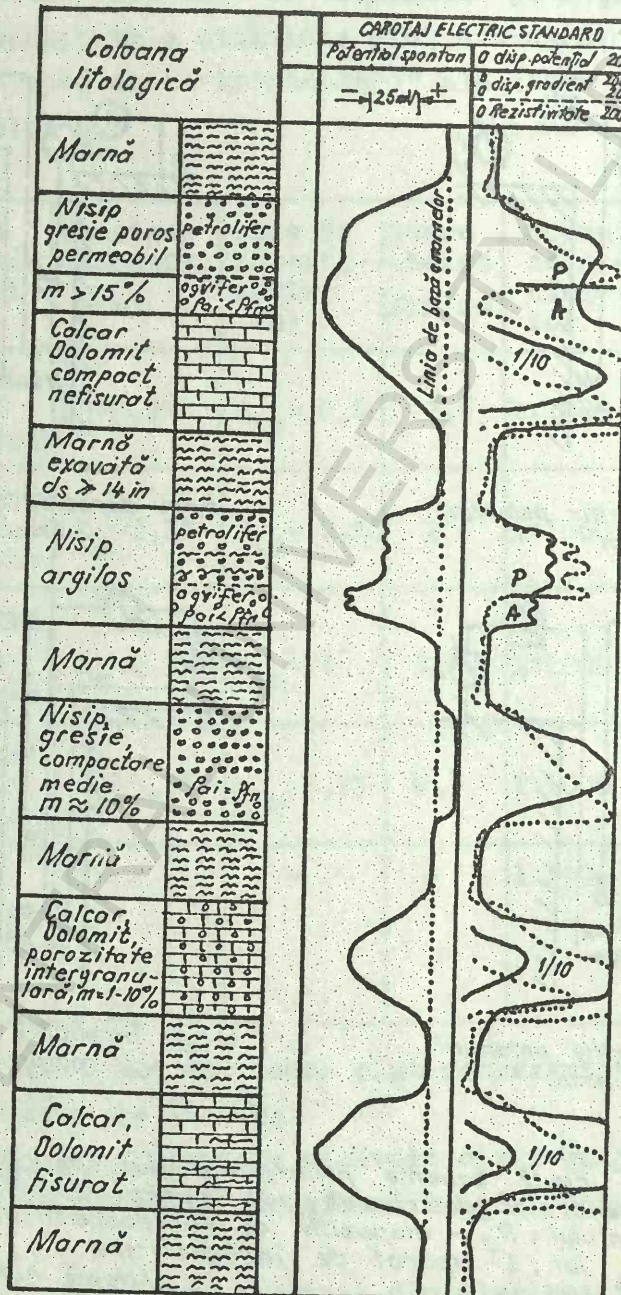


Fig.13a

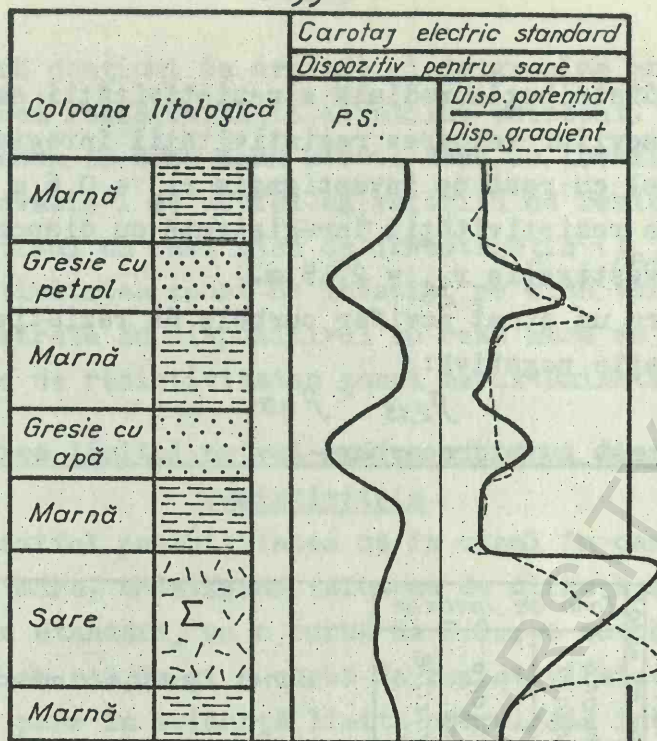


Fig.13b

3.1.1. Interpretarea calitativă a carotajului electric standard

Datorită fenomenului de invazie valoarea rezistivității stratului poros-permeabil variază în direcție radială. Pentru o interpretare cantitativă a diagramei electrice standard este necesar să reluăm distribuția radială simplificată a rezistivității pentru cazurile: strat acvifer și strat cu petrol.

1. Strat acvifer

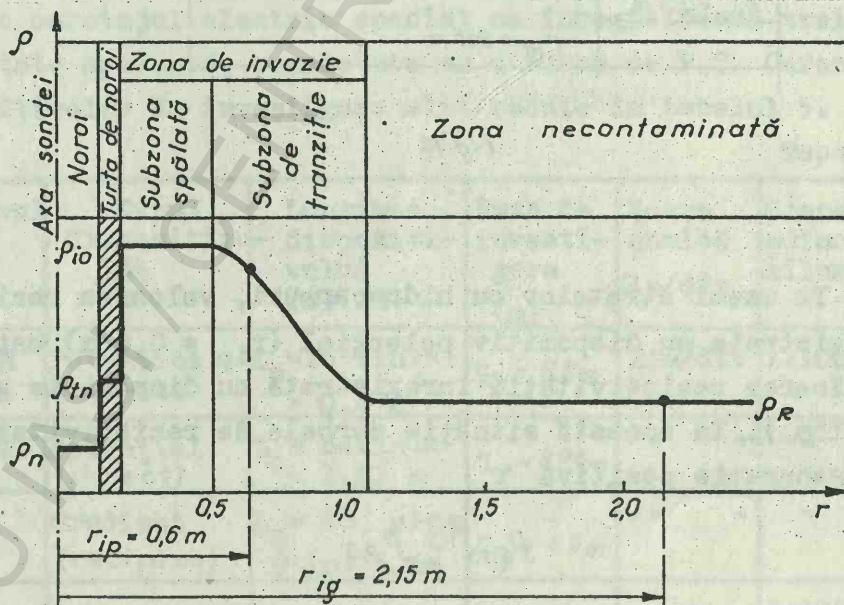


Fig.14

Din distribuția radială a rezistivității se observă că pentru un strat acvifer valoarea rezistivității înregistrate cu dispozitiv potențial cu rază de investigație $r_{ip} = 0,6 \text{ m}$ este mai mare decât valoarea rezistivității înregistrată cu dispozitiv gradient cu raza de investigație $r_{ig} = 2,15 \text{ m}$.

Pentru un strat acvifer curbele de rezistivitate vor prezenta o separație negativă:

$$\rho_{2,15} < \rho_{0,3}$$

2. Strat cu hidrocarburi

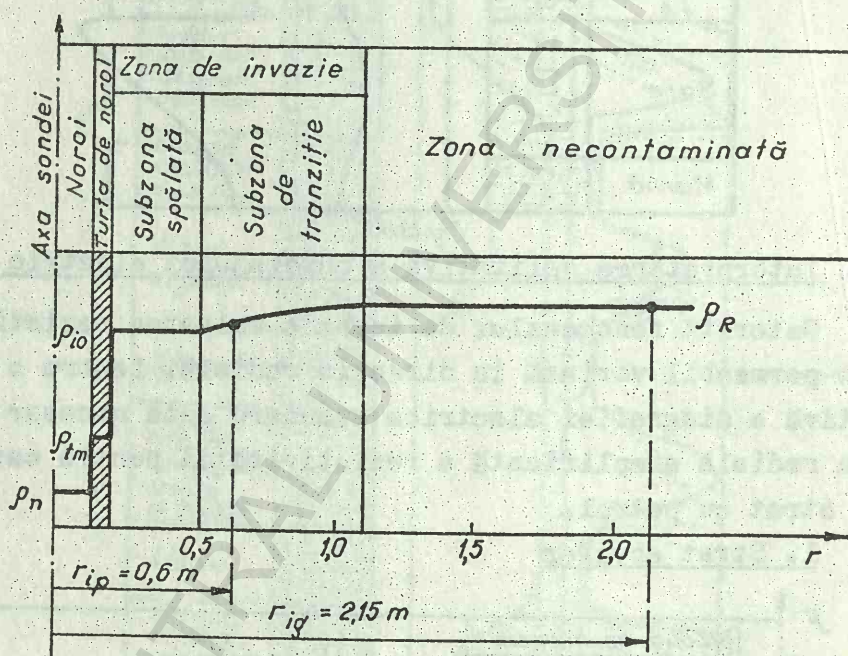


Fig. 15

În cazul straturilor cu hidrocarburi, valoarea rezistivității înregistrate cu dispozitiv potențial ($r_{ip} = 0,6 \text{ m}$) este mai mică decât valoarea rezistivității înregistrată cu dispozitiv gradient ($r_{ig} = 2,15 \text{ m}$). În această situație curbele de rezistivitate vor prezenta o separație pozitivă

$$\rho_{2,15} > \rho_{0,3}$$

În cele două cazuri prezentate mai sus s-a considerat un

strat curat (fără conținut de argilă) și de grosime mare în care nu intervine valoarea rezistivității stratului adiacent.

De asemenea în cele două strate zona de invazie nu este mare (diametrul de invazie ≈ 1 m) astfel că valorile de rezistivitate măsurate cu dispozitivul cu rază mică de investigație ($\rho_{0,3}$) sînt determinate de rezistivitatea zonei de invazie, pe cînd valorile de rezistivitate înregistrate cu dispozitivul cu rază mare de investigație sînt determinate de rezistivitatea zonei necontaminate.

3.1.2. Determinarea limitei petrol-apă cu ajutorul diagramei de rezistivitate

Există astfel posibilitatea ca în cazul în care diametrul de invazie nu este mare, nedepășind valoarea de circa 1 m, diagramele de carotaj electric standard, cu o curbă de P.S., o curbă de rezistivitate potențială $AM = 0,3m$ și o curbă de rezistivitate gradientă $AO = 2,15m$ poate pune în evidență limita petrol/apă într-un colector (fig.13.a); zona acviferă va fi reprezentată prin valori mici ale rezistivității pe curba gradientă, în timp ce zona petroliferă - prin valori crescute în raport cu valorile de rezistivitate înregistrate cu dispozitiv potențial. Intre cele două zone, apare zona de tranziție reprezentată printr-o variație lineară a curbei de rezistivitate gradientă (gradient de rezistivitate).

3.2. Carotajul electric special

În carotajul electric special se înregistrează trei curbe de rezistivitate aparentă, completate cu o curbă de P.S. Caracteristicile dispozitivelor de investigație sînt redată în tabelul 5.

Tabelul 5

Dispozitivul (simbol)	Tipul dispozitivului	Lungimea dispozitivului (m)(in)	Raza de investigare (m)	Scara ohmică $\Omega m/div$	Scara adîncimilor	Scara P.S. mV/div
A16M68,6N	Potențial (direct)	$L_p = 16$ (in) = $= 0,4$ m	$r_{ivg} = 0,8m$	20m/div	1:1000	-
A64M68,8N	Potențial (direct)	$L_p = 64$ (in) = $= 1,62$ m	$r_{ivg} = 3,24m$	" "	"	-
A26B224M	Gradient (reciproc)	$L_g = 18$ pic și 8 in = 5,6m	$r_{ivg} = 5,6m$	" "	"	-
P.S.	-	-	-	-	1:1000 1:200	$n_{PS} = 10$ mV/div

Intruseit punctele de raportare a valorii rezistivității măsurate sînt diferite pentru dispozitivele menționate, în aparatura de suprafață există un panou special care aduce valorile măsurate la același nivel de referință, de regulă la nivelul electrodului M_1 .

O diagramă de carotaj electric special este redată în anexa nr. B₂.

Carotajul electric special oferă rezolvarea principalelor probleme puse carotajului electric standard printre care: delimitarea straturilor poroase permeabile, aprecierea calitativă a naturii fluidelor conținute, corelare geologică etc. Schema principală de măsură este redată în fig. 16.

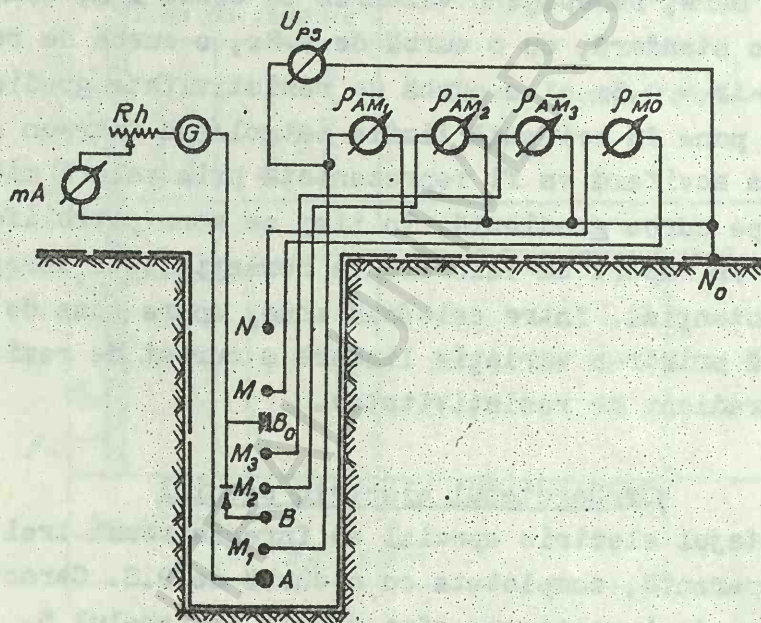


Fig. 16. Schema principală de măsură pentru înregistrarea simultană a 4 curbe de rezistivitate și o curbă de PS (după A. Neguț)

LUCRAREA NR. 1

CRITERII DE DETERMINARE A LIMITELOR SI GROSIMII STRATELOR POROASE PERMEABILE DIN CAROTAJUL ELECTRIC STANDARD

A. După curba de P.S.

Procedeele practice de determinare a grosimii și limitelor stratelor după curbele de P.S. rezultă din distribuția cîmpului electric natural creat de procesele electrochimice naturale ce dau naștere potențialului spontan.

Amplitudinea anomaliei și forma curbei de P.S. înregistrată în dreptul unui strat poros permeabil depinde de următorii factori care afectează distribuția liniilor de curent și căderile de potențial în fiecare mediu traversat de curenții de P.S.:

- potențialul spontan static " E_{ps} ";
- grosimea stratului " h ";
- rezistivitatea reală a stratului " ρ_R ";
- rezistivitatea " ρ_i " și diametrul D_i al zonei invadate;
- rezistivitatea noroiului de foraj ρ_n și diametrul sondei d ;
- rezistivitatea formațiunilor adiacente ρ_{ad} ;
- cantitatea de argilă conținută în stratul considerat;
- natura litologică a stratelor poroase-permeabile.

Față de factorii menționați mai sus, se evidențiază următoarele cazuri:

A₁. Sucesiuni nisipoase-grezoase în alternanță cu marne și argile impermeabile

A_{1.1}. Strate de grosime mare $h \geq 4 d$

În dreptul stratelor a căror grosime depășește de patru ori diametrul sondei, limitele stratului (H_{sup} - limita superioară și H_{inf} - limita inferioară) se determină în punctele în care valoarea înregistrată a anomaliei de P.S. este egală cu jumătate din amplitudinea maximă - metoda jumătății amplitudinii ($\frac{1}{2} \Delta E_{ps}$) (fig.17)

Modul de lucru

- 1) Se trasează "linia marnelor" de-a lungul valorilor elec-

tropozitive.

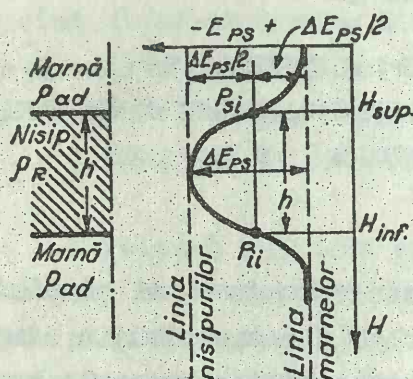


Fig. 17

2) Se determină amplitudinea maximă a anomaliei de P.S. - egală cu distanța (în centimetrii sau diviziuni) dintre linia marnelor și valoarea maximă electro-negativă.

Această valoare înmulțită cu scara de înregistrare a P.S.-ului dă valoarea maximă înregistrată în dreptul stratului în $mV-\Delta E_{PS}$

3. La jumătate din valoarea maximă a PS-ului ($\frac{1}{2}\Delta E_{PS}$) se trasează o verticală care intersectează curba de P.S. în două puncte. Aceste puncte, proiectate pe scara adâncimilor determină:

- punctul superior de intersecție, limita superioară a stratului - H_{sup} .
- punctul inferior de intersecție, limita inferioară a stratului - H_{inf} .
- grosimea stratului va fi:

$$h = H_{inf} - H_{sup}.$$

A1.2. Strate subțiri ($h \leq 4 d$)

În acest caz limitele stratului și grosimea se determină prin "metoda grosimii fictive".

1) Se determină grosimea fictivă a stratului " h_f " la fel ca în cazul stratelor groase (fig.18).

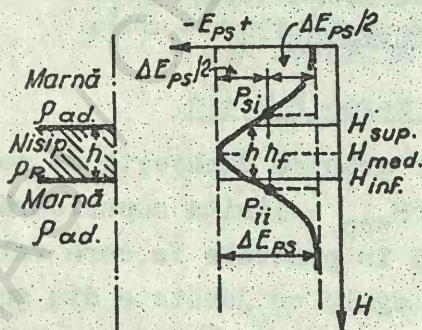


Fig. 18

ză curba de modul calculat ρ_R/ρ_n prin interpolare).

2) Se calculează raportul h_f/d

3) Se calculează raportul ρ_R/ρ_n

4) Se introduce valoarea h_f/d în ordonata abacei nr.3 și se deplasează punctul obținut orizontal pînă intersecția

(curba existentă sau obținută

5) Punctul de intersecție obținut se deplasează vertical în jos pînă la intersecția cu axa absciselor, obținîndu-se valoarea raportului $h/d = N$.

6) Grosimea stratului va fi:

$$h = Nd$$

Plasarea limitelor stratului se face plecînd de la faptul că, configurația curbei de P.S. este simetrică; prin urmare, punctul în care se înregistrează valoarea maximă va fi plasat la mijlocul stratului. Se notează cu H_{med} adîncimea acestui punct (adîncimea medie a stratului).

Limitele stratului se vor afla la adîncimile :

$$\left. \begin{aligned} H_{sup.} &= H_{med.} - \frac{h}{2} \\ H_{inf.} &= H_{med.} + \frac{h}{2} \end{aligned} \right\} \quad (3.2)$$

Procedeul expus mai sus necesită cunoașterea rezistivității reale " ρ_R " și a rezistivității noroiului ρ_n . Valori exacte ale acestor parametri presupun existența unor curbe care să permită determinarea lui ρ_R și măsurători ale rezistivității noroiului.

Rezultate bune se pot obține folosind metoda $\frac{2}{3} \Delta E_{PS}$. Această metodă constă în determinarea grosimii și limitelor straturilor poroase-permeabile la $2/3$ din amplitudinea curbei de P.S. (fig.19).

Modul de determinare

1. Se trasează linia marnelor.
2. Se determină amplitudinea maximă a curbei de P.S.
3. La $2/3$ din amplitudinea maximă ($2/3 A_{max}$ de linia marnelor) se trasează o verticală care intersectează curba de P.S. în două puncte.

Distanța măsurată în metri între cele două puncte de intersecție reprezintă grosimea stratului "h".

4. Se determină adîncimea medie a stratului - H_{med} .

Limitele stratului se determină cu relațiile (3.2).

Observație. Pentru a putea compara grosimea stratului "h" cu diametrul sondei, pentru toate stratele (groase și subțiri) se de-

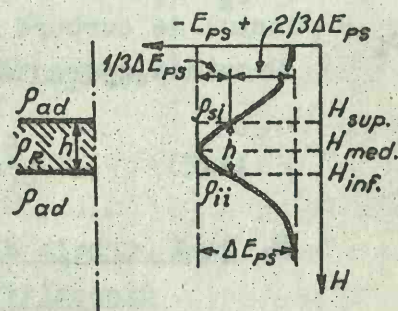


Fig. 19

termină mai întâi "h" la $1/2 \Delta E_{ps}$. Această valoare se compară cu 4 d.

A.2. Succesiuni carbonatate

În succesiuni carbonatate: calcare, dolomite cu porozitate intergranulară și/sau fisurate (porozitate secundară) cu zone compacte sau depozite hidrochimice, grosimea și limitele straturilor poros-permeabile se determină astfel:

A.2.1. Strate groase

În zonele compacte curba de P.S. are o variație liniară. Limita dintre o zonă compactă și una poroasă permeabilă este definită printr-o inflexiune convexă, c_x , în punctul de curbură maximă - H_{c_x} (fig.20).

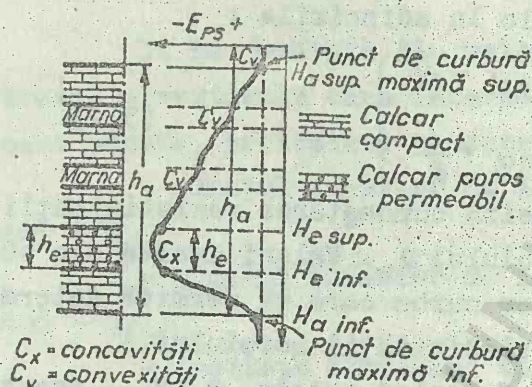


Fig. 20

definite prin inflexiuni convexe și concave.

Un pachet de strate este definit printr-o anomalie, care începe cu H_{cs} , punctul de curbură maximă superior și se termină cu H_{ci} - punctul de curbură maximă inferior.

Grosimea aparentă a pachetului de strate este:

$$h_A = H_{ci} - H_{cs} \quad (3.3)$$

B. După curbele de rezistivitate - înregistrate cu dispozitive potențiale și gradient

Configurația curbelor reale de rezistivitate aparentă depinde de tipul dispozitivului, de rezistivitatea și grosimea stratului și de raportul dintre grosimea straturilor și lungimea dispozitivelor utilizate.

B.1. Determinarea grosimii și plasarea limitelor stratului după curbele de rezistivitate înregistrate cu dispozitiv gradient

Curbele de rezistivitate aparentă înregistrate cu dispozitiv gradient sînt asimetrice în raport cu planul median al stratului. Pentru determinarea grosimii stratului poros-permeabil și a limitelor acestuia se iau în considerare punctele caracteristice de pe curbă a căror poziție în raport cu limitele stratului este cunoscută. În funcție de rezistivitatea stratului poros-permeabil se deosebesc:

B.1.1. Rezistivitatea stratului poros-permeabil mai mare decît rezistivitatea stratelor adiacente ($\rho_e > \rho_{ad}$)

În acest caz în funcție de raportul dintre lungimea dispozitivului și grosimea stratului se evidențiază următoarele situații:

a) Strat de grosime mare $h > \overline{MO}$ (\overline{AO})

Curba de rezistivitate aparentă prezintă următoarele puncte caracteristice (fig.21) :

- un punct de rezistivitate maximă ρ_{amax} căruia îi corespunde adîncimea H_{max} ;

- un punct de rezistivitate minimă ρ_{amin} căruia îi corespunde adîncimea H_{min} .

Aceste două adîncimi H_{max} și H_{min} sînt situate față de limitele stratului (H_{inf} - limita inferioară, H_{sup} - limita superioară) la o distanță egală cu $\frac{MN}{2}$ respectiv $\frac{AB}{2}$. Limitele stratului se pot determina cu relațiile

$$\left. \begin{aligned} H_{sup} &= H_{min} + \frac{1}{2} \overline{MN} (\overline{AB}) \\ H_{inf} &= H_{max} + \frac{1}{2} \overline{MN} (\overline{AB}) \end{aligned} \right\} \quad (3.4)$$

Grosimea stratului este dată de :

$$h = H_{inf} - H_{sup} = H_{max} - H_{min}$$

b) Strat de grosime mică $h \leq \overline{AO}$ (\overline{MO})

Pentru strate subțiri curba de rezistivitate aparentă prezintă următoarele puncte caracteristice (fig.22):

- un punct de rezistivitate maximă ρ_{amax}
- un punct de maxim ecranat ρ_{ame} căruia îi corespunde adînci-

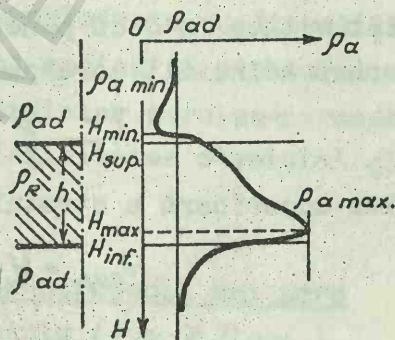


Fig. 21

mea H_{me} .

Limita inferioară a stratului H_{inf} se găsește la o distanță egală cu lungimea dispozitivului față de H_{me} , deci

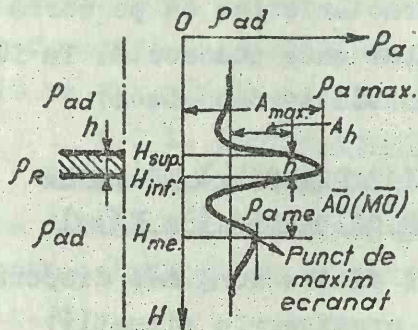


Fig. 22

$$H_{inf} = H_{me} - \overline{AO}(\overline{MO}) \quad (3.5)$$

Pentru determinarea grosimii stratului se procedează astfel:

Se împarte în trei părți egale distanța dintre linia de zero a rezistivității și $\rho_{\alpha_{max}}$, distanță care este egală cu amplitudinea maximă a curbei de rezistivitate A_{max} . La $2/3 A_{max}$ de

la linia de zero se trasează o verticală care va intersecta curba de rezistivitate în două puncte. Distanța dintre aceste puncte măsurată pe scara adâncimii corespunde grosimii stratului

$$\left. \begin{aligned} h &\rightarrow \frac{2}{3} A_{max} \\ \text{Limita superioară a stratului va fi} \\ H_{sup} &= H_{inf} - h \end{aligned} \right\} \quad (3.6)$$

B.1.2. Rezistivitatea stratului poros-permeabil mai mică decât rezistivitatea stratelor adiacente $\rho_R < \rho_{ad}$

În acest caz modul de determinare este același atât pentru strate de grosime mare ($h > \overline{MO}(\overline{AO})$) cât și pentru strate de grosime mică ($h < \overline{MO}(\overline{AO})$).

Pe curba de rezistivitate aparentă se pun în evidență două puncte caracteristice și anume ρ_{amax} și ρ_{amin} (fig.23) cărora le corespunde adâncimile H_{max} și H_{min} . Aceste adâncimi sînt situate față de limitele stratului la distanțe egale cu $\frac{MN}{2} (\frac{AB}{2})$.

Limita superioară a stratului va fi egală cu :

$$\left. \begin{aligned} H_{sup} &= H_{min} - \frac{1}{2} \overline{MN}(\overline{AB}) \\ \text{iar limita inferioară} \\ H_{inf} &= H_{max} - \frac{1}{2} \overline{MN}(\overline{AB}) \\ \text{Grosimea stratului este} \\ h &= H_{inf} - H_{sup} = H_{max} - H_{min} \end{aligned} \right\} \quad (3.7)$$

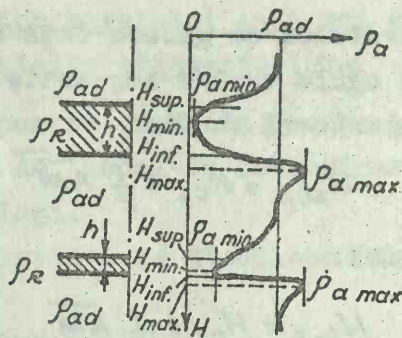


Fig. 23

B.2. Determinarea grosimii și a limitelor stratului poros-permeabil după curbele de rezistivitate înregistrate cu dispozitiv potențial

Curbele de rezistivitate aparentă înregistrate cu dispozitive potențiale sînt simetrice în raport cu planul median al stratului. Pentru determinarea limitelor și a grosimii stratelor poroase-permeabile se deosebesc două cazuri în funcție de rezistivitatea stratului și anume:

B.2.1. Rezistivitatea stratului poros-permeabil mai mare decît rezistivitatea stratelor adiacente ($\rho_R > \rho_{ad}$)

Configurația curbelor de rezistivitate este dependentă de raportul dintre lungimea dispozitivului și grosimea stratului. Procedeele de determinare a limitelor și grosimii stratului sînt în funcție de acest raport, redată în cele ce urmează:

a) Strat de grosime mare $h > 5 AM$

Curba de rezistivitate prezintă următoarele puncte caracteristice (fig.24):

- un punct de curbă maximă superior, ρ_{cs} , căruia îi corespunde adîncimea H_{cs} ;
- un punct de curbă maximă inferior, ρ_{ci} , căruia îi corespunde adîncimea H_{ci} .

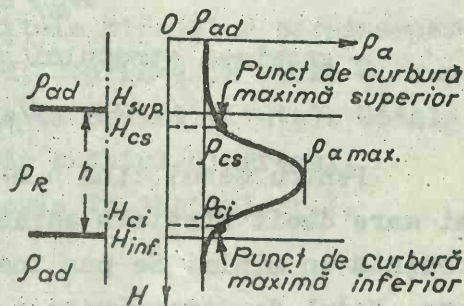


Fig. 24

Procedeeul de determinare a limitelor stratului constă în:

- stabilirea punctelor de curbă maximă și a adîncimilor co-

responsabile lor.

Limitele stratului se găsesc față de aceste adâncimi (H_{cs} și H_{ci}) la o distanță egală cu $1/2 \overline{AM}$, astfel că:

- limita superioară va fi:

$$H_{sup} = H_{cs} - \frac{1}{2} \overline{AM}$$

iar limita inferioară:

$$H_{inf} = H_{ci} + \frac{1}{2} \overline{AM} \quad (3.8)$$

Cunoscând limitele stratului, grosimea lui este dată de:

$$h = H_{inf} - H_{sup} = H_{ci} - H_{cs} + \overline{AM}$$

b) Strate de grosime mică $h < 5 \overline{AM}$ și $h \leq \overline{AM}$

În acest caz curba de rezistivitate aparentă prezintă următoarele puncte caracteristice (fig.25):

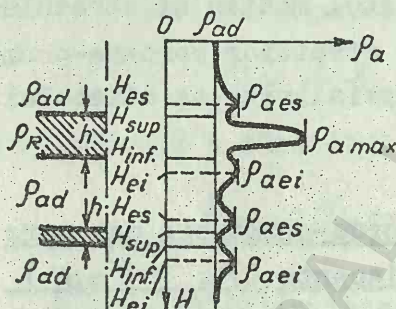


Fig. 25

- punctul superior de ecranare ρ_{aes} - căruia îi corespunde adâncimea H_{es}

- punctul inferior de ecranare ρ_{aei} - căruia îi corespunde adâncimea H_{ei}

Față de aceste puncte limitele stratului se găsesc la distanța de $1/2 \overline{AM}$, deci:

- limita superioară este:

$$H_{sup} = H_{es} + \frac{1}{2} \overline{AM}$$

- limita inferioară

$$H_{inf} = H_{ei} - \frac{1}{2} \overline{AM}$$

- grosimea stratului va fi egală cu:

$$h = H_{inf} - H_{sup} = H_{ei} - H_{es} - \overline{AM} \quad (3.9)$$

Pentru cazul când $h \leq \overline{AM}$, deși stratul are o rezistivitate mai mare decât stratele adiacente, curba de rezistivitate aparentă prezintă un minim. Se pun însă în evidență cele două puncte de ecranare. Modul de determinare a grosimii și limitelor stratului este identic cu cel prezentat mai sus, când grosimea stratului este cuprinsă între $5 \overline{AM}$ și \overline{AM} .

B.2.2. Rezistivitatea stratului este mai mică decât rezistivitatea stratelor adiacente ($\rho_R < \rho_{ad}$)

În acest caz atât pentru stratele groase $h > 5 \overline{AM}$ cât și pentru stratele subțiri $h < 5 \overline{AM}$ modul de determinare al grosimii și limitelor stratului este același.

Pe curba de rezistivitate se stabilesc următoarele puncte caracteristice (fig.26) :

- un punct de curbă maximă superior, căruia îi corespunde adâncimea H_{cs} ;

- un punct de curbă maximă inferior, căruia îi corespunde adâncimea H_{ci} .

Aceste puncte sînt deplasate față de limitele stratului cu distanța $1/2 \overline{AM}$, astfel că:

- limita superioară este egală cu :

$$H_{sup} = H_{cs} + \frac{1}{2} \overline{AM}$$

- iar limita inferioară:

$$H_{inf} = H_{ci} - \frac{1}{2} \overline{AM}$$

Cunoscînd limitele, grosimea stratului este:

$$h = H_{inf} - H_{sup} = H_{ci} - H_{cs} - \overline{AM}$$

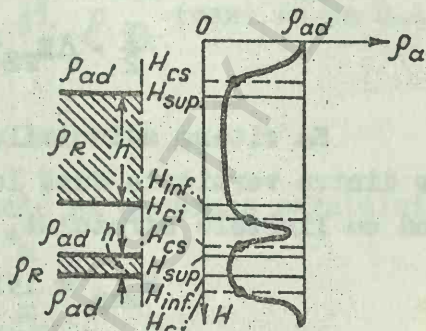


Fig. 26

(3.10)

EXERCITII

Să se determine grosimea și limitele stratelor poroase-permeabile din diagramele electrice standard, cuprinsă în anexa B₁ după cele trei curbe (curba de P.S și curbele de rezistivitate). Datele necesare determinărilor, sînt înscrise în antetul diagramei.

Rezultatele obținute se vor înscrie în tabelul nr.I.

Exemplu

A) după curba de P.S.

Din diagramă se citesc valorile:

- Scara adâncimilor - 1:200 (1 mm = 0,2 m)

- Scara P.S. - $n = 12,5 \text{ mV/cm}$
 - Diametrul sondei - $d = 254 \text{ mm}$.
 - Distanța dintre linia marnelor și punctul de maxim al amplitudinii curbei de P.S. - $x = 5,9 \text{ cm}$.
- Se calculează:

$$\Delta E_{PS} = -x [\text{cm}] \cdot n [\text{mV/cm}] = -5,9 \cdot 12,5 = -73,75 \text{ mV}$$

$$\frac{1}{2} \cdot \Delta E_{PS} = -36,8 \text{ mV}$$

Se citesc adâncimile corespunzătoare punctelor de intersecție dintre verticala dusă la $1/2 \Delta E_{PS}$ și curba de P.S. care corespund cu limitele stratului, respectiv:

$$H_{sup} = 1511,4 \text{ m}$$

$$H_{inf} = 1514,11 \text{ m}$$

$$h = H_{inf} - H_{sup} = 2,7 \text{ m}$$

$$4d = 4 \cdot 254 \text{ mm} = 1016 \text{ mm} = 1,016 \text{ m}$$

$$h > 4d \text{ (strat de grosime mare).}$$

B) după curba de rezistivitate înregistrată cu dispozitiv gradient $\rho_{2,15}$

- dispozitivul B 0,3 A 2 M; $\overline{BA} = 0,3 \text{ m}$; $\frac{1}{2} \overline{BA} = 0,15 \text{ m}$;
 $OM = 2,15 \text{ m}$

- configurația curbei de rezistivitate corespunde unui strat gros.

Pe curba $\rho_{2,15}$ se fixează ρ_{min} și ρ_{max} (vezi anexa B.1) și se determină adâncimile corespunzătoare:

$$H_{min} = 1511,2 \text{ m}$$

$$H_{max} = 1513,9 \text{ m}$$

Conform relațiilor (3.4) limitele și grosimea stratului sînt:

$$H_{sup} = 1511,2 + 0,15 = 1511,35 \text{ m}$$

$$H_{inf} = 1513,9 + 0,15 = 1514,05 \text{ m}$$

$$h = 1514,05 - 1511,35 = 2,7 \text{ m}$$

$$h > \overline{OM} \text{ (strat de grosime mare).}$$

C) după curba de rezistivitate înregistrată cu dispozitiv potențial - $\rho_{0,3}$

- dispozitivul M 0,3 A 2 B; $\overline{MA} = 0,3$ m; $\frac{1}{2} MA = 0,15$ m; $5\overline{MA} = 1,5$ m;
- configurația curbei de rezistivitate corespunde unui strat gros.

Pe curba $\rho_{0,3}$ se fixează ρ_{cs} și ρ_{ci} (vezi anexa B.1) și se determină adâncimile corespunzătoare:

$$H_{cs} = 1511,6 \text{ m}$$

$$H_{ci} = 1513,9 \text{ m}$$

Conform relațiilor (3.8) limitele și grosimea stratului sînt:

$$H_{sup} = 1511,6 - 0,15 = 1511,45 \text{ m}$$

$$H_{inf} = 1513,9 + 0,15 = 1514,05 \text{ m}$$

$$h = 2,6 \text{ m}$$

$$h > 5\overline{AM} \text{ (strat de grosime mare)}$$

Tabelul I

Nr. strat	P.S.				Disp.gradient				
	ΔE_{PS}	H_{sup}	H_{inf}	h	H_{min}	H_{max}	H_{sup}	H_{inf}	h
	[mV]	[m]	[m]	[m]	H_{ei}	-	H_{sup}	H_{inf}	h
1	-74mV	1511,4	1514,1	2,7	1511,2	1513,9	1511,35	1514,05	2,7

(continuare)

Nr. strat	Disp.potențial					Observații
	H_{cs}	H_{ci}	H_{sup}	H_{inf}	h	
1	H_{es}	H_{ei}	H_{sup}	H_{inf}	h	Strat de grosime mică
	1511,6	1513,9	1511,45	1514,05	2,6	Strat de grosime mare
						$h > 4d$; $h > 5\overline{MA}$, $h > \overline{OM}$

LUCRAREA NR. 2

DETERMINAREA REZISTIVITĂȚII ȘI CONCENTRAȚIEI
APEI DE ZĂCĂMÎNT

1. Rezistivitatea apei de zăcămînt

Rezistivitatea apei de zăcămînt notată " ρ_{ai} " reprezintă un parametru de bază în interpretarea cantitativă a diagramei geofizice, în scopul evaluării conținutului colectoarelor, prin determinarea coeficientului de saturație în apă (ecuația 1.22)

Apele de zăcămînt reprezintă soluții electrolitice de săruri, între care predomină NaCl, dar se mai întîlnesc și alte săruri, cum sînt Na_2SO_4 , Na_2CO_3 , NaHSO_4 , CaCO_3 , $\text{Ca}(\text{HCO}_3)_2$, MgSO_4 , MgCl_2 , KCl etc.

Concentrația în săruri a apei de zăcămînt, notată cu C_{ai} , este determinată de cantitatea de săruri dizolvate și se poate exprima în următoarele unități utilizate în practică:

- grame/litru [g/l], reprezentînd cantitatea de sare - în grame, conținută într-un litru de soluție;
- kilograme/vagon [kg/vag], reprezentînd cantitatea de sare - în kg, conținută în 10.000 l de soluție;
- grame/litru solvent [g/l solv.], reprezentînd cantitatea de sare, în grame, dizolvată într-un litru de solvent (apă);
- părți per milion [p.p.m], reprezentînd cantitatea de sare în $\mu\text{g} = 10^{-6}$ g (sau în g) dizolvată într-un g (sau 10^6 g) de soluție.

Între unitățile g/l, g/l solv. și p.p.m. se poate determina echivalența conform graficului din fig.27.

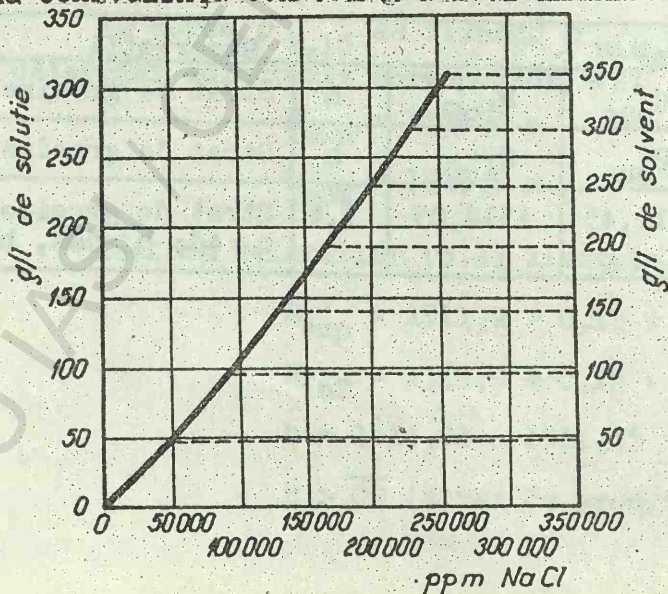


Fig.27. Grafic de echivalență între concentrațiile de NaCl în apa de zăcămînt exprimate în g/l soluție, g/l solvent și ppm (după Desbrandes).

Intre unitățile kg/vag și g/l echivalența este: 1 kg/vag = 10 g/l. In soluții, moleculele sărurilor se disociază în cationi: Na^+ , K^+ , Ca^{++} , Mg^{++} etc. și în anioni: Cl^- , SO_4^{--} , HCO_3^{--} etc. Prin deplasarea cationilor și a anionilor, sub influența unui potențial electric, are loc conducția electrolitică a curentului electric prin soluție. Cu cât cantitatea cationilor și, respectiv a anionilor crește, cu atât conducția electrică este mai puternică.

Metoda practică de determinare a rezistivității și concentrației apei de zăcămint din diagrapia de P. S.

Pentru determinarea rezistivității apei de zăcămint, în baza relației (2.7) se utilizează curba de P.S. asociată unui carotaj electric, electric lateral-metoda D.R.R.etc.

Efectuarea lucrării se desfășoară în următoarele etape:

a) Citirea valorilor parametrilor înscrisi în antetul diagramei:

- scara adâncimilor (1:1000, 1:500 sau 1:200),
- adâncimea maximă la talpa sondei, H_{\max} (în m),
- temperatura maximă la talpa sondei, T_{\max} (în $^{\circ}\text{C}$),
- rezistivitatea noroiului la suprafață, respectiv la 18°C , $(\rho_n)_{18}$ (în Ωm); precum și rezistivitățile filtratului de noroi, $(\rho_{fn})_{18}$ și a turtei de noroi, $(\rho_{tn})_{18}$ - dacă sînt determinate;
- scara de măsură a curbei de P.S., " n_{PS} " (în mV/cm, sau mV/div. 1 div = 0,635 cm);
- scara de măsură a curbelor de rezistivitate aparentă, ρ_A , -n (în $\Omega\text{m/cm}$);
- diametrul sondei, d, sau diametrul nominal al sapei d_n (în mm).

b) Alegerea unui strat poros-permeabil saturat cu apă de zăcămint după următoarele criterii:

- "anomalie" electronegativă pe curba de P.S.;
- "separație" negativă pe curbele de rezistivitate aparentă:

$$\rho_{MO(AO)} \ll \rho_{AM}$$

c) Determinarea limitelor stratului poros-permeabil ales, a grosimii și a dîncimii medii a acestuia H_{\sup} , H_{\inf} , h , H_{med} :

- adîncimea medie a stratului $H_{\text{med}} = H_{\sup} + \frac{h}{2}$ (în m).

d) Determinarea valorii potențialului spontan înregistrat;

ΔE_{PS} :

- pentru "anomalia" electronegativă

$$\Delta E_{PS} = - X \text{ (cm sau div.)} : n_{PS} \text{ (mV/cm sau mV/div.)}$$

e) Determinarea temperaturii formației, T:

1) dacă se cunoaște temperatura maximă (la talpa sondei),

T_{max}

- temperatura crește proporțional cu adâncimea (fig.28), începând de la temperatura medie anuală a solului de 15°C ;

- la adâncimea medie a stratului H_{med} se poate scrie:

$$\frac{T - 15^{\circ}}{T_{max} - 15^{\circ}} = \frac{H_{med.}}{H_{max.}} \quad (3.11)$$

de unde

$$T = \frac{H_{med.}}{H_{max.}} (T_{max} - 15^{\circ}) + 15^{\circ} \quad [^{\circ}\text{C}]$$

2) dacă nu se cunoaște temperatura maximală, dar se cunoaște gradientul geotermic (după hărțile gradientilor geotermici) :

- gradientul geotermic reprezintă variația de temperatură cu adâncimea

$$G_t = \frac{\Delta T}{\Delta H} \quad [\text{în } ^{\circ}\text{C}/100\text{ m}] \quad (3.12)$$

- temperatura la adâncimea H_{med} , în raport cu temperatura medie anuală a solului de 15°C :

$$T = H_{med.} \frac{G_t}{100} + 15^{\circ} \quad [^{\circ}\text{C}] \quad (3.13)$$

Observație: în caz că nu se cunoaște gradientul geotermic al zonei respective, acesta poate fi estimat cu valoarea medie a acestuia:

$$G_t = 3,33^{\circ}\text{C}/100\text{ m} \quad (3.14)$$

f) Determinarea rezistivității filtratului de noroi la suprafață

$(\rho_{fn})_{18}$ (dacă nu a fost determinată anterior și înscrisă în antetul diagramei) și corecția rezistivității noroiului și a filtratului de noroi pentru temperatura stratului, $(\rho_n)_T$ și $(\rho_{fn})_T$:

- rezistivitatea filtratului de noroi poate fi determinată din rezistivitatea noroiului pe baza relației

$$(\rho_{fn})_{18} = \eta(\rho_n)_{18} \quad (3.15)$$

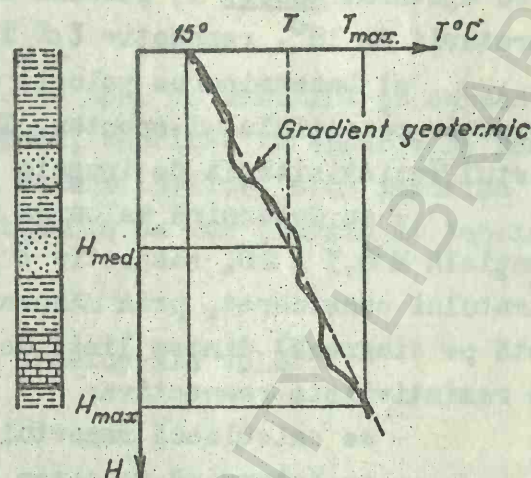


Fig. 28 Termograma de sondă și coloana litologică

unde $\eta = f(\sigma_n)$ este un coeficient care depinde de greutatea specifică a noroiului și se determină din graficul din figura 29. Într-o primă aproximație se poate considera $\eta = 0,8$, deci $(\rho_{fn})_{18} = 0,8(\rho_n)_{18}$

- se determină valorile rezistivității noroiului $(\rho_n)_T$ și rezistivității filtratului de noroi $(\rho_{fn})_T$ la temperatura stratului T°

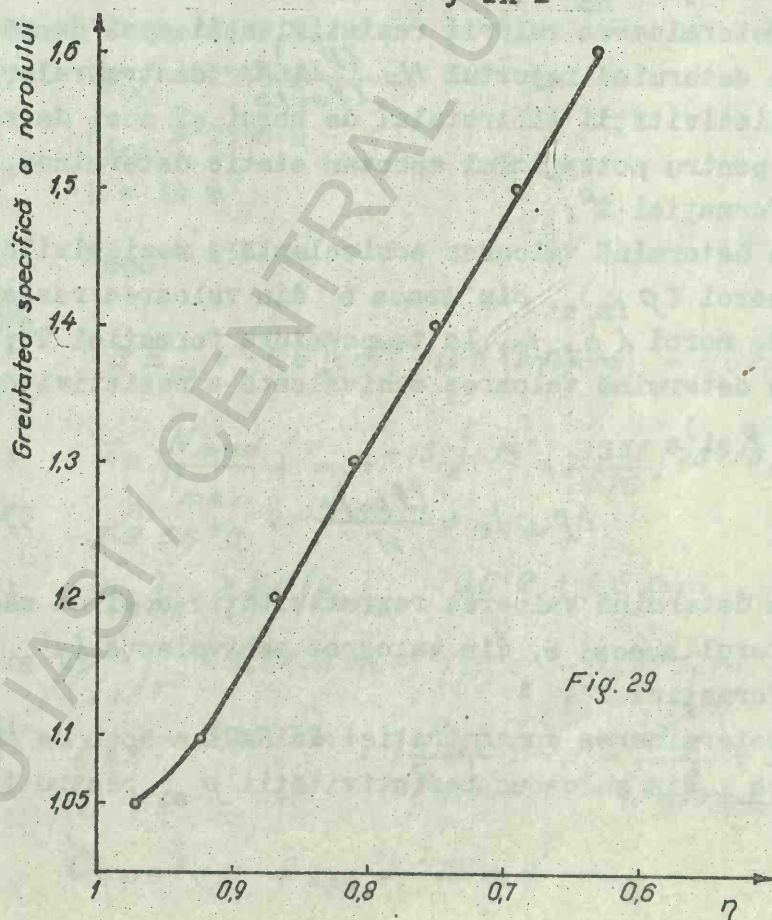


Fig. 29

- cu ajutorul Abacei 1, plecând de la valorile corespunzătoare temperaturii de 18° , respectiv $(\rho_n)_{18}$ și $(\rho_{fn})_{18}$.

g) Determinarea valorii potențialului spontan static, E_{PSS} corecția potențialului spontan, E_{PS} cu grosimea stratului, h , și raportul rezistivității de invazie și a noroiului, $\frac{\rho_i}{\rho_n}$:

- se determină valoarea rezistivității aparente pe curba potențială M 0,3 A 2B, respectiv $\rho_{0,3} = \rho_{AM}$ (pt. AM = 0,3), în dreptul stratului considerat, prin măsurarea distanței (la scara ohmică marcată pe diagramă) dintre linia de zero și punctul de maxim al curbei de rezistivitate respective;

- se calculează raportul $\frac{\rho_{0,3}}{(\rho_n)r}$;

- se determină valoarea raportului rezistivității zonei de invazie și a noroiului $\frac{\rho_i}{(\rho_n)r}$, cu ajutorul Nomogramei 10, pentru valoarea corespunzătoare a diametrului nominal al găurii de sondă, d_n ;

- se determină factorul de corecție C_{PS} , cu ajutorul Abacei 1 pentru raportul $\frac{\rho_i}{(\rho_n)r}$ determinat și grosimea h a stratului;

- se determină potențialul spontan static, E_{PSS} din Nomograma 4 asociată Abacei 4, din valoarea potențialului spontan E_{PS} , cu factorul de corecție C_{PS} determinat.

h) Determinarea valorii rezistivității apei de zăcămint, ρ_{ai}

- se determină raportul $N = \frac{(\rho_{fn})_e}{(\rho_{ai})_e}$ dintre valorile echivalente ale rezistivității filtratului de noroi și apei de zăcămint, din Abaca 5 pentru potențialul spontan static determinat, E_{PSS} și temperatura formației T° ;

- se determină valoarea echivalentă a rezistivității filtratului de noroi $(\rho_{fn})_e$, din Abaca 6 din valoarea rezistivității filtratului de noroi $(\rho_{fn})_T$, la temperatura formației T° ;

- se determină valoarea echivalentă a rezistivității apei de zăcămint $(\rho_{ai})_e$

$$(\rho_{ai})_e = \frac{(\rho_{fn})_e}{N} ; \quad (3.16)$$

- se determină valoarea rezistivității apei de zăcămint, ρ_{ai} , cu ajutorul Abacei 6, din valoarea echivalentă $(\rho_{ai})_e$, pentru temperatura formației T° .

i) Determinarea concentrației în NaCl a apei de zăcămint, C_{ai} , din Abaca 1 din valoarea rezistivității ρ_{ai} pentru temperatura formației T° .

EXERCITII

Să se determine rezistivitatea apei de zăcămint și concentrația din diagrapia electrică standard, cuprinsă în anexa B.3, pentru stratele 1...7. Datele necesare determinărilor, sînt înscrise în antetul diagramei. Rezultatele obținute se vor înscrie în tabelul nr. II.

Exemplu

a) Din diagrapie se citesc următoarele valori:

Scara adîncimilor: 1:1000

$$H_{\max} = 2576 \text{ m}$$

$$T_{\max} = 75^{\circ}\text{C}$$

$$(\rho_n)_{18^{\circ}} = 2 \Omega \text{ m}$$

$$n_{PS} = 12,5 \text{ mV/cm}$$

$$d_n = 311,2 \text{ mm}$$

b) Stratul nr.1 - anomalie electronegativă pe curba de P.S.

c) Determinarea limitelor, grosimii și adîncimii medii a stratului (după curba de P.S.).

$$H_{\sup} = 2344 \text{ m}$$

$$H_{\inf} = 2358 \text{ m}$$

$$h = 14 \text{ m}$$

$$H_{\text{med}} = 2351 \text{ m}$$

d)

$$\Delta E_{PS} = -6,6 [\text{cm}] \cdot 12,5 [\text{mV/cm}] = -82,5 \text{ mV}$$

$$e) \quad T = \frac{H_{\text{med}}}{H_{\max}} (T_{\max} - 15^{\circ}) + 15^{\circ} = \frac{2351}{2576} (75 - 15) + 15 = 55,8^{\circ}\text{C}$$

$$T \approx 56^{\circ}\text{C}$$

$$f) \quad (\rho_{fn})_{18^{\circ}} = 0,8 (\rho_n)_{18^{\circ}} = 0,8 \cdot 2 = 1,6 \Omega \text{ m}$$

$$(\rho_{fn})_T = 0,77 \Omega \text{ m} ; (\rho_n)_T = 0,97 \Omega \text{ m}$$

$$g) \quad \rho_{0,3} = 3,00 \Omega \text{ m} ; \frac{\rho_{0,3}}{(\rho_n)_T} = 3,1 ; \frac{\rho_i}{(\rho_n)_T} = 3,6$$

$$C_{PS} = 1 ; E_{PSS} = -76 \text{ mV}$$

$$h) \quad N = \frac{(\rho_{fn})_e}{(\rho_{ai})_e} = 9,7;$$

$$(\rho_{fn})_e = 0,47 \, \Omega m$$

$$(\rho_{ai})_e = \frac{(\rho_{fn})_e}{N} = \frac{0,47}{9,7} = 0,048 \, \Omega m$$

$$\rho_{ai} = 0,045 \, \Omega m$$

$$i) \quad C_{ai} = 1000 \, Kg \, sare / vag.$$

j). Rezultatele determinării rezistivității și concentrației
apei de zăcămint

Sonda X - C

Adâncimea maximă $H_{max} = 2576 \, m$

Diametrul nominal al sapei $d_n = 311,2 \, mm$

Scara adâncimilor 1:1000

Temperatura maximă $T_{max} = 75 \, ^\circ C$

Greutatea specifică a noroiului $\sigma_n = 1,25 \, g/cm^3$; $\eta = \dots\dots\dots$

Rezistivitatea: - noroiului $\rho_n = 2 \, \Omega/m$

- filtratului de noroi $\rho_{fn} = 1,6 \, \Omega/m$

Scări de măsură: PS $n_{PS} = 12,5 \, mV/cm$; $\rho_A \quad n = 2,5 \, \Omega m/cm$

Tabelul nr. II

Nr.	Interval $H_s - H_i$ (m)	h (m)	H_m (m)	E_{PS} (mV)	T ($^\circ C$)	$(\rho_n)_T$ (Ωm)	$(\rho_{fn})_T$ (Ωm)	$\rho_{0,3}$ Ωm	$\frac{\rho_{0,3}}{(\rho_n)_T}$	$\frac{\rho_i}{(\rho_n)_T}$	C_{PS}	E_{PSS} (mV)	$N = \frac{(\rho_{fn})_e}{(\rho_{ai})_e}$
1	2344-2358	14	2351	82,5	56	0,97	0,77	3	3,1	3,6	1	-76	9,7

(continuare)

Nr.	$(\rho_{fn})_e$ (Ωm)	$(\rho_{ai})_e$ (Ωm)	ρ_{ai} (Ωm)	C_{ai} (g/l) (Kg Σ /vag)
1	0,47	0,048	0,045	1000

3.3. Metode cu microdispozitive

Microdispozitivele sînt folosite pentru a măsura rezistivitatea unor volume mici de rocă din imediata apropiere a peretelui sondei. Avînd în vedere procesul de invazie în stratele poros-permeabile, măsurătorile efectuate cu microdispozitive se raportează la turta de năroi și subzona spălată, mediu care oferă posibilitatea determinării unor parametrii de mare utilitate pentru caracterizarea formațiunilor.

3.3.1. Microcarotajul electric convențional

În microcarotaj, pentru măsurarea rezistivității se folosește același principiu ca și în cazul metodelor electrice convenționale (standard) cu macrodispozitive, exceptînd particularitățile constructive ale dispozitivului de investigare.

Particularitatea constă în faptul că cei trei electrozi A , M_1 , M_2 , sînt plasați pe o patină electroizolantă la o distanță de 1 inch (0,025 m) unul de altul (fig.30.a). Dispozitivul conține două patine, una pe care sînt plasați electrozii, cealaltă avînd rol de ghidaj. Cele două patine sînt menținute presat pe peretele sondei cu ajutorul unui sistem de pîrghii și resoarte, eliminînd în acest fel influența fluidului de foraj din gaura de sondă (fig. 33).

Cercetarea formațiunilor traversate de sondă se realizează cu ajutorul unui cîmp electric (fig.30 b) creat prin trimiterea unui curent de intensitate cunoscută prin electrodul de alimentare A . Diferența de potențial între două

puncte ale mediului, este măsurată cu doi electrozi de măsură M_1 și M_2 .

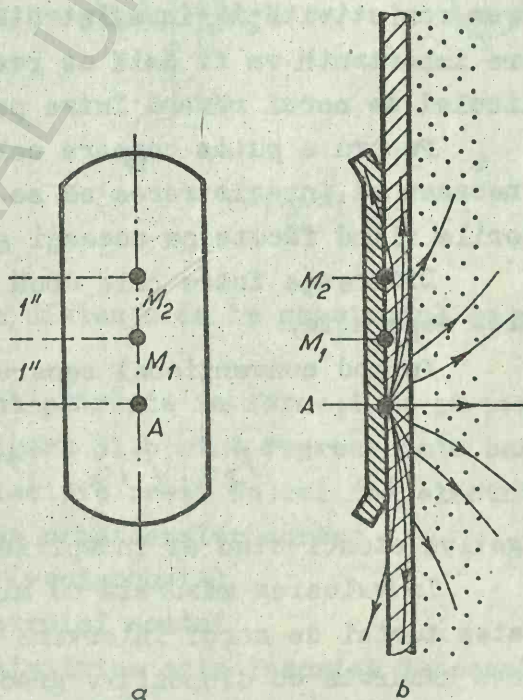


Fig. 30

Cu această succesiune de trei electrozi se realizează două microdispozitive și anume:

- un microdispozitiv potențial ideal AM_2 - cu o lungime $L_p = 2$ in și raza de investigație $r_{ip} = 2 L_p = 4$ inch $\approx 0,1$ m;
- un microdispozitiv gradient AM_1M_2 - cu o lungime $L_g = 1 1/2$ in. și cu o rază de investigație $r_{ig} = L_g = 0,0381$ m.

Cu cele două dispozitive se înregistrează două curbe de rezistivitate:

- o curbă de rezistivitate înregistrată cu microdispozitivul potențial $AM_2 = 2$ in (ρ_2 — micropotențiala de 2 in);
- o curbă de rezistivitate înregistrată cu microdispozitivul gradient $AO = 2 1/2$ in (ρ_1 — microinversia de $1" \times 1"$).

Cele două curbe de rezistivitate sînt înscrise pe prima coloană a trasei duble din partea dreaptă a diagramei. Scara ohmică este $1 \Omega m / div$ scara adîncimilor $1:200$ (vezi anexa B.4)

Avînd în vedere raza de investigație a celor două microdispozitive, în valoarea măsurată cu microdispozitivul potențial o pondere însemnată va avea rezistivitatea subzonei spălate, pe cînd în valoarea rezistivității înregistrată cu microdispozitiv gradient o pondere importantă va fi dată de rezistivitatea turtei de noroi și a peliculei de noroi rămasă între patină și peretele sondei.

Pentru a putea compara cele două valori de rezistivitate este necesar ca înregistrarea să se facă simultan, în acest fel măsurătorile fiind făcute pe aceeași generatoare a sondei.

Diferența între cele două valori de rezistivitate a fost denumită separație.

În mod convențional separația se consideră pozitivă atunci cînd:

$$\rho_2'' - \rho_1'' \times 1'' > 0 ,$$

și negativă atunci cînd se îndeplinește condiția: $\rho_2'' - \rho_1'' \times 1'' < 0$.

În valoarea măsurată cu microdispozitiv potențial, rezistivitatea turtei de noroi intervine cu o pondere mai mică decît în valoarea măsurată cu dispozitiv gradient deoarece $r_{io} > r_{ig}$

Așadar, în dreptul unui strat poros-permeabil $\rho_2'' > \rho_1'' \times 1''$ (separație pozitivă), în dreptul stratelor impermeabile (marne și argile) $\rho_2'' = \rho_1'' \times 1''$.

Concomitent se înregistrează cavernograma, înscrisă pe trasa simplă din stînga diagramei.

3.3.2. Microcarotajul cu curenți focalizați (Microlaterologul - MLI)

Principiul metodei este similar cu cel al carotajului cu curenți focalizați realizat cu macrodispozitive, agadar dispozitivul de microlaterolog implică un sistem de dirijare a fascicolului de curent.

Sistemul de electrozi este constituit dintr-un electrod central punctiform A_0 , și trei electrozi circulari M_1 , M_2 , A_1 , concentrici cu A_0 , montanți pe o patină electroizolantă (fig.31.a).

Un curent de intensitate constantă I_0 , alimentează electrodul central A_0 . Electrodul A_1 se alimentează cu un curent de aceeași polaritate cu cel ce se trimite prin A_0 , dar a cărui intensitate este reglată automat și continuu, astfel încît diferența de potențial între electrozii M_1 și M_2 să fie egală cu zero. In acest fel, curentul care este emis prin electrodul central A_0 , este împiedicat să se împrăștiie din cauza pînzei de curent creată de electrodul circular A_1 , creîndu-se astfel un fascicol de curent a cărui rază este egală cu distanța de la electrodul A_0 pînă la jumătatea distanței M_1-M_2 .

Acest fascicol de curent pătrunde în formațiune perpendicular pe axa găurii de sondă. In figura 31.b sînt reprezentate schematic liniile de curent ale cîmpului electric creat de cei doi electrozi. Acest dispozitiv permite obținerea următoarelor curbe:

- curba rezistivității (reciprocata)
- curba variației diametrului sondei

Se precizează că rezistivitatea este înscrisă la scară logaritmică. Scara adîncimilor 1:200. O astfel de diagramă este prezentată în anexa B5.

Prin sistemul de dirijare al fascicolului de curent, turtă de noroi intervine cu o pondere mică în valoarea rezistivității măsurate, intrucît distanța pe care o parcurge curentul prin turtă este

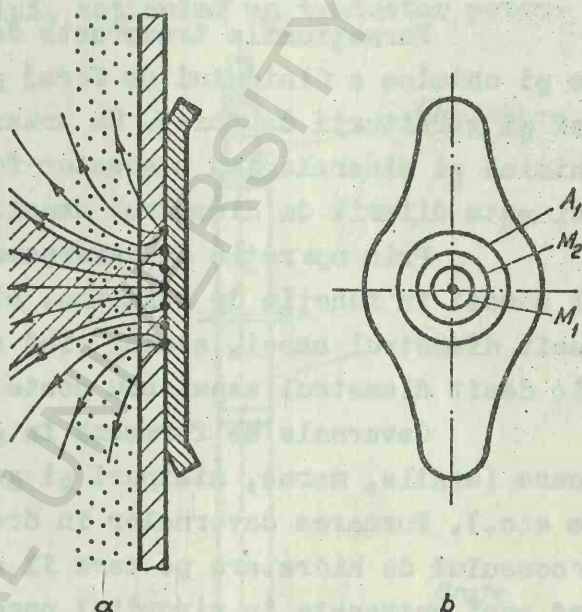


Fig. 31

mică în comparație cu cea pe care o străbate în formațiune.

Ca urmare a acestora se poate considera că măsurătorile efectuate cu acest dispozitiv se adresează direct subzonei spălate și deci se pot determina parametrii: rezistivitatea subzonei spălate, factorul de formație și porozitatea.

3.4. Cavernometria

Formațiunile traversate de sonde sînt supuse acțiunii fizice și chimice a fluidului de foraj precum și acțiunii mecanice a sapei și garniturii de foraj. Ca urmare, în funcție de natura fizico-chimică și mineralogică a acestor formațiuni, diametrul real al sondei este diferit de diametrul sapei.

Prin operația de cavernometrie se stabilește diametrul real al sondei în funcție de adîncime. Diametrul sondei poate fi mai mare decît diametrul sapei, atunci cînd se formează caverne, poate fi mai mic decît diametrul sapei sau poate fi egal cu diametrul sapei.

Cavernele se formează în general în dreptul rocilor argiloase (argile, marne, nisipuri și gresii argiloase, calcare argiloase etc.). Formarea cavelnelor în dreptul acestor roci se datorește procesului de hidratare pe care îl suferă particulele de argilă, fiind apoi antrenate în circuitul noroiului. Acest proces de hidratare este în funcție de natura mineralogică și de forma de existență a argilei de aceea diametrul sondei este variabil și în cadrul formațiunilor argiloase. Diametre mari se întîlnesc și în cazul stratelor de sare datorită procesului de dizolvare.

În dreptul formațiunilor poroase-permeabile (nisipuri, gresii, calcare și dolomite fisurate) diametrul sondei este în general mai mic decît diametrul sapei, datorită formării turtei de noroi a cărei grosime depinde de calitatea noroiului și proprietățile colectoarelor. Reducerea diametrului sondei se observă și la traversarea stratelor de anhidrit, reducere ce are loc ca urmare a procesului de hidratare a anhidritului.

Rocile compacte care nu conțin material argilos sau conțin în cantitate foarte mică nu dau naștere la variații ale diametrului sondei.

Diametrul sondei se măsoară cu ajutorul unor dispozitive care poartă denumirea de cavernometre. Cele mai utilizate caverno-

metre sînt:

- cavernometre cu brațe expandabile (fig.32), cu o presiune mare de aplicare pe peretele sondei, turta de noroi fiind de regulă tăiată;

- cavernometre cu patine (fig.33), efectuate cu dispozitivul de microcarotaj, presiune pe patină este mică, astfel că patina urmărește destul de bine turta de noroi.

În timpul deplasării aparatului, deschiderea brațelor crește sau scade, după variațiile diametrului, acționînd un traductor poten-

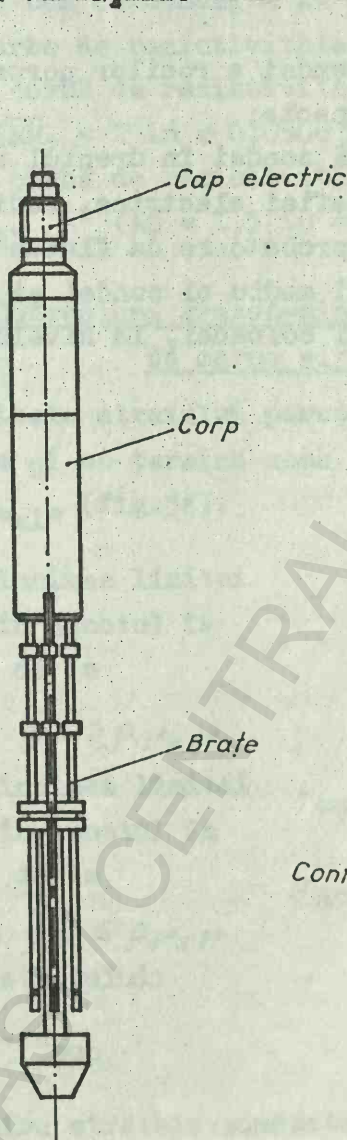


Fig. 32

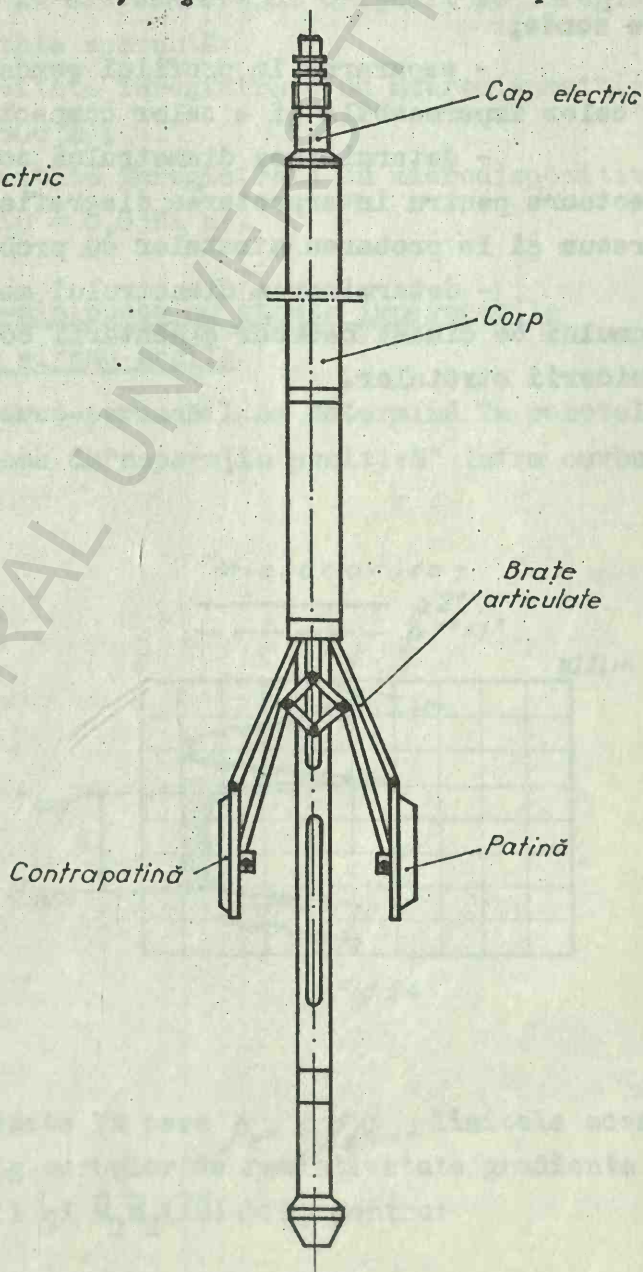


Fig. 33

tiometric (rezistiv), care transformă variația deschiderii brațelor, în variații ale unei forțe electromotoare (tensiuni electrice). Această este înregistrată la suprafață, prin intermediul unui fotoînregistrator, obținând diagramele de cavernometrie - cavernograma - calibrată în inch (anexa B.4, B.5).

În gantier se utilizează frecvent cavernometre cu patru brațe expandabile și cavernometre cu două brațe de tip patină.

Cavernometria rezolvă o serie de probleme cum ar fi:

- determinarea caracterului litologic al rocilor traversate de sonde;
- separarea în profilul sondei a rocilor poros-permeabile, a celor impermeabile și a celor compacte;
- determinarea diametrului sondei în dreptul stratelor colectoare pentru interpretarea diagramei electrice, radioactive etc., precum și la probarea stratelor cu probatoare de fluide sau de rocă;
- determinarea diametrului mediu al sondei și calculul volumului de ciment necesar cimentării coloanei, la nivelul necesar închiderii stratelor.

LUCRAREA NR. 3

CRITERII DE DETERMINARE A LIMITELOR STRATELOR
POROASE-PERMEABILE SI A GROSIMII EFECTIVE DUPA DIAGRAFIA
ELECTRICA CU MICRODISPOZITIVE SI CAVERNOMETRIE

A. După curbele de rezistivitate aparentă înregistrate în
microcarotaj

După cum se cunoaște în microcarotajul obișnuit se înregistrează două curbe de rezistivitate aparentă:

- o curbă de rezistivitate înregistrată cu microdispozitivul potențial ρ_2'' ($\overline{AM}_2 = 2 \text{ in} = 0,0508 \text{ m}$);
- o curbă de rezistivitate înregistrată cu microdispozitivul gradient $\rho_{1'' \times 1''}$ ($\overline{AO} = 1,5 \text{ in} = 0,0381 \text{ m}$).

a) Succesiuni grezos-nisipoase cu strate impermeabile
de marne și/sau argile

Limitele stratului poros-permeabil se determină în punctele în care începe și se termină zona de "separație pozitivă" între curbele ρ_2'' și $\rho_{1'' \times 1''}$ (fig.34).

- H_{sup} - adâncimea limitei superioare - în punctul în care se trece de la

$$\rho_2'' \leq \rho_{1'' \times 1''} \text{ la } \rho_2'' > \rho_{1'' \times 1''}$$

- H_{inf} - adâncimea limitei inferioare - în punctul în care se trece de la

$$\rho_2'' > \rho_{1'' \times 1''} \text{ la } \rho_2'' \leq \rho_{1'' \times 1''}$$

- Grosimea stratului:

$$h = H_{inf} - H_{sup}$$

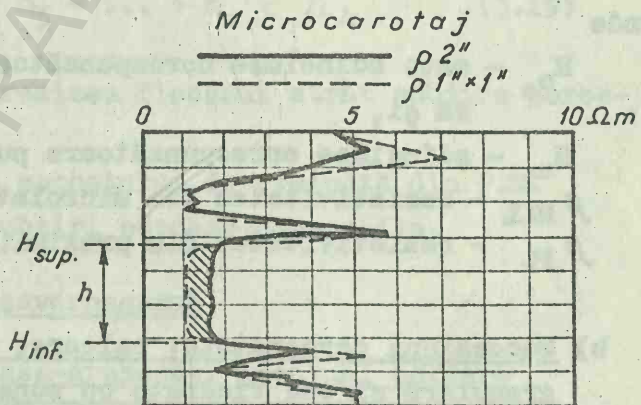


Fig. 34

Pentru stratele compacte la care $\rho_2'' \leq \rho_{1'' \times 1''}$ limitele acestora se determină în mod analog curbelor de rezistivitate gradient și potențiale: întrucât $\overline{AM}_2 \ll 1$ și $\overline{M_1 M_2}(\overline{AB}) \ll 1$, pentru:

$$\rho_2'' - H_{sup} = H_{cs} \text{ și } H_{inf} = H_{ci};$$

$$h = H_{inf} - H_{sup}$$

$$\rho_{1,2,3} - H_{sup} = H_{min} \text{ și } H_{inf} = H_{max}$$

$$h = H_{inf} - H_{sup}$$

b) In succesiuni carbonatate limitele stratului poros-permeabil se determină în același mod ca la succesiunile nisipoase/grezoase/marnoase.

B. După curbele de rezistivitate aparentă înregistrate cu microdispozitive focalizate

a) Succesiuni grezos-nisipoase cu strate impermeabile de marne și/sau argile

Limitele stratelor poroase-permeabile sau compacte se determină în punctele de curbă maximă, în care ρ_{MLL} sau ρ_{PL} cresc, în raport cu valorile marnelor adiacente (fig.35):

$$\left. \begin{aligned} H_{sup} &= H_{cs} \text{ și } H_{inf} = H_{ci} \\ h &= H_{inf} - H_{sup} = H_{ci} - H_{cs} \end{aligned} \right\} \quad (3.17)$$

unde

H_{cs} - este adâncimea corespunzătoare punctului superior de curbă și,

H_{ci} - adâncimea corespunzătoare punctului inferior de curbă

ρ_{MLL} - rezistivitatea din microlaterolog (MLL)

ρ_{PL} - rezistivitatea din proximitylog (PL).

b) Succesiuni carbonatate: calcare, dolomite cu porozitate intergranulară și/sau fisurate cu zone compacte

Limitele intervalelor poroase și/sau fisurate se determină în punctele de curbă maximă, în care ρ_{MLL} sau ρ_{PL} scad, în raport cu valorile din dreptul zonelor compacte adiacente (fig.36).

$$\left. \begin{aligned} H_{sup} &= H_{cs} \text{ și } H_{inf} = H_{ci} \\ h &= H_{inf} - H_{sup} = H_{ci} - H_{cs} \end{aligned} \right\} \quad (3.18)$$

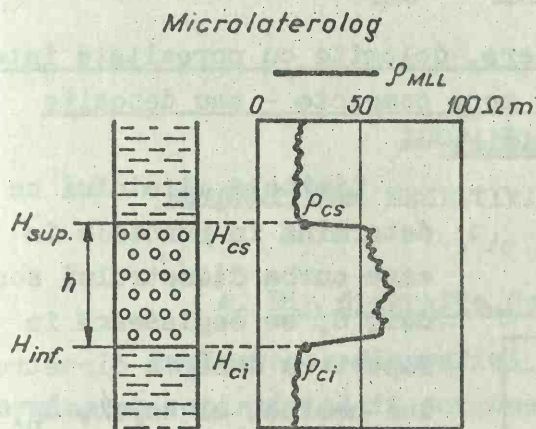


Fig. 35

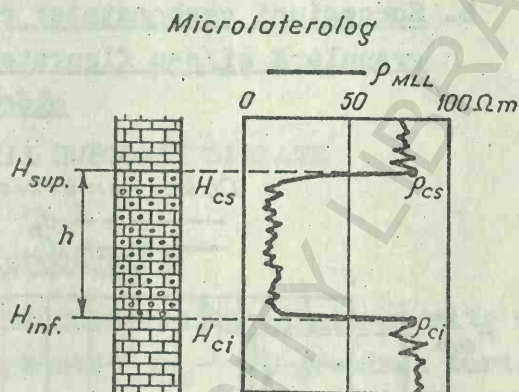


Fig. 36

unde: H_{cs} și H_{ci} au semnificația de mai sus.

Observație. Pentru succesiuni de strate poroase-permeabile subțiri, cu intercalații subțiri impermeabile și/sau compacte, se obține "grosimea efectivă" a pachetului poros-permeabil:

$$h_{ef} = h_1 + h_2 + h_3 + \dots + h_n < h_A \quad (3.19)$$

unde: $h_1, h_2, h_3, \dots, h_n$ este grosimea fiecărui strat subțire poros-permeabil

h_A - grosimea aparentă a pachetului determinată din P.S.

n - numărul de strate subțiri poroase-permeabile.

C. După cavernogramă

a) Succesiuni nisipoase-grezoase, eventual calcare poroase-permeabile cu marne și argile impermeabile

Limitele stratului poros-permeabil se determină în punctele în care curba diametrului sondei, d , intersectează dreapta diametrului nominal al sapei, d_n , datorită efectului turtei de noroi (fig.37):

- H_{sup} - adâncimea limitei superioare - în punctul în care se trece de la $d > d_n$ la $d < d_n$

- H_{inf} - adâncimea limitei inferioare - în punctul în care se trece de la $d < d_n$ la $d > d_n$

- Grosimea stratului $h = H_{inf} - H_{sup}$

b. Succesiuni carbonatate: calcare, dolomite cu porozitate intergranulară și/sau fisurate cu zone compacte - sau depozite hidrochimice

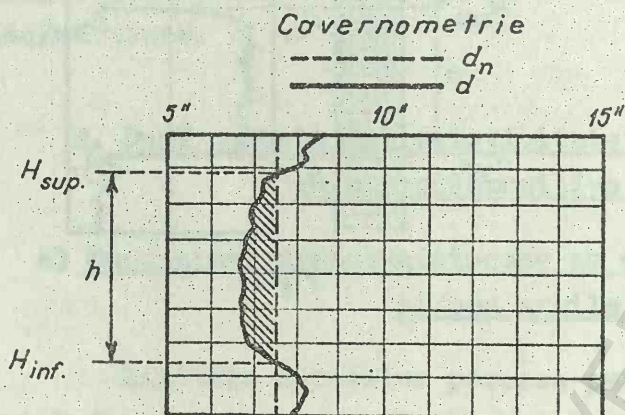


Fig. 37

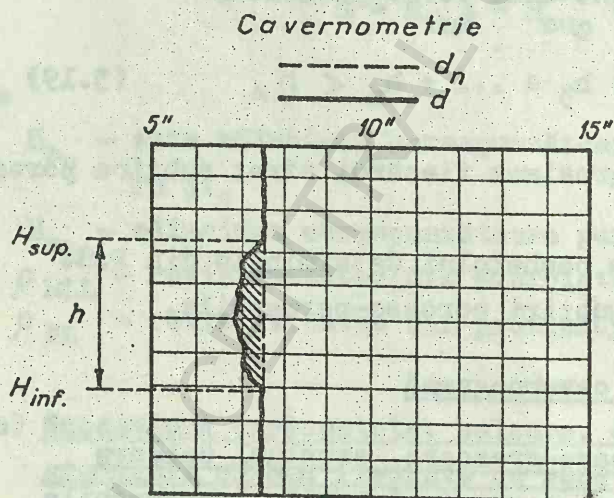


Fig. 38

Limitele stratului se determină în punctele în care curba diametrului sondei, d , se deplasează în raport cu dreapta diametrului nominal al sapei, d_n , - peste care este suprapusă în zonele compacte (fig. 38).

- H_{sup} - adâncimea limitei superioare - în punctul în care se trece de la $d = d_n$ la $d < d_n$

- H_{inf} - adâncimea limitei inferioare - în punctul în care se trece de la $d < d_n$ la $d = d_n$.

- Grosimea stratului

$$h = H_{inf} - H_{sup}$$

LUCRAREA NR. 4

DETERMINAREA REZISTIVITĂȚII SUBZONEI SPĂLATE

$$\rho_{io}$$

A. Din diagrafia de microcarotaj

Prelucrarea diagramei de microcarotaj obisnuit permite determinarea rezistivității subzonei spălate " ρ_{io} " și grosimea turtei de noroi " h_{tn} ", mărimi necesare pentru obținerea rezistivității reale " ρ_R " și evaluarea conținutului colectorului.

Efectuarea lucrării se desfășoară în următoarele etape:

a) Citirea valorilor parametrilor înscrși și în antetul diagramei

- scara adâncimilor (1:200),
- adâncimea finală a sondei, H_{max} (în m),
- temperatura maximă la talpa sondei, T_{max} (în $^{\circ}C$),
- rezistivitatea noroiului la suprafață, respectiv la $18^{\circ}C$, (ρ_n)₁₈ (în Ωm) și a turtei de noroi, (ρ_{tn})₁₈ - dacă este determinată,

- scara de măsură a curbelor de rezistivitate aparentă, ρ_A - (în $\Omega m/div.$),
- diametrul sondei, d , (în in sau mm)

b) Determinarea limitelor stratului poros-permeabil ales, a grosimii și a adâncimii medii a acestuia, H_{sup} , H_{inf} , h , H_{med}

c) Determinarea valorilor rezistivităților înregistrate cu cele două microdispozitive

$\rho_{1'' \times 1''}$ - rezistivitatea aparentă înregistrată cu microdispozitiv gradient

ρ_2'' - rezistivitatea aparentă înregistrată cu microdispozitiv potențial

$$\rho_{1'' \times 1''} = A_1 (\text{în div}) \times n (\text{în } \Omega m/div)$$

$$\rho_2'' = A_2 (\text{în div}) \times n (\text{în } \Omega m/div)$$

unde:

A_1 și A_2 reprezintă numărul de diviziuni de la linia de zero a rezistivității până la curba respectivă.

d) Determinarea temperaturii formației, T , cu una din relațiile (3.11 - 3.14)

e) Se determină valoarea rezistivității noroiului la temperatura stratului $(\rho_n)_T$ - cu ajutorul Abacei nr.1 (identică ca pentru rezistivitatea apei de zăcămint).

f) Se calculează rezistivitatea turtei de noroi, ρ_{tn} , cu relația

$$(\rho_{tn})_T = 1,5 (\rho_n)_T \quad (3.20)$$

g) Se calculează valoarea rapoartelor

$$\frac{\rho_{1'' \times 1''}}{(\rho_{tn})_T} \quad \text{și} \quad \frac{\rho_{2''}}{(\rho_{tn})_T} \quad (3.21)$$

h) Determinarea valorii rezistivității subzonei spălate, ρ_{io} , și a grosimii turtei de noroi, h_{tn} .

Practic determinarea celor două mărimi ρ_{io} și h_{tn} se realizează cu ajutorul abacei nr.7, care dă dependența:

$$\frac{\rho_{1'' \times 1''}}{\rho_{tn}} = f\left(\frac{\rho_{2''}}{\rho_{tn}}\right) \text{ pentru } \frac{\rho_{io}}{\rho_{tn}} = ct. \text{ și } h_{tn} = ct. \quad (3.22)$$

Valoarea raportului $\frac{\rho_{1'' \times 1''}}{(\rho_{tn})_T}$ se plasează în ordonata abacei pe scara corespunzătoare diametrului sondei, d , iar valoarea raportului $\frac{\rho_{2''}}{(\rho_{tn})_T}$ în abscisă și se determină punctul P de coordonate $\left(\frac{\rho_{2''}}{(\rho_{tn})_T}, \frac{\rho_{1'' \times 1''}}{(\rho_{tn})_T}\right)$ rezultat la intersecția unei orizontale duse din punctul $\frac{\rho_{1'' \times 1''}}{(\rho_{tn})_T}$ și respectiv unei verticale din punctul $\frac{\rho_{2''}}{(\rho_{tn})_T}$.

Prin punctul P trec două curbe aparținând celor două familii de curbe $\frac{\rho_{io}}{\rho_{tn}} = ct.$ și $h_{tn} = ct.$ (dacă este cazul obținute prin interpolare). Modulul acestor curbe reprezintă valoarea raportului $\frac{\rho_{io}}{\rho_{tn}}$ și grosimea turtei, h_{tn} .

- dacă se notează cu M , modulul curbei, rezultă că

$$\frac{\rho_{io}}{\rho_{tn}} = M \text{ de unde } \rho_{io} = M \cdot \rho_{tn} \quad (3.23)$$

- grosimea turtei de noroi, h_{tn} , este dată de modulul curbei $h_{tn} = ct.$, care trece prin punctul P.

Exemplu

Stratul nr.1 (anexa B.4)

1. Determinarea limitelor și grosimii stratului poros-permeabil

a) de pe curbele de rezistivitate:

$$H_{\text{sup}} = 3238,2\text{m}; \quad H_{\text{inf}} = 3241,4\text{m}; \quad h = 3,2\text{ m}$$

b) din cavernogramă:

$$H_{\text{sup}} = 3238\text{m}; \quad H_{\text{inf}} = 3241,2\text{m}; \quad h = 3,2\text{ m}$$

2. Determinarea rezistivității subzonei spălate ρ_{io} , compor-

tă cunoașterea următoarelor date:

$$-\rho_{2''} = 1,6\Omega\text{m}$$

$$-\rho_{1''x1''} = 1,0\Omega\text{m}$$

$$-(\rho_n)_{18^\circ\text{C}} = 1,15\Omega\text{m}$$

$$-T^\circ = 105^\circ\text{C}$$

$$-d = 6,7''$$

Mod de rezolvare

$$(\rho_n)_{105^\circ\text{C}} = 0,34\Omega\text{m}$$

$$(\rho_n)_{105^\circ\text{C}} = 1,5 \cdot 0,34 = 0,51\Omega\text{m}$$

$$\frac{\rho_{2''}}{(\rho_{tn})_{105^\circ\text{C}}} = \frac{1,6}{0,51} = 3,1$$

$$\frac{\rho_{1''x1''}}{(\rho_{tn})_{105^\circ\text{C}}} = \frac{1,0}{0,51} = 1,9$$

$$\frac{\rho_{io}}{(\rho_{tn})_{105^\circ\text{C}}} = 10$$

$$\rho_{io} = 5,1\Omega\text{m}$$

EXERCITII

Să se determine limitele și grosimea stratelor poroase-permeabile și rezistivitatea subzonei spălate din diagrapia de microcotaaj cuprinse în anexa B.4.

Rezultatele vor fi înscrise în tabelul de mai jos:

Sonda nr..... Adâncimea maximă.....

Diametrul nominal al sapei d_n mm

Scara adâncimilor l :.....

Temperatura maximă T_{max}°C

Rezistivitatea noroiului ρ_n Ωm

Scara de măsură ρ_A $n = \dots\dots\dots \frac{\Omega m/cm}{\Omega m/div}$

Nr. strat	Interval $H_s - H_i$ (m)	h (m)	H_{med} (m)	$\rho_{1"x1"}$ (Ωm)	$\rho_{2"}$ (Ωm)	$(\rho_n)_T$	$(\rho_{tn})_T$	$\frac{\rho_{1"x1"}}{(\rho_{tn})_T}$	$\frac{\rho_{2"}}{(\rho_{tn})_T}$
1	2	3	4	5	6	7	8	9	10
1	3238,2 - 3241,4	3,2	3239,8	1,0	1,6	0,34	0,51	1,9	3,9

(continuare)

$\frac{\rho_{io}}{(\rho_{tn})_T} = M$	ρ_{io} (Ωm)	h_{tn} mm(in)
11	12	13
10	5,1	1/2"

B. Din diagrafia de microlaterolog

Diagrafia obținută din investigarea formațiunilor traversate de sonde cu microdispozitive focalizate permite obținerea rezistivității subzonei spălate cu condiția obținerii, pe o altă cale, a grosimii turtei de noroi.

Efectuarea lucrării se desfășoară în următoarele etape:

a) Citirea valorilor parametrilor înscrși în antetul diagramei:

- scara adâncimilor (1:200)
- adâncimea finală a sondei, H_{\max} (în m)
- temperatura maximă la talpa sondei, T_{\max} (în °C)
- rezistivitatea noroiului la suprafață, respectiv la 18°C, $(\rho_n)_{18}$ (în $\Omega \cdot m$) și a turtei de noroi, $(\rho_{tn})_{18}$ - dacă este determinată

- diametrul sondei, d , și diametrul nominal al sapei, d_n , (în in sau mm).

b) Determinarea limitelor stratului poros permeabil ales, a grosimii și a adâncimii medii a acestuia, H_{\sup} , H_{\inf} , h , H_{med} .

c) Citirea valorii rezistivității înregistrate, ρ_{MLL} , pe scara grafică din antetul diagramei. (valorile curbei de rezistivitate fiind înscrise pe diagramă în scară logaritmică).

d) Determinarea temperaturii formației, T , cu relațiile (3.11 - 3.14)

e) Corecția rezistivității noroiului cu temperatura formației cu ajutorul abacei nr.1.

f) Calculul rezistivității turtei de noroi, $(\rho_{tn})_T$, cu relația

$$(\rho_{tn})_T = 1,5 (\rho_n)_T \quad (3.24)$$

g) Determinarea grosimii turtei de noroi, h_{tn} (în in sau mm). Grosimea turtei de noroi se determină astfel:

- din cavernogramă se citește diametrul sondei, d , în dreptul stratului respectiv, și diametrul nominal al sapei, d_n (valoarea exactă a lui d_n , poate fi cunoscută și din datele sondei).

Din figura 39 rezultă că diferența dintre diametrul sapei, d_n , și diametrul sondei, d , este egală cu de două ori grosimea turtei de noroi.

Rezultă că:

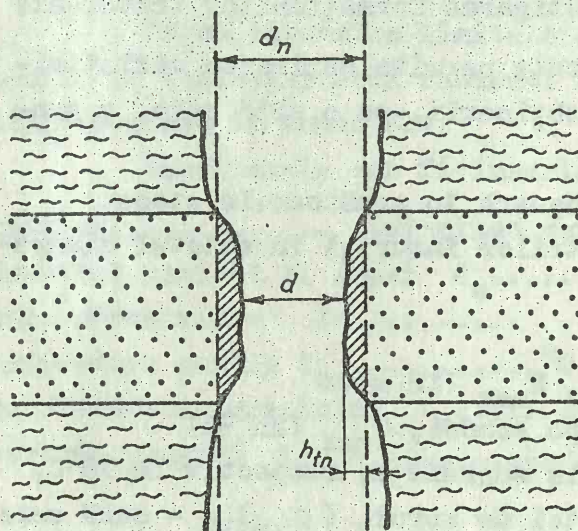


Fig. 39

$$h_{tn} = \frac{d_n - d}{2} \quad (3.25)$$

h) Se calculează raportul

$$\frac{\rho_{MLL}}{(\rho_{tn})_T}$$

i) Determinarea valorii rezistivității subzonei spălate,

ρ_{io}
Pentru determinarea lui ρ_{io} se utilizează abaca nr.8, care reprezintă dependența

$$\frac{\rho_{MLL}}{(\rho_{tn})_T} = f \frac{\rho_{io}}{(\rho_{tn})_T}$$

pentru $h_{tn} = \text{constant}$ (3.26)

Valoarea raportului $\frac{\rho_{MLL}}{(\rho_{tn})_T}$ se introduce în ordonata abacei,

de unde se duce o orizontală pînă intersectează curba al cărui modul este egal cu grosimea turtei de noroi calculată anterior. Din punctul de intersecție, se coboară o verticală, citind pe scara din abscisă valoarea raportului $\frac{\rho_{io}}{(\rho_{tn})_T}$. Notînd această valoare cu N rezultă

$$\frac{\rho_{io}}{(\rho_{tn})_T} = N \quad \text{de unde} \quad (3.27)$$

$$\rho_{io} = N \cdot (\rho_{tn})_T$$

Exemplu

Stratul nr.1 (Anexa B.5)

1. Limitele stratului determinate de pe curba de rezistivitate

$$H_{sup} = 3312 \text{ m}; \quad H_{inf} = 3313,5 \text{ m}; \quad h = 1,5 \text{ m}$$

2. Rezistivitatea subzonei spălate

$$\rho_{MLL} = 3 \Omega \text{m}$$

$$(\rho_n)_{180} = 1,5 \Omega \text{m}$$

$$d_n = 7,3''$$

$$d = 7,2''$$

$$T^{\circ}\text{C} = 110^{\circ}\text{C}$$

Mod de rezolvare

$$(\rho_{tn})_{110^{\circ}\text{C}} = 0,4 \Omega\text{m}$$

$$h_{tn} = \frac{d_n - d}{2} \approx 0$$

$$\frac{\rho_{MLL}}{(\rho_{tn})_{110^{\circ}\text{C}}} = \frac{3}{0,4} = 7,5$$

$$N = \frac{\rho_{io}}{\rho_{tn}} = 7,6 \text{ (abaca nr.8)}$$

$$\rho_{io} = 30,4$$

EXERCITII

Să se determine limitele și grosimea stratelor poroase-permeabile din anexa B.5. și rezistivitatea subzonei spălate. Rezultatele determinării se vor înscrie în tabelul de mai jos.

Rezultatele determinării rezistivității subzonei spălate

" ρ_{io} "

Sonda nr..... Adâncimea maximă.....
 Diametrul nominal al sapei d_n mm
 Scara adâncimilor 1:.....
 Temperatura maximă T_{max} $^{\circ}\text{C}$
 Rezistivitatea noroiului ρ_n Ωm

Nr. strat	Intervalul $H_s - H_i$ (m)	h (m)	H_{med} (m)	ρ_{MLL} (Ωm)	$(\rho_n)_{Tf}$ (Ωm)	$(\rho_{tn})_{Tf}$ (Ωm)	$\frac{\rho_{MLL}}{(\rho_{tn})_{Tf}}$	$\frac{\rho_{io}}{\rho_{tn}}$	ρ_{io} (Ωm)
1	2	3	4	5	6	7	8	9	10
1	3312-3313,5	1,5	3312,75	3	0,47	0,4	7,5	1,05	34,2

LUCRAREA NR.5

DETERMINAREA POROZITATII DIN DIAGRAFIA OBTINUTA CU MICRODISPOZITIVE

În lucrarea nr.4 s-a determinat rezistivitatea subzonei spălate, ρ_{io} , din diagrafia obținută cu microdispozitive (microcarotaj și microlaterolog). Pe baza acestei rezistivități și ținând seama de relația (1.12), poate fi determinat un factor de formație, considerînd subzona spălată saturată cu filtrat de noroi de rezistivitate, ρ_{fn} , astfel:

$$F = \frac{\rho_{io}}{\rho_{fn}} \quad (3.28)$$

valabilă pentru formațiunile acvifere. Pentru colectoarele cu hidrocarburi, trebuie să se țină seama și de saturația reziduală în hidrocarburi- s_{rh}

$$F = \frac{(1 - s_{rh})^n \cdot \rho_{io}}{\rho_{fn}} \quad (3.29)$$

unde n este exponentul de saturație.

Pentru estimarea valorii saturației reziduale poate fi utilizată o relație empirică, valabilă la valori "medii" ale parametrului s_{rh}

$$1 - s_{rh} = s_a^{1/5} \quad (3.30)$$

unde s_a este saturația în apă a collectorului, în zona necontaminată.

Cunoscînd valoarea factorului de formație astfel determinat, pe baza utilizării relațiilor (3.28), (3.29) și (3.30) se poate trece la valori de porozitate prin relația generală:

$$m = \left(\frac{\alpha}{F} \right)^{\frac{1}{n}} \quad (3.31)$$

Modalitatea practică de determinare a porozității

Din relațiile de mai sus rezultă că sînt necesare următoarele date:

- rezistivitatea subzonei spălate, ρ_{io} , [Ωm]

- rezistivitatea filtratului de noroi, ρ_{fn} , [Ωm] (corectată cu temperatura formației)
- rezistivitatea turtei de noroi, ρ_{tn} , [Ωm]
- saturația reziduală în hidrocarburi, s_{rh} [%]

Practic pentru determinarea porozității se utilizează nomograma nr.9. Modul de lucru este indicat prin săgeți pe nomogramă. Ultima scală a nomogramei are înscrise pe partea stângă valori de porozitate, iar pe partea dreaptă valoarea factorului de formație.

Exemplu

Se cunosc:

$$\frac{\rho_{io}}{\rho_{tn}} = 10 \quad (\text{din microcarotaj sau microlaterolog}).$$

$$\rho_{tn} = 1,5 \Omega m$$

$$\rho_{fn} = 1 \Omega m$$

$$s_{rh} = 20 \%$$

Se obțin următoarele valori:

$$\left. \begin{array}{l} m = 28,5 \% \\ F = 9,2 \end{array} \right\} \text{ pentru } s_{rh} = 20 \%$$

și

$$\left. \begin{array}{l} m = 22,8 \% \\ F = 15 \end{array} \right\} \text{ pentru un strat acvifer } (s_{rh}=0)$$

EXERCITII

Să se determine porozitatea și factorul de formație pentru stratele poroase permeabile din anexele B.4 și B.5 pentru care au fost determinate valorile ρ_{io}/ρ_{tn} pentru o saturație reziduală în hidrocarburi $s_{rh} = 30 \%$.

3.5. Carotajul electric lateral

Carotajul electric lateral, constă în măsurarea rezistivității aparente cu o succesiune de dispozitive potențiale și gradient de lungimi diferite, deci cu rază de investigație diferită (fig.40). Carotajul electric lateral aplicat curent în șantierelor de petrol din țară este cunoscut sub denumirea de D.R.R. (determinarea rezistivității reale). În cadrul acestei metode formațiunile traversate de sondă se investighează cu o succesiune de patru dispozitive, unul potențial și trei gradiente și anume

M 0,3 A 2 B	$L_p = \overline{AM} = 0,3 \text{ m}$	$r_{ip} = 0,6 \text{ m}$
B 0,3 A 2 M	$L_g = \overline{OM} = 2,15 \text{ m}$	$r_{ig} = 2,15 \text{ m}$
B 0,5 A 4 M	$L_g = \overline{OM} = 4,25 \text{ m}$	$r_{ig} = 4,25 \text{ m}$
B 0,8 A 8 M	$L_g = \overline{OM} = 8,4 \text{ m}$	$r_{ig} = 8,4 \text{ m}$

De fapt această metodă folosește numai trei curbe distincte înregistrate cu dispozitivele B 0,3 A 2 M, B 0,5 A 4 M și B 0,8 A 8 M în scara 1:500. Aceste curbe de rezistivitate sînt însoțite de o curbă de P.S.

Curbele de rezistivitate înregistrate cu dispozitivele M 0,3 A 2 B și B 0,3 A 2 M în scara 1:1000 fac parte din carotajul electric standard.

O diagramă de carotaj electric lateral în varianta D.R.R. este prezentată în anexa B.6., în faza de utilizare pentru interpretare.

Prelucrarea materialului diagrafic înregistrat prin această metodă se face cu ajutorul unui sistem de abace și nomograme calculate și construite în mod special și permite determinarea rezistivității reale, a rezistivității zonei de invazie, a diametrului de invazie. Totodată permite aprecierea conținutului colectorului.

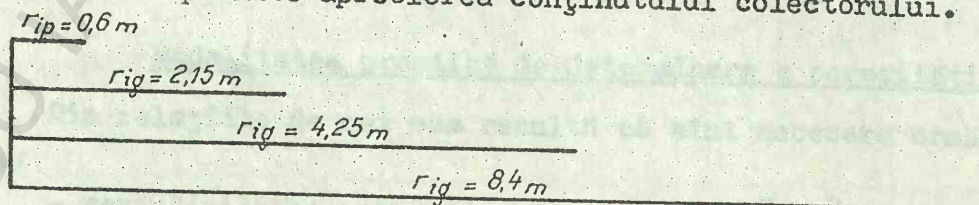


Fig. 40

LUCRAREA NR. 6

DETERMINAREA REZISTIVITĂȚII REALE, ρ_R , A
REZISTIVITĂȚII ZONEI INVADATE, ρ_i , ȘI A DIAMETRULUI DE
INVAZIE, D_i , DIN CAROTAJUL ELECTRIC LATERAL - METODA D.R.R.

Prelucrarea și interpretarea curbelor înregistrate în procedeul D.R.R. oferă posibilitatea determinării zonei invadate (ρ_i), rezistivității reale (ρ_R) și diametrul zonei de invazie, D_i . Prelucrarea materialului diagrafic cuprinde mai multe etape și anume:

a) Determinarea rezistivității zonei invadate

b) Corectarea rezistivității aparente înregistrată de fiecare dispozitiv pentru grosimea stratului și influența rocii adiacente, determinând prin aceasta care ar fi fost rezistivitatea stratului în cazul că ar fi avut o grosime infinită.

c) Determinarea rezistivității reale și a diametrului zonei de invazie din rezistivitățile aparente ale celor trei dispozitive gradiente folosind o soluție grafică de rezolvare a sistemului de ecuații oferit de cele trei curbe.

Pentru determinarea acestor valori sînt necesare următoarele date:

- grosimea stratului, h , se determină în mod obișnuit de pe curba de P.S. Pentru determinarea grosimii stratului se recomandă utilizarea diagramei înregistrată cu microdispozitive fiind cea mai precisă metodă. Subordonat se pot utiliza curbele de rezistivitate înregistrate cu dispozitive potențiale și gradient.

- diametrul sondei, d , se determină din cavernogramă. În lipsa unei astfel de măsurători se va considera, pentru stratele poros-permeabile, diametrul sondei egal cu diametrul nominal al sapei;

- rezistivitatea rocii adiacente, ρ_{ad} , este egală cu valoarea înregistrată cu dispozitivul gradient cu lungimea $MO = 4,25$ m, într-un strat de argilă sau marnă apropiat, cu o grosime suficient de mare ($h > 8$ m);

- rezistivitatea noroiului, ρ_n , este înscrisă de regulă în antetul diagramei și este determinată cu ajutorul rezistivimetrelor de suprafață; această valoare trebuie corectată cu temperatura formației, cu ajutorul abacei nr. 1;

- rezistivitățile aparente maxime, înregistrate cu cele patru dispozitive și anume:

- dispozitiv potențial : M 0,3 A 2 m - $\rho_{0,3}$
- dispozitive gradient B 0,3 A 2 M - $\rho_{2,15}$
- B 0,5 A 4 M - $\rho_{4,25}$
- B 0,8 A 8 M - $\rho_{8,4}$

Valorile de rezistivitate maximă se citesc în punctele de maxim ale curbelor de rezistivitate. Aceste valori pot fi citite direct pe scara grafică din antetul diagramei. De asemenea, aceleași valori se pot obține astfel:

- se citește în antetul diagramei scara de măsură a curbelor de rezistivitate aparentă - n (în Ω m/cm);
- se măsoară amplitudinea maximă a curbei de rezistivitate, A_{max} , (în cm), fiind egală cu distanța de la linia de zero corespunzătoare fiecărei curbe și până în punctul de maxim;
- valoarea rezistivității va fi egală cu:

$$\rho_L = A_{max} (cm) \cdot n (\Omega m/cm)$$

unde L este lungimea dispozitivului.

A. Modul de determinare a rezistivității zonei de invazie (ρ_i)

Pentru determinarea rezistivității zonei de invazie se folosesc următoarele date:

- rezistivitatea maximă aparentă înregistrată cu dispozitivul potențial M 0,3 A 2 B, $\rho_{0,3}$;
- rezistivitatea noroiului corectată cu temperatura formației, (ρ_n)_T;
- diametrul sondei, d ;

Practic, pentru a determina pe i se utilizează nomograma nr.10 (în care pentru simplificare s-a inclus numai scara pentru $d = 250$ mm), astfel:

- se calculează raportul $\frac{\rho_{0,3}}{\rho_n}$
- se plasează această valoare pe cele două scări laterale ale nomogramei și se unesc cu o linie dreaptă
- la intersecția cu scara corespunzătoare diametrului sondei d , se determină valoarea raportului $\frac{\rho_i}{\rho_n} = A$; cunoscând pe ρ_n se calculează :

$$\rho_i = A \cdot \rho_n$$

(3.32)

B. Determinarea rezistivității reale, ρ_R , și a diametrului zonei de invazie, D_i

Pentru determinarea rezistivității reale și a diametrului zonei de invazie se parcurg următoarele etape:

a) Se corectează rezistivitățile înregistrate cu cele trei dispozitive gradient cu rezistivitatea rocii adiacente, adică se transformă rezistivitățile aparente înregistrate, în valorile corespunzătoare care ar fi fost înregistrate dacă stratul de cercetat ar fi avut o grosime infinită.

Pentru aceasta se calculează rapoartele:

$$\frac{\rho_{2,15}}{\rho_{ad}} ; \frac{\rho_{4,25}}{\rho_{ad}} ; \frac{\rho_{8,4}}{\rho_{ad}}$$

Corecția se face cu ajutorul a trei abace construite pentru cele trei dispozitive care dau dependența:

$$\frac{\rho_L}{\rho_{ad}} = f\left(\frac{\rho_{L-\infty}}{\rho_{ad}}\right) \quad \text{pentru } h = ct. \quad (3.33)$$

Aceste abace sînt:

Abaca nr. 11 pentru dispozitivul gradient de 2,15 m

Abaca nr. 12 pentru dispozitivul gradient de 4,25 m

Abaca nr. 13 pentru dispozitivul gradient de 8,4 m

Modul de lucru este același pentru toate trei abacele și anume:

- se introduce în ordonată valoarea raportului $\frac{\rho_L}{\rho_{ad}}$ și se duce o orizontală pînă intersectează curba corespunzătoare grosimii stratului. Din acest punct de intersecție se coboară o verticală și în abacisă se citește valoarea raportului $\frac{\rho_{L-\infty}}{\rho_{ad}}$; adică se citesc valorile rapoartelor

$$\frac{\rho_{2,15-\infty}}{\rho_{ad}} ; \frac{\rho_{4,25-\infty}}{\rho_{ad}} ; \frac{\rho_{8,4-\infty}}{\rho_{ad}}$$

b) Se transformă valoarea $\frac{\rho_{L-\infty}}{\rho_{ad}}$ în valoarea $\frac{\rho_{L-\infty}}{\rho_n}$ fie cu ajutorul unei nomograme, fie făcînd următoarele calcule:

dacă

$$\frac{\rho_{2,15-\infty}}{\rho_{ad}} = a ; \frac{\rho_{4,25-\infty}}{\rho_{ad}} = b \quad \text{și} \quad \frac{\rho_{8,4-\infty}}{\rho_{ad}} = c$$

rezultă că:

$$\rho_{2,15-\infty} = a \cdot \rho_{ad}$$

$$\rho_{4,25-\infty} = b \cdot \rho_{ad}$$

$$\rho_{8,4-\infty} = c \cdot \rho_{ad}$$

- se calculează apoi valorile rapoartelor:

$$\frac{\rho_{2,15-\infty}}{\rho_n} ; \frac{\rho_{4,25-\infty}}{\rho_n} ; \frac{\rho_{8,4-\infty}}{\rho_n}$$

c) In această etapă se urmărește definirea variației raportului $\rho_{L-\infty}/\rho_n$ pentru patru diametre ale zonei invadate în funcție de raportul ρ_i/ρ_n . Pentru determinarea rezistivității reale au fost construite abace pentru diametre de invazie egale cu: 2d, 4d, 8d și 16d; abacele nr. 14, 15, 16, 17.

Pe fiecare abacă corespunzând unui anumit diametru al zonei de invazie sînt trasate trei grupe de curbe. Prima grupă din stînga corespunde dispozitivului de 2,15 m, următoarea pentru 4,25 m și ultima grupă corespunde dispozitivului de 8,4 m.

In fiecare grupă sînt trasate cinci curbe corespunzînd următoarelor valori ale raportului $\frac{\rho_i}{\rho_n} = 5; 10; 20; 40$ și 100. Este destul de frecventă suprapunerea mai multor curbe, în special la dispozitivele cu rază mare de investigare (în lucrare se folosesc abace simplif. pt. $\frac{\rho_i}{\rho_n} = 5$ și 10). Aceste abace au în abscisă valoarea $\rho_{L-\infty}/\rho_n$ iar în ordonată valoarea raportului ρ_R/ρ_n . De precizat că pentru abscisă există trei serii de valori:

- cele inferioare corespunzătoare raportului $\frac{\rho_{2,15-\infty}}{\rho_n}$
- cele intermediare corespunzătoare raportului $\frac{\rho_{4,25-\infty}}{\rho_n}$
- cele superioare corespunzătoare raportului $\frac{\rho_{8,4-\infty}}{\rho_n}$

Modul de lucru cu aceste abace este următorul: se introduce valoarea raportului $\rho_{L-\infty}/\rho_n$ în abscisă pe scara corespunzătoare și se coboară pînă ce intersectează curba al cărui modul este egal cu valoarea raportului ρ_i/ρ_n determinat anterior. De aici se merge orizontal și se citește în ordonată valoarea raportului ρ_R/ρ_n . Același procedeu este urmat pentru toate cele patru diametre de invazie și pentru cele trei dispozitive de 2,15 m; 4,25 m și 8,4 m.

Cu ajutorul datelor obținute se poate construi un tabel de forma

D_i	$\rho_{2,15-\infty} / \rho_n =$	$\rho_{4,25-\infty} / \rho_n =$	$\rho_{8,4-\infty} / \rho_n =$
2 d	a_1	b_1	c_1
4 d	a_2	b_2	c_2
8 d	a_3	b_3	c_3
16 d	a_4	b_4	c_4

d) Se construiește un grafic dublu logaritmice de dependență:

$$\frac{\rho_R}{\rho_n} = f\left(\frac{D_i}{d}\right) \quad (3.34)$$

Pentru fiecare dispozitiv se trasează o curbă ce va trece prin punctele de coordonate:

- pentru dispozitivul de 2,15 m : $(2; a_1); (4; a_2); (8; a_3); (16; a_4)$
- pentru dispozitivul de 4,25 m : $(2; b_1); (4; b_2); (8; b_3); (16; b_4)$
- pentru dispozitivul de 8,4 m : $(2; c_1); (4; c_2); (8; c_3); (16; c_4)$

Cele trei curbe se intersectează în trei puncte dînd naștere unui triunghi curbiliniu (cazurile particulare de intersecție sînt redate în Anexa A.48).

Centrul de greutate al acestui triunghi reprezintă soluția grafică, care dă în abscisă valoarea raportului D_i/d iar în ordonată valoarea raportului ρ_R / ρ_n adică:

$$\left. \begin{aligned} \frac{\rho_R}{\rho_n} &= A \implies \rho_R = A \cdot \rho_n \\ \frac{D}{d} &= B \implies D = B \cdot d \end{aligned} \right\} \quad (3.25)$$

Valorile A și B se citesc în ordonată, respectiv în abscisa graficului dublulogaritmice prin trasarea unei orizontale, respectiv unei verticale din centrul de greutate.

Pe baza valorilor parametrilor determinați se poate face estimarea conținutului colectorului conform tabelului de mai jos:

Raportul $\frac{\rho_i}{\rho_R}$	Caracterizarea colectorului
< 4	"Rocă posibil cu hidrocarburi"
≈ 4	"Rocă posibil cu hidrocarburi și o cantitate de apă"
> 4	"Rocă cu apă"

Exemplu privind interpretarea D.R.R.

Stratul nr.1 - Anexa B.6.

a) Determinarea rezistivității zonei de invazie (ρ_i)

Determinarea acestui parametru se face cu ajutorul nomogramei nr.10 , special construită.

Sînt necesare următoarele date:

$$\rho_{0,3} = 13 \Omega m$$

$$(\rho_n)_T = 1,2 \Omega m$$

$$d = 250 \text{ mm}$$

Se calculează raportul:

$$\frac{\rho_{0,3}}{(\rho_n)_T} = \frac{13}{1,2} = 10,8$$

și se găsește cu ajutorul nomogramei nr.10.. valoarea raportului:

$$\frac{\rho_i}{\rho_n} = 11,7 \text{ rezultă } \rho_i = 11,7 \cdot 1,2 = 14,04 \Omega m$$

b) Corecția rezistivităților înregistrate $\rho_{2,15}$, $\rho_{4,25}$, $\rho_{8,4}$ cu rezistivitatea rocilor adiacente

$$\left. \begin{array}{l} \rho_{2,15} = 15 \Omega m \\ \rho_{4,25} = 8 \Omega m \\ \rho_{8,4} = 5 \Omega m \end{array} \right\} \text{ din diagramă}$$

$$\rho_{ad} = 4 \Omega m$$

Se calculează rapoartele

$$\frac{\rho_{2,15}}{\rho_{ad}} = \frac{15}{4} = 3,75$$

$$\frac{\rho_{4,25}}{\rho_{ad}} = \frac{8}{4} = 2,00$$

$$\frac{\rho_{8,4}}{\rho_{ad}} = \frac{5}{4} = 1,25$$

Cu ajutorul abacelor 11, 12, 13 se găsesc pentru un strat de grosime $h = 7 \text{ m}$, (grosimea stratului fiind determinată pentru stratul

nr.1 de pe curba de P.S.), următoarele valori:

$$\frac{\rho_{2,15-\infty}}{\rho_{ad}} = 2,5 ; \quad \rho_{2,15-\infty} = 2,5 \cdot 4 = 10 \Omega_m$$

$$\frac{\rho_{4,25-\infty}}{\rho_{ad}} = 1,5 ; \quad \rho_{4,25-\infty} = 1,5 \cdot 4 = 6 \Omega_m$$

$$\frac{\rho_{8,4-\infty}}{\rho_{ad}} = 1,25 ; \quad \rho_{8,4-\infty} = 1,25 \cdot 4 = 5 \Omega_m$$

c) Determinarea rezistivității reale (ρ_n) și a diametrului zonei de invazie (D)

Se calculează rapoartele:

$$\frac{\rho_{2,15-\infty}}{\rho_n} = \frac{10}{1,2} = 8,3$$

$$\frac{\rho_{4,25-\infty}}{\rho_n} = \frac{6}{1,2} = 5$$

$$\frac{\rho_{8,4-\infty}}{\rho_n} = \frac{5}{1,2} = 4,2$$

Cu valorile acestor rapoarte se determină valorile rezistivității reale pentru diferite diametre de invazie cu ajutorul abacelor nr. 14, 15, 16, 17. Datele obținute sînt înscrise pe coloană în tabelul de mai jos, pentru fiecare dispozitiv.

$\frac{\rho_i}{\rho_n} = 11,7$ $d = 250 \text{ mm}$			
D	$\rho_{2,15-\infty} / \rho_n = 8,3$	$\rho_{4,25-\infty} / \rho_n = 5$	$\rho_{8,4-\infty} / \rho_n = 4,2$
2d	7,2	5	4,7
4d	5,7	4,6	4,4
8d	3,6	4	4,2
16d	-	2	4,2

Se construiește graficul dublu logaritmice pentru fiecare dispozitiv în parte (fig.41) și se obțin valorile:

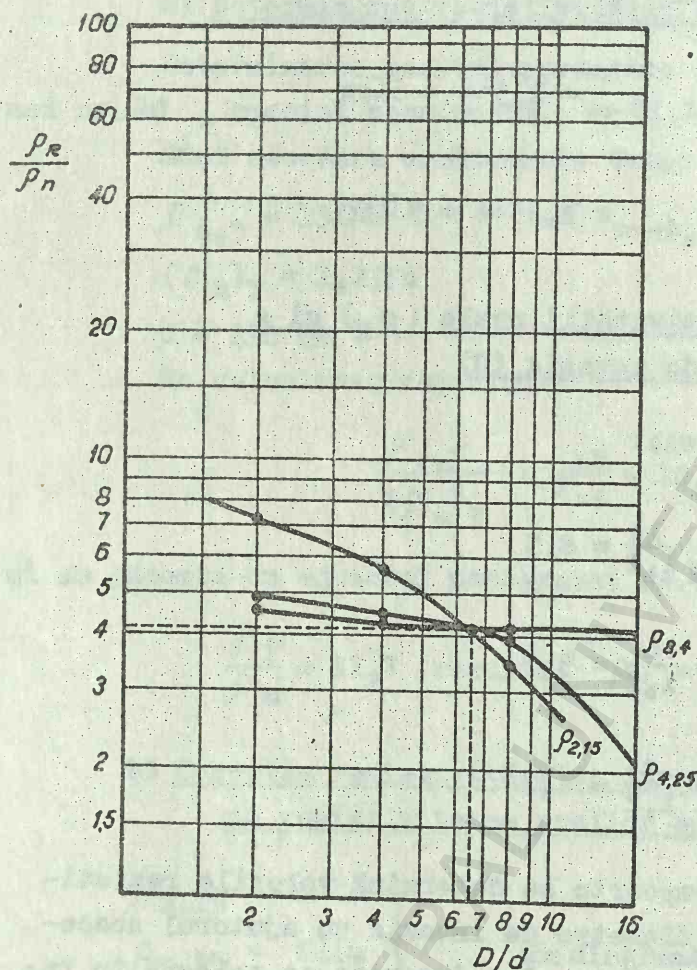


Fig. 41

$$D/d = 6,6 ; \frac{\rho_R}{\rho_n} = 4,3$$

rezultă:

$$D = 6,6 \cdot 0,250 = 1,65 \text{ m}$$

$$\rho_R = 4,3 \cdot 1,2 = 5,16 \Omega \text{ m}$$

Calculând raportul

$$\frac{\rho_i}{\rho_R} = \frac{14,04}{5,16} = 2,7$$

pe baza căruia se poate face estimarea conținutului colectorului ca: "Rocă posibil cu hidrocarburi".

EXERCITII

Să se determine rezistivitatea zonei de invazie, " ρ_i ", rezistivitatea reală, " ρ_R ", și diametrul zonei de invazie, D , pentru stratele poroase permeabile din anexa B.6., să se estimeze conținutul colectoarelor.

3.6. Carotajul electric cu curenți focalizați (laterolog)

După cum s-a arătat mai sus, metodele electrice convenționale măsoară rezistivitatea aparentă cu ajutorul dispozitivelor cu trei electrozi. Datorită influenței simultane a coloanei de noroi, a zonei de invazie și a straturilor adiacente, câmpul electric ce ia naștere în dreptul stratului este deformat.

Dacă rezistivitatea noroiului este foarte mică (noroaie mineralizate), efectul de scurtcircuitare al liniilor de curent va fi foarte pronunțat.

Aceste influențe sînt eliminate prin folosirea unei metode care constă în cercetarea formațiunilor traversate de sondă cu ajutorul unui câmp electric focalizat, rezultat în urma acțiunii de dirijare a curentului, perpendicular pe peretele sondei. Focalizarea curentului electric se realizează cu ajutorul dispozitivelor cu șapte electrozi punctiformi (Laterolog 7) sau a dispozitivului cu trei electrozi alungiți (Laterolog 3).

Dispozitivul cu șapte electrozi (fig.42) este format dintr-un

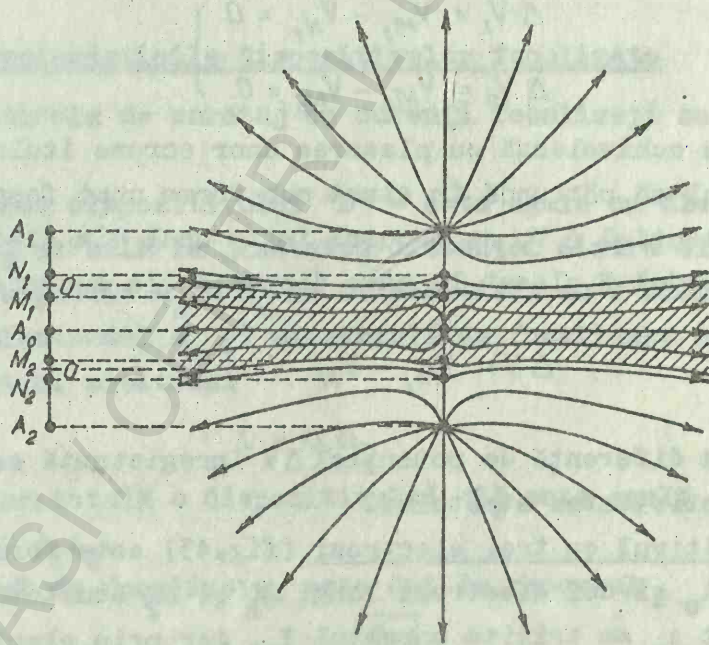


Fig.42. Dispozitivul de carotaj electric
cu curenți focalizați - Laterolog 7.

central A_0 și doi electrozi de focalizare A_1 și A_2 scurtcircuitați, plasați simetric în raport cu A_0 . Dispozitivul mai conține două perechi de electrozi de măsură M_1, N_1 și M_2, N_2 punctiformi, plasați simetric în raport cu A_0 și de asemenea scurtcircuitați. Prin electrodul central A_0 se trimite un curent de intensitate I_0 , iar prin perechea de electrozi A_1 și A_2 scurtcircuitați curentul de focalizare I_1 , de aceeași polaritate cu I_0 .

Acești curenți crează în mediul înconjurător două câmpuri electrice și anume:

- câmpul de măsură creat de curentul I_0
- câmpul de focalizare creat de curentul I_1 .

Câmpul de focalizare îmbracă câmpul de măsură dirijându-l pe acesta să ia forma unei pînze de curent perpendiculară pe peretele sondei și dispusă între două plane care trec la mijlocul distanței perechilor de electrozi scurtcircuitați M_1, N_1 și M_2, N_2 .

Intensitatea curentului I_1 trimis prin electrozii de focalizare A_1 și A_2 este reglată automat și continuu în raport cu curentul I_0 , astfel încît diferențele de potențial între perechile de electrozi de măsură să fie egale cu zero.

$$\left. \begin{aligned} \Delta V_1 &= V_{M_1} - V_{N_1} = 0 \\ \Delta V_2 &= V_{M_2} - V_{N_2} = 0 \end{aligned} \right\} \quad (3.36)$$

Aceasta echivalează cu plasarea unor ecrane izolatoare care forțează curentul să pătrundă în strat sub forma unui fascicol. Diferența de potențial ΔV , se măsoară între unul din electrozii de măsură și electrodul N plasat la mare distanță (la suprafață)

$$\Delta V = V_{M_1} - V_N \quad (3.37)$$

Această diferență de potențial ΔV înregistrată este proporțională cu rezistivitatea stratului.

Dispozitivul cu trei electrozi (fig.43) este format dintr-un electrod scurt A_0 și doi electrozi lungi A_1 și A_2 scurtcircuitați. Prin electrodul scurt A_0 se trimite curentul I_0 , iar prin electrozii A_1 și A_2 un curent I_1 de aceeași polaritate ce se reglează automat astfel ca potențialul electrozilor $A_1 - A_2$ să se mențină la potențialul electrodului A_0 .

Determinarea rezistivității se face fie prin măsurarea curentului I_0 , menținându-se constant potențialul electrodului A_0 , sau

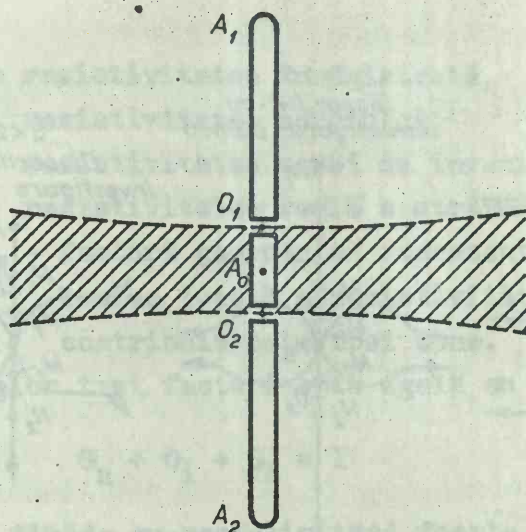


Fig.43. Dispozitivul de carotaj electric cu curenți focalizați-Laterolog3

invers menținându-se constant I_0 și măsurându-se potențialul A_0 față de infinit

$$\Delta V = V_{A_0} - V_N \quad (3.38)$$

Caracteristicile dispozitivelor focalizate

Dispozitivele de carotaj cu curenți focalizați se caracterizează prin:

- Lungimea dispozitivului "L" - este egală cu distanța O_1O_2 . Punctele O_1 și O_2 se află la jumătatea distanței dintre electrozii de măsură $M_1 - N_1$ respectiv $M_2 - N_2$ la dispozitivul cu 7 electrozi punctiformi și între electrodul A_0 și electrozii de focalizare A_1 și A_2 la dispozitivul cu trei electrozi

$$L = O_1O_2$$

- Lungimea totală a dispozitivului " L_T " este egală cu distanța dintre electrozii A_1A_2 .

- Modulul de focalizare, este dat de raportul

$$S = \frac{L}{L_T} = \frac{\overline{A_1A_2}}{\overline{O_1O_2}} \quad (3.39)$$

Modulul de focalizare condiționează forma pînzei de curent și totodată adîncimea de investigare.

Pentru un modul de focalizare mic, liniile de curent diverg la o distanță foarte mică de peretele sondei (fig.44.c),

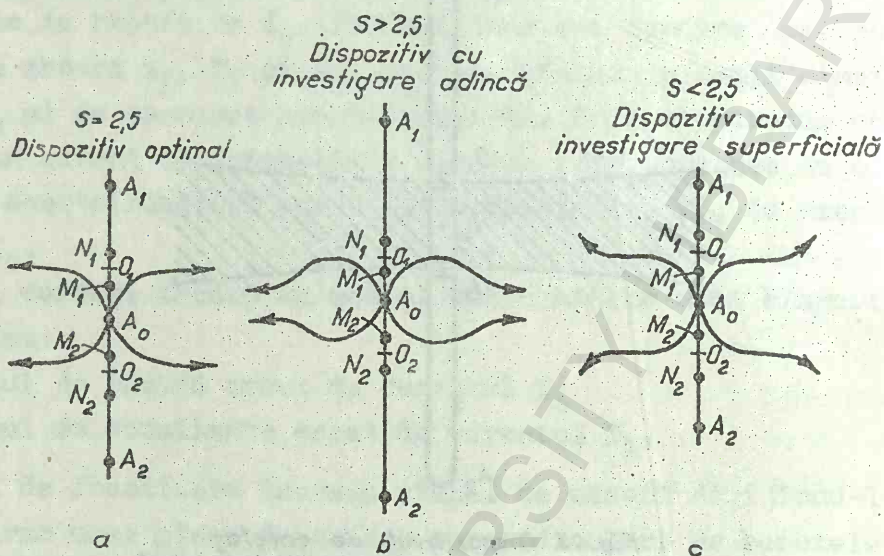


Fig. 44

$S < 2,5$ - rază de investigare mică (Dispozitiv cu investigare superficială)

Pentru valori mari ale lui S , liniile de curent au tendință de convergență (fig. 44 b).

$S > 2,5$ - rază de investigare mare (Dispozitiv cu investigare adâncă).

Pentru valori optime ale lui S , liniile de curent sînt paralele (fig. 44 a)

$S = 2,5$ - rază de investigare medie (Dispozitiv cu investigare medie sau Dispozitiv optimal).

Punctul de înregistrare a rezistivității aparente (măsurate) cu dispozitive focalizate se raportează la nivelul electrodului principal A_0 .

Cu dispozitivele focalizate LL_3 sau LL_7 se înregistrează o curbă de rezistivitate ρ_A (Ωm) înscrisă pe trasa din dreapta a diagramei, însoțită de regulă de o curbă a radioactivității naturale (curba gama) sau o curbă de P.S. vezi anexa B.7.

Rezistivitatea măsurată cu dispozitive focalizate reprezintă o sumă a mai multor componente avînd forma

$$\rho_{LL} = G_n \cdot \rho_n + G_i \cdot \rho_i + G_R \cdot \rho_R \quad (3.40)$$

în care:

- ρ_{LL} este rezistivitatea înregistrată,
- ρ_n - rezistivitatea noroiului,
- ρ_i - rezistivitatea zonei de invazie,
- ρ_R - rezistivitatea reală a stratului,
- G_n, G_i, G_R - factori geometrici reprezentînd ponderea din valoarea totală a rezistivității măsurate, cu care contribuie cele trei zone.

Suma celor trei factori este egală cu unitatea:

$$G_n + G_i + G_R = 1$$

Pentru fluide cu rezistivități foarte mici, fiind de fapt domeniul de aplicabilitate al laterologului, produsul $G_n \rho_n = 0$

Deci

$$\rho_{LL} = G_i \rho_i + G_R \rho_R \quad (3.41)$$

sau ținînd seama că $G_i + G_R = 1$

$$\rho_{LL} = G_i \rho_i + (1 - G_i) \rho_R \quad (3.42)$$

Admițînd că zona de pătrundere a filtratului de noroi este omogenă, cu o rezistivitate egală cu cea a zonei spălate relația (3.42) se transcrie

$$\left. \begin{aligned} \rho_{LL} &= G_i \rho_{io} + (1 - G_i) \rho_R \\ \text{sau} \quad \rho_R &= \frac{\rho_{LL} - G_i \rho_{io}}{1 - G_i} \end{aligned} \right\} \quad (3.43)$$

Relația (3.43) redă modul de calcul al rezistivității reale, ρ_R .

LUCRAREA NR. 7

DETERMINAREA REZISTIVITĂȚII REALE, ρ_R , DIN
CAROTAJUL ELECTRIC CU CURENȚI FOCALIZAȚII
Laterolog 3 (LL₃) sau Laterolog 7 (LL₇)

Pentru determinarea rezistivității reale, ρ_R , în baza relației (3.43) se utilizează curba de rezistivitate înregistrată în carotajul electric cu curenți focalizați (LL₃ sau LL₇).

Efectuarea lucrării se desfășoară în următoarele etape:

a) Citirea valorilor de rezistivitate aparentă:

- ρ_{LL_3} sau ρ_{LL_7} - se citește valoarea rezistivității aparente în punctul de maxim al amplitudinii curbei de rezistivitate în dreptul stratului analizat;

- ρ_{ad} (rezistivitatea rocii adiacente) - se citește în dreptul unui strat de marnă sau argilă pe curba de rezistivitate.

b) Alte date necesare:

- ρ_{io} - (rezistivitatea subzonei spălate) - determinată din microlaterolog;

- h (grosimea stratului) - determinată de pe curba gama-naturală înscrisă de obicei pe trasa din stînga a diagramei (vezi lucrarea nr.4);

- D - (diametrul de invazie) - estimat din altă metodă.

Procedeul de determinare

c) Se corectează rezistivitățile aparente citite, ρ_{LL_3} (ρ_{LL_7}), cu grosimea stratului, h și rezistivitatea stratului adiacent, ρ_{ad} . Pentru aceasta se va calcula raportul:

$$\frac{\rho_{LL_3}}{\rho_{ad}} \text{ sau } \frac{\rho_{LL_7}}{\rho_{ad}}$$

Valorile corectate se obțin cu ajutorul abacei nr.18a pentru LL₃ și nr.18b pentru LL₇. Cele două abace sînt asemănătoare iar modul de lucru este același.

Ambele abace au înscrise în abscisă grosimea stratului, h [pic.], iar în ordonată valori ale raportului $\rho_{LL_3 \text{ cor}} / \rho_{LL_3}$ respectiv $\rho_{LL_7 \text{ cor}} / \rho_{LL_7}$. Abacele conțin curbe al căror modul corespunde raportului $\frac{\rho_{LL_3}}{\rho_{ad}}$ sau $\frac{\rho_{LL_7}}{\rho_{ad}}$.

Se introduce în abscisă grosimea stratului, h , și se ridică o verticală pînă intersectează curba al cărui modul este egal cu valoarea raportului $\rho_{LL3(7)}/\rho_{ad}$. Din punctul de intersecție se duce o orizontală, iar în ordonată se citește valoarea raportului $\frac{\rho_{LL3,cor}}{\rho_{LL3}} = m$, sau $\rho_{LL7,cor}/\rho_{LL7} = n$.

Valoarea corectată de rezistivitate va fi:

$$\rho_{LL3,cor} = m \cdot \rho_{LL3} \text{ sau } \rho_{LL7,cor} = n \cdot \rho_{LL7} \quad (3.44)$$

d) Se determină valoarea factorului geometric integrat, G_i , în funcție de diametrul de invazie, D , cu ajutorul abacei nr.19.

Valoarea diametrului de invazie, D , se introduce în abscisa abacei și se ridică o verticală pînă intersectează curba corespunzătoare dispozitivului folosit. Din punctul de intersecție se duce o orizontală și în ordonată se citește valoarea lui G_i .

e) Rezistivitatea reală ρ_R se calculează în funcție de $\rho_{LL3(7),cor}$ și G_i cu relația (3.43):

$$\rho_R = \frac{\rho_{LL3(7),cor} - G_i \rho_{io}}{1 - G_i}$$

Exemplu

Determinarea rezistivității reale ρ_R din LL_3 comportă cunoașterea următoarelor valori:

$$\rho_{LL3} = 155 \Omega m$$

$$D = 1,52 m$$

$$\rho_{ad} = 3 \Omega m$$

$$h = 5 m$$

$$\rho_{io} = 10 \Omega m$$

$$\frac{\rho_{LL3}}{\rho_{ad}} = \frac{155}{3} = 51,6$$

$$\frac{\rho_{LL3,cor}}{\rho_{LL3}} = 1,36 \quad (\text{Abaca nr.18b})$$

$$\rho_{LL3,cor} = 155 \cdot 1,36 = 210,8$$

$$G_i = 0,64 \quad (\text{Abaca nr.19.})$$

$$\rho_R = \frac{210,8 - 0,64 \cdot 10}{1 - 0,64} = 567 \Omega m$$

EXERCITII

Să se determine rezistivitatea reală pentru intervalele 1, 2, 3, 4, 5, 6 din diagrapia LL_3 (Anexa B.7) cunoscînd următoarele date:

ρ_{LL_3} și ρ_{MLL} (din diagrafie)

h_{tn} (din diagrafie)

$$(\rho_n)_T = 0,01\Omega m$$

Datele necesare și obținute se vor cumula în tabelul:

Nr. crt.	Intervalul $H_{inf} - H_{sup}$	h	$\rho_{LL_3(7)}$	ρ_{ad}	$\frac{\rho_{LL_3(7)}}{\rho_{ad}}$	$m(n)$	$\rho_{LL_{cor}(7)}$	$D(m)$	G_i	ρ_{io}	ρ_R
1	2374 - 2379	5	155	3	51,6	1,36	210,8	1,52	0,64	10	567

3.7. Carotajul electric cu curenți focalizați dual

Dual-laterolog (DLL)

Metoda dual-laterolog reprezintă o metodă de investigare a formațiunilor geologice traversate de foraje, pe principiul rezistivității, prin procedeul curenților focalizați. Dispozitivul de investigare este compus dintr-un aranjament de 9 electrozi, constituind de fapt două dispozitive focalizate combinate (fig.45):

a) Dispozitiv de investigare superficială - LL_s

b) Dispozitiv de investigare adâncă - LL_a

Electrozii au următoarele funcții:

- Nr.1 - electrod de curent pentru cîmpul de măsură (focalizat)

(A_0).

- Nr.2 și 2' și nr. 3 și 3' - perechi de electrozi de sesizare pentru comanda sistemului de focalizare și măsura parametrului rezistivitate (M_1 , M_1' și M_2 , M_2').

- Nr. 4 și 4' și nr. 5 și 5' - perechi de electrozi de curent pentru cîmpul de focalizare (A_1 , A_1' și respectiv A_2 , A_2').

Cele două dispozitive crează simultan câte un cîmp electric alternativ focalizat - pe două frecvențe diferite, emise de electrodul de curent central nr.1(A_0), dirijate perpendicular pe pereții găurii de sondă, astfel încît să pătrundă în formația investigată, independent de contrastele de rezistivitate existente față de fluidul din gaura de sondă formațiunile adiacente.

Forma "focalizată" a cîmpului de măsură este menținută cu ajutorul cîmpului de curent de focalizare. După modul de constituire a

PRINCIPIUL DISPOZITIVULUI DLL

LLa

LLs

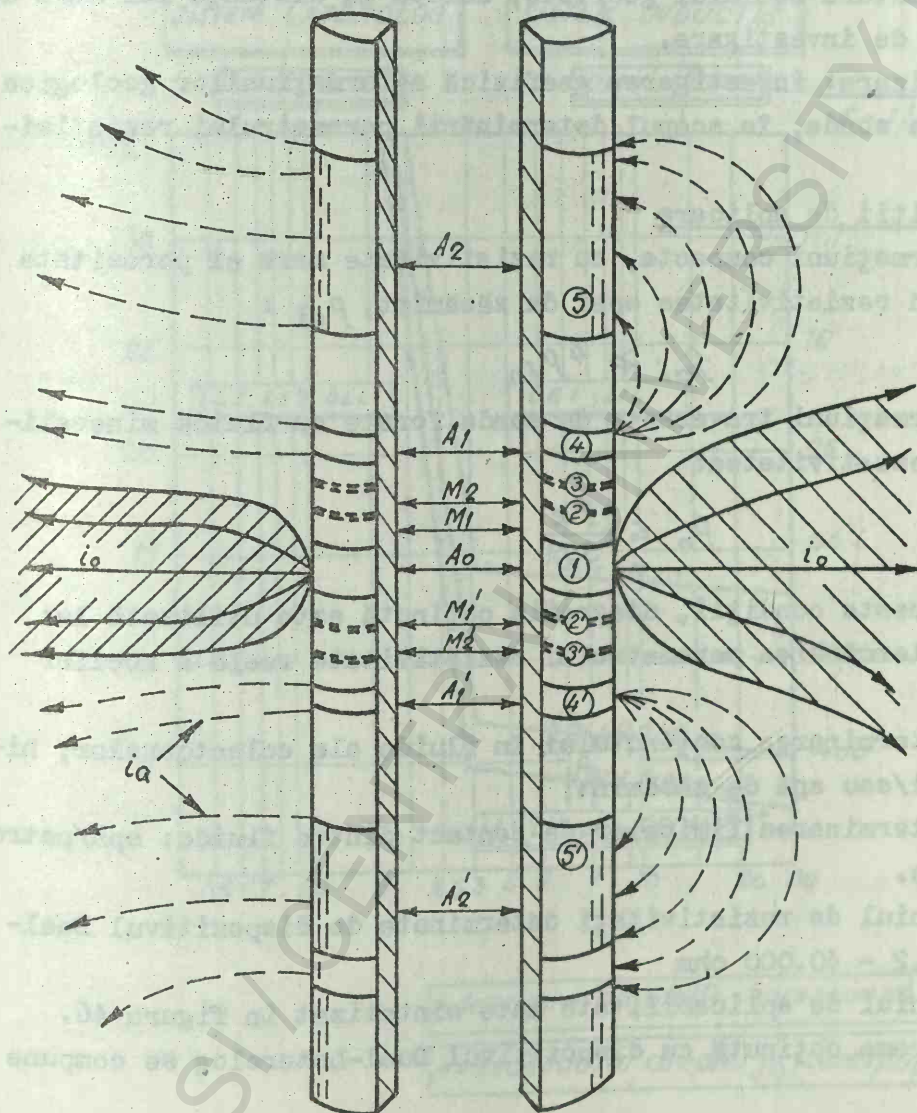


Fig. 45

acestui câmp se asigură cele două tipuri de investigare:

a) investigare superficială, când liniile de curent ale câmpului de focalizare sînt emise de electrozii nr.4 și 4' (respectiv A_1 și A'_1) și se întorc la electrozii nr.5 și 5' (respectiv A_2 și A'_2);

b) investigare adîncă, când liniile de curent ale câmpului de focalizare sînt emise de electrozii nr. 4 și 4' (respectiv A_1 și A'_1) scurtcircuitați cu electrozii nr.5 și 5' (respectiv A_2 și A'_2) și se întorc la armătura cablului geofizic, aflată la distanță mai mare de dispozitivul de investigare.

Utilizare: investigarea geofizică a formațiunilor geologice traversate de sonde, în scopul determinării parametrului rezistivitate.

Condiții de aplicare

- formațiuni compacte, cu rezistivitate mare și porozitate redusă, avînd rezistivitatea apei de zăcămint, ρ_{ai} :

$$\rho_{ai} \geq 4 \rho_{fn}$$

- formațiuni traversate de sonde forate cu fluide mineralizate avînd rezistivitatea:

$$\rho_n \leq \frac{\rho_R}{50}$$

În aceste condiții, diagrapia obținută este utilizată la:

- determinarea parametrului rezistivitate reală a rocilor colectoare;

- determinarea conținutului în fluide ale colectoarelor; hidrocarburi și/sau apă de zăcămint;

- determinarea limitelor de contact dintre fluide: apă/petrol sau apă/gaze.

Domeniul de rezistivități determinate de dispozitivul Dual-Laterolog: 0,2 - 40.000 ohm

Domeniul de aplicabilitate este sintetizat în figura 46.

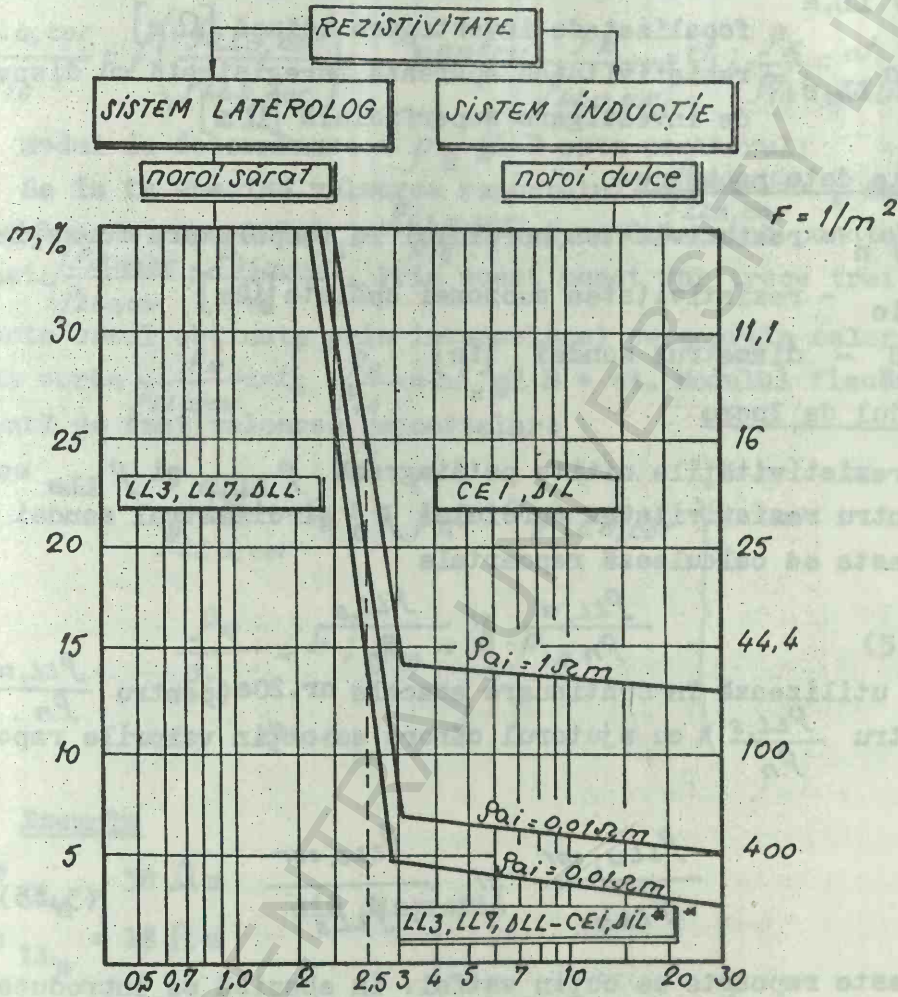
Diagrama obținută cu dispozitivul Dual-Laterolog se compune din:

- o curbă de rezistivitate înregistrată cu dispozitiv cu investigare adîncă ρ_{LLs} ;

- o curbă de rezistivitate înregistrată cu dispozitiv cu investigare superficială ρ_{LLs} ;

- o curbă de rezistivitate înregistrată cu un microdispozitiv focalizat ρ_{MLL} .

Cele trei curbe sînt înscrise pe trasa din dreapta a diagramei, valorile de rezistivitate fiind înscrise în scară logaritmică (Anexa B.8).



*deasupra dreptei ρ_{ai} corespunzătoare

**dedesubtul dreptei ρ_{ai} corespunzătoare

Fig. 46

LUCRAREA NR. 8

DETERMINAREA REZISTIVITĂȚII REALE ρ_R ȘI A DIAMETRULUI DE INVAZIE, D, DIN DLL

Date citite din diagrafie:

- $\rho_{LL,a}$ - rezistivitatea aparentă înregistrată cu dispozitiv focalizat de investigare adîncă [Ωm]
- $\rho_{LL,s}$ - rezistivitatea aparentă înregistrată cu dispozitiv de investigare superficială [Ωm]

Alte date necesare:

- ρ_n - rezistivitatea noroiului la temperatura formației [Ωm]
- ρ_{io} - rezistivitatea subzonei spălate [Ωm]
- d - diametrul sondei [in]

Modul de lucru

- rezistivitățile citite pe diagramă $\rho_{LL,a}$ și $\rho_{LL,s}$ se vor corecta pentru rezistivitatea noroiului ρ_n și diametrul sondei d. Pentru aceasta se calculează rapoartele

$$\frac{\rho_{LL,a}}{\rho_n} \text{ și } \frac{\rho_{LL,s}}{\rho_n}$$

Se utilizează în continuare abacele nr. 20a (pentru $\frac{\rho_{LL,a}}{\rho_n}$) și nr. 20b (pentru $\frac{\rho_{LL,s}}{\rho_n}$) cu ajutorul cărora se obțin valorile rapoartelor

$$\frac{\rho_{LL,a,cor}}{\rho_{LL,a}} \text{ și } \frac{\rho_{LL,s,cor}}{\rho_{LL,s}} \quad (3.45)$$

Aceste rapoarte se obțin astfel: în abscisă se introduce valoarea raportului $\frac{\rho_{LL}}{\rho_n}$ și se ridică o verticală pînă intersectează curba al cărui modul este egal cu diametrul sondei. Din punctul de intersecție se duce o orizontală iar în ordonată se citește valoarea rapoartelor.

Dacă

$$\frac{\rho_{LL,a,cor}}{\rho_{LL,a}} = A \text{ și } \frac{\rho_{LL,s,cor}}{\rho_{LL,s}} = B \quad (3.46)$$

rezultă că

$$\rho_{LL,a,cor} = A \cdot \rho_{LL,a} \text{ și } \rho_{LL,s,cor} = B \cdot \rho_{LL,s}$$

Cu aceste valori corectate se vor calcula rapoartele:

$$\frac{\rho_{LLs,cor}}{\rho_{io}} \quad \text{și} \quad \frac{\rho_{LL\alpha,cor}}{\rho_{io}}$$

În continuare se va folosi abaca nr.21 care dă dependența:

$$\frac{\rho_{LL\alpha,cor}}{\rho_{io}} = f\left(\frac{\rho_{LL\alpha,cor}}{\rho_{LLs,cor}}\right) \quad \text{pentru} \quad \frac{\rho_R}{\rho_{LL\alpha,cor}} = ct.; \quad \frac{\rho_R}{\rho_{io}} = ct. \quad \text{și} \quad D = ct. \quad (3.47)$$

Modul de determinare a ρ_R și D este următorul:

Se ia în abscisă valoarea raportului $\frac{\rho_{LL\alpha,cor}}{\rho_{LLs,cor}}$, iar în ordonată valoarea raportului $\frac{\rho_{LL\alpha,cor}}{\rho_{io}}$ și se determină punctul P de coordonate $\left(\frac{\rho_{LL\alpha,cor}}{\rho_{LLs,cor}}; \frac{\rho_{LL\alpha,cor}}{\rho_{io}}\right)$. Prin acest punct vor trece trei curbe (dacă este cazul obținute prin interpolare) ce aparțin celor trei familii de curbe $\frac{\rho_R}{\rho_{LL\alpha,cor}} = ct.$; $\frac{\rho_R}{\rho_{io}} = ct.$ și $D = ct.$ Modulul fiecărei curbe reprezintă de fapt valoarea rapoartelor:

$$\left. \begin{aligned} \frac{\rho_R}{\rho_{LL\alpha,cor}} &= a; \quad \rho_R = a \cdot \rho_{LL\alpha,cor} \\ \frac{\rho_R}{\rho_{io}} &= b; \quad \rho_R = b \cdot \rho_{io} \\ \text{iar} \quad D &= c \end{aligned} \right\} \quad (3.48)$$

Exemplu

$$\rho_{LLa} = 38 \, \Omega m \quad \text{din diagrafie}$$

$$\rho_{LLs} = 16 \, \Omega m$$

$$\rho_{io} = 3 \, \Omega m \quad - \text{din microlaterolog}$$

$$\rho_n = 0,2 \, \Omega m \quad - \text{la temperatura formației}$$

$$d = 8'' \quad - \text{din cavernogramă}$$

$$\frac{\rho_{LLs}}{\rho_n} = \frac{16}{0,8} = 80$$

$$\frac{\rho_{LLa}}{\rho_n} = \frac{38}{0,2} = 190$$

$$\frac{\rho_{LLs,cor}}{\rho_{LLs}} = 0,99$$

$$\rho_{LLs,cor} = 16 \cdot 0,99 = 15,84$$

$$\frac{\rho_{LLa,cor}}{\rho_{LLa}} = 0,97$$

$$\rho_{LLa,cor} = 38 \cdot 0,97 = 36,86$$

$$\frac{\rho_{LLa,cor}}{\rho_{LLs,cor}} = \frac{36,86}{15,84} = 2,3 ; \quad \frac{\rho_{LLa,cor}}{\rho_{io}} = \frac{36,86}{3} = 12,3$$

$$\frac{\rho_R}{\rho_{io}} = 14,7 \Rightarrow \rho_R = 3 \cdot 14,7 = 44,1$$

$$D = 38'' = 0,96 \text{ m}$$

Datele obținute se cumulează în tabelul de mai jos:

Nr. str.	H _{med}	h	ρ_{LLa}	ρ_{LLs}	ρ_{io}	ρ_n	d	$\rho_{LLa,cor}$	$\rho_{LLs,cor}$	$\frac{\rho_{LLa,cor}}{\rho_{LLs,cor}}$	$\frac{\rho_{LLa,cor}}{\rho_{io}}$	ρ_R	D
1	1700	5	38	16	3	0,2	8	36,86	15,84	2,3	12,3	44,1	0,96

EXERCITII

Să se determine rezistivitatea reală ρ_R , și diametrul zonei de invazie D, din diagrapia DLL, (anexa B.8) pentru stratele poroase-permeabile cunoscînd: $\rho_n = 0,2 \Omega m$; $d = 8''$ și $\rho_{io} = 3 \Omega m$

3.8. Carotajul electric de inducție

Pentru a extinde domeniul de aplicabilitate al metodelor electrice și a depăși limitările care interveneau în situația sondelor săpate cu noroaie neconductive s-a introdus metoda inductivă de cercetare a sondelor (Dall-1949).

Investigarea formațiunilor se face cu ajutorul curenților induși în mediul înconjurător, în acest caz nefiind necesar un contact direct al dispozitivului de măsură cu rocile traversate, contact realizat în celelalte metode de noroiul de foraj.

Cîmpul electromagnetic este produs de un dispozitiv de investigare reprezentat schematic în figura 47.

Dispozitivul de investigare este compus dintr-o bobină trans-

mițătoare T și o bobină receptoare R, montate pe un suport electroizolant.

Bobina transmițătoare este alimentată de la generatorul electronic G.E. cu un curent alternativ, de frecvență înaltă - 20 kHz.

Acest curent induce de-a lungul axului bobinei un câmp magnetic, denumit câmp magnetic primar sau direct. Câmpul magnetic primar se propagă în mediu, dând naștere unor curenți cu parcurs circular, în plane perpendiculare pe axul dispozitivului, de genul curenților turbionari (curenți Foucault). Acești curenți, care au fost denumiți curenți Eddy și a căror intensitate este proporțională cu conductivitatea mediului produc un câmp magnetic secundar de-a lungul axului dispozitivului.

Câmpul magnetic secundar induce la rândul său în bobina receptoare dispusă la o distanță L de bobina transmițătoare, o tensiune electromotoare, de asemenea proporțională cu conductivitatea mediului.

Această tensiune este recepționată de receptorul electronic RE și, după selectarea componentei în fază cu curentul transmițătorului, se transmite la suprafață un curent proporțional cu conductivitatea rocilor înconjurătoare.

Semnalul total măsurat este dat de expresia

$$e = k \iint_S G(r,z) \nabla(r,z) ds \quad (3.49)$$

unde: e - forța electromotoare indusă în bobina receptoare

k - constantă care depinde de particularitățile constructive ale dispozitivului și regimului de lucru

G(r,z) - factor geometric și reprezintă contribuția fiecărui punct al mediului de coordonate (r,z) la semnalul total al bobinei receptoare

∇ - conductivitatea electrică a mediului.

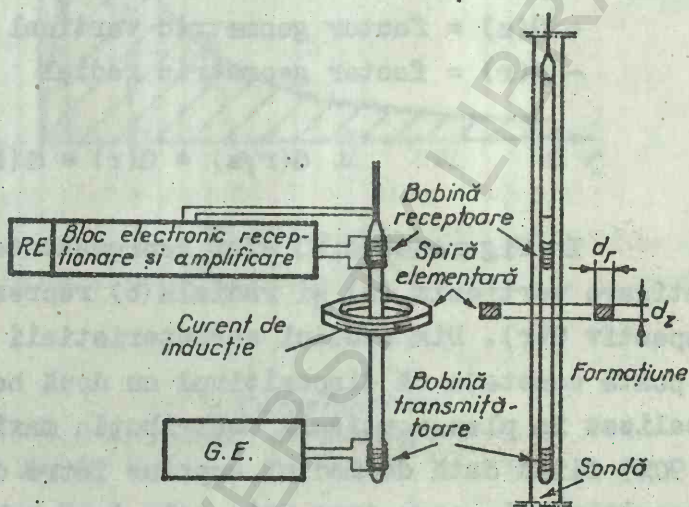


Fig.47. Dispozitiv de carotaj inductiv

Pentru a se putea studia influența în plan vertical și în plan orizontal, factorul geometric definit mai sus poate fi descompus în două componente:

- $G(z)$ = factor geometric vertical
- $G(r)$ = factor geometric radial

$$G(r, z) = G(r) \cdot G(z) \quad (3.50)$$

În figura (48 a, b) sînt reprezentate caracteristicile de investigare verticală (a) și radială (b) reprezentînd dependența $G(z)$, respectiv $G(r)$. Din studiul caracteristicii de investigare verticală se poate constata că dispozitivul cu două bobine este un dispozitiv focalizat în plan vertical, contribuția maximă asupra semnalului (circa 90%) fiind dată de mediul cuprins între două plane normale pe axul dispozitivului, care trec prin cele două bobine, respectiv pe o distanță egală cu L = lungimea dispozitivului.

Din studiul caracteristicii de investigare radială, se poate preciza că, contribuția maximă a mediului este dată de zona cuprinsă între $0,25L$ și $0,80L$ față de axul dispozitivului.

Pentru îmbunătățirea caracteristicii de investigare radială a dispozitivului cu două bobine este necesar să se micșoreze partea de semnal de la sondă în raport cu semnalul de la zona necontaminată pentru care este necesară creșterea lungimii dispozitivului. Pentru a îmbunătăți caracteristica verticală de investigare a aceluiași dispozitiv este necesar a micșora partea de semnal de la rocile adiacente în raport cu semnalul de la stratul în fața căruia se află dispozitivul, ceea ce înseamnă o micșorare a dispozitivului.

Pentru rezolvarea acestei probleme, în practică se utilizează dispozitive cu mai multe bobine, așa numitele dispozitive focalizate. Aceste dispozitive sînt formate din două bobine principale (bobină transmițătoare, T, și bobina receptoare, R) și trei sau patru bobine de focalizate. Cele două dispozitive utilizate curent în practică sînt redată în tabelul de mai jos.

Dispozitivul	Bobine principale	Bobine de focalizare	Lungimea dispozitivului	Raza de investigare	Observații
5 FF 40	2(T,R)	3	$L = 40'' (\approx 1m)$	$r_1 = 2-3,5m$	Dispozitiv cu investigare medie
6 FF 40	2(T,R)	4	$L = 40'' (\approx 1m)$	$r_1 = 3,5-5m$	Dispozitiv cu investigare adîncă

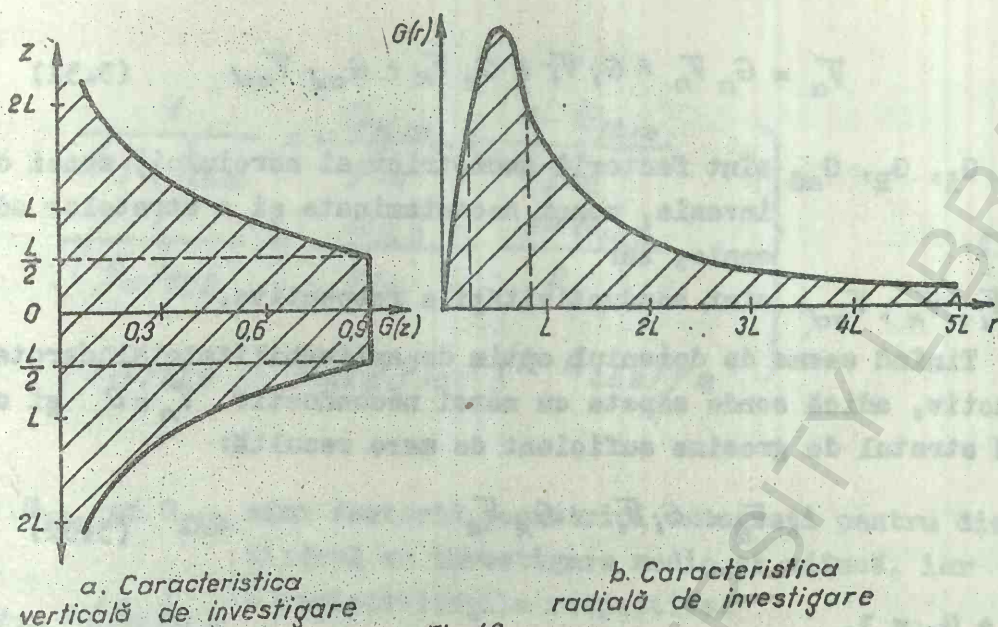


Fig. 48

Ponderea cu care zona invadată cu diametrul D , contribuie la forța electromotoare totală indusă în bobina receptoare R , este redată în abaca nr.22.

Se utilizează următoarele dispozitive de investigare:

a) Dispozitive simple de carotaj inductiv - Carotajul electric de inducție.

În carotajul electric de inducție se înregistrează:

- 1) o curbă de potențial spontan - P.S.
- 2) o curbă de rezistivitate înregistrată cu dispozitiv potențial scurt

$$\rho_{0,4} - [\overline{AM} = 0,4 \text{ m (16 inch)}; (\rho_{16})]$$

3) o curbă de conductivitate \overline{V}_α înregistrată cu dispozitiv cu investigare adâncă - 6 FF 40

4) o curbă de rezistivitate (reciprocata) $\rho_{\alpha I} = \frac{1}{\overline{V}_\alpha}$

Cele două curbe de rezistivitate sînt înscrise pe prima coloană a trasei duble din dreapta diagramei ($-\rho_{0,4}; ---\rho_{i_L}$). Valorile de rezistivitate cresc de la stînga la dreapta (scara ohmică este $20\Omega/\text{div}$). Pe cea de-a doua coloană se înregistrează curba de conductivitate ($-\overline{V}_\alpha$) cu valori crescătoare de la dreapta la stînga (scara 100 mmho/m). Pe trasa simplă din stînga se înscrie curba de P.S. Acest mod de prezentare este redat în anexa B.9.

În stratele de grosime finită, în prezența zonei de invazie cu filtrat de noroi, conductivitatea măsurată este:

$$V_{\alpha} = G_n V_n + G_i V_i + G_R V_R + G_{ad} V_{ad} \quad (3.51)$$

unde G_n, G_i, G_R, G_{ad} sînt factorii geometrici ai noroiului, zonei de invazie, zonei necontaminate și a stratelor adiacente, iar

V_n, V_i, V_R, V_{ad} sînt conductivitățile respective.

Ținînd seama de domeniul optim de aplicabilitate al carotajului inductiv, adică sonde săpate cu noroi neconductiv $V_n = 0$ și considerînd stratul de grosime suficient de mare rezultă:

$$V_{\alpha} = G_i V_i + G_R V_R \quad (3.52)$$

dar $G_i + G_R = 1$.

Rezultă că

$$V_{\alpha} = G_i V_i + (1 - G_i) V_R \quad (3.53)$$

de unde

$$V_R = \frac{V_{\alpha} - G_i V_i}{1 - G_i} \quad (3.54)$$

sau

$$\frac{1}{\rho_{\alpha l}} = \frac{G_i}{\rho_i} + \frac{1 - G_i}{\rho_R}$$

Relația (3.54) conduce la determinarea rezistivității reale din datele carotajului electric inductiv.

3.9. Carotajul inductiv + Laterolog (Dual-inducție-laterolog - D.I.L)

Dispozitivul combinat numit - DUAL INDUCTIE-LATEROLOG, utilizează un dispozitiv de investigare adîncă 6 FF 40, un dispozitiv cu investigare medie 5 FF 40 și un dispozitiv focalizat cu investigare superficială LL_s (laterolog superficial S < 2,5).

Răspunsul celor trei dispozitive este redat sub forma a trei curbe de rezistivitate în funcție de adîncime. Valorile de rezistivitate înregistrate sînt determinate de raza de investigație a fiecărui dispozitiv. Forma de reprezentare a diagramei este redată în anexa B10

Pentru determinarea rezistivității este utilizat următorul sistem de ecuații:

$$\left. \begin{aligned} \frac{1}{(\rho_{\alpha})_{ILM}} &= \frac{G_{ILM}}{\rho_{io}} + \frac{1-G_{ILM}}{\rho_R} \\ \frac{1}{(\rho_{\alpha})_{ILD}} &= \frac{G_{ILD}}{\rho_{io}} + \frac{1-G_{ILD}}{\rho_R} \\ (\rho_{\alpha})_{LLS} &= G_{LLS} \rho_{io} + (1-G_{LLS}) \rho_R \end{aligned} \right\} \quad (3.55)$$

unde: G_{ILM} și G_{ILD} sînt factorii geometrici integrați pentru dispozitivul cu investigare medie și adîncă, iar

$(\rho_{\alpha})_{ILM}$, $(\rho_{\alpha})_{ILD}$ - rezistivitățile respective.

LUCRAREA NR. 9

DETERMINAREA REZISTIVITATII REALE, ρ_R , DIN CAROTAJUL ELECTRIC INDUCTIV

Fornind de la relația (3.54) și admitînd că zona de pătrundere a filtratului de noroi este omogenă, cu o rezistivitate egală cu cea a subzonei spălate, se poate scrie:

$$\frac{1}{\rho_{\alpha I}} = \frac{G_i}{\rho_{io}} + \frac{1 - G_i}{\rho_R} \quad (3.56)$$

Din relația (3.56), rezultă că pentru determinarea rezistivității reale trebuie cunoscute valorile: factorului geometric, G_i , rezistivității subzonei spălate, ρ_{io} , și rezistivitatea aparentă, ρ_A , din carotajul de inducție.

Lucrarea se desfășoară în următoarele etape:

a) Citirea valorilor de rezistivitate aparentă din diagrame:

$\rho_{16''}$ - rezistivitatea aparentă înregistrată cu dispozitivul potențial AM = 16 inch (0,4 m) Ωm ; valoarea se citește în punctul de maxim al amplitudinii curbei de rezistivitate în dreptul stratului analizat;

$\rho_{\alpha I}$ - rezistivitatea din inducție (reciprocata) Ωm ; sau

\bar{v}_i - conductivitatea mU/m.

Valorile se citesc în punctele de maxim ale curbei de rezistivitate sau conductivitate.

Dacă se cunoaște numai \bar{v}_i , ρ_A se determină cu relația

$$\rho_{\alpha I} = \frac{1000}{\bar{v}_i}, \Omega m \quad (3.57)$$

ρ_{ad} - rezistivitatea stratului adiacent, Ωm ; se citește pe curba de rezistivitatea din inducție, eventual pe curba de rezistivitate înregistrată cu dispozitivul potențial AM = 16" în dreptul unui strat de argilă sau mar-nă.

b) Alte date necesare:

h - grosimea stratului, m - determinată de regulă de pe curba de P.S. sau curba gama natural.

ρ_{io} - rezistivitatea subzonei spălate, Ωm - determinată din mi-

crocarotaj sau microlaterolog;

ρ_n - rezistivitatea noroiului, Ωm - corectată cu temperatura formației;

d - diametrul sondei [în sau mm] - din cavernogramă (dacă nu este înregistrată cavernograma se poate face aproximația $d = d_n$; unde d_n este diametrul sapei);

D - diametrul de invazie [în sau mm] - estimat din altă metodă.

Procedeul de determinare

Valoarea rezistivității reale se poate determina utilizând două căi și anume:

A) Se efectuează corecția rezistivității aparente, ρ_{aI} , pentru grosimea stratului și rezistivitatea stratului adiacent, ρ_{ad} , cu una din abacele 23, 24, 25, 26.

În funcție de valoarea ρ_{ad} , se alege abaca cu ajutorul căreia se face corecția rezistivității. Abacele au în ordonată valori ale rezistivității corectate iar în abscisă valori ale grosimii stratului. Ele conțin curbe pentru $\rho_{aI} = ct$ (modul acestor curbe indică rezistivitatea citită pe diagrame). Cele patru abace sînt construite pentru rezistivități ale rocii adiacente egale cu 1; 2; 4; 10 Ωm .

În abscisă se introduce valoarea grosimii stratului și se deplasează vertical pînă intersectează curba al cărui modul este egală cu ρ_{aI} . Din punctul de intersecție se duce o orizontală și în ordonată se citește valoarea rezistivității corectate; $\rho_{aI, cor}$.

Avînd determinate valorile $\rho_{aI, cor}$, ρ_{io} și G_i se calculează ρ_R , cu relația

$$\rho_R = \frac{\rho_{aI, cor} \cdot \rho_{io} (1 - G_i)}{\rho_{io} - G_i \rho_{aI, cor}} \quad (3.58)$$

Valoarea lui G_i se determină în funcție de D , cu ajutorul abacei nr. 22

Exemplu

Se cunosc următoarele valori :

$\rho_I = 10 \Omega m$ (din diagrame)

$\rho_{arg} = 1 \Omega m$ (citită pe curba de rezistivitate din inducție în dreptul unui strat de argilă)

$h = 2 m$ (din microcarotaj)

$\rho_{io} = 34,5 \Omega m$ (din microcarotaj)

$$D = 61 \text{ cm}$$

$$\rho_{i, \text{cor}} = 7,6 \Omega \text{ m}$$

$$G_i = 0 \text{ pentru } D = 61 \text{ cm (Abaca nr.22)}$$

Aplicînd relația (3.58) se determină:

$$\rho_R = \frac{7,6 \cdot 34,5}{34,5} = 7,6 \Omega \text{ m}$$

B) Rezistivitatea reală se poate determina în funcție de $\rho_{I, \text{cor}}$, $\rho_{16'', \text{cor}}$ și ρ_{io} astfel:

a) $-\rho_{i, \text{cor}}$ - se obține ca în cazul 1.

$-\rho_{16'', \text{cor}}$ - reprezintă valoarea rezistivității obținută cu dispozitivul potențial $\overline{AM} = 0,4 \text{ m (16")}$ corectată pentru efectul coloanei de noroi. Această corecție se efectuează cu abaca nr.

Abaca nr.27 are în ordonată valori ale raportului $\rho_{16''}/\rho_n$, iar în abscisă valori ale raportului $\rho_{16, \text{cor}}/\rho_n$. Abaca conține o serie de curbe al căror modul este egal cu diametrul sondei, d ,

Modul de lucru este:

- Se calculează raportul $\rho_{16''}/\rho_n$ și se introduce în ordonata abacei, deplasîndu-se orizontal pînă intersectează curba al cărui modul este egal cu diametrul sondei. Din punctul de intersecție se coboară o verticală și în abscisă se citește valoarea raportului

$$\rho_{16, \text{cor}} / \rho_n = m.$$

Rezultă că:

$$\rho_{16, \text{cor}} = m \cdot \rho_n \quad (3.59)$$

b) Se calculează rapoartele $\frac{\rho_{io}}{\rho_{I, \text{cor}}}$ și $\frac{\rho_{io}}{\rho_{16'', \text{cor}}}$

Pentru obținerea rezistivității reale se utilizează abaca nr. 28.

În abscisă sînt înscrise valori ale raportului $\frac{\rho_{io}}{\rho_{16''}}$, iar în ordonată valori ale raportului $\frac{\rho_{io}}{\rho_{I, \text{cor}}}$. Abaca conține două serii de curbe pentru $\frac{\rho_{io}}{\rho_R} = \text{ct}$ și $D_i = \text{ct}$.

Modul de lucru este următorul:

Se plasează valorile celor două rapoarte $\rho_{io}/\rho_{i, \text{cor}}$ și

$\rho_{io}/\rho_{16,cor}$ în ordonată și respectiv în abscisă, obținându-se un punct P de coordonate $(\frac{\rho_{io}}{\rho_{i,cor}}, \frac{\rho_{io}}{\rho_{16,cor}})$. Prin acest punct P, vor trece două curbe (dacă este cazul duse prin interpolare). O curbă al cărui modul va corespunde raportului $\rho_{io}/\rho_R = M$. De unde se poate determina

$$\rho_R = \frac{\rho_{io}}{M} \quad (3.60)$$

Exemplu

Se dau: $\rho_{16''} = 19,5 \Omega m$

$$\rho_{aI} = 10 \Omega m$$

$$\rho_{arg} = 1 \Omega m$$

$$\rho_n = 1,3 \Omega m$$

$$d = 254 \text{ mm}$$

$$h = 2 \text{ m}$$

$$\rho_{io} = 34,5 \Omega m$$

Rezolvare

$$\rho_{a,I \text{ cor}} = 7,6 \Omega m$$

$$\frac{\rho_{16''}}{\rho_n} = \frac{19,5}{1,3} = 15 \Omega m$$

$$\frac{\rho_{16'',cor}}{\rho_n} = 14,5 \quad (\text{Abaca nr. 27}) \quad \rho_{16'',cor} = 14,5 \cdot 1,3 = 18,85$$

$$\frac{\rho_{io}}{\rho_{a,I \text{ cor}}} = \frac{34,5}{7,6} = 4,5$$

$$\frac{\rho_{io}}{\rho_{16'',cor}} = \frac{34,5}{18,85} = 1,8$$

Utilizând abaca nr. 28 rezultă că

$$\frac{\rho_{io}}{\rho_R} = 4,5 \Rightarrow \rho_R = \frac{34,5}{4,5} = 7,6 \Omega m$$

$$D = 24'' = 609,6 \text{ mm} \approx 61 \text{ cm}$$

EXERCITI I

Să se determine rezistivitatea reală și diametrul zonei de invazie pentru stratele poroase permeabile cuprinse în diagrama din anexa B.9. Rezultatele se vor cumula într-un tabel de forma:

[illegible]

LUCRAREA NR. 10

DETERMINAREA ρ_R SI D DUPA CURBELE CAROTAJULUI
"DUAL INDUCTIE-LATEROLOG"

Din diagrame se citesc următoarele date de rezistivitate:

- $\rho_{I\alpha}$ - rezistivitatea aparentă înregistrată cu dispozitiv de inducție cu investigare adâncă (DI_α)
- ρ_{Im} - rezistivitatea aparentă înregistrată cu dispozitiv de inducție medie (DI_m)
- ρ_{LLs} , (ρ_{LLs}) - rezistivitatea aparentă înregistrată cu dispozitiv focalizat cu investigare superficială (DL_s).

Pentru prelucrarea datelor citite din diagrama (DIL) este necesar să se cunoască rezistivitatea subzonei spălate ρ_{io} din microcarotaj sau microlaterolog.

Practic pentru determinarea rezistivității reale se folosește abaca nr.29 dacă $\rho_R < \rho_{io}$ sau abaca nr.30 dacă $\rho_R > \rho_{io}$. De fapt aceste abace dau dependența:

$$\text{Abaca nr.29 } \frac{\rho_{LLs}}{\rho_{I\alpha}} = f\left(\frac{\rho_{Im}}{\rho_{I\alpha}}\right) \quad \text{pentru } \frac{\rho_{io}}{\rho_R} = ct.; \frac{\rho_R}{\rho_{I\alpha}} = ct.; D = ct. \quad (3.61)$$

$$\text{Abaca nr.30 } \frac{\rho_{I\alpha}}{\rho_{io}} = f\left(\frac{\rho_{I\alpha}}{\rho_{Im}}\right) \quad \text{pentru } \frac{\rho_{io}}{\rho_R} = ct.; \frac{\rho_R}{\rho_{I\alpha}} = ct.; D = ct. \quad (3.62)$$

Pentru $\rho_R < \rho_{io}$ din relațiile de dependență (abaca nr.29) rezultă că sînt necesare valorile următoarelor rapoarte:

$$\frac{\rho_{LLs}}{\rho_{I\alpha}} ; \frac{\rho_{Im}}{\rho_{I\alpha}}$$

Modul de lucru: Abaca nr.29 are înscrise în ordonată valori ale raportului $\frac{\rho_{LLs}}{\rho_{I\alpha}}$ iar în abscisă valori ale raportului $\frac{\rho_{Im}}{\rho_{I\alpha}}$. Abaca conține trei familii de curbe pentru $\frac{\rho_{io}}{\rho_R} = ct.$; $\frac{\rho_R}{\rho_{I\alpha}} = ct$ și $D = ct.$

Valorile rapoartelor $\frac{\rho_{LLs}}{\rho_{I\alpha}}$ și $\frac{\rho_{Im}}{\rho_{I\alpha}}$ se înscriu în ordonata respectiv în abscisă și se determină punctul de coordonate $P\left(\frac{\rho_{LLs}}{\rho_{I\alpha}}; \frac{\rho_{Im}}{\rho_{I\alpha}}\right)$

Prin acest punct trec trei curbe din cele trei familii al căror modul va fi valoarea rapoartelor

$$\frac{\rho_{io}}{\rho_R} = M ; \frac{\rho_R}{\rho_{I\alpha}} = N ; D = L$$

Din relațiile de mai sus rezultă simplu valoarea rezistivității reale

$$\rho_R = \frac{\rho_{io}}{M} \quad \text{sau} \quad \rho_R = N \cdot \rho_{ia} \quad (3.63)$$

și valoarea diametrului de invazie ca fiind egală cu modulul curbei ce trece prin punctul P.

Pentru $\rho_R > \rho_{io}$ se procedează în mod asemănător cu singura deosebire că în ordonata abacei se înscrie valoarea raportului $\frac{\rho_{ia}}{\rho_{io}}$ iar în abscisă valoarea raportului $\frac{\rho_{ia}}{\rho_{io}}$.

Este indicat ca datele de interpretare să se treacă într-un tabel de forma:

pentru $\rho_R < \rho_{io}$

Nr. str.	Adâncimea medie [m]	ρ_{LLS} [Ωm]	ρ_{Im} [Ωm]	ρ_{ia} [Ωm]	$\frac{\rho_{LLS}}{\rho_{ia}}$	$\frac{\rho_{Im}}{\rho_{ia}}$	M	N	ρ_R [Ωm]	D [m]	ρ_{io} [Ωm]

pentru $\rho_R > \rho_{io}$

Nr. str.	Adâncimea medie [m]	ρ_{io} [Ωm]	ρ_{Im} [Ωm]	ρ_{ia} [Ωm]	$\frac{\rho_{ia}}{\rho_{io}}$	$\frac{\rho_{ia}}{\rho_{Im}}$	M	N	ρ_R [Ωm]	D [m]

Exemplu

$$\rho_{ia} = 2 \Omega m$$

$$\rho_{Im} = 2,5 \Omega m$$

$$\rho_{LLS} = 10 \Omega m$$

$$\rho_{io} = 18,5 \Omega m$$

Se calculează rapoartele:

$$\frac{\rho_{LLS}}{\rho_{ia}} = \frac{10}{2} = 5 \Omega m ; \quad \frac{\rho_{Im}}{\rho_{ia}} = \frac{2,5}{2} = 1,25 \Omega m$$

Utilizând abaca nr. , se obțin valorile următoare:

$$\frac{\rho_{io}}{\rho_R} = 9,5$$

$$D = 32'' \approx 0,8 m$$

$$\rho_R = \frac{\rho_{io}}{9,5} = \frac{18,5}{9,5} = 1,9 \Omega m$$

EXERCITII

Să se determine rezistivitatea reală ρ_R și diametrul zonei de invazie pentru strate poroase-permeabile cuprinse în diagrama B.lo.

CAPITOLUL IV

CAROTAJUL RADIOACTIV

Metodele de investigare geofizică a sondelor bazate pe fenomenele de radioactivitate naturală sau provocată a rocilor sînt cunoscute sub denumirea generală de carotaj radioactiv.

4.1. Radioactivitatea naturală a rocilor

Rocile posedă o radioactivitate naturală condiționată de dezintegrarea nucleelor unor elemente radioactive, care intră în constituția rocilor și care aparțin seriilor radioactive ale uraniului (${}_{92}\text{U}^{238}$, ${}_{92}\text{U}^{235}$), thoriului (${}_{90}\text{Th}^{232}$) precum și izotopului radioactiv al potasiului, ${}_{19}\text{K}^{40}$. Aceste radioelemente emit în mod spontan radiații α , β și γ .

Datorită caracteristicilor lor de absorbție și penetrație, (vezi tabelul 4.2.), dintre radiațiile emise, cele ce interesează în investigarea sondelor sînt radiațiile gama.

Rocile sedimentare tipice zăcămintelor de hidrocarburi, funcție de modul lor de formare și de originea materialului fragmentar constituant, se diferențiază net după radioactivitatea naturală.

Tabelul 4.1.

Nivelul radioactivității	Conținut în elemente rad. $\mu\mu\text{g Ra echiv / t rocă}$	R o c i
Foarte mic	≤ 1	anhidrite, cărbuni, sare gemă, gips
Mic	2 - 10	nisipuri, gresii, calcare, dolomite
Mediu	10 - 20	argile continentale (ape de mică adîncime) marne, argile calcaroase și nisipoase
Mare	20 - 80	săruri de potasiu, argile fin dispersate (ape de mare adîncime)
Foarte mare	> 80	bentonite, cenuse vulcanice, sisturi bituminoase și argiloase, nisipuri monazitice, calcare uranifere, nisipuri și gresii glauconitice.

Pentru rocile nisipoase și carbonatice este caracteristică creșterea radioactivității cu creșterea conținutului în argilă. O creștere a radioactivității s-a observat la rocile carbonatate în zonele în

care au avut loc procese de dolomitizare.

Rocile eruptive acide (granite, granodiorite) se caracterizează printr-un grad mare de radioactivitate datorită conținutului lor în potasiu și în elemente din seriile uraniului și thoriului.

Rocile bazice și ultrabazice au un nivel scăzut de radioactivitate.

Unitățile de măsură a radioactivității rocilor sunt redată în tabelul 4.3.

Diferențierea rocilor după radioactivitatea lor naturală stă la baza folosirii acestui parametru la studiul formațiunilor traversate de sonde.

Scurtă caracterizare a radiațiilor emise de radioelementele naturale (după A. Negut)

Tabelul 4.2.

Radiația	Natura	Caracteristici
α	Sînt nuclee de heliu (2He^4) dublu ionizați expulzați de anumite nuclee $^{88}_{\text{Ra}}226 \longrightarrow ^{86}_{\text{Rn}}222 + {}^2_2\text{He}^4(\alpha)$	Au o mare putere de ionizare și o mică putere de penetrație. Nu se pot detecta în sondă. Sînt deviate de un cîmp electric și magnetic.
β	Sînt electroni (e^-) și pozitroni (e^+) care se produc prin următoarele transformări în nucleu ${}_0^{n1} \longrightarrow {}_1^{n1}\text{H}^1 + e^- + \gamma$ ${}_1^{n1}\text{H}^1 \longrightarrow {}_0^{n1}\text{H}^1 + e^+ + \gamma$	Au o putere mai mică de ionizare dar mai mare de pătrundere decît radiațiile α . Sînt deviate de un cîmp electric și magnetic. Nu se pot detecta în sondă.
γ	Sînt radiații de natură electromagnetică (fotoni) care se întîlnesc independent sau la emisia radiațiilor α și β .	Au o mare putere de penetrație. Se reflectă, refractă și interferează. Energia lor este cuprinsă în domeniul 0,0019-9 MeV. Se pot detecta ușor în sondă.

Unitățile de măsură pentru radioactivitatea rocilor

Tabelul 4.3.

Unitatea	Simbolul	Definiție	Submultipli folosiți
Curie	ci	Numărul de dezintegrări pe secundă dat de un gram de radium în echilibru radioactiv cu produsele lui de dezintegrare. ($3,7 \times 10^{10}$ dez/s)	m ci = $3,7 \cdot 10^7$ dez/s μ Ci = $3,7 \cdot 10^4$ dez/s
Gram Radium echivalent/gram rocă	gRa.echiv/g	Cantitatea de radium, exprimată în grame, care produce o radioactivitate egală cu cea dată de toate elementele radioactive dintr-un gram de rocă	μ gRa.echiv/g = 10^{-12} gRa.echiv/g
Roentgen/oră	R/h	Doza de radiație gama pentru care în timp de o oră, într-un centimetru cub de aer la 760mm coloană de mercur și temperatura de 0°C se formează $2,08 \times 10^9$ perechi de ioni a căror sarcină totală este de 1 ues de fiecare semn	μ R/h = 10^{-6} R/h
Unitatea gama API	γ API	1/200 din devierea curbei gama între un mediu cu radioactivitate joasă și un mediu cu radioactivitate mare care conține 0,0013 % uraniu, 0,0024 % thoriu și 4 % potasiu, într-o sondă tubată cu o coloană de 5 1/2 in în diametru	

4.2. Radioactivitatea provocată

Carotajul radioactiv include o serie de metode de investigare care au la bază fenomenele de radioactivitate provocată, urmărindu-se în special interacțiunea radiațiilor gama și a neutronilor cu mediul

a) Interacțiunea radiațiilor gama cu mediul

Radiația electromagnetică emisă de către nucleele atomice aflate în stare excitată se numește radiație gama. Această radiație apare în urma proceselor de tranziție a nucleelor din stările excitate pe starea fundamentală sau pe o stare excitată inferioară. Radiația gama astfel emisă are un spectru discret de energie. Energia radiațiilor

electromagnetice este emisă sub forma unor unități elementare de energie - cuante de energie. Energia unei cuante $E(\text{eV})$ depinde de frecvența ν (Hz) a radiației după legea lui Planck:

$$E = \nu \cdot h \quad (4.1)$$

în care : h este constanta lui Planck, $h = 6,62 \cdot 10^{-34}$ Joule.sekundă

La trecerea unui fascicol de radiații gama prin materie, intensitatea fascicului incident scade după o lege exponențială dată de expresia:

$$I_{\gamma}(x) = I_{\gamma}(0) e^{-\mu x} \quad (4.2)$$

în care:

$I_{\gamma}(x)$ este intensitatea radiației la distanța x , într-un mediu absorbant caracterizat prin coeficientul de atenuare μ .

$I_{\gamma}(0)$ - intensitatea radiației în vecinătatea sursei.

Există trei procese de bază prin care cuantele gama interacționează cu materia: efectul fotoelectric, efectul Compton și formare de perechi.

Efectul fotoelectric este un efect de absorbție ce are loc la energii mici care nu depășesc 1 MeV. Un foton de energie $h \cdot \nu$ scoate un electron de pe unul din învelișurile electronice ale atomului și îi imprimă o viteză v (fig.49).



Fig.49. Ilustrarea efectului fotoelectric

Efectul Compton este atât un fenomen de împrăștiere, cât și unul de absorbție. Prin interacțiunea unei cuante γ cu un electron, o parte din energia cuantei este cedată electronului care este pus în mișcare, iar cuanta γ , cu energia $h \cdot \nu'$ mai redusă (deci frecvența ν' mai mică decât ν) este împrăștiată sub un anumit unghi, schimbându-și direcția (fig.50).

Efectul Compton depinde puțin de elementul absorbant. El apare la energii mai mari decât în cazul efectului fotoelectric, scade

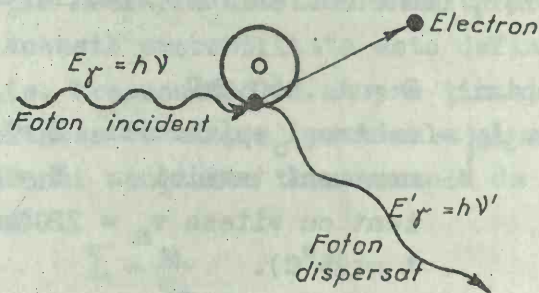


Fig. 50. Ilustrarea efectului Compton

cu energia și prezintă fenomenul predominant în jurul energiei de 1MeV.

Formarea de perechi are loc la pătrunderea unei cuante de energie mare în câmpul de forțe al nucleului. În locul cuantei se formează o pereche electron-pozitron (fig.51).

$$\gamma \rightarrow e^{(+)} + e^{(-)} \quad (4.3)$$

Pozitronul se combină imediat cu un electron formînd un pozitroneum (cu viață foarte scurtă ($\sim 10^{-10}$ s) după care cele 2 particule sînt anihilate reciproc; masa

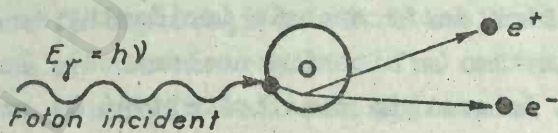
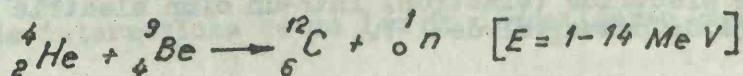


Fig. 51. Ilustrarea formării de perechi

totală a acestui sistem este convertită din nou în energie radiantă, producîndu-se doi fotoni γ îndreptați în sensuri opuse. Această radiație "de anihilare" poate fi sesizată de sistemul de detecție, fie direct, fie prin intermediul unui efect de împrăștiere Compton pe care-l poate provoca.

b) Interacțiunea neutronilor cu mediul

Neutronii sînt emiși de o sursă care reprezintă un amestec pulverulent constituit dintr-un radioelement care emite radiații α și un element țintă beriliu. Are loc o reacție nucleară de tipul:



cu emisia unui neutron de energie mare (neutron rapid).

După energia lor, neutronii au fost clasificați, în mod convențional astfel:

- neutroni rapizi $E = 1...50 \text{ MeV}$
- neutroni lenți
 - neutroni epitermici $E = 0,05 \text{ eV} - 10 \text{ eV}$
 - neutroni termici $E = 0,025 \text{ eV}$ (echivalent cu viteza $v_n = 2200 \text{ m/s}$ la temperatura $t = 25^\circ\text{C}$).

Neutronii emiși de sursele utilizate în geofizica de sondă [Po - Be, $T_{1/2} = 138$ zile; Am - Be, $T_{1/2} = 450$ ani] sînt neutroni rapizi, care pătrund în mediul înconjurător format din noroiul de foraj, turta de noroi și rocă unde se desfășoară o serie de fenomene de interacțiune după cum urmează:

- fenomenul de împrăștiere, prin ciocniri elastice și neelastice ale neutronilor rapizi cu nucleele atomilor elementelor din mediul de propagare, în urma cărora are loc încetinirea pînă la stadiul de neutroni termici sau epitermici în asociere cu emisiunea unor radiații gama de împrăștiere;

Dacă neutronul intrat în nucleul țintă iese afară cu o energie mai mică decît energia incidentă, se spune că a avut loc un proces inelastic (o ciocnire neelastică). În acest proces are loc un transfer atît de energie cinetică cît și de energie internă. Energia internă transferată de neutron nucleului (nucleul țintă fiind trecut într-o stare excitată) este eliberată sub formă de radiații gama.

Dacă neutronul incident păstrează energia sa inițială în sistemul centrului de masă, iar nucleul țintă rămîne în starea sa inițială, procesul se numește elastic (ciocnire elastică). În acest proces are loc numai un transfer de energie cinetică nucleului ciocnit.

- fenomenul de difuzie, în urma căruia, neutronii termici și epitermici difuzează, sub forma unui "gaz molecular" printre nucleele atomilor elementelor din mediu, din regiunile cu densități mai mari spre cele cu densități mai mici, în asociere cu emiterea unor radiații gama de difuzie;

- fenomenul de captură sau absorbție, prin care neutronii termici sau epitermici sînt capturați sau absorbiți de nucleele atomilor elementelor din mediu, în asociere cu emiterea unor radiații gama de

[eV] - unitatea de energie pentru particulele subatomice și reprezintă lucrul mecanic necesar pentru a transporta o unitate de sarcină electrică (electron) într-un câmp electric avînd o diferență de potențial de 1 V.

captură sau absorbție.

În orice reacție nucleară există o anumită probabilitate ca reacția să aibă loc. Această probabilitate este definită ca secțiunea transversală de reacție. Presupunând că asupra țintei cad pe unitatea de suprafață și în unitatea de timp n_0 particule și că au loc n procese de interacțiune, atunci secțiunea transversală de reacție este dată de relația

$$\Sigma = \frac{n}{n_0} \quad (4.4)$$

Unitatea de măsură este barnul (bn): $1 \text{ bn} = 10^{-28} \text{ m}^2$. Secțiunea transversală de reacție depinde atât de tipul și de energia particulei incidente cât și de nucleul țintă.

La bombardarea unui mediu cu neutroni, secțiunea transversală totală Σ_t a unui nucleu poate fi scrisă sub următoarea formă:

$$\Sigma_t = \Sigma_{el} + \Sigma_{neel} + \Sigma_{capt} \quad (4.5)$$

unde: Σ_{el} - secțiunea transversală a împrăstierii elastice;
 Σ_{neel} - secțiunea transversală a împrăstierii neelastice;
 Σ_{capt} - secțiunea transversală de captură.

În principiu, neutronii pot fi capturați de către nucleu la orice energie dar probabilitatea ca un neutron rapid să fie captat este mult mai mică decât pentru un neutron termic sau epitermic. Neutronul termic sau epitermic stă un timp mai mare în domeniul de acțiune al nucleului țintă.

Rezultă că în procesele de interacțiune ce au loc, un rol important îl are încetinirea neutronilor de la energii mari corespunzătoare neutronilor rapizi emiși de sursă la energii termice sau epitermice.

În procesele de interacțiune ce au loc, pierderea de energie a neutronului este cu atât mai mare, cu cât masa particulei țintă este mai apropiată de masa particulei incidente. Deci neutronii pierd cea mai mare parte din energia lor în ciocnirile cu nucleii elementelor cu număr de masă mic. Dintre acestea, hidrogenul este elementul care încetinește cel mai mult neutronii. La un proces de interacțiune cu hidrogenul, neutronul pierde jumătate din energia sa. Rezultă de aici faptul că formațiunile care au conținut mare de hidrogen determină o încetinire rapidă a neutronilor, aceștia atingând energii termice (0,025 eV) într-un timp scurt.

Procesele de interacțiune ce au loc în investigarea sondelor

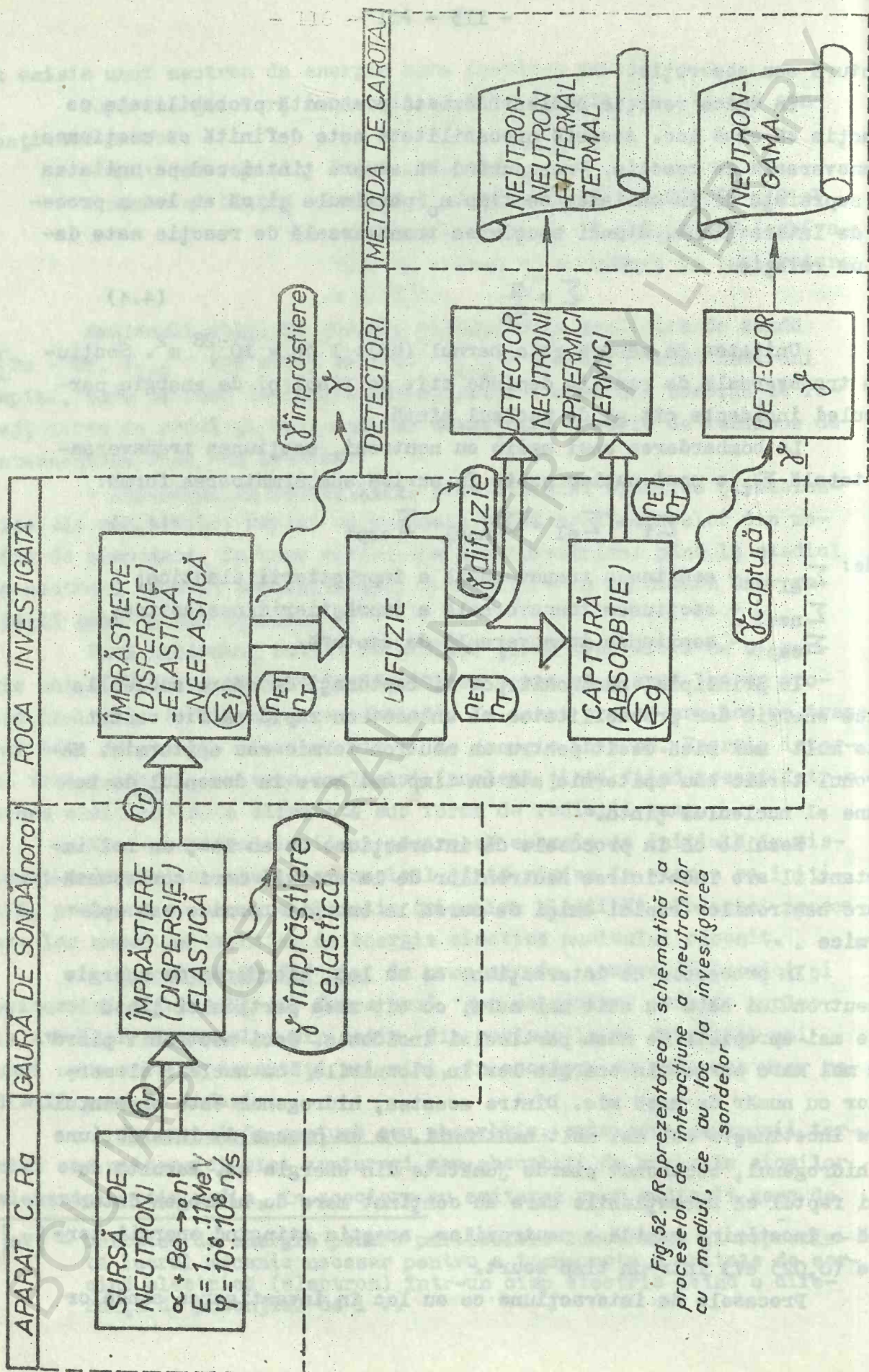


Fig. 52. Reprezentarea schematică a proceselor de interacțiune a neutronilor cu mediul, ce au loc la investigarea sondelor

sînt redat schematic în figura 52.

4.3. Metode radiometrice de cercetare a sondelor

În practica cercetărilor geofizice a formațiunilor traversate de sonde, metodele radioactive, bazate pe studiul rocilor după radioactivitatea naturală și provocată, au căpătat o dezvoltare din ce în ce mai mare. Aceasta se datorește faptului că permite obținerea unor parametri petrofizici care caracterizează proprietățile colectoarelor de hidrocarburi, atât din punct de vedere calitativ, dar mai ales cantitativ. Cunoscut sub denumirea de carotaj, aceste metode sînt:

- carotajul radiației gama naturale,
- carotajul gama-gama (de densitate),
- carotajul izotopilor gama - radioactivi,
- carotajul neutronic aplicat în variantele de bază:
 - carotajul neutron-gama,
 - carotajul neutron-neutron.

1. Carotajul radioactivității gama naturale

Carotajul radioactivității gama naturale constă în măsurarea radioactivității gama a formațiunilor traversate de sondă. Pentru măsurarea variației intensității radiației gama naturale cu adîncimea, se introduce în sondă, cu ajutorul unui cablu geofizic, aparatul pentru carotaj radioactiv (fig.53) în care se află plasat un detector de radiații gama: contor Geiger-Müller sau contor cu scintilație.

Prin carcasa de presiune a aparatului, realizată dintr-un tub de oțel etanș la ambele capete, radiațiile gama ajung la detector și provoacă apariția unor impulsuri electrice. Amplitudinea și puterea acestor impulsuri nu este suficientă pentru a putea fi transmise prin cablu la suprafață și de aceea,

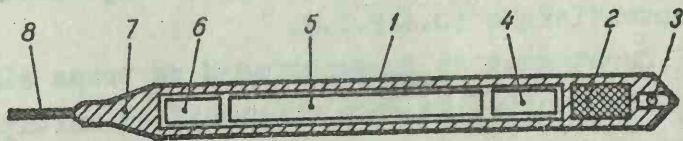


Fig.53. Aparat de sondă pentru carotajul radioactiv: 1-carcasă de presiune; 2-ecran; 3-sursă de neutroni; 4-contor de neutroni; 5-sectiune electronică; 6-contor pentru radiații gama naturale; 7-priză electrică; 8-cablu geofizic.

aparaturii necesită un amplificator electronic de impulsuri.

Ajunse la suprafață prin cablu, impulsurile sînt amplificate, egalizate în durată și amplitudine și însumate de un panou special, astfel încît să rezulte un curent electric proporțional cu numărul impulsurilor.

Cu ajutorul galvanometrilor din camera fotoînregistratoare se efectuează înregistrarea în funcție de adîncimea la care se află aparatul, a intensității radiației gama naturale - obținîndu-se diagramele gama - care reprezintă variația cu adîncimea a intensității radiației γ naturale a rocilor.

În afară de conținutul formațiunilor în substanțe radioactive, diagramele înregistrate depinde și de alți factori: diametrul real al găurii de sondă, densitatea fluidului de foraj, caracteristicile detectorului utilizat (lungime, eficacitate), densitatea formațiunilor investigate, grosimea stratului și caracteristicile de tubaj și cimentare în cazul sondelor tubate. Datorită acțiunii simultane a acestor factori, valorile înregistrate pe curba gama sînt diferite de nivelul real al radioactivității naturale. În vederea realizării unor diagramele gama cît mai precise, posibile de interpretat calitativ, se aplică diverse procedee de calibrare și de etalonare a aparaturii.

Un procedeu simplu constă în folosirea unei surse de radiații gama etalon, caz în care se utilizează unități de măsură radiometrice: micrograme echivalente Ra/tonă de rocă, microröntgeni/oră.

Etalonarea aparaturii cu ajutorul unor machete de strate cu radioactivitate corespunzătoare unei argile și unei roci cu conținut redus în substanțe radioactive (calcar), permite apropierea de situația reală a găurii de sondă și, în acest caz, unitățile de măsură sînt unități convenționale (u.A.P.I.).

Curba gama se înregistrează pe trasa simplă din stînga a diagramei, radioactivitatea este exprimată în unități A.P.I., iar radioactivitatea crește de la stînga la dreapta.

Aplicațiile carotajului radioactivității gama naturale

Intrucît carotajul gama nu este influențat de natura fluidului din sondă, se poate utiliza la investigarea formațiunilor traversate cu noroi mineralizat, precum și a sondelor săpate cu noroi de foraj pe bază de fluide negre, de asemenea se poate utiliza la investigarea sondelor tubate.

Aplicațiile curbei gama constau în:

- diferențierea litologică a rocilor,
- corelări ale profilelor sondelor pe scară locală sau regională,
- determinarea grosimii și limitelor stratelor poroase permeabile,
- determinarea conținutului în argilă a rocilor colectoare,
- localizarea zăcămintelor de minereuri radioactive, a zăcămintelor de săruri de potasiu, a stratelor de cărbuni.

LUCRAREA NR. 11

DETERMINAREA GROSIMII SI A LIMITELOR STRATELOR
POROASE PERMEABILE DUPA CURBA GAMA NATURALA

a) Succesiuni grezos-nisipoase, eventual calcare poroase-permeabile cu marne și argile impermeabile

Limitele stratului și grosimea se determină prin același procedeu ca la P.S. (fig.54) "metoda jumătății amplitudinii":

- se determină amplitudinea ΔI_{γ} , a anomaliei gama egale cu distanța (în u.A.P.I.) între $I_{\gamma \min}$ - valoare caracteristică nisipurilor și gresiilor și $I_{\gamma \max}$ - valoare caracteristică a marnelor

$$\Delta I_{\gamma} = I_{\gamma \max} - I_{\gamma \min} \quad (4.6)$$

- se determină punctele de inflexiune ale curbei gama, prin intersecția dreptei verticale trasate la distanța $\frac{\Delta I_{\gamma}}{2}$ în raport cu linia marnelor și nisipurilor;

- H_{sup} - limita superioară - este dată de adâncimea corespunzătoare punctului de inflexiune superior, P_{Si} ;

- H_{inf} - limita inferioară - este dată de adâncimea corespunzătoare punctului de inflexiune inferior, P_{ii} .

- Grosimea stratului :

$$h = H_{inf} - H_{sup} \quad (4.7)$$

Observație: La strate de grosime mică este necesară să se introducă o corecție pentru produsul vZ (v = viteza de înregistrare, Z = constanta de timp a circuitului de măsură (A.Neguț - Geofizică de sondă

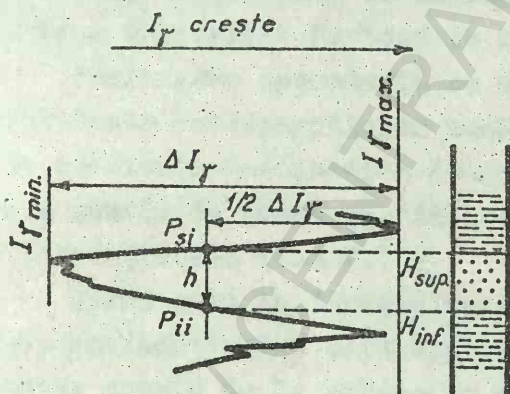


Fig.54 Determinarea grosimii și limitelor stratelor poroase-permeabile după curba gama

dă - Caiet de lucrări practice, Universitatea București, 1985).

b) În cazul succesiunilor carbonatate nu pot fi separate intervalele poroase-permeabile de cele compacte, deci nu pot fi determinate limitele acestora.

LUCRAREA NR. 12

DETERMINAREA CONȚINUTULUI ÎN ARGILĂ, V_{arg} , DIN DIAGRAFIA GAMA NATURALĂ

Importanța cunoașterii conținutului în argilă al rocilor colectoare este evidentă, deoarece răspunsul multor carotaje este influențat de argila existentă în roci. O evaluare corespunzătoare a formațiunilor colectoare, din punct de vedere al potențialului de înmagazinare și cedare a fluidelor, nu poate fi făcută dacă nu se cunoaște cantitatea de argilă conținută.

Există mai multe metode de evaluare a conținutului în argilă:

- metode singulare - utilizând diagrapia unei singure metode de carotaj;
- metode combinate - utilizând diagrapia a două metode de carotaj.

În continuare este redată cea mai uzuală metodă de determinare a conținutului de argilă din diagrapia gama naturală.

Determinarea conținutului în argilă după datele carotajului gama naturală

Pentru formațiunile grezos-nisipoase și carbonatate este caracteristică creșterea radioactivității naturale cu creșterea conținutului în argilă.

Dependența mărimii relative a radioactivității naturale de conținutul în argilă este de forma:

$$(V_{arg})_g = \frac{I_g - I_{g\min}}{I_{g\max} - I_{g\min}} \quad (4.8)$$

unde:

V_{arg} este cantitatea de argilă (%) dintr-un volum unitar de rocă;

I_g - valoarea intensității radiației gama în dreptul stratului; analizat

$I_{g\max}$ - valoarea maximă a intensității radiației gama în profil reprezentînd radioactivitatea naturală a mineralelor argiloase;

$I_{g\min}$ - valoarea minimă a intensității radiației gama în dreptul

unor formațiuni "curate", fără conținut de argilă (vezi fig.55).

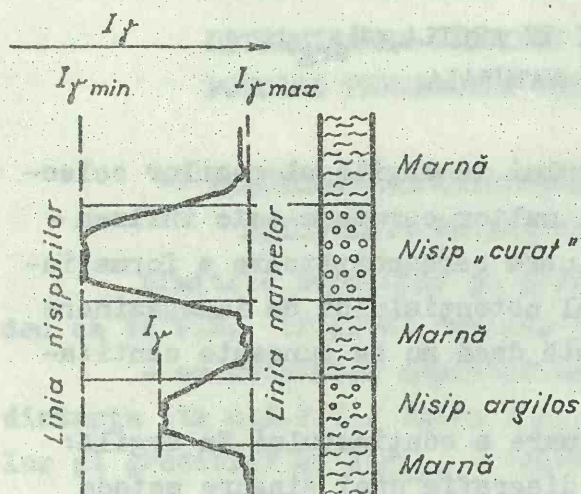


Fig. 55. Determinarea conținutului în argilă a formațiunilor din diagrama gama naturală.

Modul de lucru

- Se separă pe curba gama, un strat de argilă în dreptul căruia se citește $I_{\gamma_{max}}$;

- Se separă un strat poros-permeabil curat (nisip, gresie, calcar, dolomit) și se citește $I_{\gamma_{min}}$;

- Se citește pe curba gama, în dreptul stratului de analizat, valoarea I_{γ} ;

- Se calculează cantitatea de argilă V_{arg} cu relația (4.8).

Această cantitate este corectată în funcție de vîrsta geolo-

gică a formațiunilor cu ajutorul abacei nr.31, astfel:

- Se introduce în ordonată valoarea lui V_{arg} și se merge orizontal pînă intersectează curba ce definește vîrsta formațiunii. Din punctul de intersecție se coboară o verticală și în abscisă se determină în procente $(V_{arg})_{cor}$ (volumul de argilă corectat).

Observație : Este indicat ca atât stratul de argilă, cît și stratul poros permeabil "curat" să fie cît mai aproape de stratul analizat și să aparțină aceleiași formațiuni geologice.

Exemplu: De pe curba gama se citesc următoarele valori:

$$I_{\gamma_{min}} = 30 \text{ u.A.P.I.}$$

$$I_{\gamma_{max}} = 90 \text{ u.A.P.I.}$$

$$I_{\gamma} = 45 \text{ u.A.P.I.}$$

Volumul de argilă se determină conform relației (4.8)

$$V_{arg} = \frac{45 - 30}{90 - 30} = 0,25 \text{ sau } V_{arg} = 25 \%$$

$$(V_{arg})_{cor} = 8 \% \text{ (abaca 31)}$$

2. Carotajul neutronic

Carotajul neutronic include o serie de metode de investigare a sondelor, în care rocile sînt bombardate cu neutroni și se urmăresc rezultatele interacțiunii neutronilor cu mediul traversat.

De la interacțiunea neutronilor cu mediul s-au reținut însușirile deosebite ale nucleilor de hidrogen în procesul de termalizare al neutronilor rapizi. Dacă tot conținutul în hidrogen al formațiunii se află sub formă de lichide și dacă aceste lichide ocupă complet volumul total al porilor, conținutul în hidrogen este un indice al porozității.

Rezultă că, intensitatea radiației gama de captură ($I_{n\gamma}$), densitatea neutronilor epitermici (N_{eT}) sau termici (N_T) rezultați în procesul de interacțiune depinde de conținutul în hidrogen al rocilor investigate și este un indice al porozității formațiunilor.

Inregistrarea unui parametru rezultat în procesul de interacțiune a neutronilor cu mediul ($I_{n\gamma}$, N_{eT} , N_T) în funcție de adîncime, în principiu se realizează prin introducerea în sondă a unui dispozitiv de investigare care conține o sursă de neutroni și un detector. De la detector semnalul este amplificat în blocul electronic și transmis la suprafață prin cablu geofizic. Aici este prelucrat și redat sub forma unei curbe în funcție de adîncime (fig. 53).

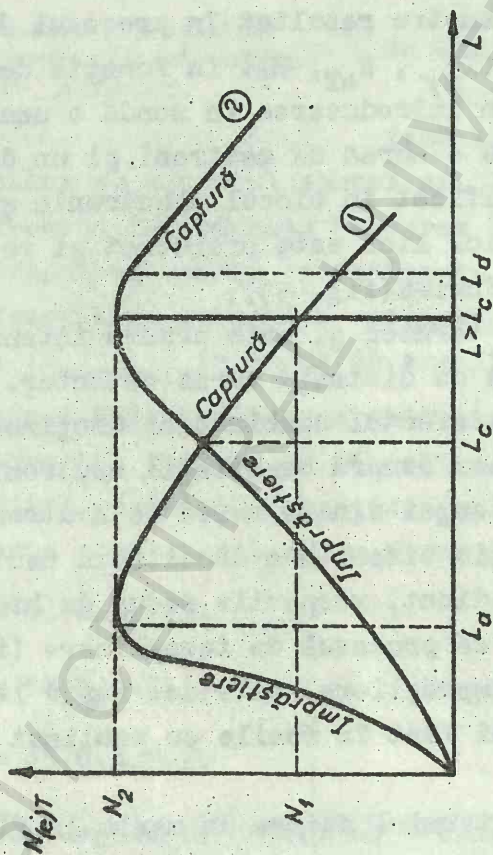
Densitatea neutronilor termici și prin urmare intensitatea radiației gama de captură depinde de distanța sursă detector.

În figura 56 este redat efectul combinat al conținutului în hidrogen și distanța sursă detector asupra densității neutronilor termici.

Studiind influența distanței dintre sursa de neutroni și detector, se pune în evidență variația diferită a densității neutronilor termici pentru roci cu conținut ridicat, respectiv redus de hidrogen. Aceasta, se explică prin faptul că procesul de termalizare (încetinirea neutronilor prin fenomenul de împrăștiere) este mai rapid la rocile cu conținut mare în hidrogen și mai lent în rocile cu conținut mic de hidrogen.

Densitatea neutronilor termici atinge un maxim la finele procesului de împrăștiere și descrește odată cu începerea procesului de captură.

La distanțe mici între sursă și detector (L_a) densitatea neutronilor termici, respectiv intensitatea radiației gama de captură este mai mare pentru rocile cu conținut bogat de hidrogen deci pentru rocile cu porozitate mare și mai mică pentru rocile cu conținut sărac în hidrogen deci pentru roci cu porozitate mică.



neutron - gamma $L=60$ cm
neutron - neutron $L=40$ cm

- 1 mediu "bogat" în H $m \rightarrow$ mare
- 2 mediu "sărac" în H $m \rightarrow$ mică
- L_c = lungimea critică

Fig. 56

La distanțe mari între sursă și detector (L_d) situația se prezintă invers, adică valori reduse pentru rocile cu conținut bogat în hidrogen și valori mari în rocile cu conținut mic în hidrogen ale densității neutronilor termici.

Există o anumită distanță între sursă și detector pentru care nu se poate face o diferențiere a rocilor după conținutul lor în hidrogen. Această distanță se numește lungime critică (L_c).

Lungimea critică depinde nu numai de distanța sursă-detector, dar și de proprietățile de interacțiune a neutronilor cu elementele din mediu, precum și de diametrul sondei. De aceea se consideră un domeniu al lungimilor critice cuprins între 20-30 cm. În practică, se utilizează dispozitive cu lungime mai mare decât distanța critică.

Prin lungimea dispozitivului de investigare se înțelege distanța sursă-detector.

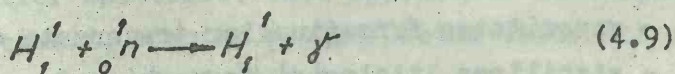
În funcție de parametrul înregistrat, intensitatea radiației gama de captură, densitatea neutronilor, se deosebesc următoarele variante ale carotajului neutronic:

- carotajul neutron-gama
- carotajul neutron-neutron.

a) Carotajul neutron-gama

Principiul carotajului neutron-gama constă în bombardarea formațiunilor traversate de sondă cu neutroni și înregistrarea intensității radiației gama de captură. Probabilitatea de captură este condiționată de secțiunea efectivă transversală de captură pentru neutronii termici a atomilor elementelor conținute în mediu. Prin captura neutronilor rezultă un element intermediar în stare excitată, surplusul de energie al acestui atom fiind eliberat sub formă de radiații gama.

O reacție tipică de captură (n, γ) a neutronilor termici este reacția cu hidrogenul:



cînd se produce o cantitate gama cu energie caracteristică de 2,23 MeV.

O importantă captură a neutronilor se observă în rocile care conțin clorură de sodiu (strate acvifere puternic mineralizate) și în special la traversarea masivelor de sare pe structurile diapire.

Aceasta se explică prin secțiunea mare de captură a atomului de clor pentru neutronii termici (33 bn) la care se adaugă secțiunea de captură a sodiului (0,5 bn).

Măsurarea intensității radiației gama de captură în funcție de adâncime se realizează cu ajutorul unui dispozitiv de investigare care conține o sursă de neutroni și un detector de radiații gama (fig.53). Pentru ca radiația gama provenită din procesul de dezintegrare a elementului radioactiv care compune sursa să nu fie înregistrată direct de detector, acestea sînt izolate printr-un ecran de plumb.

Semnalul datorat radiației gama de captură ajuns la detector este amplificat de blocul electronic și transmis la suprafață unde este prelucrat și cu ajutorul unui bloc de înregistrare este redat sub forma unei curbe.

Această curbă se înregistrează pe trasa din dreapta a diagramei, intensitatea radiației gama de captură fiind exprimată în imp/min. Pe trasa din stînga a diagramei se înregistrează de regulă curba gama naturală (Anexa B₁₁).

Punctul la care se raportează valoarea măsurată este plasat la jumătatea distanței sursă-detector. Prin lungimea dispozitivului se înțelege distanța sursă-detector și este egală cu 60 cm.

Raza de investigație a carotajului $n-\gamma$ depinde de caracteristicile sursei de neutroni, de porozitatea rocii, de conținutul în hidrogen și de secțiunea de captură pentru neutronii termici ai elementelor din mediu. Ea variază de la cîțiva centimetri pînă la cîțiva zeci de centimetri.

Măsurătorile $n-\gamma$ sînt influențate de radiația gama naturală. Pentru reducerea influenței acesteia se utilizează surse de neutroni de putere mare, astfel ca intensitatea radiației gama de captură să depășească de 20-30 ori radiația gama naturală.

Aplicații

Cu ajutorul carotajului neutron-gama se pot rezolva probleme referitoare la:

- porozitatea formațiunilor traversate de sondă
- stabilirea litologiei în combinație cu alte metode
- plasarea limitelor gaze-petrol sau gaze-apă
- în condiții favorabile (la mineralizații mari ale apelor de zăcămint) metoda oferă posibilitatea stabilirii limitei petrol-apă.

Se utilizează în cercetarea sondelor săpate pentru punerea în evidență a substanțelor minerale solide Mn, Al, Li, B precum și a straturilor de cărbuni.

b) Carotajul neutron-neutron

În procesele de interacțiune a neutronilor cu mediul, neutronii pierd din energia lor ajungând la energii epitermice și termice. În carotajul neutron-neutron formațiunile traversate de sondă sînt iradiate cu neutroni rapizi și se înregistrează densitatea neutronilor cu un anumit nivel de energie, care ajung la detector. În funcție de energia neutronilor se disting două variante ale carotajului neutron-neutron și anume:

1. - carotajul neutron-neutron cu neutroni termici
2. - carotajul neutron-neutron cu neutroni epitermici.

În prima variantă se înregistrează densitatea neutronilor ajunși la energie termică iar în varianta a doua se înregistrează densitatea neutronilor ajunși la energia epitermică.

Densitatea neutronilor termici, în afară de conținutul în hidrogen al formațiunilor, este influențată de prezența elementelor cu secțiune mare de captură pentru neutronii termici. De exemplu, în apele de zăcămint, prezența clorului care este un absorbant puternic de neutroni termici, are ca urmare reducerea densității neutronilor termici.

Față de carotajul neutron-gama și neutron-neutron cu neutroni termici, elementele cu secțiune mare de captură au o influență foarte mică în valoarea măsurată a densității neutronilor epitermici. Practic, răspunsul metodei nu este influențat de existența clorului în mediu, datorită faptului că secțiunea de captură a clorului pentru neutronii cu energie supratermică diferă puțin de secțiunea de captură a altor elemente. De aceea această metodă se aplică în prezent, practic, în exclusivitate.

Densitatea neutronilor epitermici este dependentă de conținutul în hidrogen al formațiunii, oferind posibilitatea determinării porozității rocilor cu un grad bun de încredere.

✕

✕

✕

Măsurarea densității neutronilor termici sau epitermici în funcție de adîncime se realizează prin introducerea în sondă a unui dispozitiv de investigare care conține o sursă de neutroni rapizi, detectorul de neutroni și un bloc electronic (fig.53).

Pentru detectarea neutronilor se folosesc contori cu scintilație și contori proporționali. Construcția detectorilor pentru neutronii epitermici este realizată în așa fel încât aceștia nu sînt sensibili la neutronii termici și radiații gama.

Pentru a elimina influența directă a neutronilor și radiației gama produsă de sursă asupra detectorului se plasează un ecran de plumb și parafină cu conținut de bor.

Semnalul de la detector este amplificat de blocul electronic și transmis la suprafață unde este prelucrat și înregistrat sub forma unei curbe continue în funcție de adîncime. Lungimea dispozitivelor utilizate sînt mai mari decît lungimea critică.

Valoarea măsurată în carotajul neutronic se raportează la jumătatea distanței sursă-detector. Distanța sursă-detector fiind egală cu lungimea dispozitivului.

Ca și în cazul celorlalte două metode, raza de investigație variază în funcție de proprietățile de încetinire ale mediului, de proprietățile sursei și de diametrul sondei ajungînd la cîțiva zeci de centimetri.

Pentru determinarea dependenței răspunsului dispozitivului neutronic față de porozitatea mediului investigat, aparatura este calibrată într-un stand realizat din blocuri de calcar cu porozitate cunoscută și diferite diametre de găuri de sondă.

Curba de variație a densității neutronice cu adîncimea este înscrisă pe trasa din dreapta a diagramei. De regulă concomitent cu această curbă se înregistrează și curba gama naturală care se înregistrează pe trasa din stînga a diagramei. Valoarea densității neutronice este exprimată în u.A.P.I. Astfel, un profil radioactiv este redat în anexa B₁₂.

Valorile de porozitate din diagramele neutronice cu ajutorul unor dispozitive simple, sînt puternic afectate de caracteristicile mediului apropiat, respectiv noroiului de foraj, turta de colmataj ca și de variațiile diametrului sondei.

Pentru eliminarea acestor efecte s-au introdus în practica geofizicii de sondă dispozitive "compensate", respectiv:

- dispozitivul cu patină (de tip "Sidewall - neutron porosity - SNP) în care sursa de neutroni și detectorul de neutroni epitermici sînt montați pe o patină aplicată pe peretele sondei, asigurînd micșorarea sensibilă a efectului găurii de sondă;

- dispozitivul "dual compensat" (de tip "Compensated neutron log" - CNL), care are o sursă de neutroni de eficiență sporită

gi un sistem de detecție cu două detectoare de neutroni termici plasa-
te la distanțe diferite de sursă. Prin măsurarea raportului densități-
lor neutronilor termici determinate de cele două detectoare, se obține
reducerea considerabilă a efectului parametrilor sondei.

În ambele cazuri, diagrapia este elaborată direct în valori
de porozitate pentru calcare, anexa B₁₃

Aplicații

Carotajul neutron-neutron permite punerea în evidență a ur-
mătoarelor date:

- determinarea porozității rocilor,
- plasarea limitei gaze-lichide,
- identificarea litologică în combinație cu alte carotaje.

LUCRAREA NR. 13

DETERMINAREA POROZITATII DIN CAROTAJUL NEUTRONIC

S-a arătat că răspunsul carotajului neutronic depinde de numărul atomilor de hidrogen din formațiune. Atomi de hidrogen sînt conținuți atît de fluidele (petrol și/sau apă) existente în spațiul poros cît și de apa de cristalizare sau adsorbită de particulele argiloase. Avînd în vedere cele de mai sus, pentru determinarea porozității se va lua în considerare cazul formațiunilor "curate" (neargiloase) și formațiuni argiloase.

Formațiuni "curate"

Intr-un domeniu de porozități cuprinse între circa 5-30 % intensitatea radiațiilor gama de captură, $I_{n\gamma}$ și respectiv densitatea neutronilor termici (sau epitermici), $N_{T(eT)}$ sînt funcții liniare de logaritmul porozității

$$\left. \begin{array}{l} I_{n\gamma} \\ N_{T(eT)} \end{array} \right\} = -A \log m + B \quad (4.10)$$

unde A și B reprezintă două constante care depind de tipul și dimensiunile detectoarelor, de geometria dispozitivului de investigare și a sondei, de caracteristicile noroiului de foraj, de caracterul saturației formațiunii etc.

Determinarea răspunsului carotajului neutronic în sonde etalon conținînd blocuri de calcar cu diferite porozități și cu diferite diametre ale sondei, permite obținerea unor grafice de dependență de tipul:

$$\left. \begin{array}{l} I_{n\gamma} = f(m) \\ N_{eT} = f(m) \end{array} \right\} \quad (4.11)$$

Aceste grafice, folosite ca abace de interpretare asigură determinarea porozității, în funcție de valorile intensității radiației gama de captură $I_{n\gamma}$ - exprimate în unități "convenționale" - din diagrapia neutron-gama, abaca nr.32 sau de valorile densității neutronilor epitermici - exprimate în unități neutronice A.P.I. din diagrapia neutron-neutron, abaca nr.33, cu ajutorul cărora se obține valoarea porozității.

Valoarea porozității, astfel obținută, reprezintă porozitatea aparentă pentru calcare.

În cazul unor litologii diferite - formațiuni grezoase/nisipoase, respectiv dolomitice - se efectuează o corecție cu litologia, cu ajutorul abacei nr.34 (pentru aparatura de carotaj neutron-neutron epitermal).

Exemplu (colector grezos)

$N_{eT} = 1100$ u.A.P.I. (valoare citită pe diagramă în dreptul stratului analizat)

$d = 7 \frac{1}{8}$ in (diametrul sondei determinat din cavernogramă)

$m_N = 14 \%$ (abaca nr.33)

$(m_N)_{cor} = 19,2 \%$ (porozitatea corectată cu litologia, abaca nr. 34).

Valorile de porozitate determinate astfel, cu ajutorul unor dispozitive simple (sursă-detector) sînt puternic afectate de caracteristicile mediului apropiat, respectiv noroiul de foraj și mai ales turta de noroi, ca și de variațiile diametrului sondei.

Pentru eliminarea acestor efecte s-a introdus în practica geofizicii de sondă dispozitive "compensate", cu ajutorul cărora se obține reducerea considerabilă a efectului parametrilor găurii de sondă.

Diagrafia obținută este etalonată direct în unități de porozitate pentru calcare. În acest caz se efectuează numai corecția cu litologia.

2. Formațiuni argiloase

În cazul formațiunilor cu conținut de argilă, porozitatea aparentă determinată de carotajul neutronic este afectată de prezența apei din compoziția mineralului argilos, astfel că valorile obținute sînt mai mari decît cele reale.

De aceea, porozitatea corectată față de efectul argilei, respectiv porozitatea efectivă din carotajul neutronic este:

$$(m_{ef})_N = m_N - V_{arg} m_{Narg} \quad (4.12)$$

unde: V_{arg} este volumul unitar de argilă din colector
 m_{Narg} - indicele de porozitate neutronică al argilei, respectiv

porozitatea determinată în dreptul unei formațiuni argiloase -
 $V_{arg} = 1,0$ (sau 100 %).

Prezența hidrocarburilor reziduale ușoare în subzona spălată are ca efect reducerea numărului de atomi de hidrogen pe unitatea de volum de rocă, în special în cazul hidrocarburilor gazoase. De aceea este necesară efectuarea unei corecții a porozității pentru efectul hidrocarburilor reziduale [9].

Pentru a obține porozitatea corectată cu volumul de argilă se utilizează abaca nr.35. Modul de lucru cu această abacă este indicat prin săgeți și sînt necesare următoarele date:

- m_N - porozitatea determinată din carotajul neutronic
- V_{arg} - volumul de argilă
- m_{arg} - porozitatea argilei.

Exemplu, pentru un colector grezos

$$m_N = 25 \%$$

$$V_{arg} = 30 \%$$

$$m_{arg} = 20 \%$$

Utilizînd abaca nr.35 se obține porozitatea corectată ($m_{N,cor}$) =
= 23 %.

EXERCITII

Să se determine porozitatea corectată pentru colectoarele din diagrafia cuprinsă în anexa B_{12,13} cunoscînd că $m_{arg} = 30 \%$.

Volumul de argilă se determină de pe curba gama din aceeași diagramă.

3. Carotajul de densitate gama - gama

Principal, carotajul gama-gama constă în iradierea formațiunilor traversate de sondă cu un flux de radiații gama, înregistrîndu-se radiația gama rezultată ca efect al interacțiunii cu mediul, numită și radiația gama dispersată.

La energiile radiației gama emise de sursele utilizate în geofizică, ($E_\gamma = 0,66 \div 1,33$ MeV) interacțiunea se datorează în principal efectului Compton. Radiația gama rezultată este funcție de numărul atomic Z al substanței traversate deci de numărul de electroni. Dar, numărul de electroni ai unei substanțe este proporțional

cu densitatea, conform relației :

$$n_e = \frac{Z}{A} N \cdot \rho \quad (4.13)$$

unde:

Z - numărul atomic

A - greutatea atomică

N - numărul lui Avogadro

ρ - densitatea mediului.

Pentru rocile formate din elemente ușoare, raportul $\frac{Z}{A} \approx \frac{1}{2}$ este practic constant.

Cu cât densitatea mediului este mai mare, numărul de electroni pe unitatea de volum este mai mare și ca urmare numărul de interacțiuni va fi mai mare, cu cât substanța va fi mai densă. Rezultă că intensitatea radiațiilor gama retroîmprăștiate sosite la detector va fi cu atât mai mare cu cât substanța este mai puțin densă, și invers. Intensitatea radiației gama măsurate este deci o măsură a densității mediului.

Dependența densitate, intensitatea radiației gama măsurate poate fi pusă în evidență ținând seama de relația (4.2).

Coeficientul de absorbție masic μ_m este egal cu:

$$\mu_m = \frac{\mu}{\rho} \quad (4.14)$$

rezultă că $\mu = \mu_m \cdot \rho$

Substituind pe μ în relația (4.2) se obține:

$$\left. \begin{aligned} I_{\gamma, x} &= I_{\gamma, 0} e^{-\mu_m \rho x} \\ \text{sau} \quad \ln I_{\gamma, x} &= \ln I_{\gamma, 0} - \mu_m \rho x \end{aligned} \right\} \quad (4.15)$$

$$\rho = \frac{\ln I_{\gamma, 0} - \ln I_{\gamma, x}}{\mu_m x} \quad (4.16)$$

Intensitatea radiației gama în vecinătatea sursei $I_{\gamma, 0}$ și x (care în această relație reprezintă distanța sursă-detector) sînt cunoscute și constante.

Experimental s-a constatat că pentru rocile traversate de sonde coeficientul de absorbție masic μ_m poate fi considerat practic

constant. Rezultă că intensitatea radiației gama măsurate I_γ este funcție de densitatea formațiunilor.

Pentru efectuarea carotajului de densitate gama-gama în sondă se introduce un dispozitiv de investigare de o construcție specială, (fig.57), în care detectorul și sursa de radiații sînt separate de un ecran de plumb, pentru ca la detector să nu ajungă radiațiile gama directe.

Ca surse de radiații gama se folosesc cobalt 60 sau cesiu 137. Fascicolul de radiații gama emise de sursă sînt dirijate către formațiune printr-un canal colimator. De asemenea radiațiile gama dispersate ajung la detectori tot prin canale colimatoare.

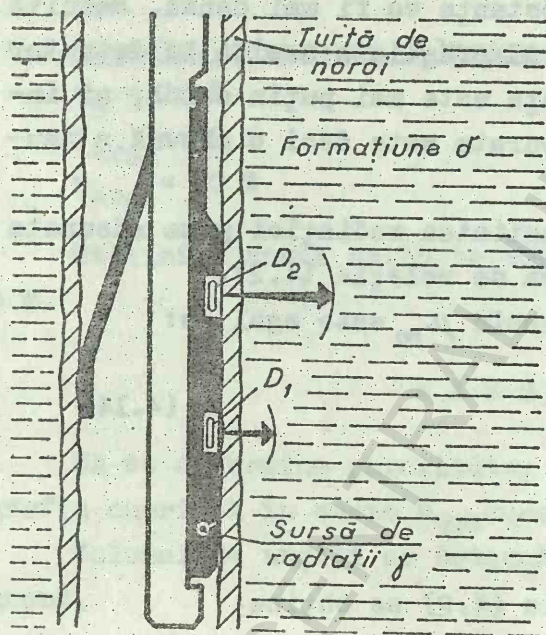


Fig. 57. Reprezentarea schematică a dispozitivului pentru carotajul de densitate compensat (după Wahl, Tittman și Johnstone, 1964)

În scopul eliminării influenței găurii de sondă, aparatul este presat cu canale colimatoare pe peretele sondei printr-un sistem de patine cu resorturi.

Pentru a obține o valoare corectată a densității formațiunilor investigate se utilizează dispozitivul cu două detectoare plasate la distanțe diferite de sursă, numit și dispozitivul gama-gama compensat.

Detectorul apropiat (D_1) de sursă are o sensibilitate mărită la mediul direct în contact cu patina permițînd evaluarea corecției determinată de turtă de noroi și neregularitățile peretelui sondei. Detectorul plasat la distanță mai mare (D_2) permite determi-

narea densității necorectate a formațiunii. Aplicînd corecția respectivă se va obține valoarea corectată a densității. Se înregistrează sub formă de curbe continue densitatea corectată și corecția care a fost aplicată.

Lungimea dispozitivului de carotaj gama-gama este egală cu distanța sursă-detector. Se obțin valori maxime ale razei de investigație (aproximativ 25 cm) pentru lungimi ale dispozitivului de 20-30cm.

Punctul la care se raportează valoarea densității măsurate este la jumătatea distanței sursă-detector.

Diagrama carotajului gama-gama se prezintă sub forma unor curbe continue de variație a densității σ în $[g/cm^3]$ cu adâncimea. Totodată se înregistrează și curba de corecție $\Delta\sigma$. Cele două curbe sînt înscrise pe trasa din dreapta a diagramei (Anexa B₁₄).

Simultan cu curba de densitate se înregistrează de obicei curba gama și cavernograma care se înscriu pe trasa din stînga.

Aplicații

Cea mai importantă aplicație a carotajului de densitate este determinarea porozității rocilor, fiind una din cele mai bune metode de determinare a acestui parametru. Datele asupra densității rocilor se folosesc pentru separarea litologică a formațiunilor traversate de sonde, corelarea lor, precum și interpretarea cît mai corectă a lucrărilor geofizice de prospecțiune (gravimetrice și seismice).

LUCRAREA NR. 14

DETERMINAREA POROZITĂȚII DIN CAROTAJUL DE
DENSITATE

Densitatea globală, σ , a formațiunilor, determinată din diagramele gama-gama de densitate, poate fi exprimată în funcție de porozitate, m , și de litologie, prin relația liniară:

a) pentru formațiuni "curate"

$$\sigma = m \sigma_f + (1-m) \cdot \sigma_{ma} \quad (4.17)$$

unde: σ_f este densitatea fluidului din spațiul poros (întrucât raza de investigație a dispozitivului gama-gama nu depășește 20 cm, în general fluidul este constituit din filtrat de noroi)

$$\sigma_f \equiv \sigma_{fn} = 1,0 \dots 1,1$$

σ_{ma} - densitatea matricei, avînd valorile:

$\sigma_{ma} = 2,65$ pentru roci cu matrice silicioasă (nisipuri, gresii)

$\sigma_{ma} = 2,79$ pentru calcare

$\sigma_{ma} = 2,85$ pentru dolomite

$\sigma_{ma} = 2,98$ pentru anhidrite.

Din relația (4.17) poate fi dedusă formula de determinare a porozității din carotajul de densitate:

$$m_D = \frac{\sigma_{ma} - \sigma}{\sigma_{ma} - \sigma_f} \quad (4.18)$$

valabilă în cazul formațiunilor "curate" saturate cu apă.

b) pentru formațiuni "argiloase", densitatea globală poate fi reprezentată prin relația:

$$\sigma = m \sigma_f + V_{arg} \cdot \sigma_{arg} + (1-m-V_{arg}) \sigma_{ma} \quad (4.19)$$

unde:

σ_{arg} este densitatea argilei și

V_{arg} - volumul de argilă conținut în formațiune.

Determinarea porozității efective, excluzînd efectul materialului argilos, se efectuează conform relației

$$m_{ef} = m_D - V_{arg} \cdot m_{D arg} \quad (4.20)$$

unde: $m_{D arg}$ este indicele de porozitate al argilei din carotajul de densitate, avînd forma:

$$m_{D arg} = \frac{\sigma_{ma} - \sigma_{arg}}{\sigma_{ma} - \sigma_f} \quad (4.21)$$

Procedeul practic de determinare a porozității

Determinarea porozității conform relațiilor (4.17...4.21) necesită cunoașterea următoarelor date:

- pentru formațiuni "curate" :

σ - densitatea globală a formațiunii citită din diagrame

σ_{ma} - densitatea matricei stabilită în funcție de litologie

σ_f - densitatea fluidului din spațiul poros.

- pentru formațiuni argiloase mai trebuie cunoscute:

σ_{arg} - densitatea argilei citită în dreptul unui strat argilos

V_{arg} - volumul de argilă conținut de stratul analizat.

Relațiile (4.17), (4.21) pot fi rezolvate grafic cu ajutorul abacei nr.36. Modul de lucru fiind indicat prin săgeți pe abacă. Se obține în primă etapă porozitatea pentru $\sigma_f = 1$, după care se efectuează corecția cu volumul de argilă și densitatea argilei. Porozitatea efectivă astfel obținută se corectează dacă este cazul pentru $\sigma_f \neq 1$. În cazul formațiunilor "curate" nu se mai efectuează corecția pentru argilă ci numai corecția pentru densitatea fluidului. În acest caz $m = m_{ef}$.

Exemplu

Din diagrame se citește valoarea densității globale în punctul de maxim:

$$\sigma = 2,4 \text{ g/cm}^3$$

Densitatea matricei pentru formațiuni grezoase

$$\sigma_{ma} = 2,65 \text{ g/cm}^3$$

$$\sigma_f = 1 \text{ g/cm}^3 \text{ (pentru noroaie dulci)}$$

$$m_D = 15 \%$$

Dacă formațiunea conține argilă se aplică corecția pentru V_{arg} (determinată din curba gama).

$$V_{arg} = 20 \%$$

$$\sigma_{arg} = 2,5 \text{ g/cm}^3$$

Atunci porozitatea corectată va fi:

$$(m_D)_{cor} = 12,9 \%$$

EXERCITII

Să se determine porozitatea din carotajul de densitate pentru stratele poroase permeabile cuprinse în diagrama din anexa B₁₄.

CAPITOLUL V

CAROTAJUL ACUSTIC

Carotajul acustic reprezintă o metodă de investigare care se bazează pe proprietățile de propagare a undelor elastice, de frecvență ultraacustică, prin mediul constituit din formațiunile geologice traversate de sonde.

Parametrii determinați în cadrul acestei metode sînt:

- viteza de propagare a undelor ultraacustice în roci;
- absorbția sau atenuarea undelor ultraacustice în roci, sau în coloane de tubaj și ciment.

5.1. Carotajul acustic de viteză

Carotajul acustic de viteză reprezintă varianta de carotaj acustic care determină viteza de propagare a undelor elastice (ultraacustice) în rocile traversate de sondă.

Pentru efectuarea carotajului acustic se utilizează dispozitive de investigare compuse din două sau mai multe traductoare, ca în figura 58. Traductoarele sînt de două tipuri:

- emițătoare, care transformă oscilațiile electrice în unde elastice;
- receptoare, care transformă undele elastice în oscilații electrice.

1. Dispozitivul monoreceptor (fig.58.a) este constituit dintr-un emițător E și un receptor R. Unda elastică se propagă de la emițător la receptor pe traseul EABR, respectiv prin noroiul de foraj, sub formă de undă longitudinală, iar de-a lungul formației, sub formă de unde longitudinale și transversale.

Timpul parcurs de unda elastică de la emițător se măsoară de-a lungul liniei de parcurs minim EABR și reprezintă timpul scurs din momentul transmisiunii undei elastice pînă la sosirea frontului undei longitudinale la receptor. Acest timp este compus din:

- timpul parcurs prin rocă: t_{AB} în μs ;
- timpul parcurs prin noroi, de la emițător la rocă t_{EA} și de la rocă la receptor t_{BR} în μs .

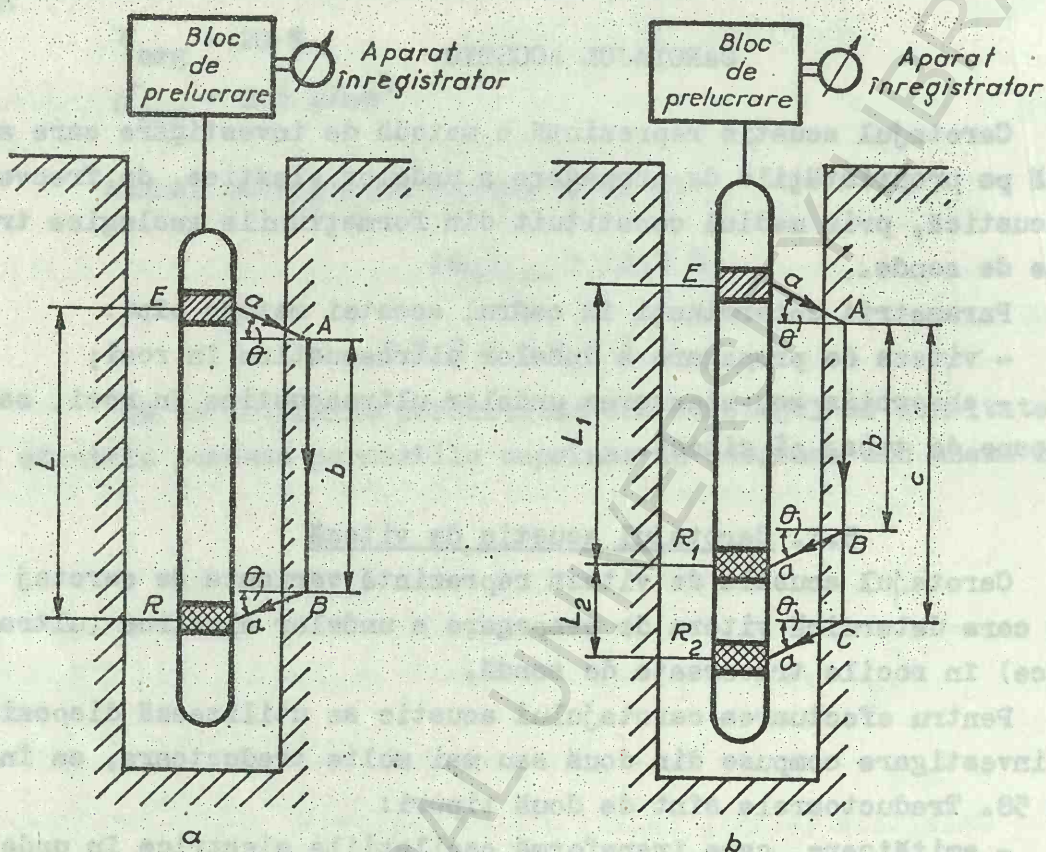


Fig. 58. Scheme principale de măsură în carotajul acustic : a- dispozitivul monoreceptor ; b- dispozitivul cu două receptoare.

Unda elastică care este transmisă de emițător se propagă prin noroiul de foraj sub formă de undă longitudinală (compresională). La limita de separație dintre noroiul de foraj și formațiune, unda suferă o refracție, iar altă parte din această energie va fi reflectată și nu va interveni în procesul de măsură.

Partea din semnal care întâlnește limita de separație în punctul A, sub un unghi față de normală mai mic decât unghiul critic θ , conform legii lui Snell va suferi o refracție și se va propaga de-a lungul peretelui sondei AB.

Unghiul critic este dat de relația:

$$\sin \theta_c = \frac{V_n}{V_f} \quad (5.1)$$

unde:

V_n este viteza în noroi și

V_f - viteza de propagare prin formație.

Timpul de parcurs al semnalului de la E la R se poate exprima prin relația:

$$t_{ER} = t_{AS} + (t_{EA} + t_{BR}) \quad (5.2)$$

sau, dacă se exprimă timpii în funcție de spațiu și de vitezele de propagare:

$$t_{ER} = \frac{b}{V_f} + \frac{2a}{V_n} \quad (5.3)$$

în care:

b - distanța parcursă prin rocă

a - distanța parcursă prin noroiul de foraj

V_f - viteza de propagare prin rocă

Din relația (5.3) se poate constata că timpul de parcurs în cazul dispozitivului monoreceptor depinde nu numai de viteza de propagare prin formație, ci și de cea prin noroi, V_n , de distanța dintre dispozitiv și peretale sondei, precum și de poziția dispozitivului de investigare în sondă.

2. Dispozitivul cu două receptoare (dual) (fig.59.b) este constituit dintr-un emițător E și două receptoare R_1 și R_2 , avînd rolul de a compensa efectul timpului parcurs prin noroi.

Timpul de parcurs dintre emițător și receptorul R_1 poate fi scris sub forma:

$$t_{ER_1} = t_{EA} + \frac{AB}{V_f} + t_{BR_1} \quad (5.4)$$

iar timpul de parcurs dintre emițător și receptorul R_2

$$t_{ER_2} = t_{EA} + \frac{AC}{V_f} + t_{CR_2} \quad (5.5)$$

unde:

t_{EA} , t_{BR_1} și t_{CH_2} reprezintă timpii parcurși prin noroi.

Dacă se măsoară diferența de timp de parcurs dintre receptori R_1 și R_2 se obține, din scăderea relațiilor (5.4) și (5.5)

$$\Delta t = t_{ER_2} - t_{ER_1} = \frac{BC}{V_r} = \frac{L_2}{V_r} \quad (5.6)$$

unde s-a considerat că timpii parcurși în noroi în dreptul receptorilor ($t_{BR_1} = t_{CR_2}$), prin paralelismul dispozitivului de investigare cu peretele sondei, iar L_2 este lungimea dispozitivului dual (distanța $R_1 R_2$), în pic.

În modul acesta, viteza prin rocă se poate determina simplu:

$$V_r = \frac{L_2}{\Delta t} \quad (5.7)$$

nemaifiind afectată de timpul de parcurs prin noroi a undei elastice.

Se utilizează și dispozitive compensate pentru efectul găurii de sondă, cu două emițătoare și patru receptoare, care asigură eliminarea efectului variației diametrului sondei datorită formării cavernelor.

Diagrama acustică de viteză conține două curbe (Anexa B₁₅)

- curba t , care reprezintă timpul de parcurs unitar pînă la primul receptor al unui dispozitiv dual (raportat la lungimea L_1 a dispozitivului);

- curba Δt , care reprezintă timpul de parcurs unitar între cei doi receptori (raportat la lungimea dispozitivului L_2).

Aplicațiile carotajului acustic de viteză

- corelarea profilelor de sondă (în special corelarea la distanțe mari);

- interpretarea datelor prospecțiunilor seismice;

- determinarea naturii litologice a rocilor și a compoziției mineralogice a acestora (în combinație cu carotajul neutronic și gama-gama de densitate);

- determinarea porozității rocilor colectoare.

5.2. Carotajul acustic de cimentare

Carotajul acustic de cimentare reprezintă o variantă a carotajului acustic care se utilizează în sondele tubate și cimentate. Acesta se bazează pe măsurarea timpului de parcurs al undei elastice în coloana de tubaj, precum și pe atenuarea sau absorbția acesteia pe parcursul din coloană, putând da indicații asupra gradului de aderență a cimentului la coloană și la roca înconjurătoare.

Diagrafia de carotaj acustic de cimentare (fig.59) conține două curbe:

- curba de timp t , determinată cu un dispozitiv monoreceptor ER;

- curba de amplitudine A , care măsoară atenuarea sau absorbția undei elastice transmise prin coloană, datorită acțiunii inelului de ciment aderent la coloană; cu cât amplitudinea este mai mare cu atât atenuarea sau absorbția este mai mică.

Carotajul acustic de cimentare se interpretează pe baza aspectului celor două curbe, având următoarele cazuri:

I. lipsă aderență sau lipsa de ciment, când coloana este liberă; timpul t coincide cu valoarea timpului în coloană, iar amplitudinea este mare;

II. aderență parțială, când numai o parte din inelul de ciment aderă la coloană sau la formație; timpul t coincide cu valoarea timpului în coloană, iar amplitudinea este mică;

III. aderență bună a cimentului la coloană și la formație, distingându-se în acest caz trei situații:

1. viteza undelor elastice în rocă este mai mică decât cea în coloană (fier); valoarea timpului t este aproximativ egală cu timpul caracteristic rocii înconjurătoare, iar amplitudinea este foarte

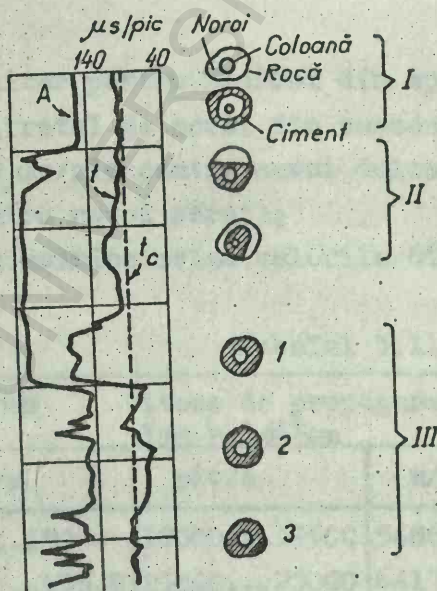


Fig.59. Diagrama acustică de cimentare : A- curba de amplitudine; t - curba de timp; t_c - timpul coloanei de 57 $\mu s/pic$.

mică;

2. viteza undelor elastice în rocă este aproximativ egală cu cea în coloană;

3. viteza undelor elastice în rocă este mai mare decât cea în coloană; valoarea timpului este aproximativ egală cu timpul caracteristic rocii înconjurătoare și apropiată de timpul caracteristic coloanei, iar amplitudinea este mare.

LUCRAREA NR. 15

DETERMINAREA POROZITATII DIN CAROTAJUL ACUSTIC
DE VITEZA

In cazul carotajului acustic de viteză, într-o formațiune consolidată cu porozitate intergranulară, avînd porii relativ mici, distribuiți în mod uniform, timpul de parcurs al undelor elastice, Δt , reprezentînd răspunsul dispozitivului de investigare, poate fi exprimat prin relația lineară stabilită de Wyllie:

$$\Delta t = m \Delta t_f + (1-m) \Delta t_{ma} \quad (5.8)$$

unde:

- Δt_f este timpul de parcurs unitar pentru fluidul din spațiul poros, respectiv filtratul de noroi din subzona spălată ($\Delta t_f = 189 \mu s / \text{pic}$ pentru noroi dulce și $\Delta t_f = 185 \mu s / \text{pic}$ pentru noroi sărat);
- Δt_{ma} - timpul de parcurs în matrice avînd valorile din tabelul de mai jos:

Tabelul 5.1.

Rocă	Timpul unitar de parcurs Δt_{ma}		Viteza de propagare $v_{ma} = 1/\Delta t_{ma}$	
	$\mu s / \text{pic}$	$\mu s / m$	pic / s	m / s
Nisipuri, gresii	51,2...55,5	168...182	18000...19500	5486...6943
Calcare	43,5...47,5	142,7...155,8	21000...23000	6417...7000
Dolomite	39 ...43,5	128...142,5	23000...25600	7000 7815
Anhidrite	50	164	20000	6096
Sare	67	219,8	14925	4550

Din relația (5.8) poate fi dedusă relația de determinare a porozității în carotajul acustic de viteză

$$m = \frac{\Delta t - \Delta t_{ma}}{\Delta t_f - \Delta t_{ma}} \quad (5.9)$$

unde Δt reprezintă timpul de parcurs unitar citit pe diagrame în dreptul stratului analizat. Relația (5.9) poate fi rezolvată grafic cu ajutorul abacei nr.37.

Pentru formațiunile neconsolidate (nisipuri), timpul unitar de parcurs, Δt , este mai mare, pentru o anumită porozitate, decît cel

determinat din relația Wyllie (5.8), astfel că relația (5.9) pentru determinarea porozității este afectată de un "coeficient de compactare", C_p , care poate avea valori cuprinse între 1,1...1,6. În acest caz relația (5.9) devine:

$$m = \frac{\Delta t - \Delta t_{ma}}{\Delta t_f - \Delta t_{ma}} \cdot C_p \quad (5.10)$$

iar rezolvarea ei grafică se efectuează tot cu ajutorul abacei nr. 37 pe baza liniilor punctate.

În cazul formațiunilor cu conținut de material argilos, răspunsul dispozitivelor de carotaj acustic este dat de relația tip Wyllie

$$\Delta t = m \Delta t_f + V_{arg} \Delta t_{arg} + (1 - m - V_{arg}) \Delta t_{ma} \quad (5.11)$$

unde Δt_{arg} reprezintă timpul de parcurs unitar în materialul argilos.

Porozitatea efectivă, ca urmare a prezenței materialului argilos în porii rocilor, este mai mică decât cea aparentă, fiind exprimată prin relația

$$m_{ef} = m_A - V_{arg} \cdot m_{arg} \quad (5.12)$$

unde: m_A este porozitatea aparentă determinată din carotajul acustic conform relațiilor (5.9), (5.10)

m_{Aarg} - indicele de porozitate al argilei din carotajul acustic, avînd expresia

$$m_{A, arg} = \frac{\Delta t_{arg} - \Delta t_{ma}}{\Delta t_f - \Delta t_{ma}} \quad (5.13)$$

Porozitatea efectivă pentru formațiunile cu conținut de material argilos poate fi determinată, prin rezolvare grafică, cu ajutorul abacei nr.38.

Modalitatea practică de determinare a porozității din carotajul acustic

Determinarea porozității conform relațiilor (5.8) - (5.13) necesită cunoașterea următoarelor date:

- timpul unitar de parcurs $\Delta t [\mu s/pic]$ citit pe diagrame în dreptul stratului de analizat în punctul de maxim;

- timpul unitar de parcurs în matrice $\Delta t_{ma} [\mu s/pic]$, care poate fi determinat fie prin măsurători directe pe probe, fie indirect pe baza unui grafic de dependență rezistivitate - timp de parcurs. Pentru formațiuni cu litologie simplă și cunoscută se pot utiliza valoarea timpului unitar de parcurs indicat în tabelul 5.1;

- timpul unitar de parcurs prin fluid Δt_f - întrucît raza de investigație a carotajului acustic este relativ mică, măsurătorile raportîndu-se la subzona spălată, pentru Δt_f sînt acceptate valorile menționate mai sus.

Ecuatiile (5.9) și (5.10) au fost rezolvate grafic sub forma abacei nr.37, pentru o viteză în fluid de $5800 \text{ pic}/\mu s$ ($\Delta t_f = 189 \mu s/pic$) care este folosită pentru determinarea porozității.

Modul de lucru

a) formațiuni consolidate

- se plasează în abscisă valoarea Δt , citită pe diagrame;
- se ridică o verticală pînă intersectează dreapta cu viteza în matrice V_{ma} corespunzătoare litologiei stratului analizat.

Din punctul de intersecție se duce o orizontală, iar în ordonată se citește valoarea porozității.

b) formațiuni neconsolidate

În cazul formațiunilor neconsolidate se determină în primul rînd mărimea "coeficientului de compactare" C_p .

Pentru aceasta, relația (5.10) se va scrie

$$m = m_A \cdot C_p \quad (5.14)$$

unde: m_A - este porozitatea din carotajul acustic determinată ca la pct.a

m - este porozitatea determinată din carotajul de densitate sau de rezistivitate.

Rezultă că:

$$C_p = \frac{m}{m_A} \quad (5.15)$$

Cunoscînd valoarea "coeficientului de compactare" C_p , porozitatea corectată pentru efectul compactizării se determină astfel:

- se introduce în abscisă valoarea lui Δt și se deplasează vertical pînă intersectează linia întreruptă al cărui modul corespunde

punde cu valoarea lui " C_p " calculat anterior. Din punctul de intersecție se duce o orizontală și în ordonată se citește valoarea porozității corectate.

Exemplu

a) $\Delta t = 75 \mu s/pic$ (citit din diagrafie)

$V_m = 18.000 pic/\mu s$ (viteză corespunzătoare nisipurilor)

$m_a = 14,5 \%$ (abaca nr.37)

b) $\Delta t = 104 \mu s/pic$

$V_m = 18.000 pic/\mu s$

$m_A = 36,5 \%$

$m_D = 24 \%$

$$\frac{1}{C_p} = \frac{m_A}{m_D} = \frac{36,5}{24} \cdot 100 = 152$$

$m_{A_{cor}} = 24,5 \%$

c) formațiuni argiloase

Porozitatea efectivă pentru formațiuni cu conținut de material argilos poate fi determinată și prin rezolvare grafică, cu ajutorul abacei nr.38. Utilizarea acestei abace necesită cunoașterea următorilor parametri:

- Δt - din diagrafie

- $V_{ma}(\Delta t_{ma})$ - stabilit în funcție de litologie

- Δt_{arg} - citit pe diagrafie în dreptul unui strat de argilă

- V_{arg} - determinat din curba gama sau P.S.

- gradul de compactizare.

Modul de lucru cu această abacă este indicat prin săgeți.

Exemplu

Stratul analizat este constituit dintr-o gresie compactă argilooasă pentru care s-au determinat

$\Delta t = 86 \mu s/pic$

$\Delta t_{ma} = 19.000 pic/\mu s$

$\Delta t_{arg} = 110 \mu s/pic$

$V_{arg} = 20 \%$

Se determină în primă etapă porozitatea necorectată pentru efectul argilei:

$$m = 24 \%$$

Se face apoi corecția pentru efectul argilei și se obține porozitatea efectivă,

$$m_{ef} = 14 \%$$

Observație. Ahaca nr.38 poate fi utilizată atât pentru formațiuni argiloase cât și pentru formațiuni "curate"; se poate utiliza și pentru cazurile a și b.

Exerciții

Să se determine porozitățile pentru stratele poroase-permeabile din diagrapia cuprinsă în anexa B₁₅.

LUCRAREA NR.16

EVALUAREA POROZITATII FORMATIUNILOR CU LITOLOGIE COMPLEXA

Răspunsurile în diagramele neutronice, de densitate și acustice depind, după cum s-a văzut anterior, nu numai de porozitate, ci și de litologia formațiunilor investigate. Cunoscând litologia și, respectiv parametrii matricei Δt_{ma} , σ_{ma} și m_N , este posibilă evaluarea porozității intergranulare cu o singură metodă de porozitate, la care se adaugă eventual o a doua metodă - cum ar fi diagramele gama naturală - pentru determinarea volumului de material argilos.

Problema se complică în cazul în care matricea este formată din doi sau mai mulți constituenți mineralogici, cu sau fără conținut de material argilos și cu sau fără porozitate secundară.

În continuare se va prezenta rezolvarea problemei pentru:

Roci "curate" cu porozitate intergranulară, formate din
doi constituenți mineralogici principali

În cazul rocilor carbonatate cele mai frecvente amestecuri binare (cu doi constituenți mineralogici) sînt: calcit/dolomit, calcit/silice, dolomit/silice, dolomit/anhidrit.

Pentru roci grezoase-nisipoase, combinațiile cele mai posibile sînt: silice/calcit, silice/dolomit.

Pentru aceste cazuri dacă se dispune de două metode de porozitate, pot fi utilizate o serie de grafice de dependență de forma: CN/CD, CN/CA, CD/CA.

a) Determinarea porozității din diagramele combinată-carotaj neutronic și carotajul gama - gama de densitate

Dependența $\sigma = f(m_N)$ poate fi rezolvată grafic cu ajutorul abacei nr.39 $\sigma_f = 1 \text{ g/cm}^3$ și abaca nr.40 pentru $\sigma_f = 1,1 \text{ g/cm}^3$ (respectiv noroi dulce și noroi mineralizat). Liniile caracteristice pentru gresii, calcare, dolomite, anhidrite cuprinse în abace sînt gradate în unități de porozitate, astfel că pentru un punct determinat de două citiri pe diagramele neutronică și de densitate se poate stabili, atât conținutul litologic, cît și porozitatea.

Dacă punctul determinat cade între două linii caracteristice, matricea este compusă din cele două minerale, fiecare în procen-

taj invers proporțional cu distanța dintre punct și linia caracteristică respectivă.

b) Determinarea porozității din diagrapia combinată - carotajul neutronic și carotajul acustic

Dependența $\Delta t = f(m_N)$ se poate rezolva grafic cu ajutorul abacelor nr.41 pentru $\Delta t_f = 189 \mu s/pic$ și nr.42 pentru $\Delta t_f = 185 \mu s/pic$. Cele două abace reprezintă rezolvarea grafică a răspunsului carotajului neutronic și carotajului acustic.

c) Determinarea porozității din diagrapia combinată - carotaj de densitate - carotaj acustic

Dependența $\sigma = f(\Delta t)$ este rezolvată grafic în abaca nr.43 pentru $\sigma_f = 1,0 g/cm^3$ și $\Delta t_f = 189 \mu s/pic$.

Modul de lucru

- Din diagrapie se citesc următoarele valori în dreptul stratului analizat:

- σ - densitatea globală din carotajul de densitate [g/cm^3]
- Δt - timpul de parcurs unitar, pe diagrama de carotaj acustic [$\mu s/pic$]
- $m_{N,calc}$ - porozitatea aparentă pentru o matrice calcaroasă citită direct din carotajul neutronic compensat sau determinată din carotajul neutronic epitermal.

- Se alege graficul dual respectiv, în funcție de combinația de carotaje disponibile și de natura fluidului de foraj.

- Se plasează valorile citite sau determinate pe abscisă și ordonată și se determină punctul de coordonate:

(m_N, σ) pentru combinația CN/CD

$(m_N, \Delta t)$ pentru combinația CN/CA

$(\Delta t, \sigma)$ pentru combinația CD/CA

În funcție de poziția punctului se determină procentual cantitatea de minerale constituate ale matricei precum și porozitatea.

Exemplu

a) Combinația CN/CD

Din diagrapie s-au citit următoarele valori:

$m_{N,calc} = 20 \%$

$$\sigma = 2,3 \text{ g/cm}^3$$
$$\sigma_f = 1 \text{ g/cm}^3$$

Se obțin cu abaca nr.39, valorile

$$m = 22,5 \%$$

Matricea este formată din calcar = 40 % și gresie 60 %.

b) Combinatia CN/CA

Din diagrafie s-au citit următoarele valori:

$$m_{N,calc} = 20 \%$$

$$\Delta t = 84 \mu s/pic$$

$$\Delta t_f = 189 \mu s/pic.$$

Se obțin cu abaca nr.41, valorile

$$m = 22,0 \%$$

Matricea este formată din calcar = 55 % și gresie = 65 %

c) Combinatia CD/CA

Pentru aceleași valori, respectiv:

$$\sigma_f = 1,0 \text{ g/cm}^3$$

$$\Delta t_f = 189 \mu s/pic.$$

Se obțin cu abaca nr.43, valorile

$$m = 21 \%$$

Matricea este formată din calcar 80 % și gresie 20 %.

Efectul porozității secundare. În prezența porozității secundare, produse de fisuri, fracturi sau de efectul porozității vacuolare răspunsul celor trei metode de porozitate este diferit.

Astfel, diagrafia acustică nu este influențată decât în foarte mică măsură de porozitatea secundară, răspunsul depinzând în primul rând de porozitatea primară, respectiv de tip intergranular sau intercrystalin.

Pe de altă parte carotajul neutronic și de densitate, răspunsul pe diagrafie este determinat de porozitatea totală, incluzând porozitatea intergranulară și porozitatea secundară.

Aceasta are ca efect pe graficele de tip CN/CA sau CD/CA o deplasare a punctelor caracteristice față de linia de litologie corespunzătoare și obținerea unor valori de porozitate mai mici decât a celei reale. În schimb pe graficele CN/CD se obține o valoare corectă a

porozității totale.

Pe aceste considerente se bazează posibilitatea determinării indicelui de porozitate secundară, m_s , cunoscând de exemplu porozitatea totală, determinată ca la punctul a, și porozitatea din carotajul acustic m_A , determinată conform relației (5.9),

$$m_s = m_{ND} - m_A \quad (5.16)$$

EXERCITII

Să se determine porozitatea pentru stratele poroase permeabile din diagramele cuprinse în anexele B₁₂, B₁₄, B₁₅.

CAPITOLUL VI

DETERMINAREA CONTINUTULUI ÎN FLUIDE ȘI A COEFICIENTILOR DE SATURAȚIE

Pentru stabilirea potențialului productiv al oricărei roci colectoare este necesar să se stabilească conținutul în hidrocarburi și apă. Estimarea potențialului productiv se poate efectua prin prelucrarea diagramei geofizice, atât pentru formațiuni "curate" (fără conținut de argilă), cât și pentru formațiuni argiloase.

În procesul de interpretare cantitativă, în scopul determinării saturației trebuie străbătute o serie de etape ale interpretării, după cum urmează:

- determinarea grosimii efective și a limitelor collectorului,
- determinarea rezistivității reale, ρ_R ,
- determinarea rezistivității subzonei apălate, ρ_{io} ,
- determinarea rezistivității apei de zăcămint, ρ_{ai} ,
- determinarea porozității, m ,
- determinarea factorului de formație, F ,
- determinarea saturației în apă și hidrocarburi S_A și S_H .

1) Formațiuni "curate"

În cazul formațiunilor colectoare cu hidrocarburi - petrol și/sau gaze - izolante din punct de vedere electric, rezistivitatea reală a formațiunii depinde pe lângă factorul de formație, F , și rezistivitatea apei de zăcămint, ρ_{ai} , și de coeficientul de saturație în apă S_A .

a) Pentru formațiuni "curate", dependența dintre saturația în apă și rezistivitatea reală ρ_R este dată de relația empirică stabilită de Archie

$$S_A = \sqrt[n]{\frac{F \cdot \rho_{ai}}{\rho_R}} \quad (6.1)$$

Factorul de formație este evaluat prin intermediul porozității cu ajutorul relațiilor Archie sau Humble (vezi abaca nr. 2) astfel că formulele practice de calcul a conținutului în apă devin:

$$S_A = \sqrt[n]{\frac{\alpha}{m \cdot v} \cdot \frac{\rho_{ai}}{\rho_R}} \quad (\text{pentru roci consolidate})$$

sau

$$S_A = \sqrt[n]{\frac{0,62}{m^{2,75}} \cdot \frac{\rho_{ai}}{\rho_R}} \quad (\text{pentru roci neconsolidate})$$

Pentru utilizarea relațiilor de mai sus sînt necesare următoarele date:

- rezistivitatea apei de zăcămint (ρ_{ai}) la temperatura formației;
- factorul de formație (F) sau porozitatea (m);
- rezistivitatea reală (ρ_R) a formațiunilor la adîncimea dată.

Obținerea acestor date a fost prezentată în capitolele anterioare. Rezolvarea grafică a ecuației (6.1) este dată de nomograma nr. 44 și se utilizează în modul următor:

- se plasează valorile cunoscute ρ_{ai} și F pe scalele respective și se unesc cu o dreaptă care se prelungește pînă la următoarea scală; valoarea obținută reprezintă rezistivitatea pe care ar fi avut-o roca saturată cu apă, ρ_{Ri} ;

- se plasează valoarea rezistivității reale ρ_R a rocii de cercetat pe următoarea scală și se unește cu valoarea ρ_{Ri} determinată anterior; prelungirea dreptei determină pe cea de-a cincea scală a nomogramei valoarea raportului ρ_{Ri}/ρ_R ;

- se unește această valoare cu exponentul de saturație, n; dreapta obținută se prelungește pînă la intersecția cu ultima scală pe care se citește conținutul în apă al collectorului.

Cunoscînd S_A , se calculează imediat conținutul în hidrocarburi totale cu relația:

$$S_H = 1 - S_A \quad (6.3)$$

Exemplu

S-au determinat următoarele date:

$$\rho_{ai} = 0,04 \Omega m$$

$$F = 40$$

$$\rho_R = 15 \Omega m$$

$$n = 2$$

Cu nomograma nr. 44 , se determină:

$$S_A = 30 \%$$

$$S_H = 1 - S_A = 1 - 0,3 = 0,7; \quad S_H = 70 \%$$

b) Ținând seama de relația de definiție a factorului de formație, se poate scrie:

$$\rho_{Ri} = F \cdot \rho_{ai} \quad (6.4)$$

Atunci relația (6.1) devine

$$S_A = \sqrt[n]{\frac{\rho_{Ri}}{\rho_R}} \quad (6.5)$$

sau

$$S_A = \sqrt[n]{\frac{I}{I_p}} \quad (6.6)$$

unde: I_p este indicele de rezistivitate definit de raportul $I_p = \frac{\rho_R}{\rho_{Ri}}$

Indicele de rezistivitate constituie un indicator estimativ al conținutului colectorului și permite determinarea saturației în apă, respectiv în hidrocarburi cu ajutorul relației (6.6), rezolvată grafic în abaca nr.45. Modul de lucru este:

- se plasează în ordonată valoarea indicelui de rezistivitate și se duce o dreaptă orizontală până intersectează curba al cărui modul dă valoarea exponentului de saturație, n ;

- prin punctul de intersecție se ridică o verticală, citindu-se în abscisa de sus valoarea saturației în apă iar în abscisa de jos saturația în petrol.

Valoarea saturației în apă caracterizează conținutul colectorului, în funcție de "saturația critică", S_c , de la care capacitatea zăcămintului de a permite circulația fazei hidrocarburilor scade brusc în favoarea fazei apă. În general, ținând seama de dependența dintre permeabilitățile relative pentru apă, respectiv hidrocarburi, în funcție de saturațiile respective (fig.60), saturația critică corespunde în majoritatea cazurilor unei valori $S_A = 0,5$, respectiv 50 %. Această valoare reprezintă valoarea limită sub care, în interpretare, colectorul este caracterizat "cu conținut de hidrocarburi" și peste care caracterizarea este "cu conținut de apă".

Exemplu

Se dau următoarele valori determinate anterior:

$$m = 20 \%$$

$$\gamma = 2$$

$$\rho_{ai} = 0,04 \Omega m$$

$$\rho_R = 12 \Omega m$$

$$n = 2$$

Se determină:

$$F = 27$$

$$\rho_{Ri} = F \cdot \rho_{ai} = 1,08 \Omega m$$

$$I_p = \frac{\rho_R}{\rho_{Ri}} = \frac{12}{1,08} = 11,1$$

Cu abaca nr. , se obține

$$S_A = 29 \%$$

$$S_H = 71 \%$$

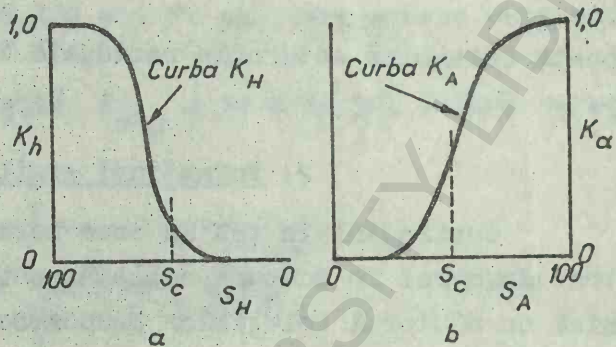


Fig. 60. Dependența dintre coeficienții de permeabilitate relativă și saturație: a - $K_H = f(S_H)$; b - $K_A = f(S_A)$. (după Pickett)

Avînd în vedere saturația critică de 50 % colectorul se caracterizează "cu conținut de hidrocarburi".

Determinarea conținutului în hidrocarburi reziduale

Saturația în hidrocarburi reziduale, cantonate în subzona spălată a stratului colector, în urma fenomenului de invazie a filtratului de noroi, poate fi determinată în mod analog, cu deosebirea că în locul valorilor de saturație în apă - S_A , respectiv hidrocarburi - S_H , se vor considera valorile saturației în filtrat - S_{io} , și respectiv saturația reziduală în hidrocarburi - S_{rh} .

Relația (6.1) poate fi scrisă pentru subzona spălată:

$$S_{io} = \sqrt[n]{\frac{F \cdot \rho_{fn}}{\rho_{io}}} \quad (6.7)$$

Rezolvarea ecuației (6.7) necesită cunoașterea următoarelor

date:

- ρ_{io} - rezistivitatea subzonei spălate,
- ρ_{fn} - rezistivitatea filtratului de noroi,
- F - factorul de formație.

Cunoscând saturația în filtrat de noroi, S_{i0} , pe baza relației

$$S_{rh} = 1 - S_{i0} \quad (6.8)$$

se poate determina saturația reziduală în hidrocarburi.

2. Formațiuni argiloase

Conținutul în apă în zona necontaminată și conținutul în filtrat de noroi în subzona spălată pentru formațiuni argiloase se determină cu ajutorul relațiilor Poupon-Leveaux:

$$S_A = \frac{1}{\left[\frac{\bar{J} V_{arg}}{\sqrt{\rho_{arg}}} + \frac{m \frac{1}{2}}{\sqrt{\alpha \cdot \rho_{ai}}} \right]^{\frac{2}{n}} \sqrt{\rho_R}} \quad (6.9)$$

$$S_A = \frac{1}{\left[\frac{\bar{J} V_{arg}}{\sqrt{\rho_{arg}}} + \frac{m \frac{1}{2}}{\sqrt{\alpha \cdot \rho_{fn}}} \right]^{\frac{2}{n}} \sqrt{\rho_{i0}}} \quad (6.10)$$

în care: \bar{J} este factorul de cimentare;

α - un coeficient litologic a cărui valoare este egală cu 0,8 pentru formațiuni grezos-nisipoase și 1 în formațiuni carbonatate

$$\bar{J} = 1 - \frac{V_{arg}}{2}$$

n - exponentul de saturație

Pentru $n = \bar{J} = 2$ relațiile (6.9) și (6.10) devin

$$S_A = \frac{1}{\left[\frac{\left(1 - \frac{V_{arg}}{2}\right)}{\sqrt{\rho_{arg}}} + \frac{m}{\sqrt{\alpha \cdot \rho_{ai}}} \right] \sqrt{\rho_R}} \quad (6.11)$$

$$S_{io} = \frac{1}{\left[\frac{\left(1 - \frac{V_{arg}}{2}\right)}{\frac{V_{arg}}{\sqrt{\rho_{arg}}}} + \frac{m}{\sqrt{\alpha \cdot \rho_{fn}}} \right] \sqrt{\rho_{io}}} \quad (6.12)$$

Relațiile (6.11) și (6.12) pot fi aplicate pentru conținuturi în argilă $V_{arg} \approx 40 - 90 \%$.

La conținuturi în argilă $V_{arg} < 10 \%$ se pot folosi relațiile simplificate:

$$S_A = \frac{1}{\left[\frac{V_{arg}}{\sqrt{\rho_{arg}}} + \frac{m}{\sqrt{\alpha \cdot \rho_{ai}}} \right] \sqrt{\rho_R}} \quad (6.13)$$

și

$$S_{io} = \frac{1}{\left[\frac{V_{arg}}{\sqrt{\rho_{arg}}} + \frac{m}{\sqrt{\alpha \cdot \rho_{fn}}} \right] \sqrt{\rho_{io}}} \quad (6.14)$$

Abacele nr.46, 47 asigură rezolvarea grafică pentru determinarea saturației în apă în zona necontaminată.

Datele necesare sînt:

- ρ_R - rezistivitatea reală a stratului
- ρ_{ai} - rezistivitatea apei de zăcămint
- m - porozitatea efectivă
- ρ_{arg} - rezistivitatea argilei
- V_{arg} - volumul de argilă.

Modul de lucru:

- Se calculează coeficientul

$$A = m \frac{\gamma}{2} \sqrt{\frac{\rho_R}{\rho_{ai}}} \quad (6.15)$$

Pentru aceasta se plasează valorile ρ_R și ρ_{ai} pe scalele respective și se unesc cu o linie care se prelungește pînă la dreapta pivot; punctul rezultat de pe dreapta pivot se unește cu punctul de intersecție dintre valoarea porozității m și factorul de cimentare γ ; dreapta rezultată se prelungește pînă la următoarea scală

pe care se citește valoarea lui A.

- Se calculează apoi coeficientul

$$B = V_{arg} \left(1 - \frac{V_{arg}}{2}\right) \sqrt{\frac{\rho_R}{\rho_{arg}}} \quad (6.16)$$

Modul de lucru este același ca și pentru coeficientul A cu deosebirea că pe cea de-a doua scală se plasează valoarea ρ_{arg} .

Valorile celor doi coeficienți se introduc în abaca nr. 47. Se plasează în ordonată valoarea lui A, iar în abscisă valoarea lui B pentru coeficientul litologic, a, corespunzător. Se determină punctul de coordonate (A, B). Modulul curbei care trece prin punctul de intersecție reprezintă S_A .

Exemplu

S-au determinat următoarele valori:

$$\rho_R = 16 \Omega \text{ m}$$

$$\rho_{arg} = 1 \Omega \text{ m}$$

$$V_{arg} = 15 \%$$

$$\rho_{ai} = 0,09 \Omega \text{ m}$$

$$m = 27 \%$$

$$a = 0,8$$

$$\gamma = 2$$

$$n = 1,6$$

Din nomograma nr. 46 se obțin valorile:

$$A = 3,5$$

$$B = 0,6$$

Cunoscând valoarea coeficienților A și B cu abaca nr. 47 se determină cu abaca nr. 47

$$S_A = 17 \%$$

$$S_H = 83 \%$$

3) Determinarea saturației în apă prin metoda raportului

Relațiile (6.1), pentru saturația în apă în colector și (6.7) pentru saturația în filtrat de noroi în subzona spălată pot fi scrise sub forma (pentru $n = 2$)

$$S_A^2 = \frac{F \cdot \rho_{ai}}{\rho_R} \quad (6.17.a)$$

$$S_{io}^2 = \frac{F \cdot \rho_{fn}}{\rho_{io}} \quad (6.17.b)$$

Făcînd raportul celor două relații se obține

$$\left[\frac{S_A}{S_{io}} \right]^2 = \frac{\rho_{ai}/\rho_R}{\rho_{fn}/\rho_{io}} = \frac{\rho_{io}/\rho_R}{\rho_{fn}/\rho_{ai}} \quad (6.18)$$

Această relație asigură obținerea raportului S_A/S_{io} numai din măsurători de rezistivitate și anume:

ρ_R - rezistivitatea reală determinată din diagrapia de inducție, laterolog sau D.R.R.

ρ_{io} - rezistivitatea subzonei spălate determinată din diagrapia de microdispozitive.

Raportul ρ_{fn}/ρ_{ai} poate fi determinat dintr-o curbă de P.S. Din (6.18) poate fi dedusă valoarea coeficientului S_A :

$$S_A = S_{io} \left[\frac{\rho_{io}/\rho_R}{\rho_{fn}/\rho_{ai}} \right]^{\frac{1}{2}} \quad (6.19)$$

Pentru invazii moderate și o saturație reziduală în hidrocarburi în subzona spălată de valoare "medie" se poate stabili o relație empirică între S_{io} și S_A de forma

$$S_{io} = S_A^{\frac{1}{3}} \quad (6.20)$$

Introducînd (6.20) în (6.19) se obține pentru S_A expresia:

$$S_A = \left[\frac{\rho_{io}/\rho_R}{\rho_{fn}/\rho_{ai}} \right]^{\frac{5}{8}} \quad (6.21)$$

Pentru determinarea S_A se poate folosi abaca nr.47, plecînd de la valorile raportului ρ_{io}/ρ_R . Opțional se pot utiliza în loc de ρ_{fn}/ρ_{ai} valorile de P.S.

Exemplu

$$\rho_{io} = 15 \Omega m$$

$$\rho_R = 3 \Omega m$$

$$\rho_{fn} = 0,8 \Omega m$$

$$\rho_{ai} = 0,04 \Omega m$$

$$S_{io} = 20 \%$$

Se calculează rapoartele:

$$\frac{\rho_{io}}{\rho_R} = 5 \quad ; \quad \frac{\rho_{fn}}{\rho_{ai}} = 20$$

Cu abaca nr.47 se determină

$$S_A = 41 \%$$

CAPITOLUL VII

MASURAREA DEVIATIEI ORIENTATE A SONDELOR SI DETERMINAREA ORIENTARII INSTRUMENTELOR DE DEVIERE IN FORAJUL DIRIJAT

In general sondele nu se forează vertical. La majoritatea sondelor există o abatere a profilului sondei față de verticala locului, determinată de următoarele cauze:

- cauze geologice: prezența unor strate cu înclinări mari față de orizontală și alternanța unor strate cu rezistență mecanică mare cu strate de rezistență mecanică mică;

- cauze tehnice: aplicarea unor greutateți mari pe sapă în cursul forajului, flexibilitatea prăjinilor de foraj sau excentricitatea mesei rotative;

- cauze obiective: când sondele sînt forate dirijat, respectiv într-o anumită direcție, și avînd o anumită înclinare față de verticală, în scopul rezolvării unor probleme, cum sînt:

- aducerea sondelor într-un gabarit de exploatare stabilit, în cazul terenurilor accidentate, mlaștinilor, apelor adînci, prezenței unor clădiri sau alte construcții,

- exploatarea unui zăcămint ecranat de un masiv de sare diapir,

- pentru conturarea unui zăcămint în cazul unei sonde care a interceptat zona de apă,

- pentru detectarea ariilor productive în zonele de falii,

- pentru salvarea sondelor de erupție,

- pentru săparea unor găuri noi de sondă în urma unor accidente tehnice (prinderea garniturii de prăjini, rămînerea la puț a unor dispozitive și altele).

7.1. Măsurarea deviației orientate a sondelor

7.1.1. Elementele care caracterizează abaterea sondei de la verticală sînt (fig.61):

- înclinarea sondei (deviația) reprezintă unghiul, v , dintre verticala locului Oz și linia care materializează traseul real al sondei;

- orientarea sondei reprezintă unghiul, \varnothing , dintre planul Oz Z

definit de linia găurii de sondă și verticala locului, și planul care trece prin direcția nord-sud și verticala locului.

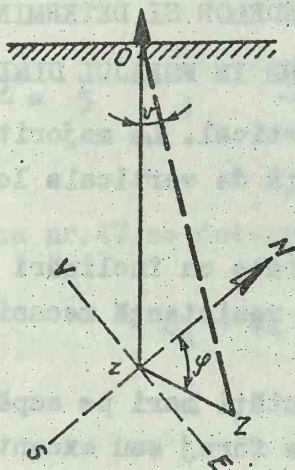


Fig. 61. Elementele de înclinare și orientare a sondei

În măsurarea elementelor de înclinare și în prelucrarea rezultatelor se consideră că profilul sondei prezintă înclinări și orientări constante pe intervale H de 50-100 m. Pe aceste intervale se pot defini:

- proiecția orizontală

$$H_0 = H \sin v \quad (7.1)$$

- proiecția verticală

$$H_v = H \cos v \quad (7.2)$$

- pierderea de înălțime

$$\Delta H = H - H_v \quad (7.3)$$

Pierderea de înălțime reprezintă diferența dintre adâncimea găurii de sondă măsurată în planul ei de înclinare și proiecția acestei distanțe în plan vertical.

7.1.2. Aparatul pentru măsurarea deviației orientate a sondelor

Deviația orientată a sondelor se măsoară cu ajutorul aparatului denumit fotoinclinometru Z (construit de inginerul român Grigore Zmieureanu).

Elementul principal al fotoinclinometrului îl constituie busola care conține: un pendul suspendat cardanic și care are un inel cu fire reticulare; o sticlă concavă, pe care sînt gravate cercuri concentrice care reprezintă unghiurile de înclinare, în grade; un ac magnetic solidar cu un disc gradat pe care sînt marcate valorile de azimut.

Deasupra busolei se găsește un obiectiv fotografic, care asigură fotografierea poziției pendulului pe discul gradat și a discului de azimut; pentru fotografiere se folosește o sursă de lumină S , constituită dintr-o serie de becuri.

Filmul fotografic pe care se imprimă imaginea este inclus într-o casetă, acționată cu ajutorul unui mecanism și comandată de un

electromagnet acționat de la suprafață.

Măsurarea se execută în puncte, la adâncimea unde se determină înclinarea. La fiecare punct se obține o imagine fotografică, ca în figura 62.

Unghiul de înclinare este dat de numărul de cercuri concentrice pe care se află centrul firelor reticulare ale pendulului.

Orientarea (azimutul) se determină prin măsurarea unghiului ϕ pe care-l face direcția nord magnetic cu dreapta ce unește centrul imaginii cu centrul firelor reticular.

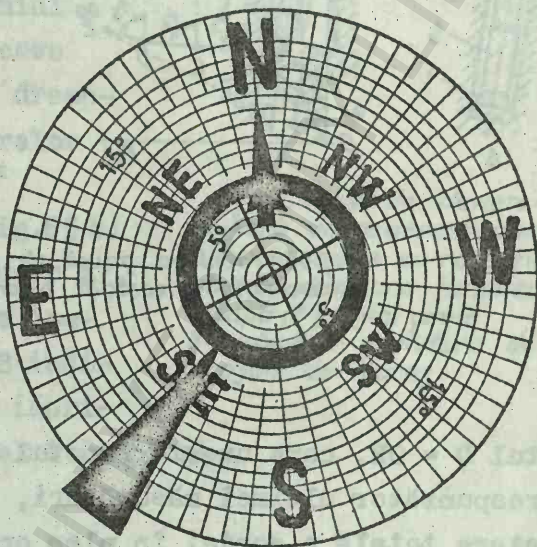


Fig. 62

7.1.3. Reprezentarea grafică a proiecțiilor orizontale și verticale

Reprezentarea grafică în plan orizontal și vertical a proiecțiilor sondei se realizează pe baza relațiilor (6.1), (6.2) și (6.3), pe intervale constante de adâncime H (fig. 63).

Pentru reprezentarea grafică în plan orizontal se aleg două axe rectangulare nord și est; originea O a acestora corespunde locației sondei la suprafață.

Dacă se consideră patru puncte la adâncimile H_1, H_2, H_3, H_4 în care se determină valorile de înclinare și azimut $v_1; \phi_1; v_2; \phi_2; v_3; \phi_3; v_4; \phi_4$; se determină proiecția orizontală astfel:

- în punctul O se ia un segment \overline{OA} de lungime $H_{01} = H_1 \sin v_1$ care face un unghi ϕ_1 cu direcția N ;

- din punctul A se duce segmentul \overline{AB} , de lungime $H_{02} = H_2 \sin v_2$ la un unghi ϕ_2 față de N și așa mai departe cu celelalte

puncte, obținându-se graficul proiecției orizontale OABCDE. (fig.63.a)

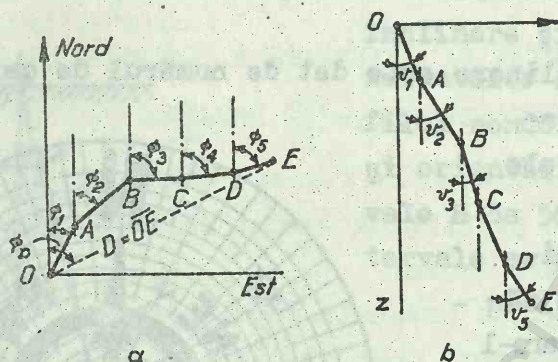


Fig.63. Proiecția găurii de sondă deviate:
a - proiecția orizontală; b - proiecția verticală.

Segmentul $D = OE$, care unește punctul locației la suprafață și punctul corespunzător ultimei măsurători, se numește deplasare la talpă sau abatere totală a sondei în plan orizontal, care face un unghi de orientare ϕ_D cu direcția nord.

În mod analog se reprezintă și proiecția în plan vertical, reprezentându-se segmentele $H_{1v} = H_1 \cos \nu_1 \dots H_{4v} = H_4 \cos \nu_4$, sub unghiurile ν_1, \dots, ν_4 față de verticală (fig.63.b).

7.2. Orientarea instrumentelor de deviere în forajul dirijat

Pentru devierea sondelor față de verticală se utilizează următoarele instrumente de deviere:

- pana de deviere, introdusă în sondă în poziția din care se începe devierea de la verticală și care ghidează sapa și garnitura de prăjini de foraj, pe noua direcție (în cazul forajului cu masă rotativă, figura 64.a);

- reducția strîmbă, introdusă deasupra sapei și a garniturii de prăjini grele, în cazul forajului cu turbină (fig.64.b).

Determinarea orientării instrumentelor de deviere se realizează cu ajutorul unui fotoînclinometru, cu o singură imagine fotografică, prevăzută cu un modul de plumb în partea inferioară, pe care se imprimă urmele unor cuțite dințate fixate în partea superioară a gar-

niturii de prăjini grele (în cazul forajului cu masă rotativă) sau deasupra reducției ștrîmbe (în cazul forajului cu turbină).

Pe imaginea fotografică obținută (fig.65.a) se măsoară unghiul α dintre reperul triunghiurilor R care reprezintă poziția aparatului și dreapta OA care trece prin centrul firelor reticular.

Pe modelul cu plumb (fig.65 b) se măsoară unghiul β între un reper R', care corespunde reperului R de pe imaginea fotografică, și direcția OB indicată de vîrfurile triunghiurilor impri- mate de cuțitele ascuțite pe modelul de plumb.

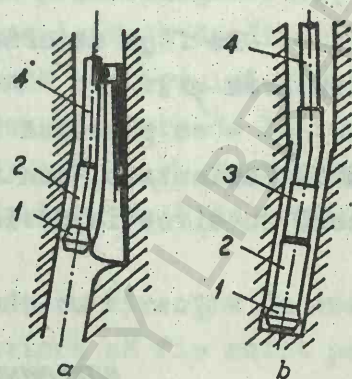


Fig. 64. Scule de deviere: a-pană de deviere; b-dispozitiv de deviere cu reducere ștrîmbă deasupra turbinei; 1-sapă; 2-prăjini grele; 3-turbină; 4-garnitura de prăjini de foraj.

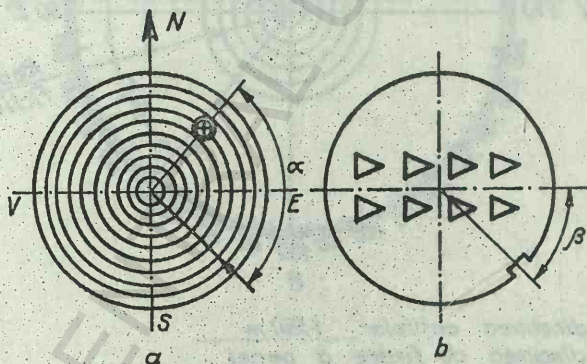


Fig. 65. Măsurarea orientării dispozitivului de deviere: a-pe imaginea fotografică; b-pe modelul de plumb.

Valorile unghiurilor α și β se trasează pe o fișă specială, denumită fișă de orientare.

Pentru interpretarea rezultatelor măsurărilor de orientare a instrumentelor de deviere în forajul dirijat, în afara unghiurilor α și β , trebuie cunoscută înclinarea, v , și orientarea, \emptyset , sondei la nivelul de amplasare a cuțitelor.

Modul de lucru

Pe figa de orientare (fig.66) direcția înclinării sondei (orientarea φ):

- se plasează imaginea fotografică obținută concentric cu figa de orientare, centrul firelor reticulare din imagine să se suprapună cu direcția deviației sondei.

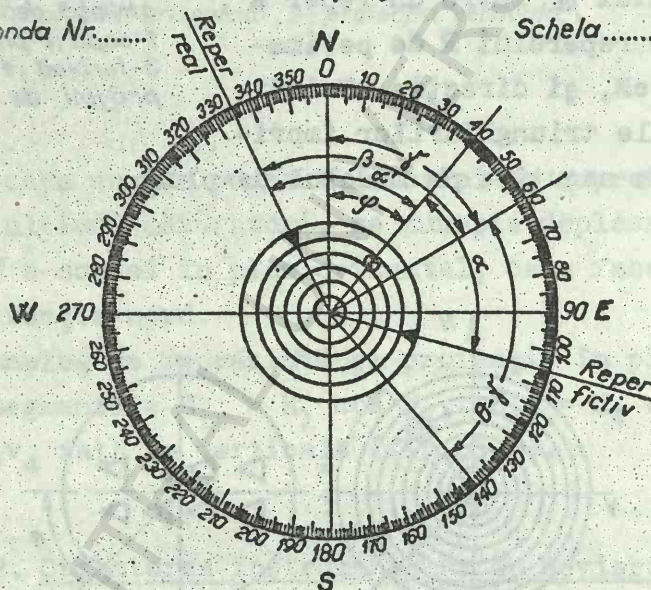
INTREPRINDEREA.....

Data.....

FIȘA DE ORIENTARE (Până deviere, prăjină strîmbă)

Sonda Nr.....

Schela.....



Adîncimea cufitelor.....1560 m.....

Adîncimea de fixare a penei.....

Orientarea găurii de sondă $40^\circ (\varphi)$ unghi de înclinare

Direcția găsită a penei de deviere $60^\circ (\gamma)$

Direcția de orientare a penei (prăjină strîmbă) $140^\circ (\theta)$

Unghiul citit pe plumb $85^\circ (\beta)$

Unghiul de rotire a garniturii $80^\circ (\theta - \gamma)$

Verificat,

Șef de echipă,

Fig.66. Exemplu de determinare a orientării instrumentului de deviere în forajul dirijat.

Ținând seama de inversarea imaginii prin fotografiere, se trasează aceeași valoare a unghiului α simetric față de direcția înclinării sondei. Se obține astfel poziția reală a reperului fix.

- Unghiul β se trasează pe fișa de orientare de la reperul real, în sensul rotirii acelor de ceasornic. Unghiul γ reprezintă direcția găsită a planului instrumentului de deviere față de nordul magnetic.

Dacă direcția măsurată nu corespunde cu direcția de orientare necesară, trebuie ca instrumentul de deviere să fie rotit pe direcția dorită.

Unghiul de rotire va fi egal cu

$$\theta_r = \theta - \gamma$$

unde: θ este unghiul dintre direcția pe care trebuie dirijată sonda față de nordul magnetic.

După operația de rotire a instrumentului de deviere cu unghiul θ_r , aducerea instrumentului de deviere pe direcția dorită, se repetă operația pentru controlul acestei direcții.

REPREZENTAREA IN DIAGRAFIE DE PROFITATE SI CANTITATE A DIFERITELOR
FORMATIUNI GEOLOGICE

Tabelul 8.1.

FORMAȚIUNI GEOLOGICE							
Reprezentarea în diagrame							
Caracterul formațiunilor	Diagrama radioactivă	Diagrama de densitate gamma-soma (compensată), CD σ (g/cm ³)	Diagrama acustică de viteză (compensată) Δt (μ s/pio)	Raportul dintre porozitățile (aparente) determinate cu diferite metode	Factorii geologici care pot produce variația parametrilor sau a valorilor de porozitate aparentă		
1	2	3	4	5	6	7	8
Argile	Impermeabile	Valori I_p în general mari, în jurul valorilor: $I_p = 90...110$ uAPI Valori I_p foarte mari, până la valori $I_p = 100...200$ uAPI pt. argilele marine în dispersare și tonite și cenuși vulcanice.	Valori $K_T(CT)$ minime, datorită prezenței apei de legătură și apei de cristalizare a argilelor în domeniul: $K_T(CT) = 500...800$ uAPI Valori $(M_p)_{A,Ca}$ relativ mari în domeniul: $(M_p)_{A,Ca} = 35...50\%$	Valori σ mici spre medii, depinzând de gradul de compactare, în domeniul: $\sigma = 3,3...2,5$ g/cm ³	Valori Δt mari, depinzând de gradul de compactare, în domeniul: $\Delta t = 110...140$ μ s/pio.	$(M_p)_{A,Ca} > (M_p)_A$	Pentru argilele în dispersate, sedimentațiile în medii mari, valorile I_p sunt mult mai mari decât pentru argilele comune sedimentate în ape continentale. Valori $K_T(CT)$ și respectiv $(M_p)_{A,Ca}$ sunt influențate de cantitatea de apă de legătură. Valori σ cresc, iar valorile Δt scad cu cât gradul de compactare al argilelor crește.
Argile calcaroase, colomitice și nisipoase	Impermeabile	Valori I_p în general mari, dar ceva mai mici decât în cazul argilelor comune, în domeniul $I_p = 70...90$ uAPI	Valori $K_T(CT)$ mici, ceva mai mari decât în cazul argilelor comune, în domeniul $K_T(CT) = 600...900$ uAPI Valori $(M_p)_{A,Ca}$ relativ mari în domeniul $(M_p)_{A,Ca} = 30...45\%$	Valori σ în general mici spre medii, dar ceva mai mari decât în cazul argilelor comune, în domeniul: $\sigma = 2,4...2,6$ g/cm ³	Valori Δt în general mari, dar mai mici decât în cazul argilelor comune, în domeniul: $\Delta t = 100...130$ μ s/pio.	$(M_p)_{A,Ca} > (M_p)_A$	Creșterea conținutului de calcar, dolomit sau cuarț în argilele duce la scăderea valorilor I_p , $(M_p)_{A,Ca}$ și Δt , respectiv la creșterea valorilor $K_T(CT)$
Marne	Impermeabile	Valori I_p în general mari, în domeniul: $I_p = 70...100$ uAPI, analoage cu ale argilelor calcaroase.	Valori $K_T(CT)$ mici, analoage cu ale argilelor sau argilelor calcaroase. $K_T(CT) = 500...900$ uAPI Valori $(M_p)_{A,Ca} = 35 - 50\%$	Valori σ în general mici spre medii, analoage cu cele ale argilelor sau argilelor calcaroase, în domeniul $\sigma = 2,3...2,6$ g/cm ³	Valori Δt în general mari, analoage cu cele ale argilelor sau argilelor calcaroase, în. $\Delta t = 100...140$ μ s/pio.	$(M_p)_{A,Ca} > (M_p)_A$	Acestea ca în cazul argilelor și argilelor calcaroase

1	2	3	4	5	6	7	8
Nisipuri și Gresi și Gresi	Porose- permeabile $m = 10...30\%$	Valori I_f reduse, în domeniul: $I_f = 30...40$ uAPI	Valori $M_T(ET)$ medii spre mari, în func- ție de porozitate, în domeniul: $M_T(ET) = 900...1200$ uAPI Valori $(M_T)_{A,Ca} =$ $= 6...26 \%$	Valori σ mici spre medii în funcție de porozitate, în do- meniul: $\sigma = 2,2...2,5 \text{ g/cm}^3$	Valori Δt medii, în funcție de po- rozitate, în dom- eniul: $\Delta t = 5...10 \mu s/plo.$	Gresii, năsi- puri cu: - apă și/sau petrol: $(M_T)_{A,Ca} \leq (M_T)_{A,Ca}$ - gaze: $(M_T)_{A,Ca} < (M_T)_{A,Ca}$	Cu creșterea porozității deci a conținutului în H (din apă sau hidrocarburi), σ scade $-M_T(ET)$ - crește; $- \Delta t$ - crește $- (M_T)_{A,Ca}$ - crește; $- \Delta t$ - crește La formațiunile cu conținut în gaze: $-M_T(ET)$ - crește; $- \sigma$ - scade $- (M_T)_{A,Ca}$ - scade; $- \Delta t$ - crește La compactări reduse, Δt creș- te foarte mult, prezentând va- riații mari.
Nisipuri și Gresi argiloase	Porose- permeabile $m = 5...25\%$ $m_E = 5...40\%$	Valori I_f later- medie, în dome- niul: $I_f = 35...60$ uAPI	Valori $M_T(ET)$ inter- medie, între valo- rile pt. marea și nisipuri/gresi; $M_T(ET) = 600...1500$ uAPI Valori $(M_T)_{A,Ca} =$ $= 7,5...10\%$ (în func- ție de porozitate și volumul de ar- gila)	Valori σ interme- dii, în domeniul: $\sigma = 2,2...2,5 \text{ g/cm}^3$ (în funcție de po- rozitate și volu- mul de argila)	Valori Δt interme- dii, în domeniul: $\Delta t = 5...10 \mu s/plo.$ (în funcție de po- rozitate și volumul de argila)	Gresii, nisipuri argiloase cu: - apă și/sau petrol: $(M_T)_{A,Ca} \geq (M_T)_{A,Ca}$ - cu gaze: $(M_T)_{A,Ca} < (M_T)_{A,Ca}$	Pe lângă factorii de influen- ță de mai sus, la creșterea volumului de argila: $-M_T(ET)$ - scade; $- \sigma$ - scade $- (M_T)_{A,Ca}$ - crește; Δt - crește La compactări reduse Δt creș- te foarte mult, prezentând variații mari.
Gresi	Compacte și/sau de porozitate scăzută $m < 10\%$	Valori I_f reduse, în domeniul: $I_f = 30...40$ uAPI	Valori $M_T(ET)$ mari, în funcție de po- rozitate. $M_T(ET) = 1500...3000$ uAPI Valori $(M_T)_{A,Ca} =$ $= 5...7,5\%$	Valori σ mai mari, în domeniul: $\sigma = 2,5...2,65 \text{ g/cm}^3$	Valori Δt mai mici, în funcție de po- rozitate, în domeniul: $\Delta t = 5...6,5 \mu s/plo.$	Gresii cu porozi- tate scăzută, cu apă și/sau petrol: $(M_T)_{A,Ca} \leq (M_T)_{A,Ca}$ - cu gaze: $(M_T)_{A,Ca} < (M_T)_{A,Ca}$ Gresii compacte $(M_T)_{A,Ca} =$ $= -3,5...-5 \%$ $(M_T)_{A,Ca} = 0$	Aceiași factori de influență ca la nisipuri și gresi porose-permeabile.
Calcare	Porose- permeabile și/sau fi- surate și compacte $m = 0...20\%$ $m_E = 0...2\%$	Valori I_f reduse, în domeniul: $I_f = 20...30$ uAPI	Valori $M_T(ET)$ mari, spre foarte mari, în funcție de po- rozitate în domeniul: $M_T(ET) = 1000...3500$ uAPI Valori $(M_T)_{A,Ca} =$ $= 0...20 \%$	Valori σ mai mari, în funcție de po- rozitate, în dome- niul: $\sigma = 2,33...2,71$ g/cm^3	Valori Δt medii spre mici, în func- ție de porozitate în intervalul: $\Delta t = 47,6...76 \mu s/plo$	Calcare porose- permeabile și/sau fisurate: - cu apă și/sau petrol: $(M_T)_{A,Ca} \approx (M_T)_{A,Ca}$ $(M_T)_{A,Ca} \geq (M_T)_{A,Ca}$ - cu gaze: $(M_T)_{A,Ca} < (M_T)_{A,Ca}$ Calcare compacte $(M_T)_{A,Ca} \approx (M_T)_{A,Ca}$ $(M_T)_{A,Ca} = 0$	La scăderea porozității: $-M_T(ET)$ - crește; $- \sigma$ - crește $- (M_T)_{A,Ca}$ - scade; $- \Delta t$ - scade Pentru CN și CD valorile de- pind de porozitatea totală: $m = m_p + m_E$ Pentru CA valorile depind nu- mai de porozitatea primară, m_p

1	2	3	4	5	6	7	8
Dolomite	Porose- permeabile și/sau fisu- rate și con- pact $\alpha = 0...20\%$ $\alpha_2 = 0...2\%$	Valori I_f reduse în domeniul: $I_f = 20...30$ uAPI	Valori $N_T(OT)$ mari, spre foarte mari, în funcție de porozitate, în domeniul: $N_T(OT) = 960...3200$ uAPI Valori $(m_p)A, Ca =$ $= 2...22\%$	Valori σ mari, spre foarte mari, în func- ție de porozitate, $\sigma = 2,48...2,86$ g/cm ³	Valori Δt medii spre mici, în func- ție de porozitate, în intervalul: $\Delta t = 4,55...72,6$ $\mu s/pic$	Dolomite porose- permeabile și/sau fisurate: - cu apă și/sau petrol: $(m_p)A, Ca \geq (m_p)A$ $(m_p)A, Ca \geq (m_p)A$ - cu gaze: $(m_p)A, Ca < (m_p)A$ Dolomite compacte $(m_p)A, Ca = 2...4\%$	Accesi factori de influ- ență ca la calcare.
Calcare argilose	Porose- permeabile $\alpha = 2...15\%$ $\alpha_{arg} = 5...40\%$	Valori I_f inter- medie, în func- ție de volumul de argilă: $I_f = 25...50$ uAPI	Valori $N_T(OT)$ inter- medie între valo- rile pt. calcare și argile: $N_T(OT) = 800...2800$ uAPI $(m_p)A, Ca = 5,5...35\%$	Valori σ medii, în- tre valorile pt. calcare și marnă, argile: $\sigma = 2,35...2,65$ g/cm ³ (în funcție de po- rozitate și volumul de argilă)	Valori Δt medii, între valorile pt. calcare și mar- nă, argile: $\Delta t = 53...105$ $\mu s/pic$ (în funcție de porozi- tate și volumul de argilă)	Calcare argilose cui - apă și/sau petrol: $(m_p)A, Ca \leq (m_p)A$ - cu gaze: $(m_p)A, Ca < (m_p)A$	Pe lângă factorii de in- fluență de la calcare, la creșterea volumului de argilă: - $N_T(OT)$ scade: - σ crește - $(m_p)A, Ca$ crește și crește
Anhidrite	Impermeabile	Valori I_f foarte mici: $I_f = 10...20$ uAPI	Valori $N_T(OT)$ foarte mari: $N_T(OT) = 3000...3500$ uAPI Valori $(m_p)A, Ca =$ $= 0,5...2\%$	Valori σ mari: $\sigma = 2,9...2,98$ g/cm ³	Valori Δt mici: $\Delta t = 50...51$ $\mu s/pic$		
Gipsuri	Impermeabile	Valori I_f foarte mici: $I_f = 10...20$ uAPI	Valori $N_T(OT)$ mici: $N_T(OT) = 500...800$ uAPI $(m_p)A, Ca = 8...9\%$	Valori σ mici: $\sigma = 2,35...2,37$ g/cm ³	Valori Δt medii: $\Delta t = 51...53$ $\mu s/pic$		
Sare	Compactă	Valori I_f foarte mici: $I_f = 15-25$ uAPI	Valori $N_T(OT)$ foarte mari: $N_T(OT) = 3000...3500$ uAPI Valori $(m_p)A, Ca =$ $= 1...4\%$	Valori σ mici: $\sigma = 2,0...2,03$ g/cm ³	Valori Δt medii: $\Delta t = 66...67$ $\mu s/pic$		În prezența impurităților argilose, marnose (mai ales în breșele săruri): $N_T(OT)$ scade: - σ crește $(m_p)A, Ca$ crește: Δt crește
Roci erup- tive și me- tanorice (fundament cristalin)	Compacte	Valori I_f mari și foarte mari: $I_f = 50...200$ uAPI	Valori $N_T(OT)$ foarte mari: $N_T(OT) = 3000...4000$ uAPI Valori $(m_p)A, Ca =$ $= 2...2\%$	Valori σ mari: $\sigma = 2,8...3,0$ g/cm ³	Valori Δt mici spre medii: $\Delta t = 56...57$ $\mu s/pic$		
Roci erup- tive și meta- morfe fund- ament cristo- alin (silvan) și alterare	Porose- permeabile în zonele de fisurare	Valori I_f mari și foarte mari: $I_f = 50...150$ uAPI	Valori $N_T(OT)$ inter- medie: $N_T(OT) = 1000...3000$ uAPI Valori $(m_p)A, Ca =$ $= 2...10\%$	Valori σ mari spre medii: $\sigma = 2,5...2,8$ g/cm ³	Valori Δt mici spre medii: $\Delta t = 57...65$ $\mu s/pic$		Parametrii depind de gre- șul de fisurare sau al- tețare a rocilor și de conținutul în fluide.

Notă: I_f - intensitatea radiației gamma pe CG, uAPI
 $(m_p)A, Ca$ - porozitatea aparentă pentru calcare din CML, %
 $\{m_p\}A$ - porozitatea aparentă din CD, %
 $(m_p)A$ - porozitatea aparentă din CA, %
 $N_T(OT)$ - densitatea neutronilor termici (epitermici) din CL, uAPI
 σ - densitatea globală a formației din CD, g/cm³
 Δt - timpul de parcurs unitar (timpul de interval)
 din CA, $\mu s/pic$

(după A. Neguț și Gh. Stănescu, 1972 - cu completări)

Tabul 8.2.

Litologia formațiunii geologice	Caracterul formațiunilor	Potențialul spontan-PS	Reprezentarea în diagrame				Factori geologici care pot produce variații valorilor de rezistivitate și potențial spontan
			Dispozitive cu investigare mare și adâncă (ρ_A) _{m,s}	Dispozitive cu investigare su- perficială (ρ_A) _s	Microdispozitive (ρ_A) _{m,s}	Raportul dintre rezistivități	
1	2	3	4	5	6	7	8
Argile	Impermeabile	Valori "nule" sau "anomalii" electro- pozitive pentru: - $\rho_{ai} > \rho_{fn}$ ($\rho_{ai} < \rho_{fn}$) și $\rho_h > \rho_l$; "Anomalii" electro- negative, pentru: - $\rho_{ai} < \rho_{fn}$ ($\rho_{ai} > \rho_{fn}$) și $\rho_h < \rho_l$	Valori reduse ρ_A , cuprinse în domeniul: $\rho_A = 1...10 \Omega m$ Pentru depozite continentale, valorile de rezistivitate pot fi cuprinse în domeniul: $\rho_A = 20...30 \Omega m$			Valori egale (ρ_A) _{m,s} = (ρ_A) _s = = (ρ_A) _{m,s} = (ρ_A) _s = = (ρ_A) _{m,s} = (ρ_A) _s = = (ρ_A) _{m,s} = (ρ_A) _s =	Parametrul ρ_A poate crește datorită următoarelor fenomene: - creșterea compactării și - scăderea conținutului în - săruri a apelor din bazinul de sedimentare. - mărirea conținutului de ci- ment-silicic; - mărirea concentrației în săruri a apelor din bazinul de sedimentare.
Sisturi argiloase	Impermeabile	Idem	Valori în general reduse ρ_A , mai mari decât ale argilelor cuprinse în domeniul: $\rho_A = 5...30 \Omega m$			Valori egale (ρ_A) _{m,s} = (ρ_A) _s = = (ρ_A) _{m,s} = (ρ_A) _s = = (ρ_A) _{m,s} = (ρ_A) _s =	Parametrul ρ_A crește în cazul glaciunilor dislocate.
Marne	Impermeabile	Idem	Valori în general reduse ρ_A , în domeniul: $\rho_A = 1,5...10 \Omega m$ In cazuri deosebite, valori variabile în limite mari: $\rho_A = 5...100 \Omega m$			Valori egale (ρ_A) _{m,s} = (ρ_A) _s = = (ρ_A) _{m,s} = (ρ_A) _s = = (ρ_A) _{m,s} = (ρ_A) _s =	Parametrul ρ_A crește cu con- ținutul de aleurite și mai ales cu conținutul de CO_2 Ca.
Nisipuri	Porose- permeabile	"Anomalii" electro- negative pentru: - $\rho_{ai} > \rho_{fn}$ ($\rho_{ai} < \rho_{fn}$) și $\rho_h > \rho_l$ PS = 50 ... 200 mV "Anomalii" electro- pozitive pentru: - $\rho_{ai} < \rho_{fn}$ ($\rho_{ai} > \rho_{fn}$) și $\rho_h < \rho_l$	Valori mici și chiar foarte mici, cuprinse în domeniul: (ρ_A) _{m,s} = 0,5...10 pt. formațiuni saturate cu apă de răciment mi- neralizată Valori mari și chiar foarte mari cuprinse în domeniul: (ρ_A) _{m,s} = 20...500 pt. formațiuni petrolifere și gezefere.	Valori medii în domeniul (ρ_A) _s = = 5...20 Ωm (pt. porosele dulci cîn ≤ 50 g/l) Valori mici în domeniul (ρ_A) _s = = 1...10 Ωm (pt. noroale mi- neralizate, cîn > 50 g/l)	Valori mici spre medii (ρ_A) _{m,s} = = 1...20 Ωm (în funcție de concentrația fil- tratului de noroi)	Formațiuni cu apă mineraliza- tă: (ρ_A) _{m,s} < (ρ_A) _s Formațiuni cu hidrocarburi: (ρ_A) _{m,s} > (ρ_A) _s Pe microcaroteaj: (ρ_A) _{m,s} < (ρ_A) _s (ρ_A) _{m,s} > (ρ_A) _s (ρ_A) _{m,s} < (ρ_A) _s (ρ_A) _{m,s} > (ρ_A) _s (separație pozi- tivă)	Parametrul ρ_A crește în ur- matoarele cazuri: - creșterea conținutului în hidrocarburi și scăderea con- ținutului în apă de răciment (mineralizată); - scăderea concentrației în săruri a apelor de răciment. "Anomalia" PS este mai mare în cazul rocilor saturate cu apă, decât în cazul celor sa- turate cu hidrocarburi.

1	2	3	4	5	6	7	8
Nisipuri argiloase	Porose-permeabile	"Anomalii" electropozitive pentru $-c_{ai} > c_{fn}$ ($\rho_{ai} < \rho_{fn}$) și $\rho_{ai} > \rho_{fn}$ Valori mai mici ca în cazul nisipurilor "cu rate"; "Anomalii" electropozitive pentru $-c_{ai} < c_{fn}$ ($\rho_{ai} > \rho_{fn}$) și $\rho_{ai} < \rho_{fn}$.	Valori mici și chiar foarte mici, cuprinse în domeniul (ρ_{ai}) _{m,a} = 0.5...50 m, pentru formațiuni saturate cu apă de zăcămint mineralizată. Valori medii spre mari, cuprinse în domeniul (ρ_{ai}) _{m,a} = 5...50 m, pentru formațiuni petroliifere și gazeifere.	Valori medii spre mici, în domeniul: (ρ_{ai}) _s = 2...10 m (pt. noroale dulci, c _{fn} ≤ 50 g/l). Valori mici, în domeniul (ρ_{ai}) _s = 1...50 m, (pt. noroale mineralizate, c _{fn} > 50 g/l).	Valori mici spre medii (ρ_{ai}) _{mior} = 1...10 m (în funcție de concentrația filtratului de noroi).	Formațiuni cu apă mineralizată: (ρ_{ai}) _{m,a} < (ρ_{ai}) _s Formațiuni cu hidrocarburi: (ρ_{ai}) _{m,a} > (ρ_{ai}) _s Pe microcarotaj: (ρ_{ai}) _{mior,AM} > (ρ_{ai}) _{mior,AO} ("separația pozitivă")	Parametrul ρ_{ai} scade în cazul creșterii conținutului de sare în formațiune. Trundată depinde de rezistivitatea proprie a materialului argilos. Mărima "anomaliei" este asociată cu o creștere volumului de material argilos.
Gresii	Porose-permeabile	Aceleași "anomalii" ca în cazul nisipurilor.	Valori mici, cuprinse în domeniul: (ρ_{ai}) _{m,a} = 1...20 m (pt. formațiuni saturate cu apă de zăcămint mineralizată). Valori mari și foarte mari (ρ_{ai}) _{m,a} = 25...100 m (pt. formațiuni petroliifere și gazeifere).	Valori medii spre mari în domeniul: (ρ_{ai}) _s = 10...50 m (pt. noroale dulci, c _{fn} ≤ 50 g/l). Valori mici spre medii în domeniul: (ρ_{ai}) _s = 5...20 m (pt. noroale mineralizate, c _{fn} > 50 g/l).	Valori medii (ρ_{ai}) _{mior} = 5...20 m (în funcție de concentrația filtratului de noroi).	Aceleași ra-poarte ca la nisipuri.	Aceleași factori ca în cazul nisipurilor.
Gresii	Compacte	Valori "nule".	Valori mari sau foarte mari, cuprinse în domeniul: $\rho_{ai} = 100 \dots 2000$ m.			Valori egale (ρ_{ai}) _{m,a} = (ρ_{ai}) _s Pe microcarotaj: (ρ_{ai}) _{mior,AM} = (ρ_{ai}) _{mior,AO}	Valoarea parametrului ρ_{ai} depinde în primul rând de rezistivitatea noroiului și de diametrul găurii de sondă.
Conglomerate și pietrișuri	Porose-permeabile	"Anomalii" electropozitive pentru $-c_{ai} > c_{fn}$ și res-pectiv electropozitive pentru $-c_{ai} < c_{fn}$ sau $\rho_{ai} > \rho_{fn}$ E _{PS} = 20...50 mV Valori "nule" pentru $c_{ai} = c_{fn}$	Valori mici, cuprinse în domeniul: (ρ_{ai}) _{m,a} = 1...10 m (pt. formațiuni saturate cu apă de zăcămint mineralizată). Valori mari și chiar foarte mari, cuprinse în domeniul: (ρ_{ai}) _{m,a} = 20...500 m (pt. formațiuni petroliifere și gazeifere, și formațiuni cu apă dulce	Valori medii spre mari în domeniul: (ρ_{ai}) _s = 10...50 m (pt. noroale dulci, c _{fn} ≤ 50 g/l). Valori mici spre medii, în domeniul: (ρ_{ai}) _s = 5...20 m (pt. noroale mineralizate, c _{fn} > 50 g/l).	Valori medii (ρ_{ai}) _{mior} = 5...20 m (în funcție de concentrația filtratului de noroi).	Aceleași ra-poarte ca la nisipuri și gresii	Parametrul ρ_{ai} crește cu creșterea dimensiunilor medii ale elementelor componente și coe-de cu creșterea conținutului de sare în argilă. Parametrul ρ_{ai} crește cu conținutul în hidrocarburi, precum și în cazul concentrațiilor mici în săruri a epelor de zăcămint (ape dulci). Parametrul E _{PS} este influențat de potențialul de elec-trofiltrație, pt. ρ_{ai} și ρ_{fn} .

1	2	3	4	5	6	7	8
Roci carbonatate (calcare, dolomite)	Porose-permeabile	"Anomaliile" electropozitive pentru: - $c_{ai} > c_{fn}$ ($\rho_{ai} < \rho_{fn}$) și $\rho_h > \rho_l$ $\rho_{PS} = -30 \dots -200$ mV "Anomaliile" electropozitive pentru: - $c_{ai} < c_{fn}$ ($\rho_{ai} > \rho_{fn}$) și $\rho_h < \rho_l$.	Valori medii spre mari, cuprinse în domeniul (ρ_A) _{m,a} = 20...2000 m pt. formațiuni saturate cu apă de răcamint mineralizată. Valori mari și foarte mari, cuprinse în domeniul: (ρ_A) _{m,a} = 200...10000 m pt. formațiuni petrolifere și gazeifere.	Valori medii spre mari, în domeniul: (ρ_A) _s = 200...10000 m (pt. noroale dulci, $c_{fn} \leq 50$ g/l). Valori medii, în domeniul: (ρ_A) _a = 20...1000 m (pt. noroale mineralizate, $c_{fn} > 50$ g/l)	Valori medii spre mari, în domeniul: (ρ_A) _{m,a} = 200...10000 m (in funcție de concentrația filtratului de noroi).	Formațiuni cu apă mineralizată: (ρ_A) _{m,a} < (ρ_A) _s < (ρ_A) _a < (ρ_A) _{MLL} . Formațiuni cu hidrocarburi: (ρ_A) _{m,a} > (ρ_A) _s > (ρ_A) _a > (ρ_A) _{MLL}	Parametrul ρ_A crește în următoarele cazuri: - la calcare cristalină și silicificate - scăderea porozității primare și/sau secundare (fisurare) - creșterea conținutului în hidrocarburi. Parametrul ρ_A scade în cazul calcarilor friabili, cavernoase și dolomitizate și la creșterea conținutului în apă de zăcămint mineralizată. Valoarea "anomaliilor" ρ_{PS} scade cu creșterea conținutului în material argilos.
Roci carbonatate (calcare, dolomite)	Compacte	Variațiile "lineare" a anomaliilor ρ_{PS}	Valori foarte mari cuprinse în domeniul: $\rho_A = 200 \dots 20000$ m	Valori foarte mari cuprinse în domeniul: $\rho_A = 1000 \dots 10000$ m	Valori egale (ρ_A) _{m,a} = (ρ_A) _s = (ρ_A) _a = (ρ_A) _{MLL}	Valoarea parametrului ρ_A depinde în primul rând de rezistivitatea mormintului și de diametrul găurii de sondă	Parametrul ρ_A crește mult în cazul zonelor de fisurare și alterare.
Depozite hidrochimice (sare anhidrit, silvina, gips).	Impermeabile	"Anomaliile" electropozitive sau electropozitive reduse sau valori nule.	Valori foarte mari cuprinse în domeniul: $\rho_A = 1000 \dots 10000$ m	Valori foarte mari cuprinse în domeniul: $\rho_A = 1000 \dots 10000$ m	Valori egale (ρ_A) _{m,a} = (ρ_A) _s = (ρ_A) _a = (ρ_A) _{MLL}	Parametrul ρ_A scade în cazul creșterii conținutului în impurități-constituite din esterii anhidritici	
Roci eruptive și metamorfice (fundament cristalin)	Compacte	Variațiile "lineare" a anomaliilor ρ_{PS}	Valori foarte mari cuprinse în domeniul: $\rho_A = 1000 \dots 10000$ m	Valori foarte mari cuprinse în domeniul: $\rho_A = 1000 \dots 10000$ m	Valori egale (ρ_A) _{m,a} = (ρ_A) _s = (ρ_A) _a = (ρ_A) _{MLL}	Formațiuni cu apă mineralizată: (ρ_A) _{m,a} < (ρ_A) _s < (ρ_A) _a < (ρ_A) _{MLL} . Formațiuni cu hidrocarburi: (ρ_A) _{m,a} > (ρ_A) _s > (ρ_A) _a > (ρ_A) _{MLL}	
Roci eruptive și metamorfice (fundament cristalin alterat)	Porose-permeabile, de fisurare și alterare	"Anomaliile" electropozitive pentru: - $c_{ai} > c_{fn}$ ($\rho_{ai} < \rho_{fn}$) și $\rho_h > \rho_l$ $\rho_{PS} = -50 \dots -150$ mV - $c_{ai} < c_{fn}$ ($\rho_{ai} > \rho_{fn}$) și $\rho_h < \rho_l$	Valori medii spre mari, cuprinse în domeniul (ρ_A) _{m,a} = 20...2000 m pt. formațiuni saturate cu apă de zăcămint mineralizată. Valori mari și foarte mari cuprinse în domeniul (ρ_A) _{m,a} = 200...10000 m în formațiuni petrolifere și gazeifere.	Valori medii spre mari, în domeniul: (ρ_A) _s = 200...10000 m (pt. noroale dulci, $c_{fn} \leq 50$ g/l). Valori medii, în domeniul (ρ_A) _a = 20...1000 m (pt. noroale mineralizate, $c_{fn} > 50$ g/l)	Valori medii spre mari, în domeniul: (ρ_A) _{m,a} = 200...10000 m (in funcție de concentrația filtratului de noroi).	Formațiuni cu apă mineralizată: (ρ_A) _{m,a} < (ρ_A) _s < (ρ_A) _a < (ρ_A) _{MLL} . Formațiuni cu hidrocarburi: (ρ_A) _{m,a} > (ρ_A) _s > (ρ_A) _a > (ρ_A) _{MLL}	

- a) Dispozitive gradientale: ρ_{AO} ($AO \geq 2$ m); laterolog: ρ_{IL7} , ρ_{IL3} , ρ_{IL1} și inducției ρ_{I1} , ρ_{I2} , ρ_{I3} .
- b) Dispozitive potențiale: ρ_{AM} ($AM = 0,3 - 0,4$ m); laterolog: ρ_{IL5} , ρ_{IL3} , ρ_{IL1} .
- c) Microdispozitive standard: ρ_{AM} ($AM = 2$ in = 50,8 mm), ρ_{AO} ($AO = 1,5$ in = 38,1 mm); focalizate: ρ_{MLL} , ρ_{MLL2} , ρ_{EL} .

ANEXE GRAFICE

ABACA 1

TEMPERATURA
FORMAȚIEI
solinitatea
noriului
Kg sare/vagon

ABACA

PENTRU CORECȚIA
REZISTIVITĂȚII
NORILOR
CU TEMPERATURA
FORMAȚIEI

10 20 30 40 50 60 80 100 150 200

0.008 0.01 0.02 0.03 0.04 0.05 0.07 0.1 0.2 0.3 0.4 0.5 0.6 0.8 1 1.5 2 3 4 5 6 8 9 10

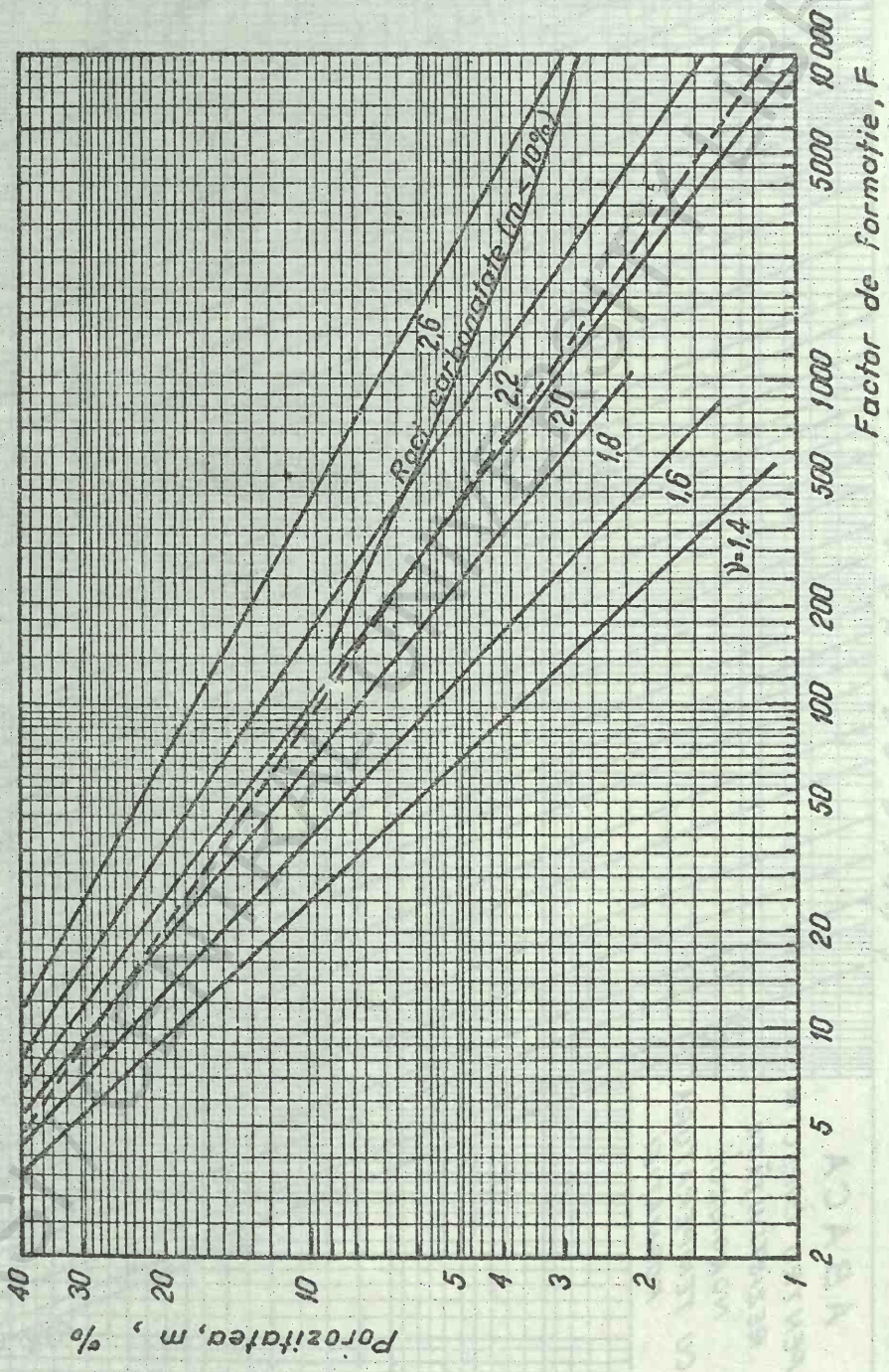
0.01

0.1

1

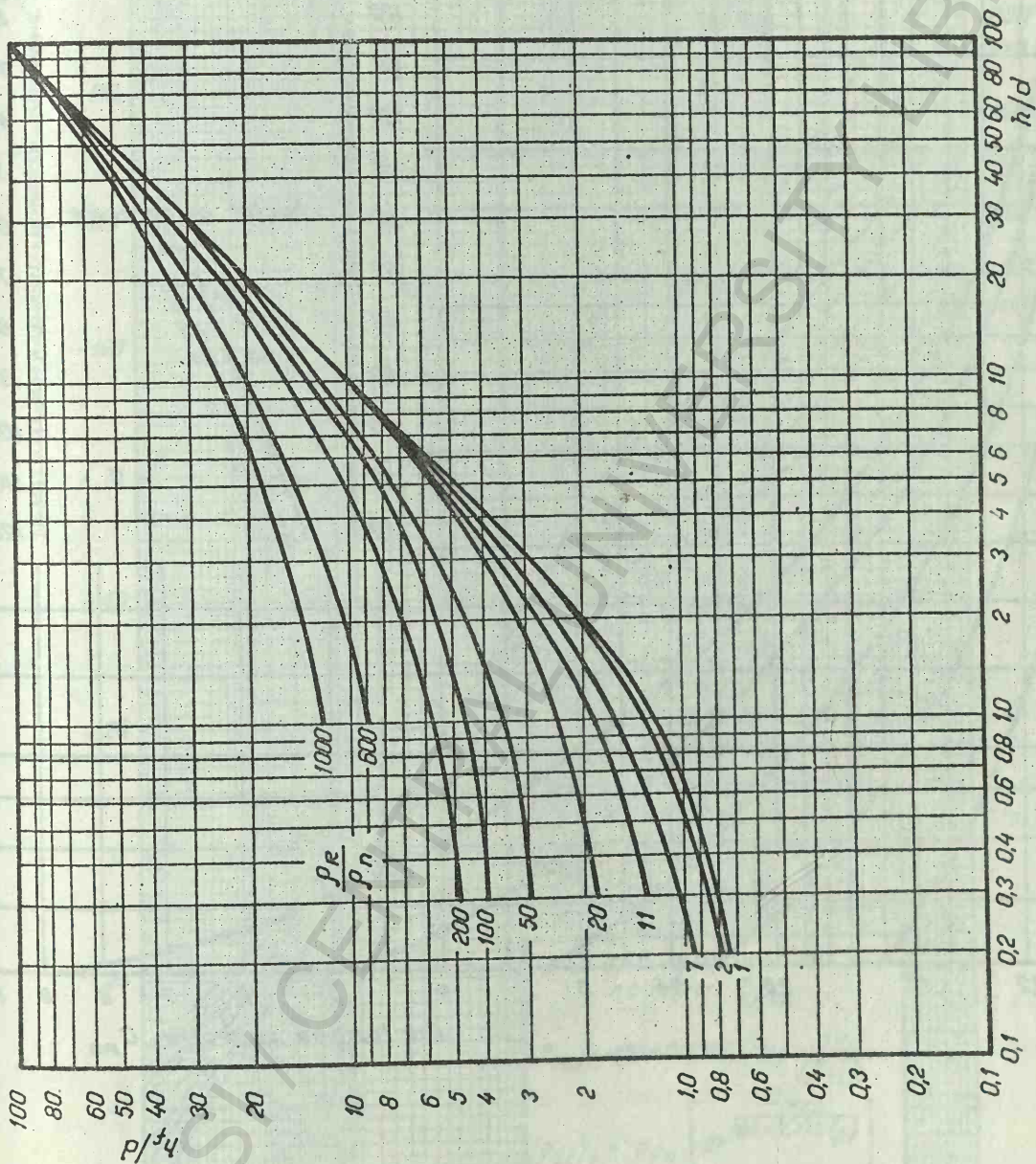
10

rezistivitatea norului, $\Omega \cdot m$
rezistivitatea filtrului de nori
rezistivitatea apei de zăcămint



Abacă pentru dependența factor de formație-porozitate (după Dresser Atlas Doc.)

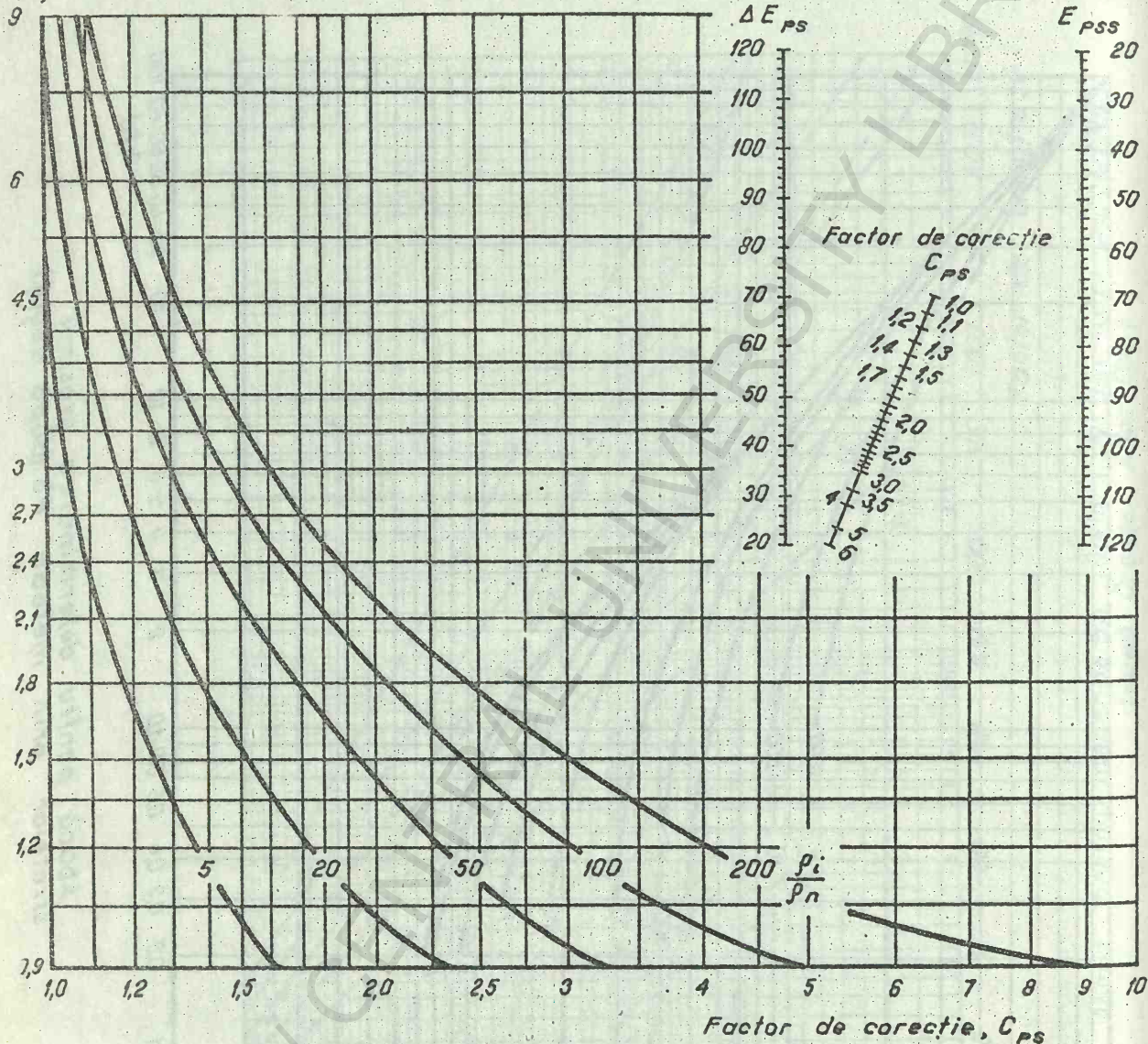
ABACA 3



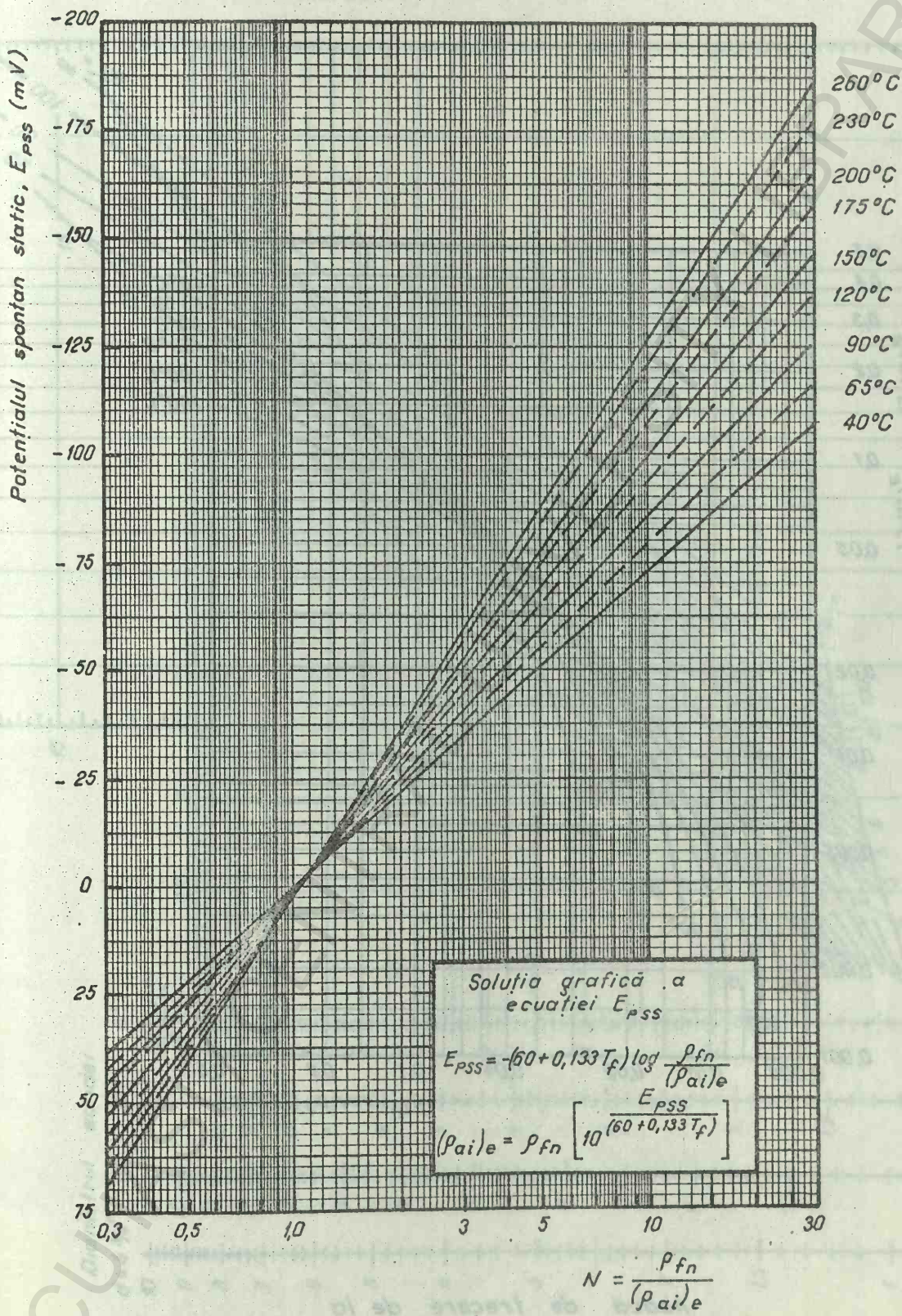
Abacă pentru determinarea grosimii
stratelor prin metoda PS (după Neguț)

ABACA 4

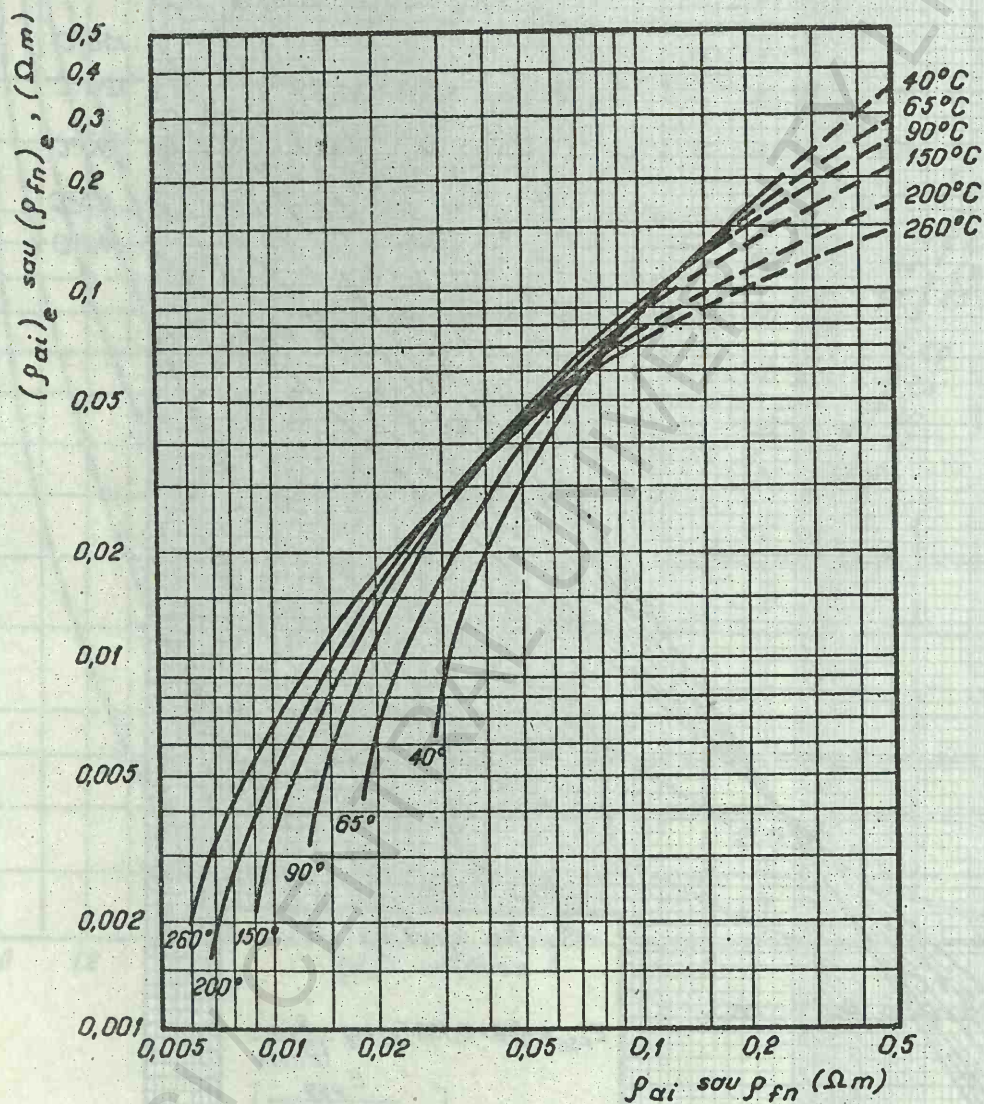
Grosimea stratului,
 h , (m)



Corecția potențialului spontan
înregistrat, ΔE_{ps} , cu grosimea stratului

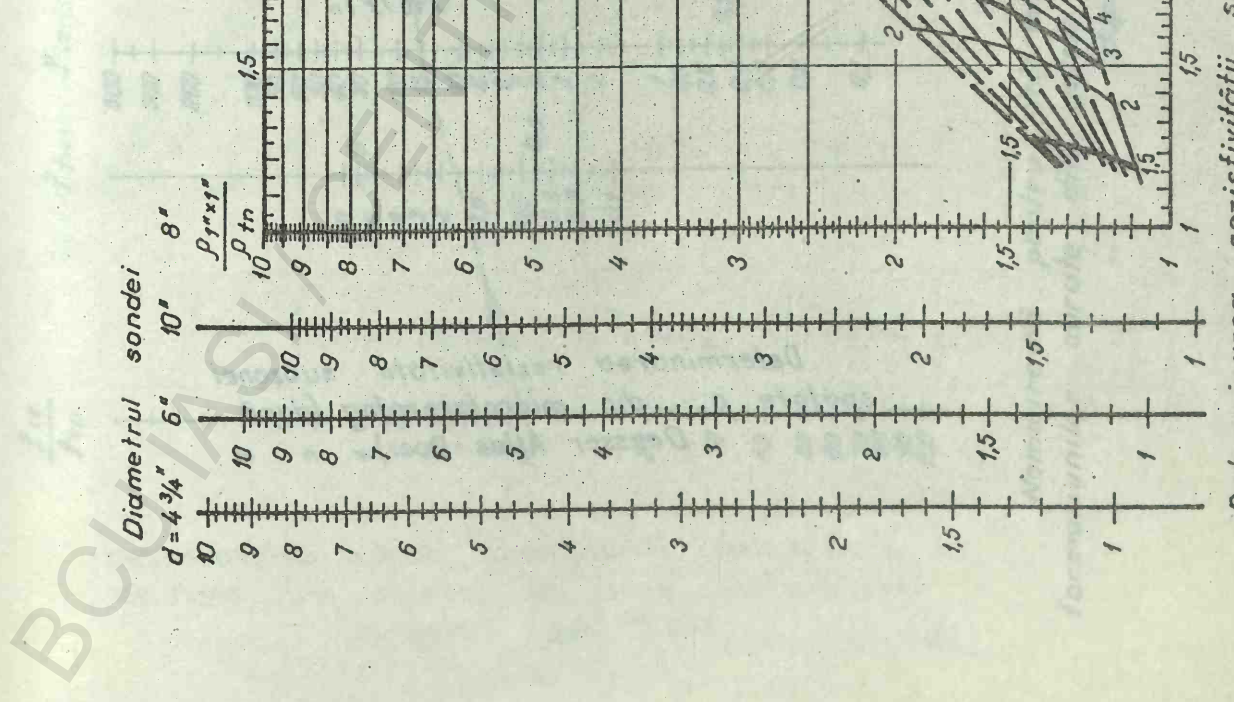


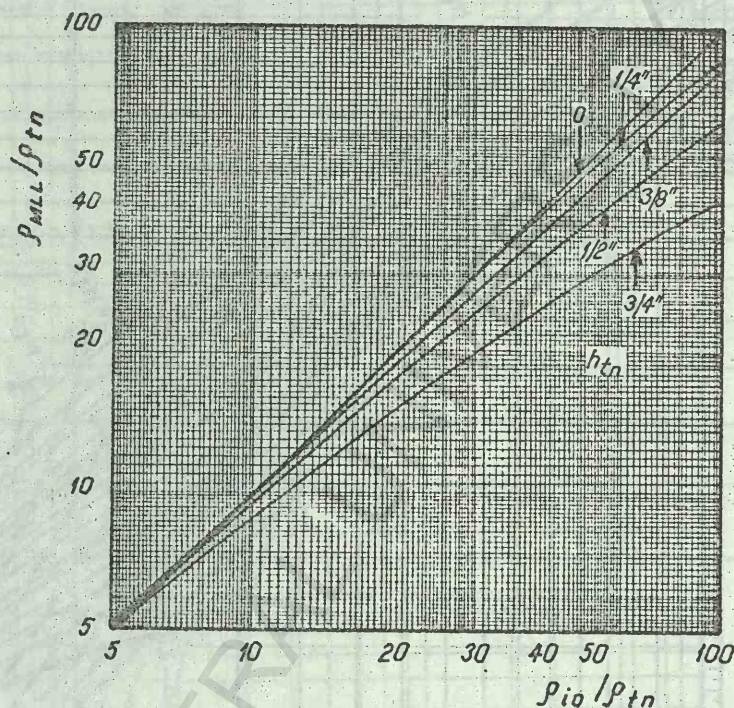
Determinarea rezistivității $(\rho_{ai})_e$
din E_{PSS} (formațiuni curate)



Abacă de trecere de la
valori reale ρ_{ai} , ρ_{fn} , la valori echivalente
 $(\rho_{ai})_e$ și $(\rho_{fn})_e$

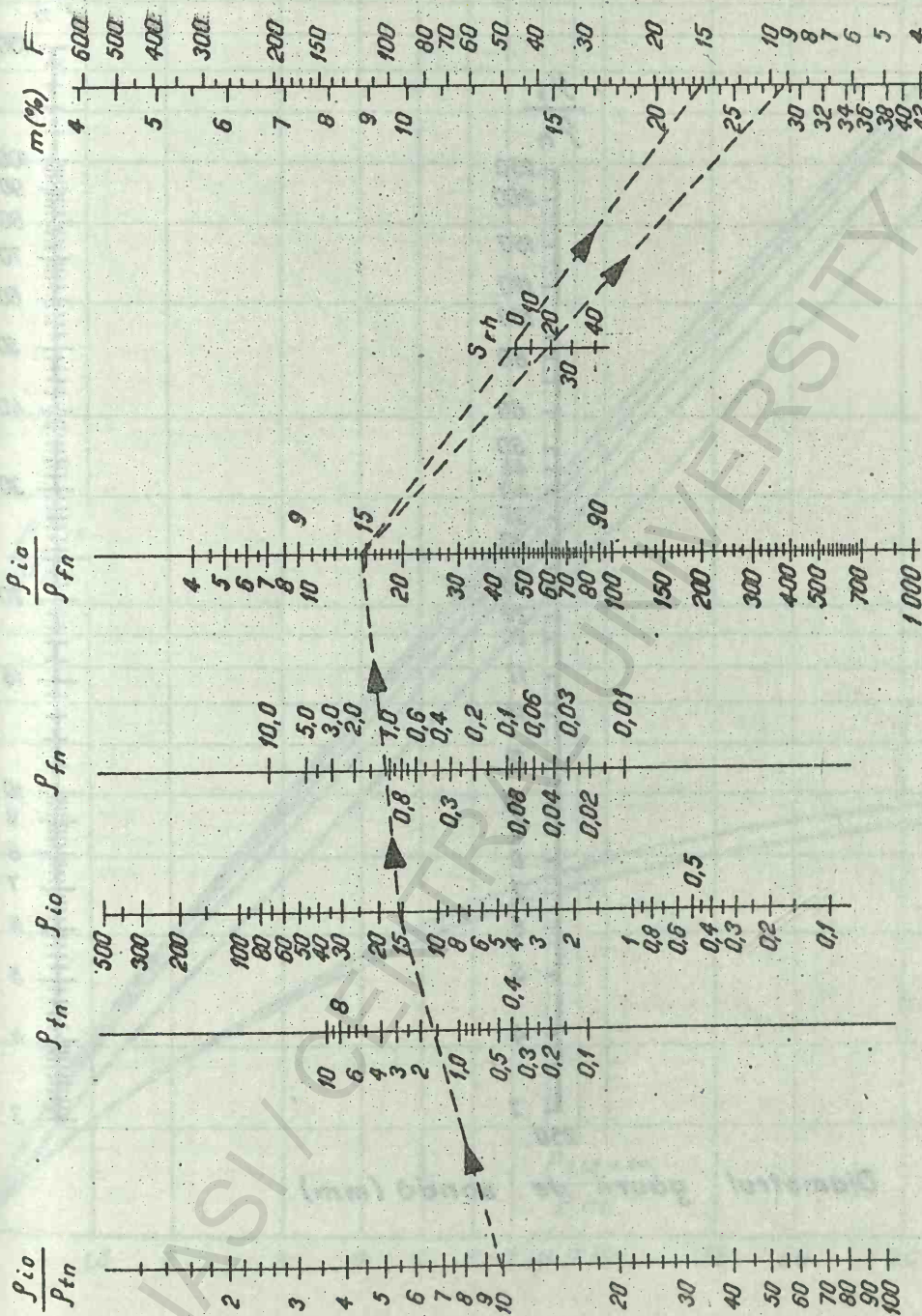
ABACA 7





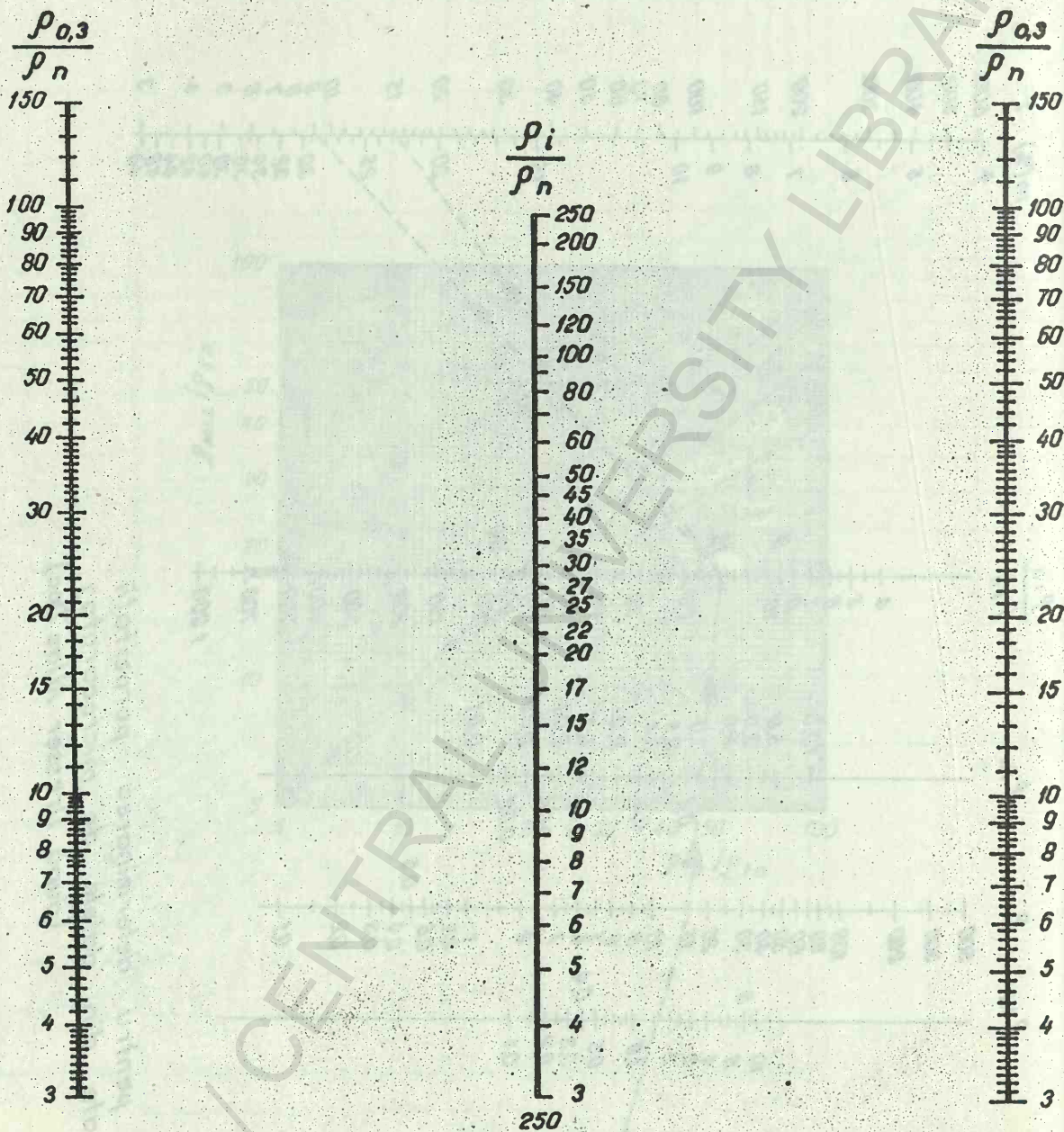
Determinarea rezistivității subzonei
spălate, p_{oi} , din microlaterolog (după
Dresser Atlas Doc.).

NOMOGRAMA 9



Nomogramă pentru determinarea porozității
formațiunilor curate din datele de microcarotaj
(după Dresser Atlas Doc)

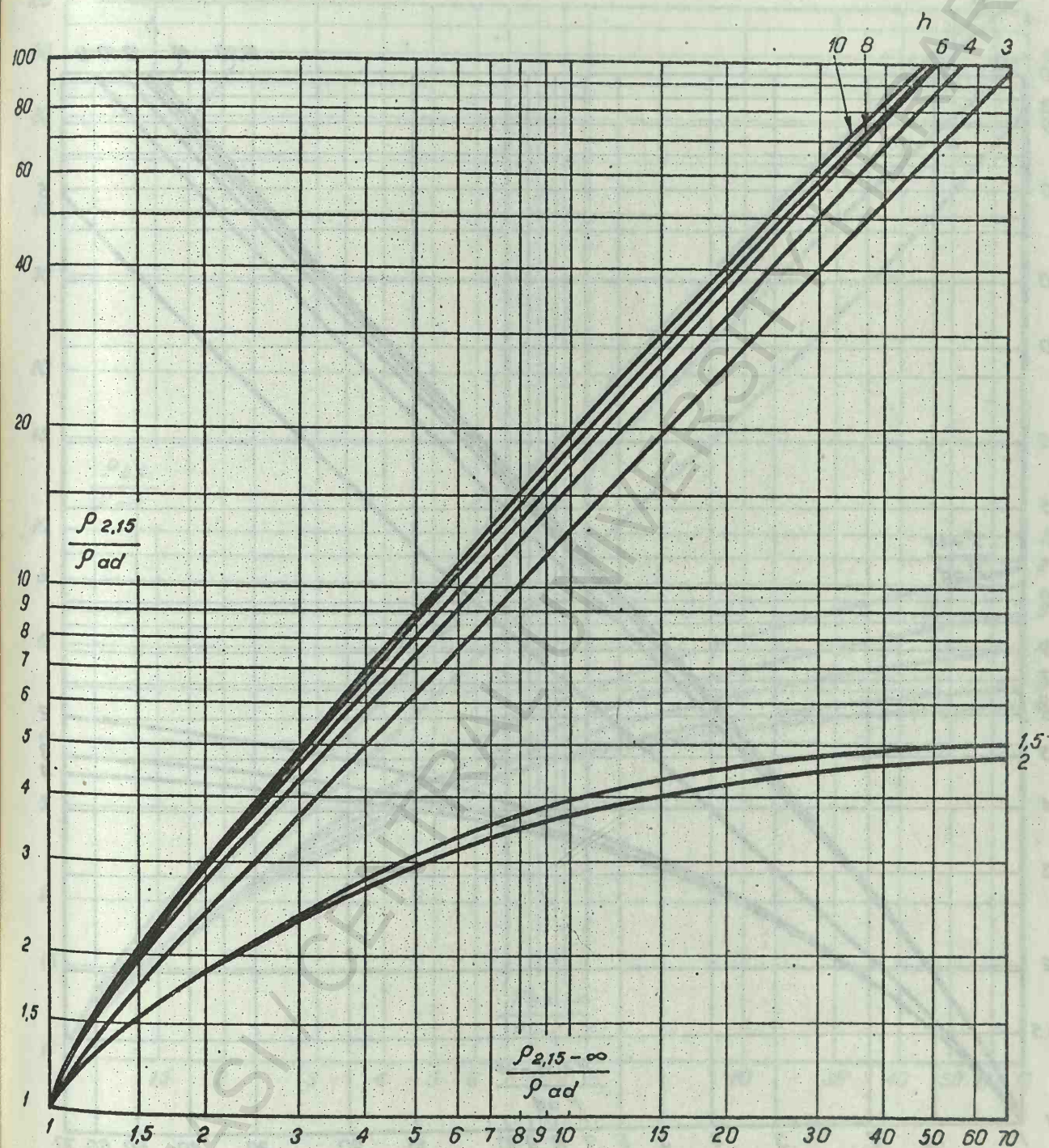
NOMOGRAMA 10



Diametrul găurii de sondă (mm)

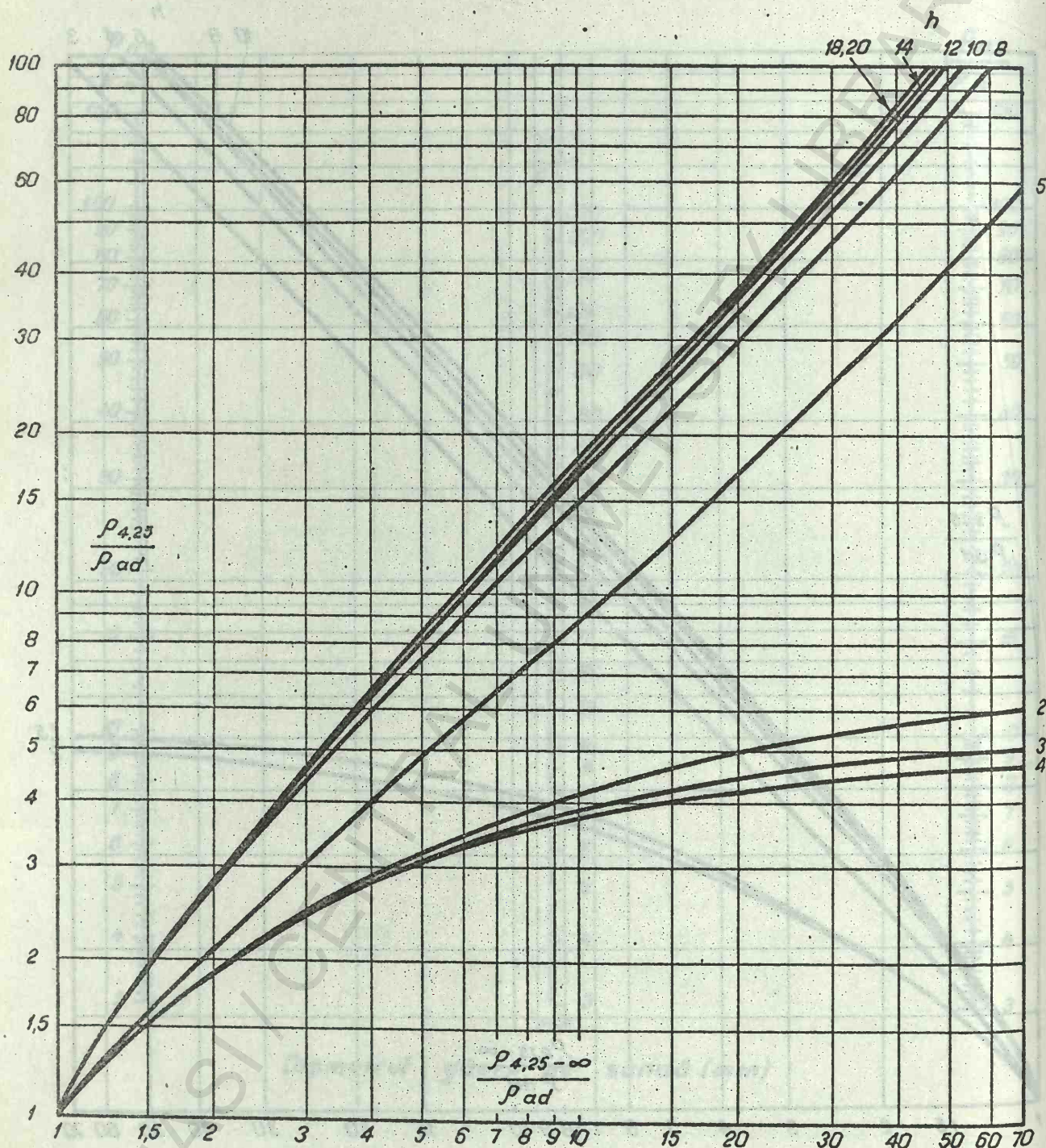
Nomogramă simplificată pentru determinarea rezistivității zonei de invazie prin metoda D.R.R. (după V. Negoită).

ABACA 11



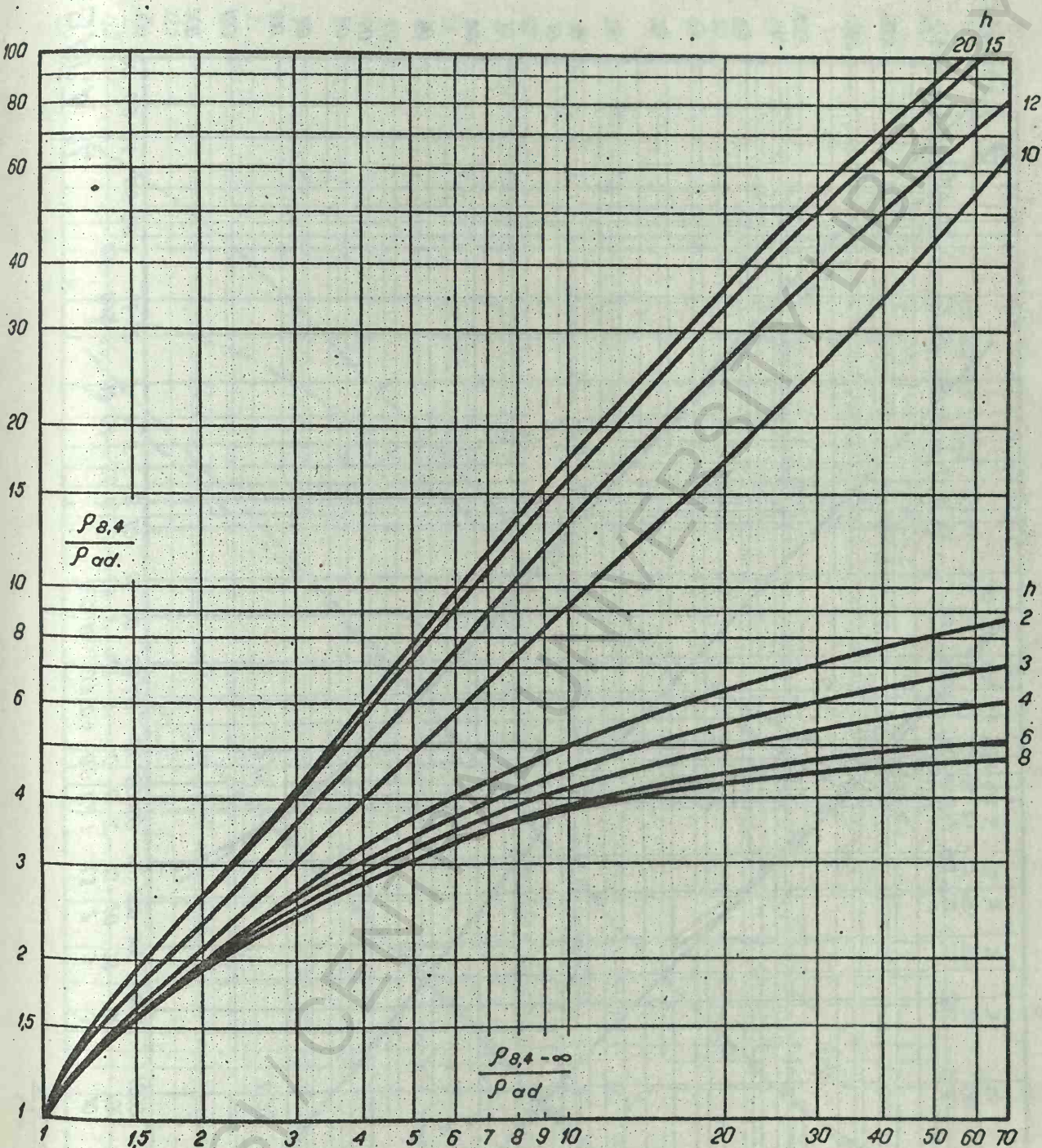
Abacă pentru corecția rezistivității cu
grosimea stratului pentru $\rho_{2,15}$ (după V. Negoită)

ABACA 12



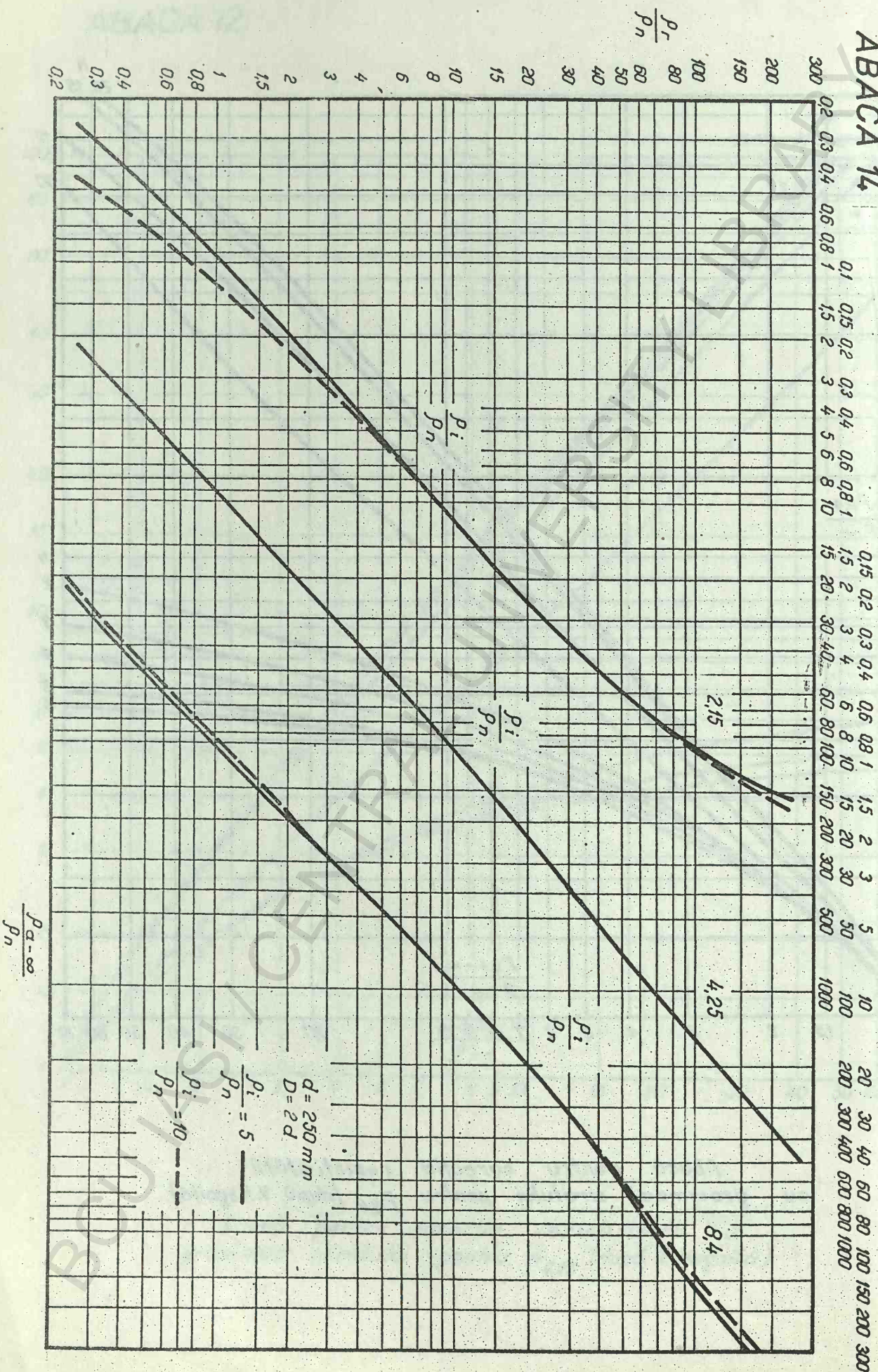
Abacă pentru corecția rezistivității cu
grosimea stratului pentru $\rho_{4,25}$ (după V. Negoită)

ABACA 13

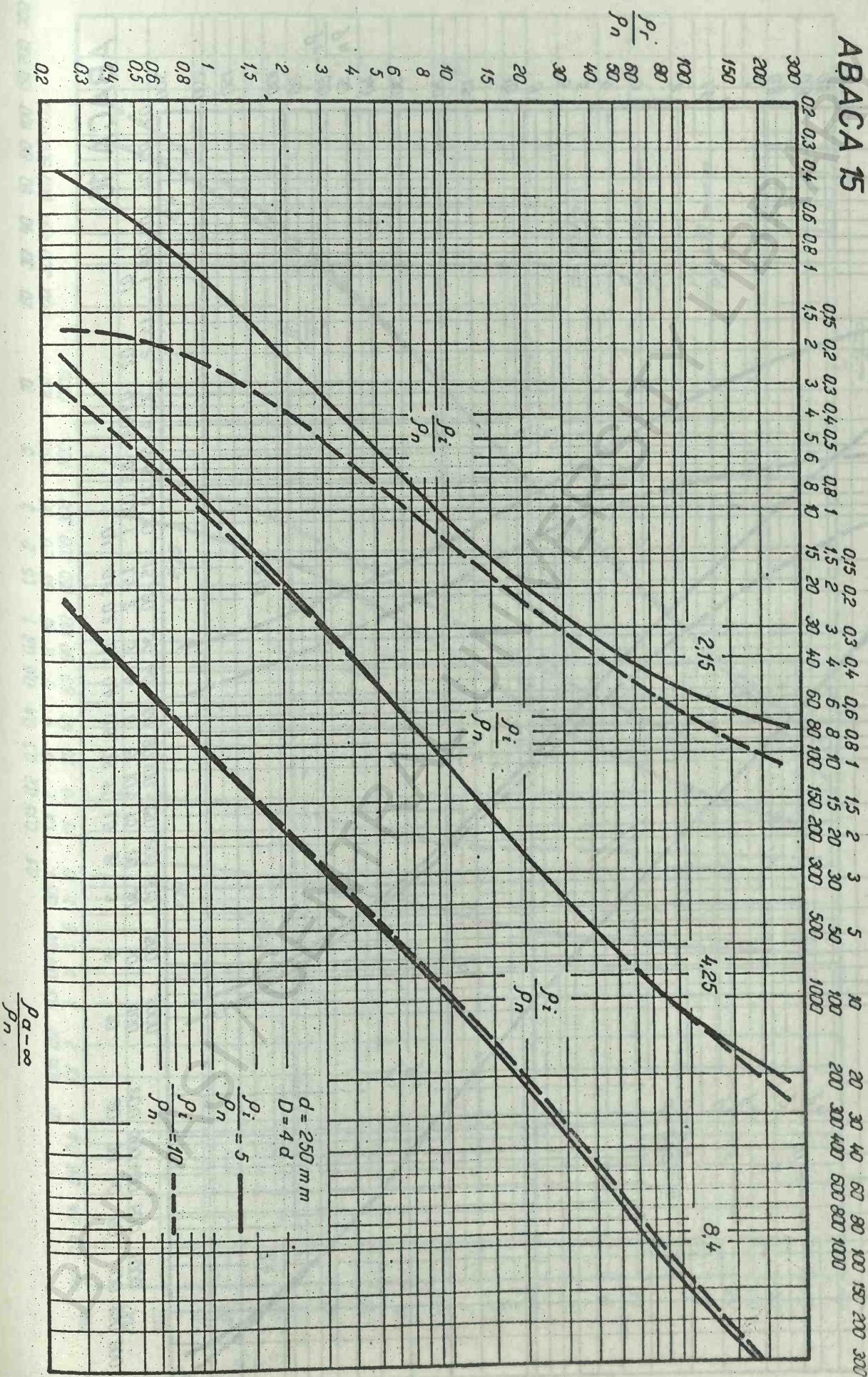


Abacă pentru corecția rezistivității
cu grosimea stratului pentru $\rho_{8,4}$ (după V. Negoită)

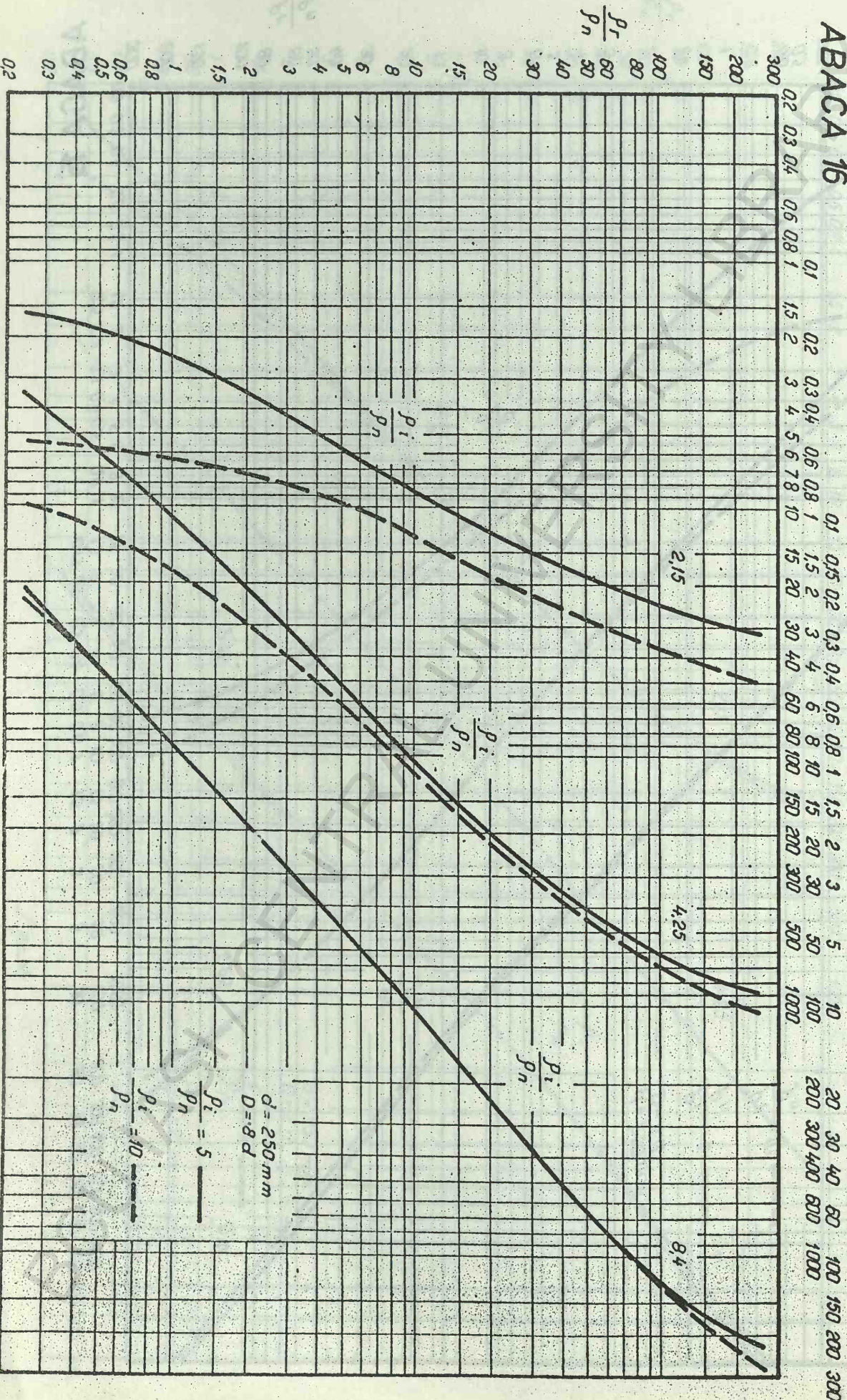
ABACA 14

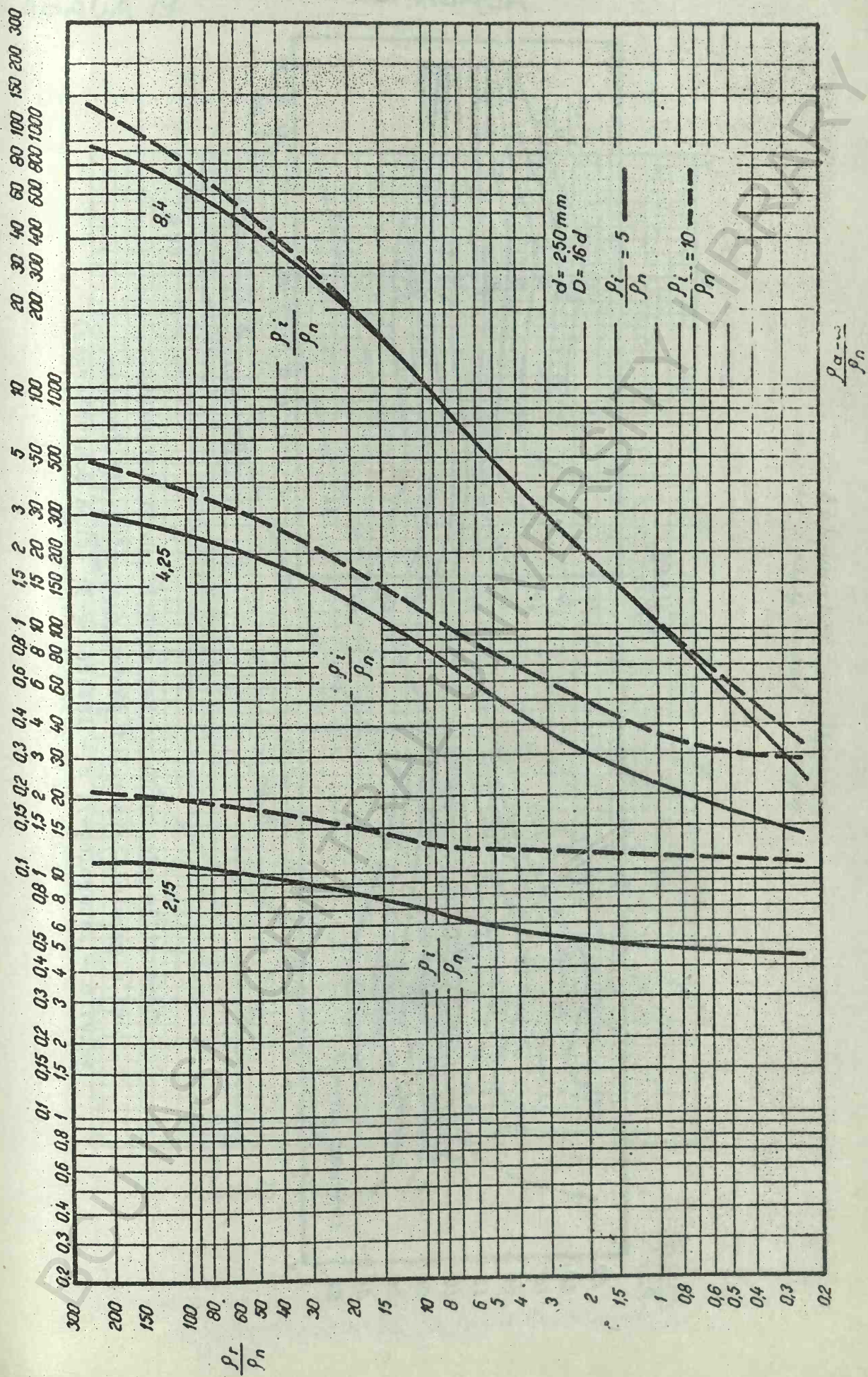


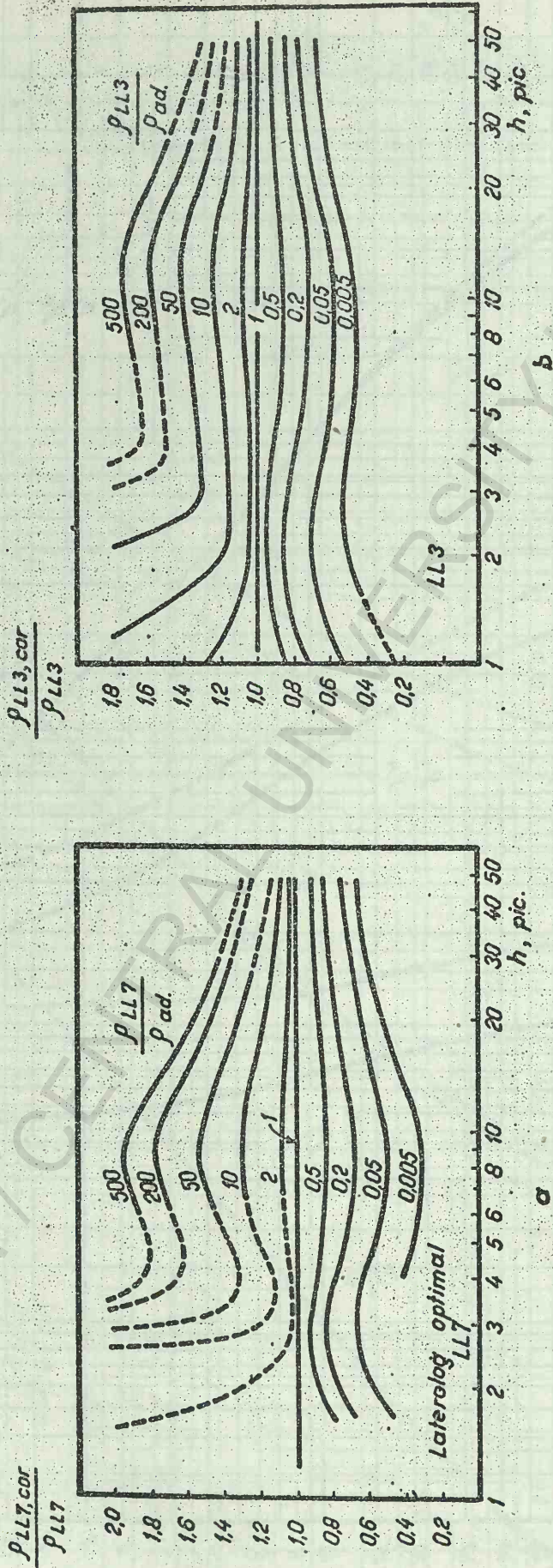
ABACA 15



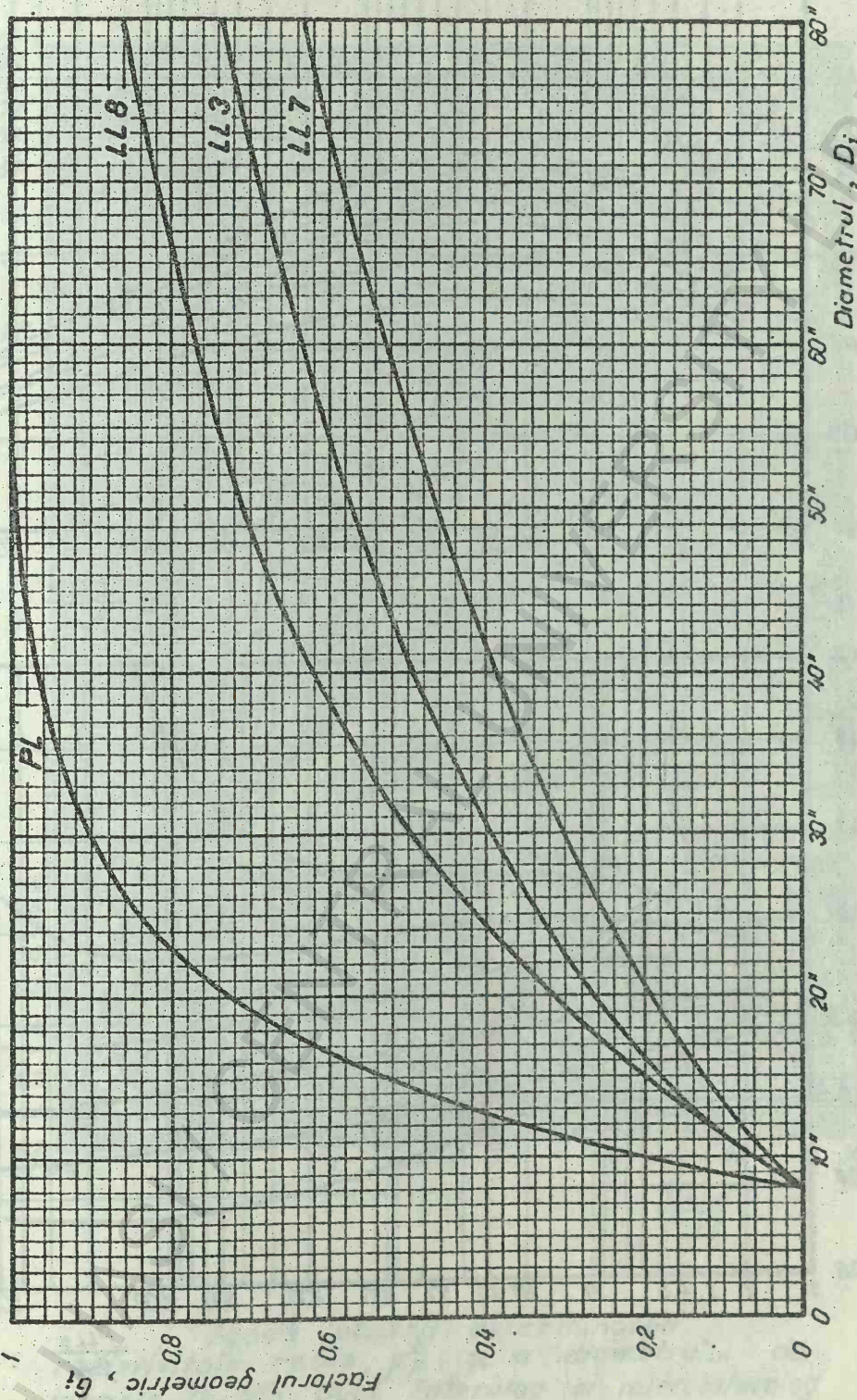
ABACA 16



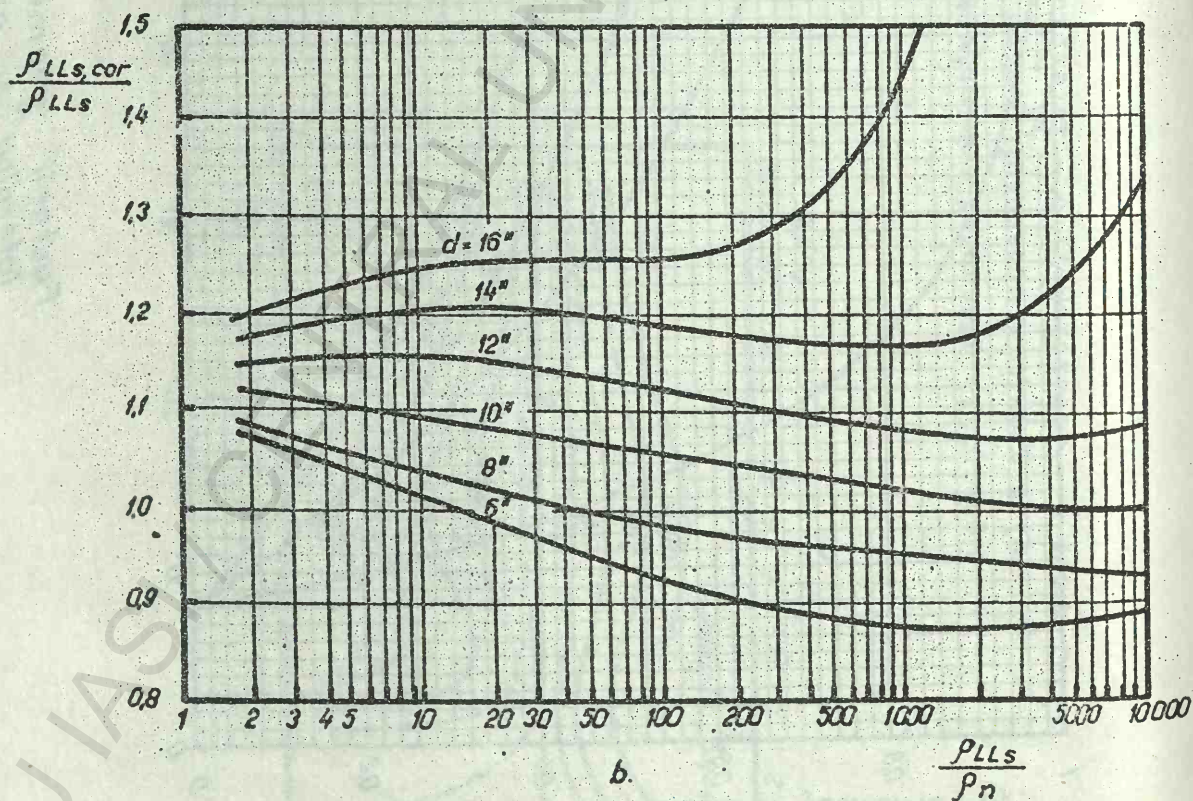
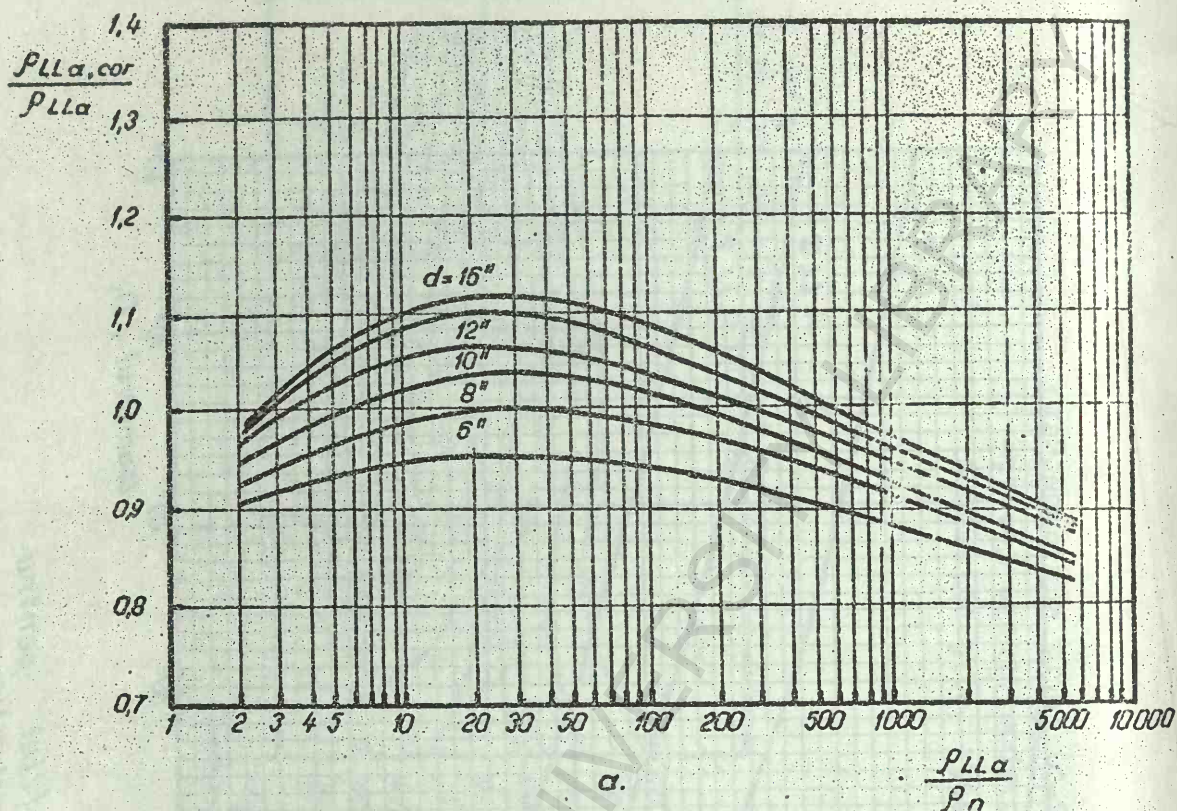




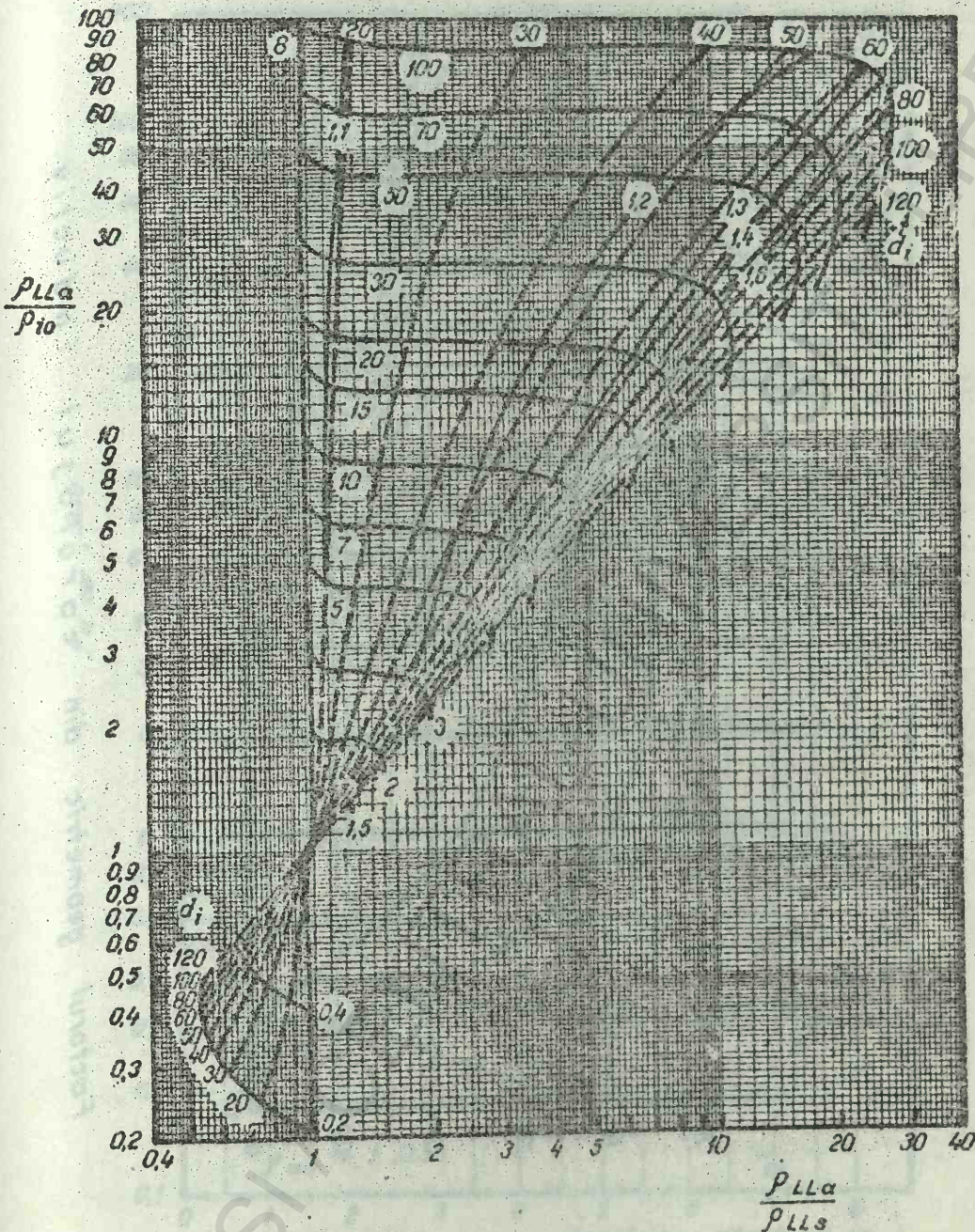
Corecțiile efectului rezistivității rocii adiacente
și a grosimii stratului pentru dispozitivele focali-
zate: a - laterolog-7; b - laterolog-3; (după Schlumberger)



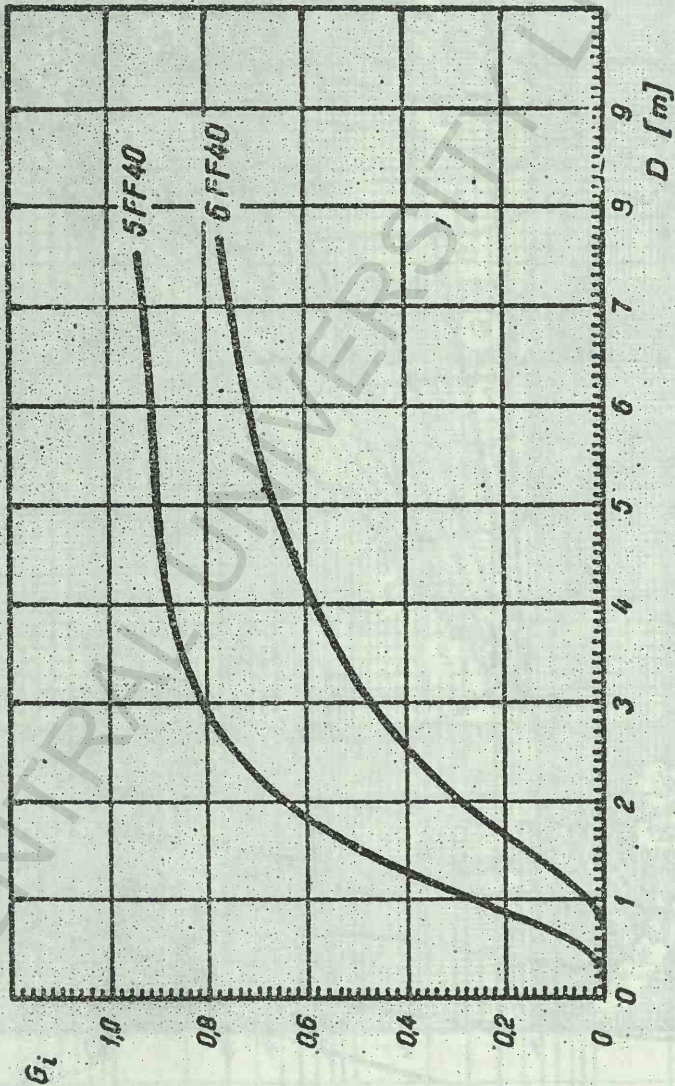
Factorii geometrici pentru laterolog și proximitillog



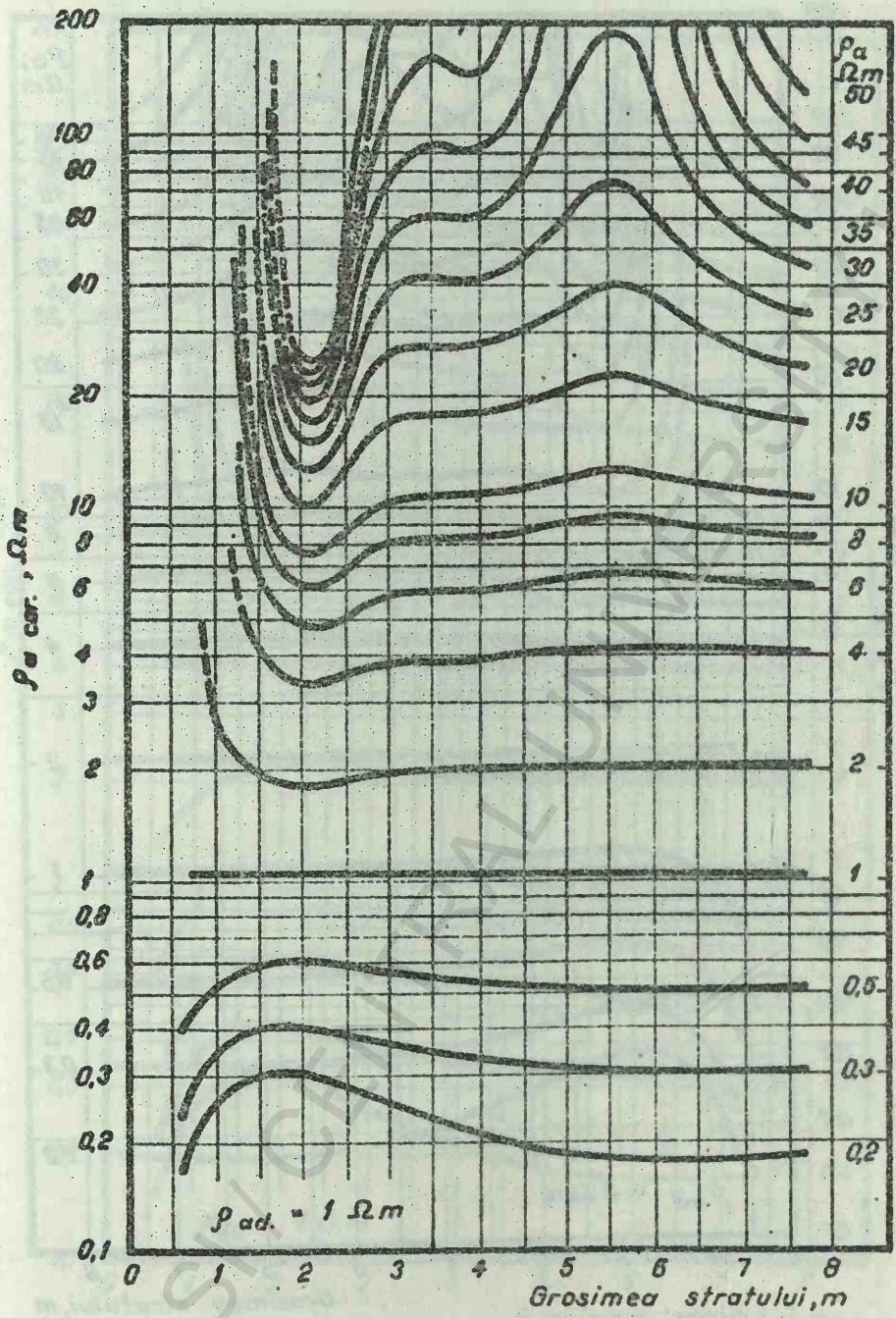
Corecția efectului găurii de sondă
 pentru dispozitive focalizate : a - dispozitiv cu
 investigație adîncă ; b - dispozitiv cu investigație
 superficială (după, Dresser Atlas Doc.)



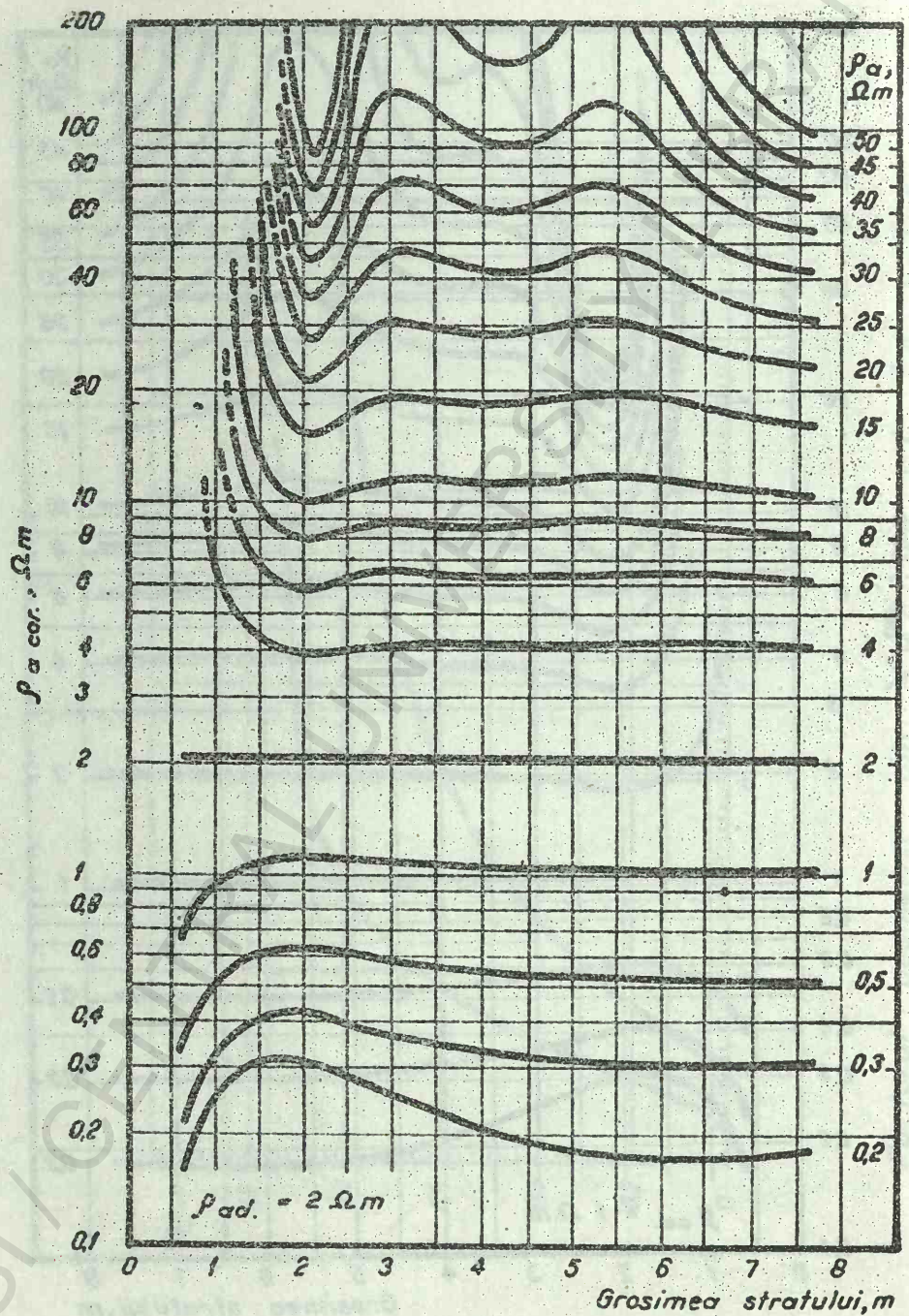
Abacă pentru determinarea rezistivității reale, ρ_R , și a diametrului de invazie, D , din dual laterolog și microlaterolog (ρ_{io}) (după Dresser Atlas Doc.)



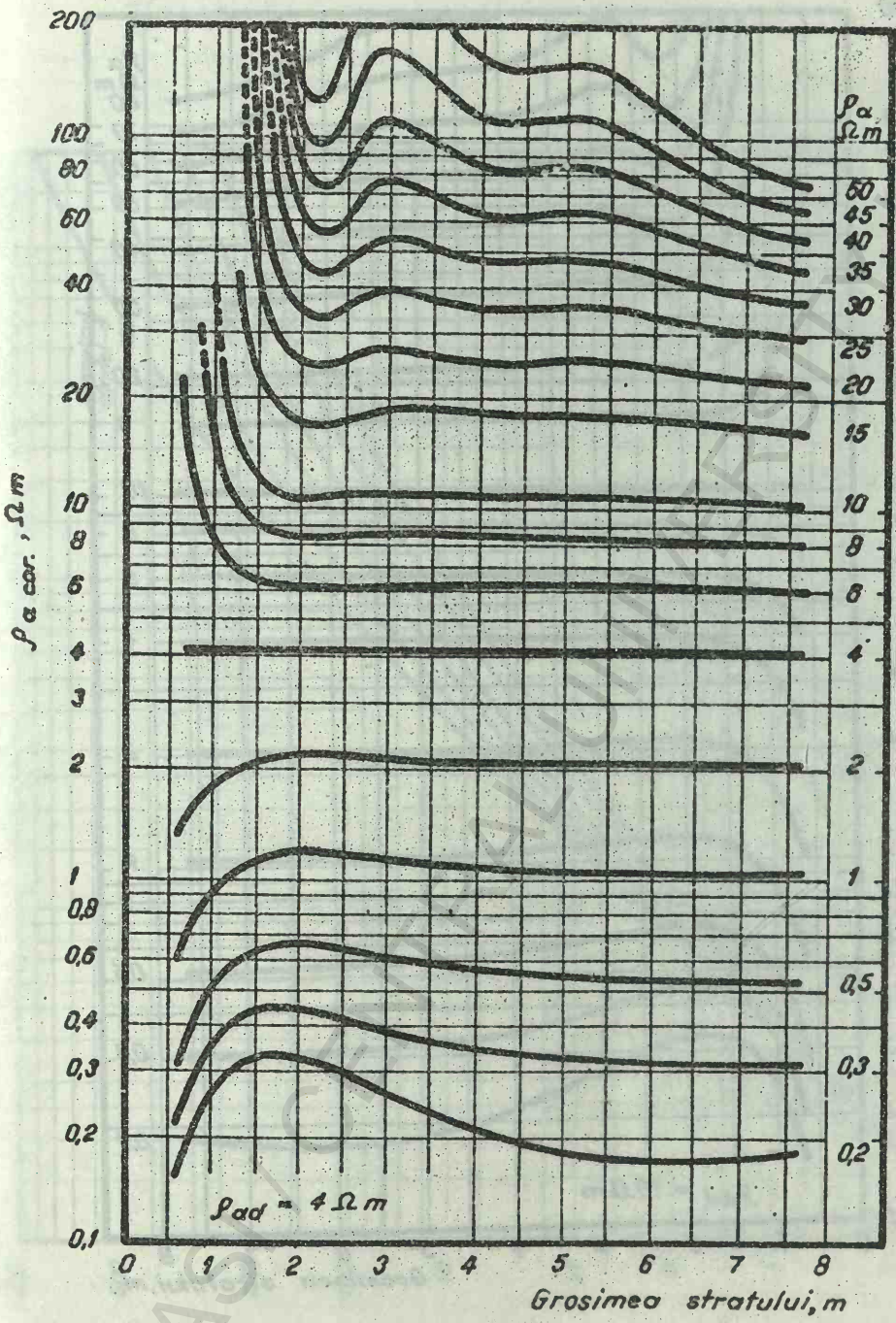
Factorul geometric din carotajul inductiv



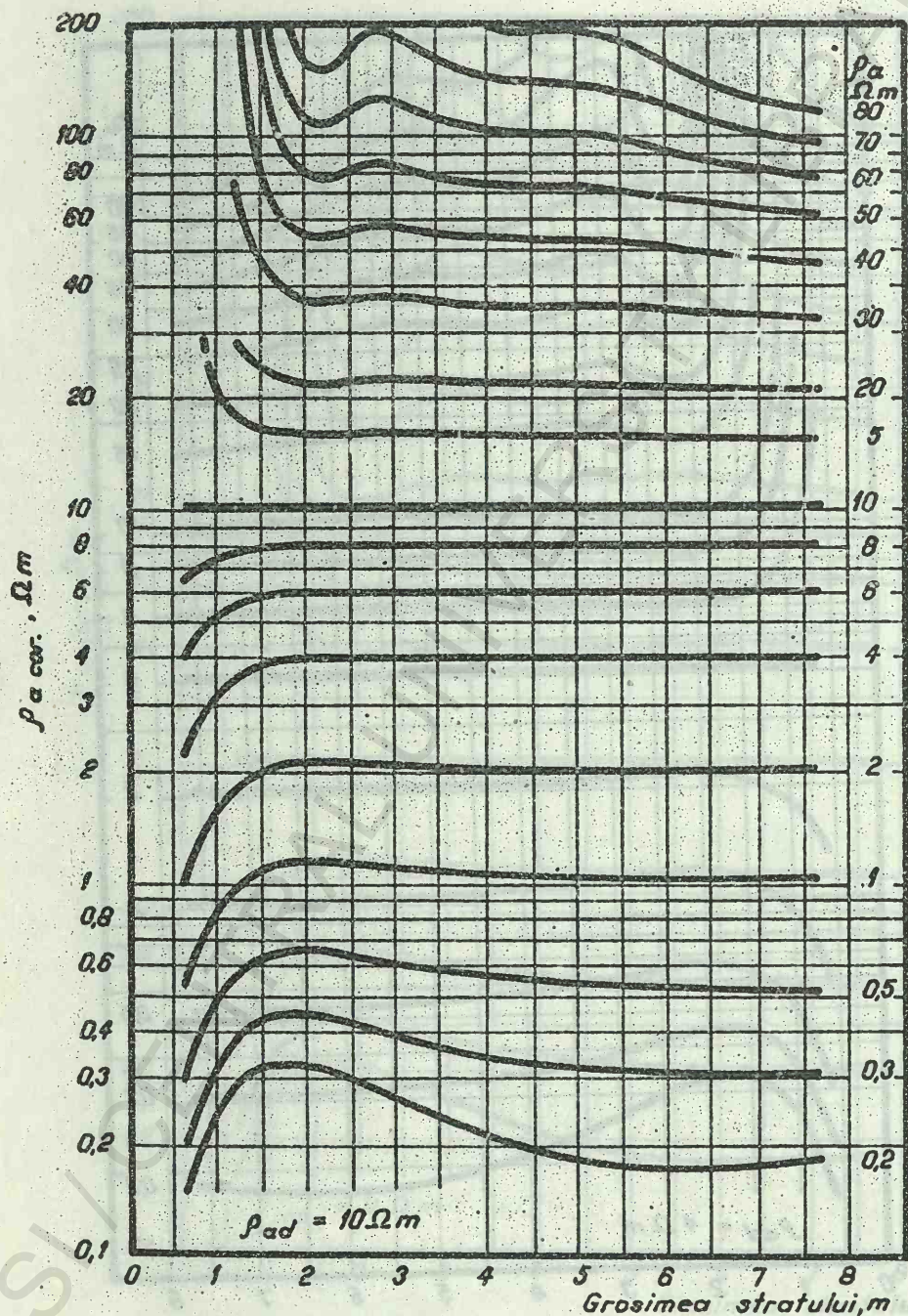
Corecția rezistivității cu grosimea stratului pentru dispozitivul de inducție (după Schlumberger)



Corecția rezistivității cu grosimea stratului
pentru dispozitivul de inducție (după Schlumberger)

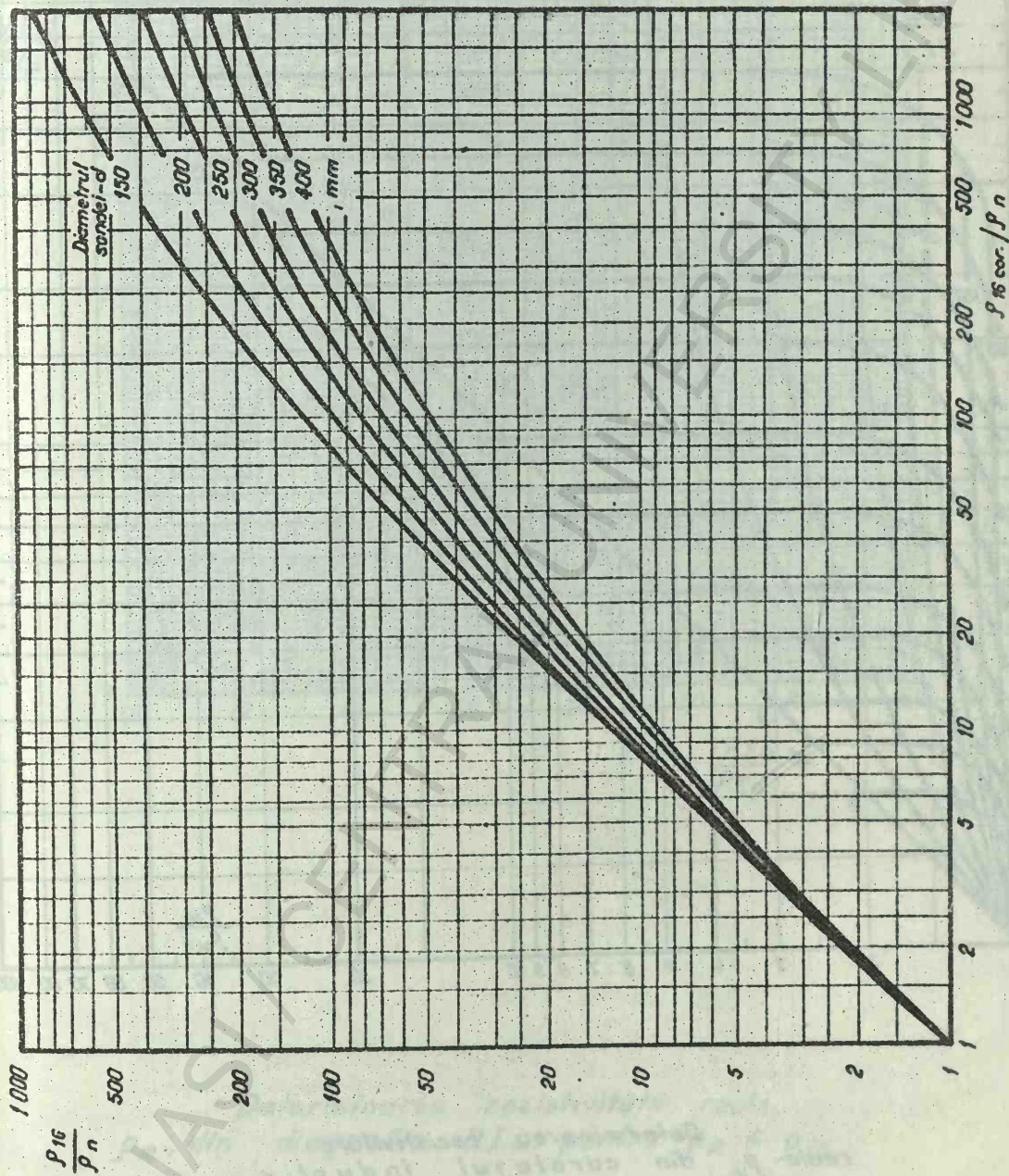


Corecția rezistivității cu grosimea stratului pentru dispozitivul de inducție (după Schlumberger)



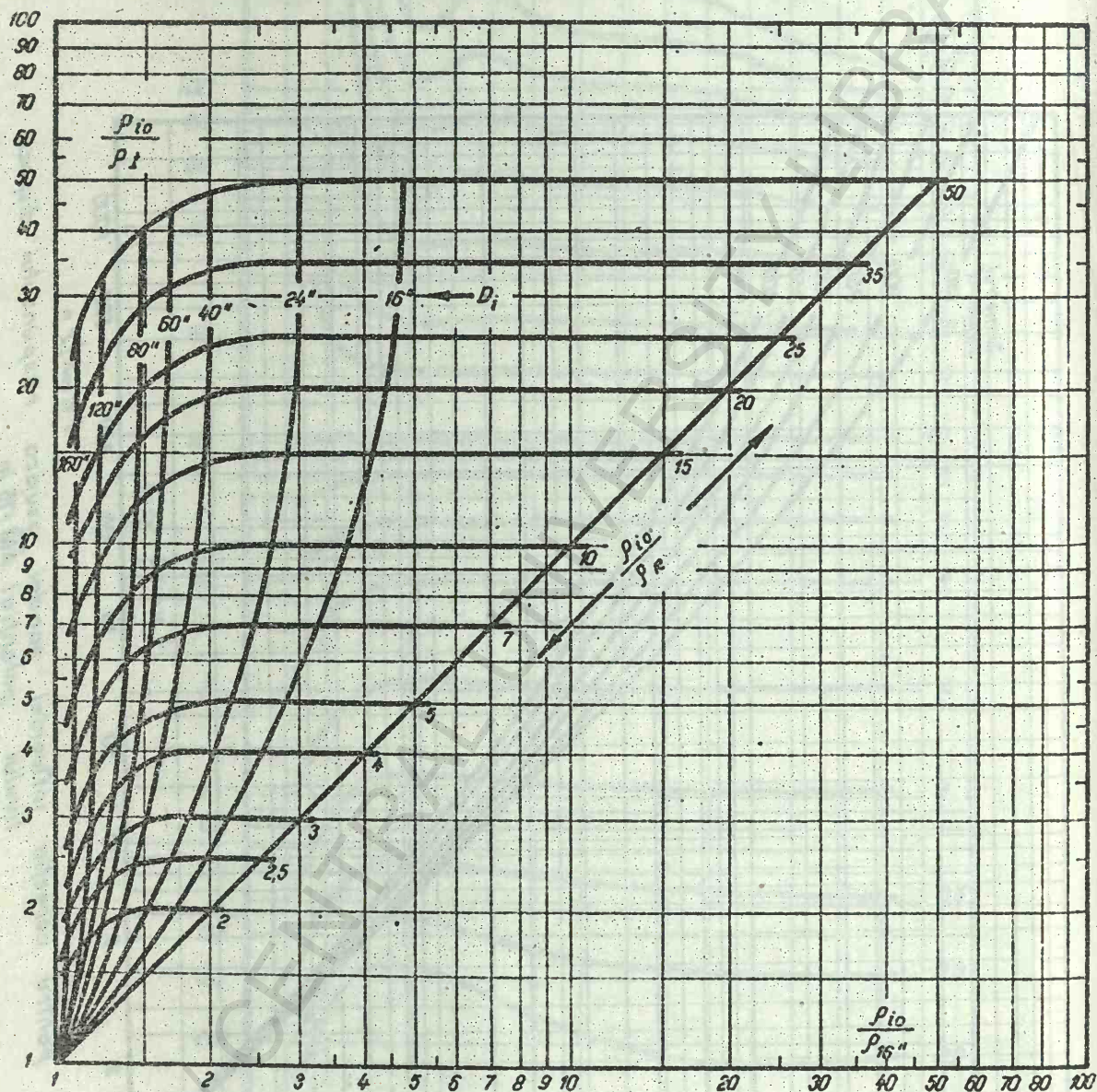
Corecția rezistivității cu grosimea stratului
pentru dispozitivul de inducție (după Schlumberger)

ABACA 27



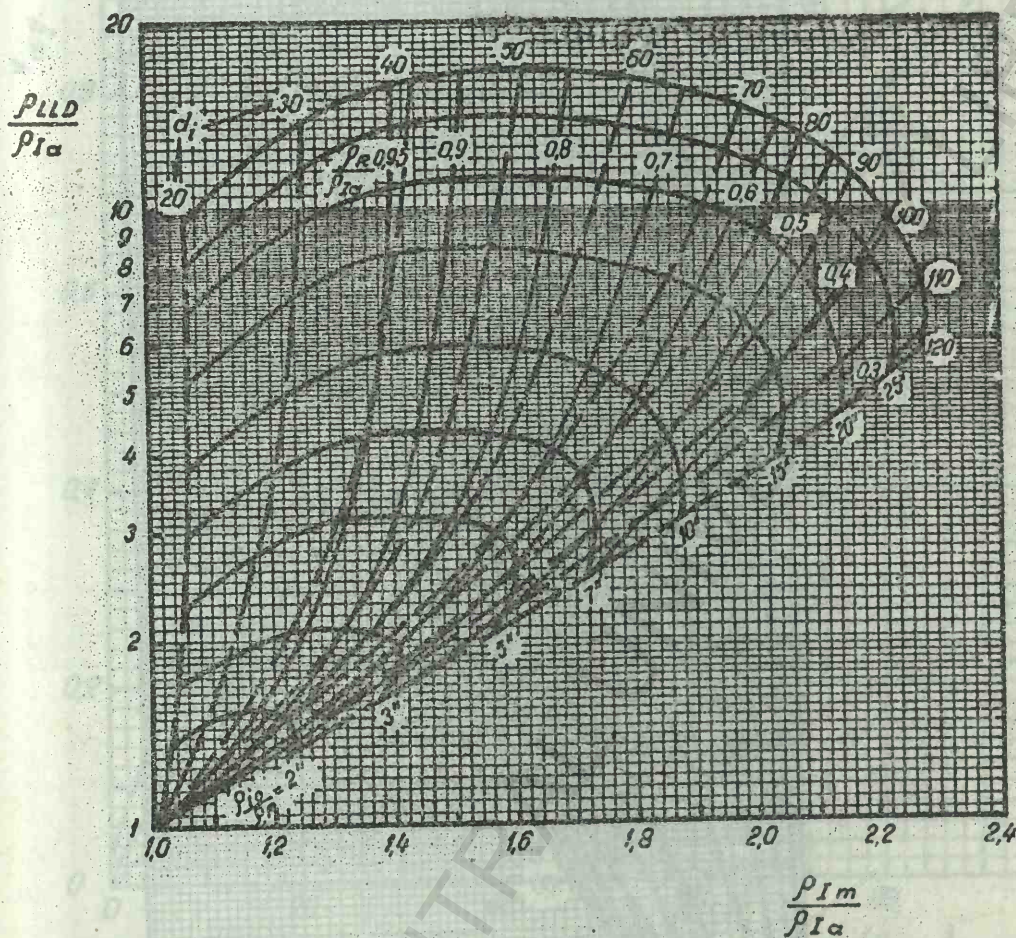
Abacã pentru corecția influenței sondei asupra răspunsului dispozitivului potențial AM-16 in.

ABACA 28

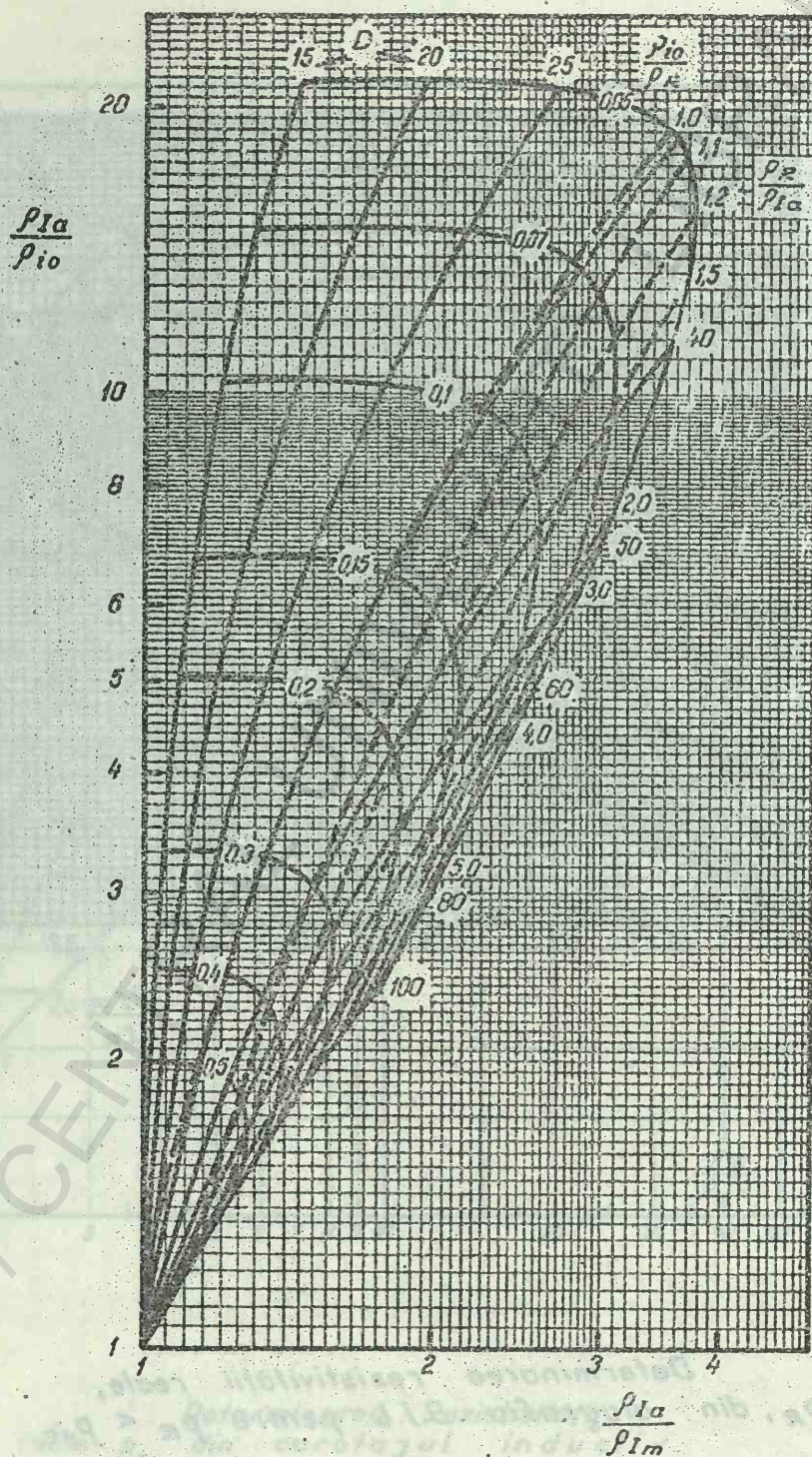


Determinarea rezistivității
reale ρ_r din carotajul inductiv

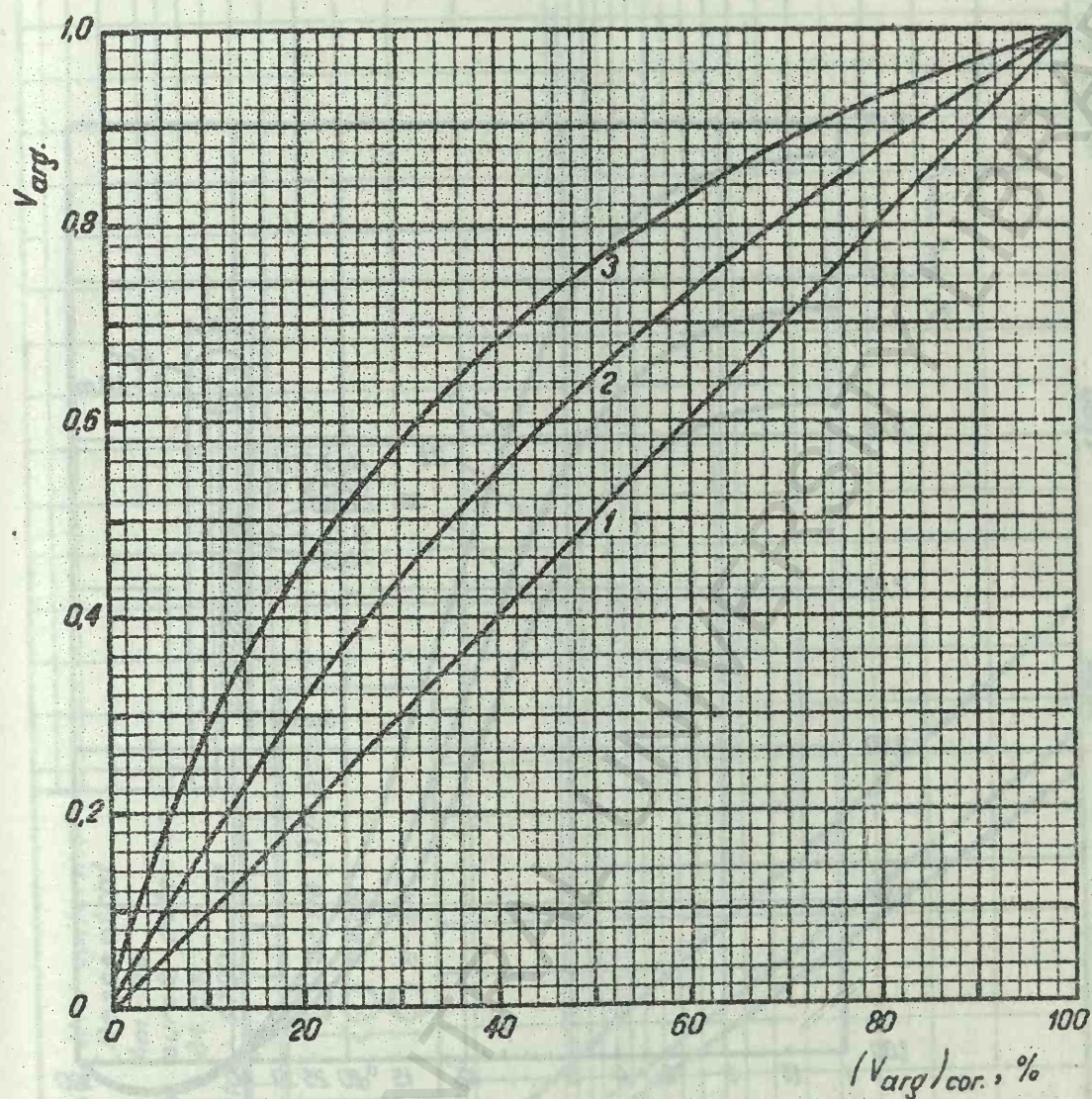
Corecția rezistivității nu ținând seama de stratul
patriu datorită câmpului inductiv (după Schlumberger)



Determinarea rezistivității reale,
 ρ_R , din diagrafia D.I.L. pentru $\rho_R \leq \rho_{io}$



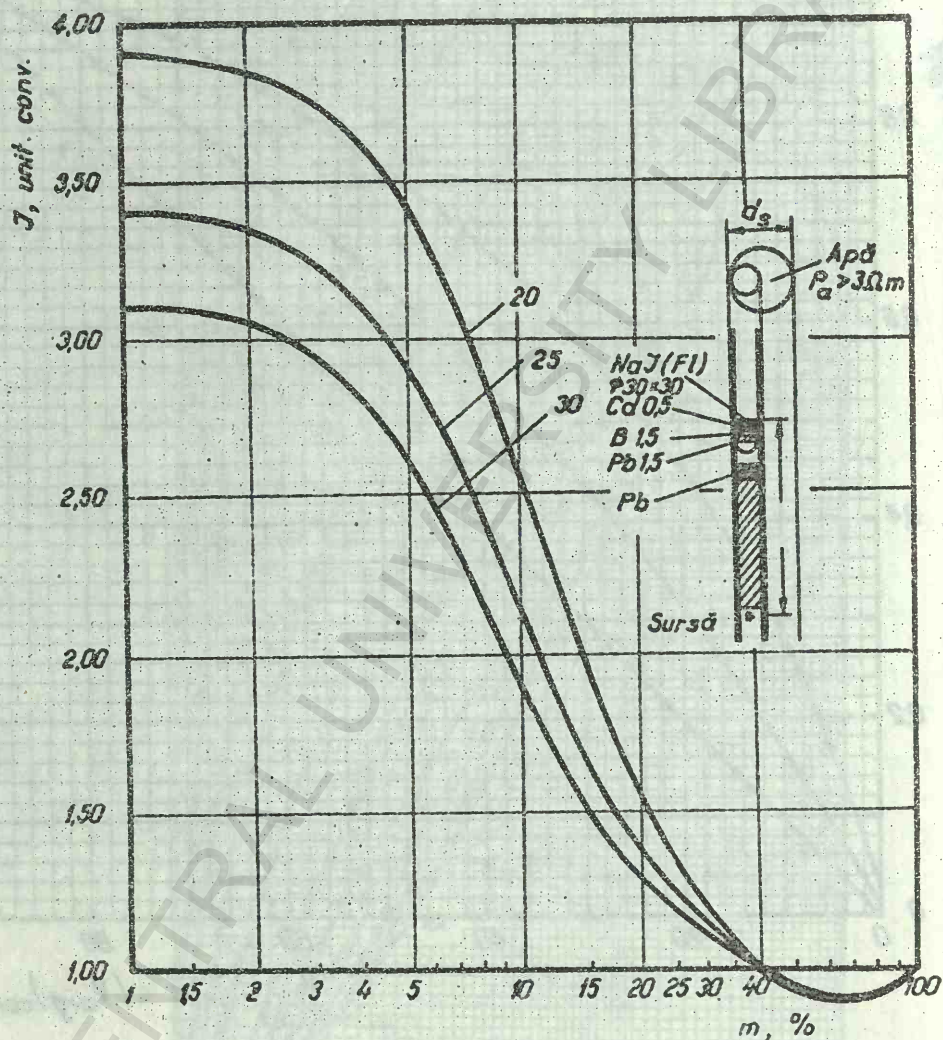
Determinarea rezistivității
reale, ρ_R , din diagrafiile D.I.L. pentru $\rho_R > \rho_{io}$



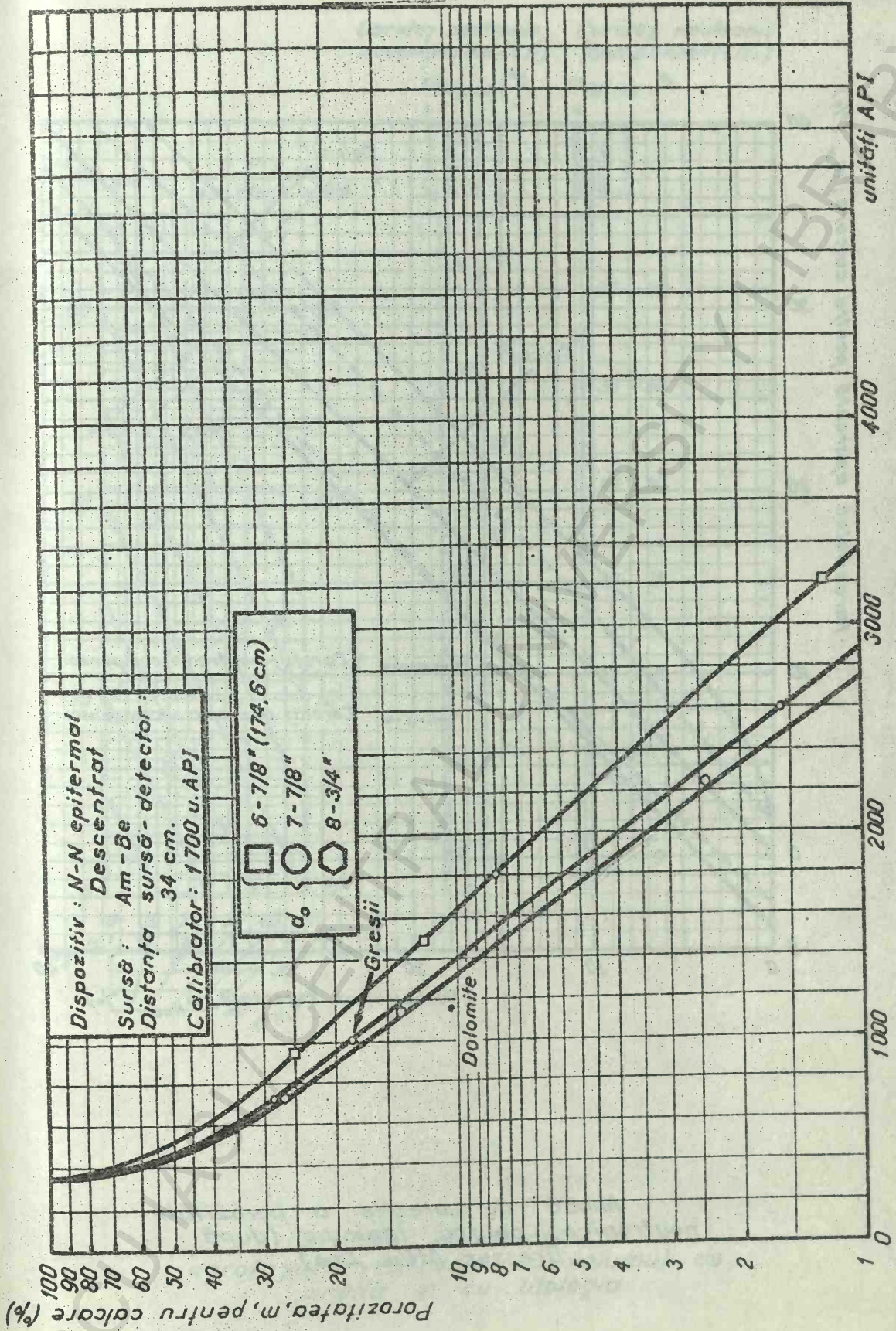
Corecția volumului de argilă
din curba gama în funcție de vîrstă geo-
logică a formațiunilor (după Dresser Atlas Doc)

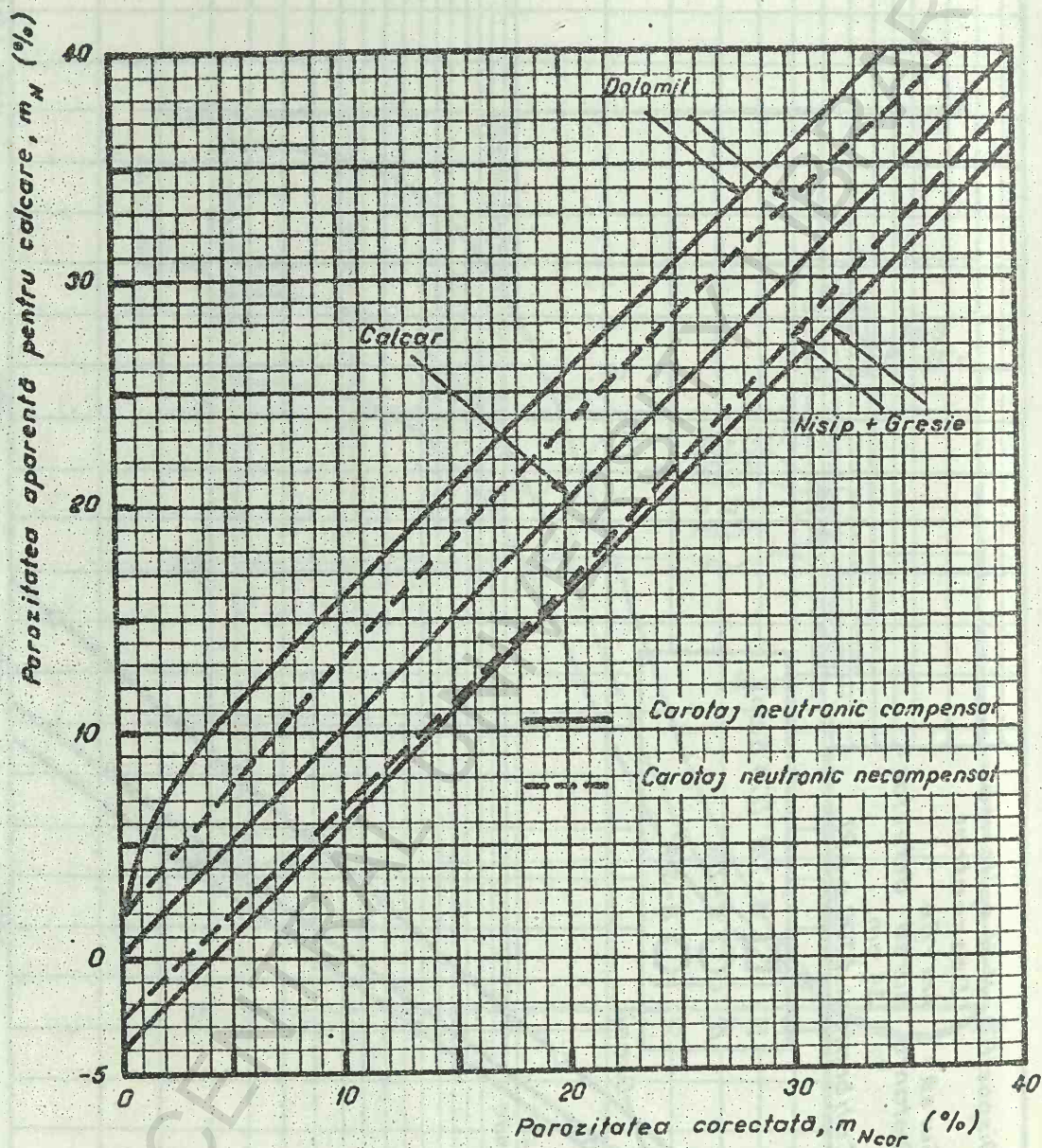
Curba nr. 3 - formațiuni terțiare

Curba nr. 2 - formațiuni vechi



Abacă pentru determinarea parozității aparente pentru calcare, din carotajul neutron-gama (aparatură cu detector de scintilație de tip DRST)





Abacă de corecție a porozității
neutronice pentru litologie (după
Dresser Atlas Doc)

Carotaj neutronic
necompensat (CN)

Carotaj neutronic
compensat (CNL)

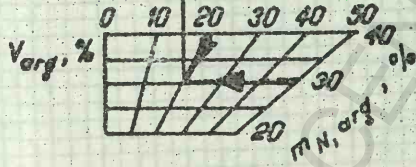
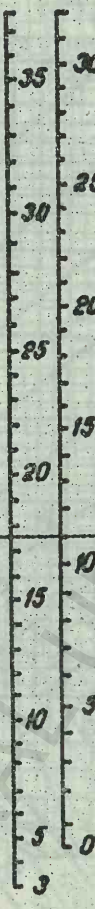
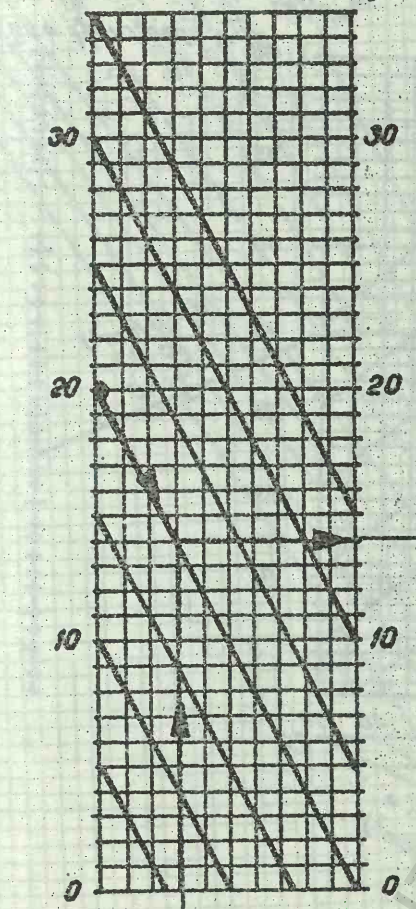
$m_{N, cor}, \%$

$m_{N, cor}, \%$

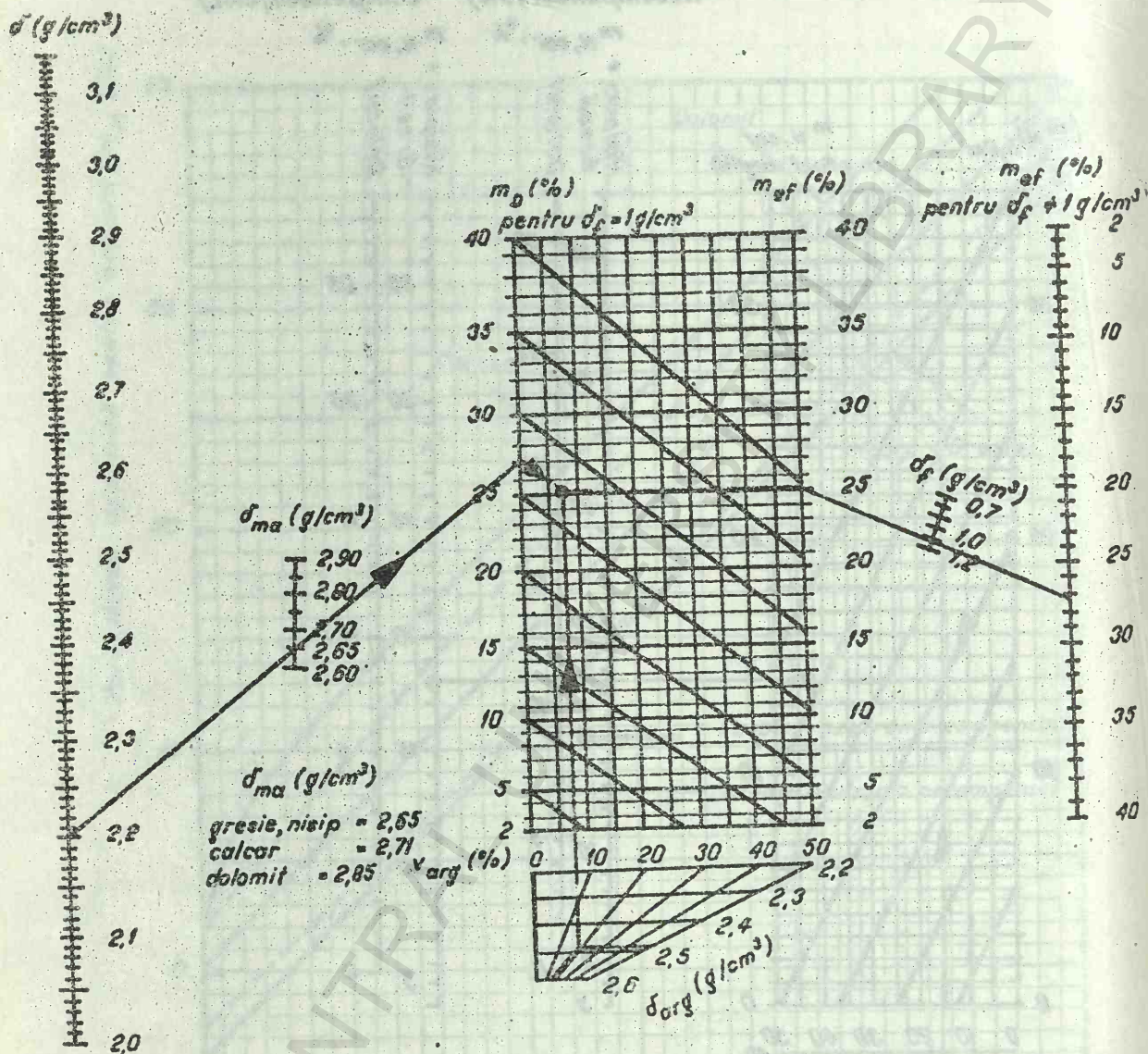
Nisipuri +
Gresii
Dolomit

Nisipuri +
Gresii
Dolomit

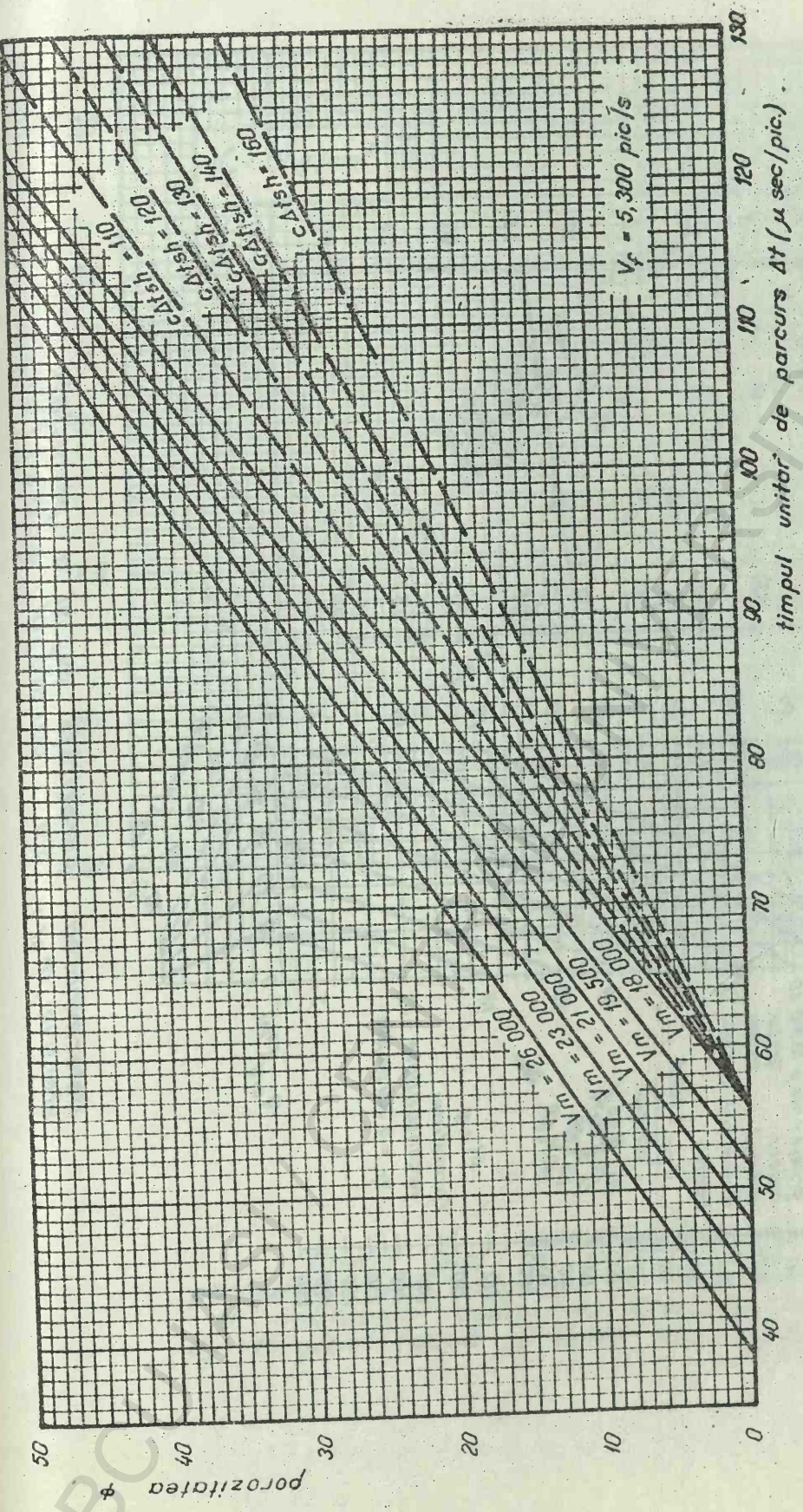
$(m_N)_{A, Ca}$ $m_{N, cor}$
cu efect argilă



Corecția porozității din
carotajul neutronic cu volumul de
argilă și cu litologia



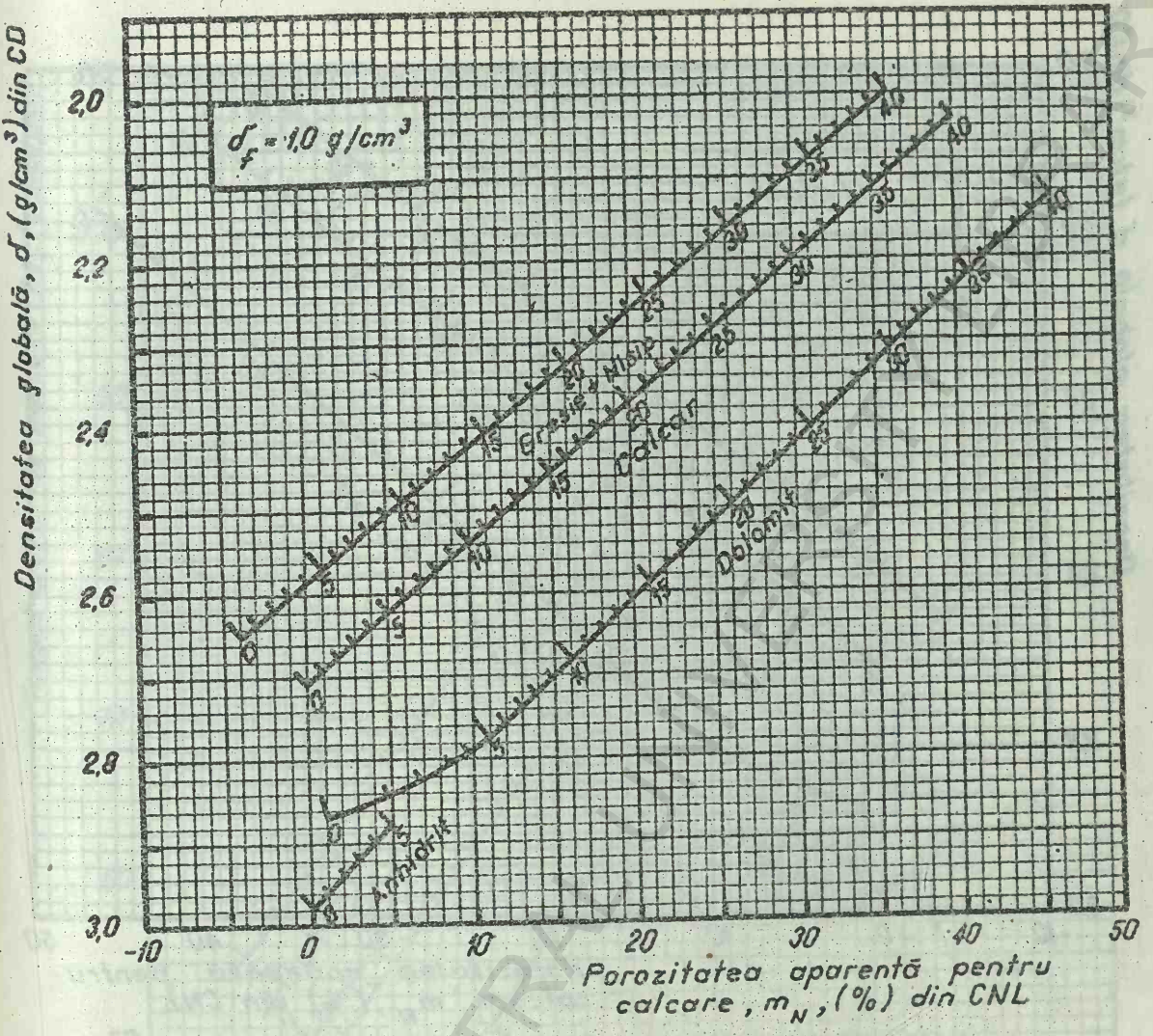
Determinarea porozității, m_D ,
și a porozității efective, m_{ef} , din carotajul
de densitate



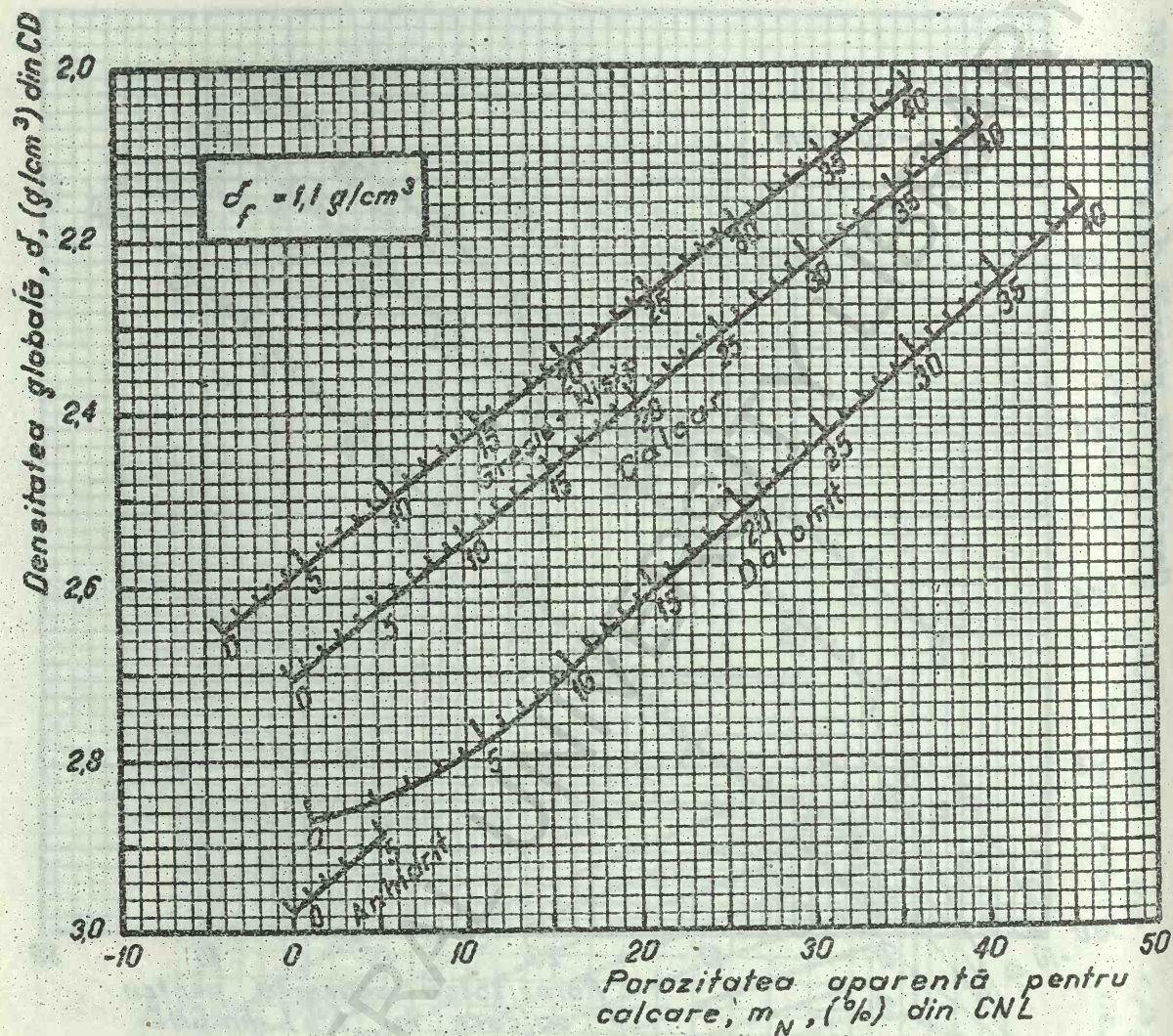
V_m (pic/sec)	Δt (μsec/pic)
GRESII 18 000 - 21 000	55,6 - 47,6
CALCARE 21 000 - 23 000	47,6 - 43,5
DOLOMITE 23 000 - 26 000	43,5 - 38,5

Porozitatea din carotajul acustic

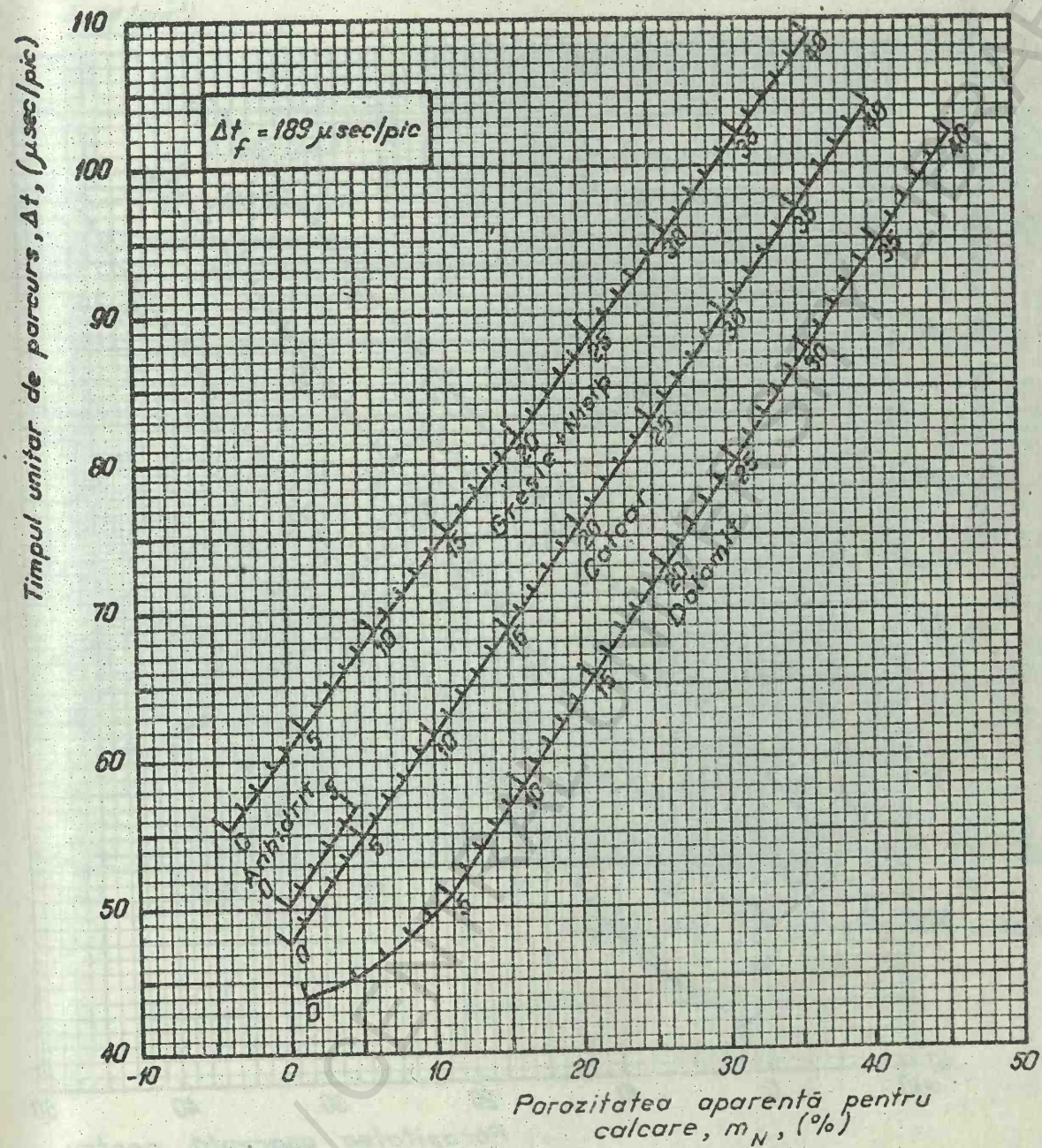
Determinarea porozității m_A și a porozității efective, m_{ef} , din carotajul acustic



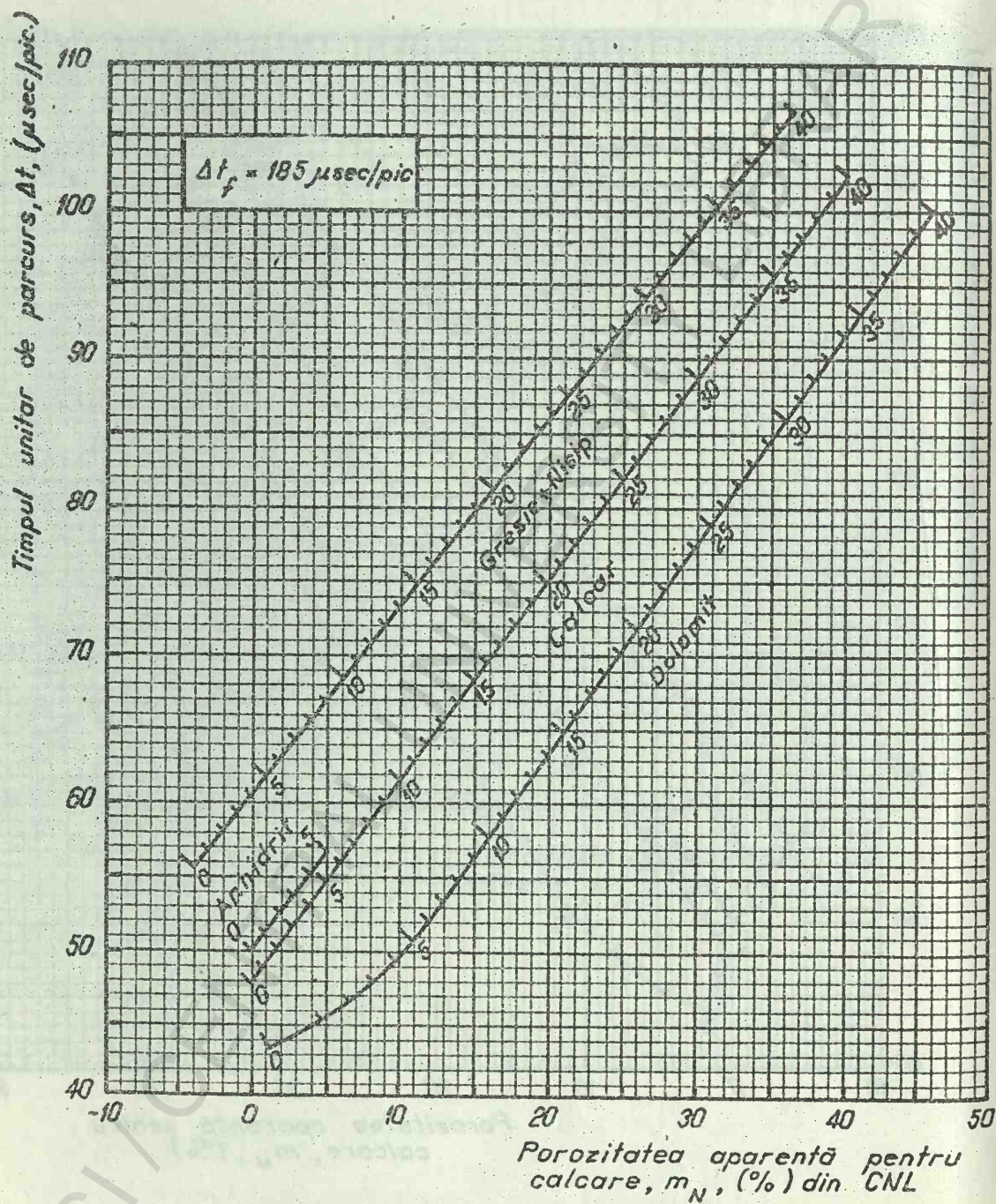
Grafic dual de determinarea
porozității din carotajul de densitate (CD)
și neutronic compensat (CNL) pentru
 $\sigma_f = 1.0 \text{ g/cm}^3$ (după Dresser Atlas Doc)



Grafic dual de determinarea
porozității din carotajul de densitate (CD)
și neutronic compensat (CNL) pentru
 $\rho_f = 1.1 \text{ g/cm}^3$ (după Dresser Atlas Doc)

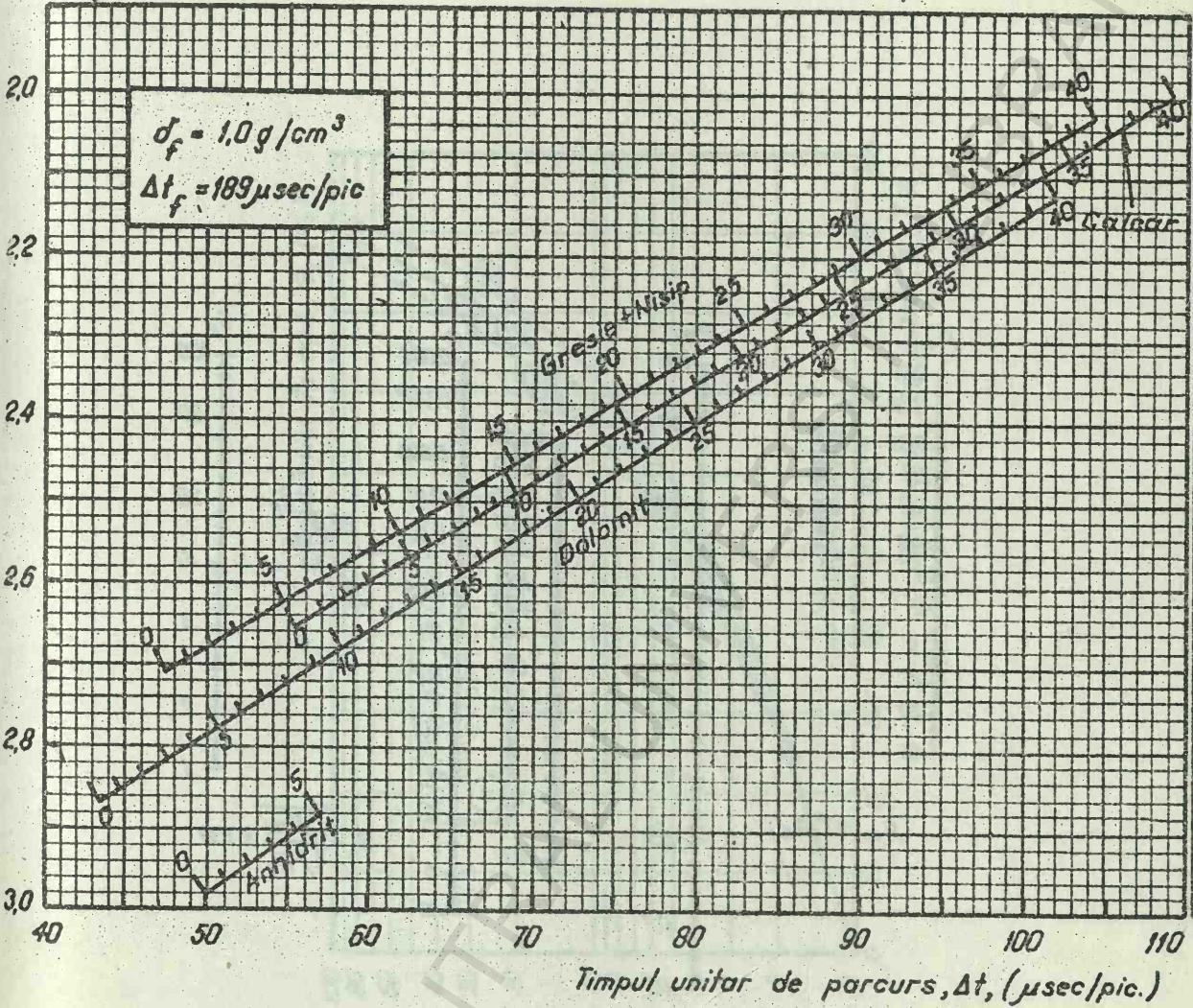


Grafic dual de determinarea porozității din carotajul acustic de viteză (CA) și neutronic compensat (CNL) pentru $\Delta t_f = 189 \mu\text{sec}/\text{pic}$. (după Dresser Atlas Doc)



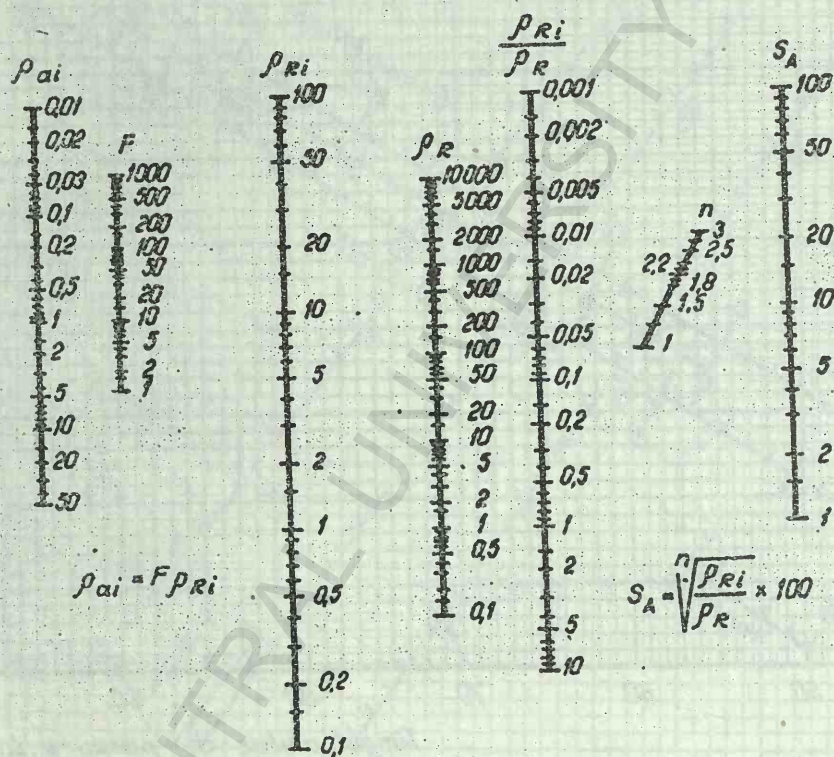
Grafic dual de determinarea porozității din carotajul acustic de viteză (CA) și neutronic compensat (CNL) pentru $\Delta t_f = 185 \mu\text{sec/pic.}$ (după Dresser Atlas Doc)

Densitatea globală,
 σ_f (g/cm³)

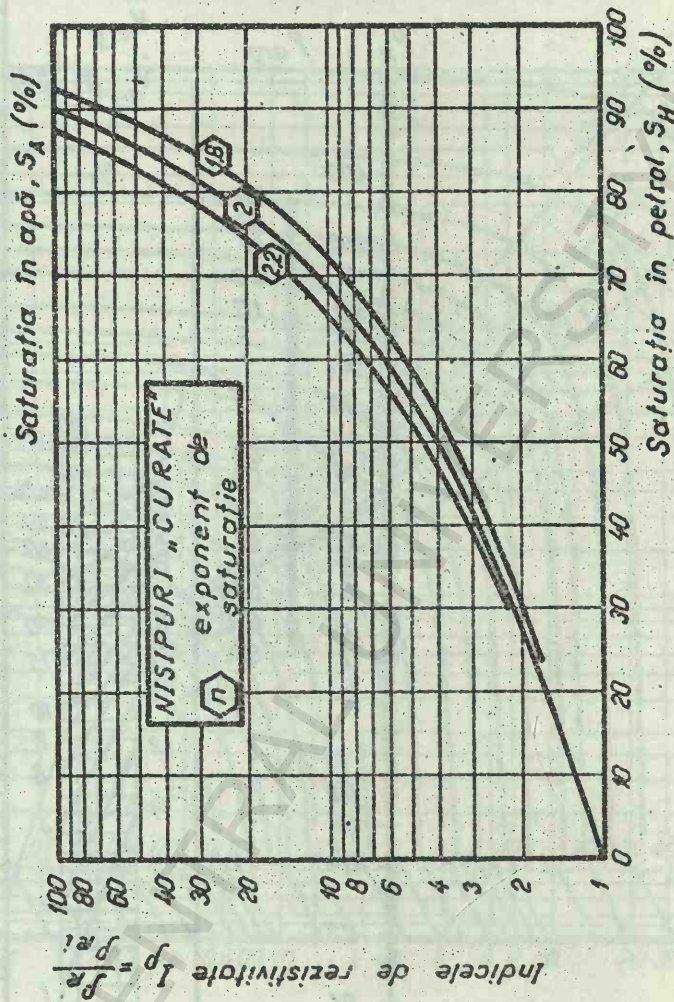


Grafic dual de determinarea
porozității din carotajul de densitate (CD)
și carotajul acustic de viteză (CA)-(după
Dresser Atlas Doc)

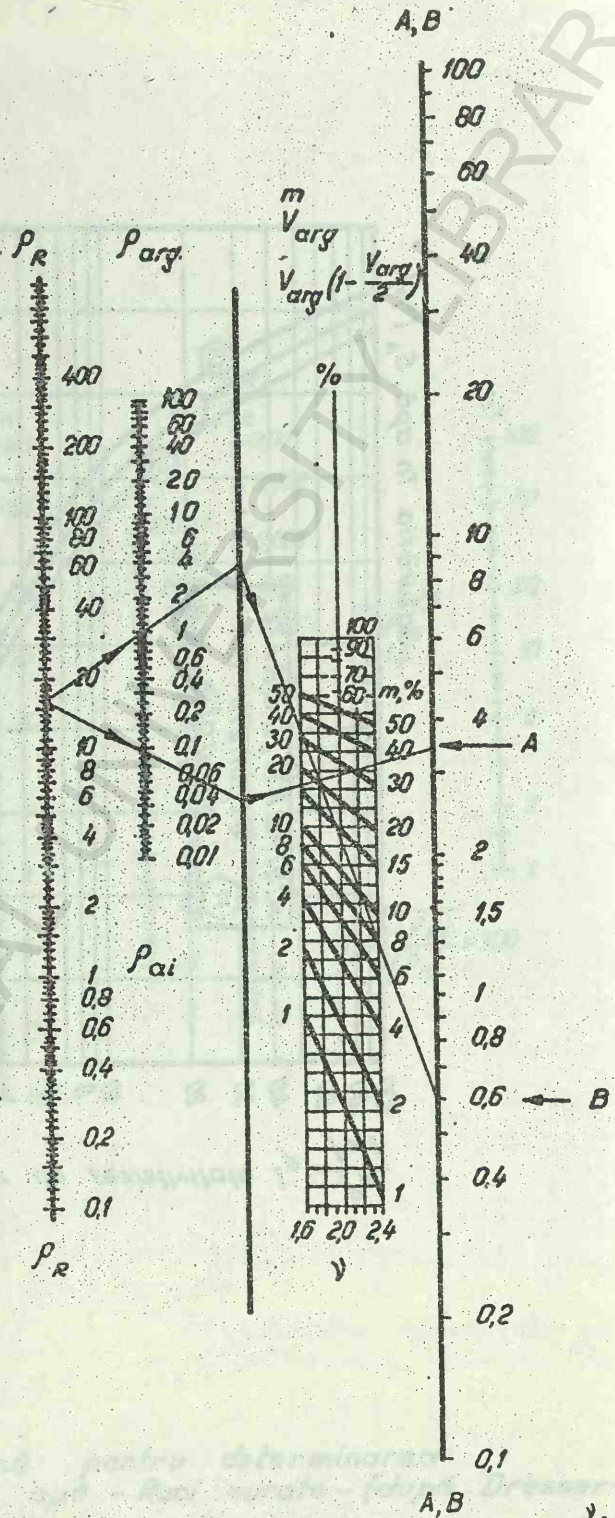
NOMOGRAMA 44



Nomogramă pentru determinarea
conținutului în apă - Roci curate - (după Dresser-Atlas)



NOMOGRAMA 46a.

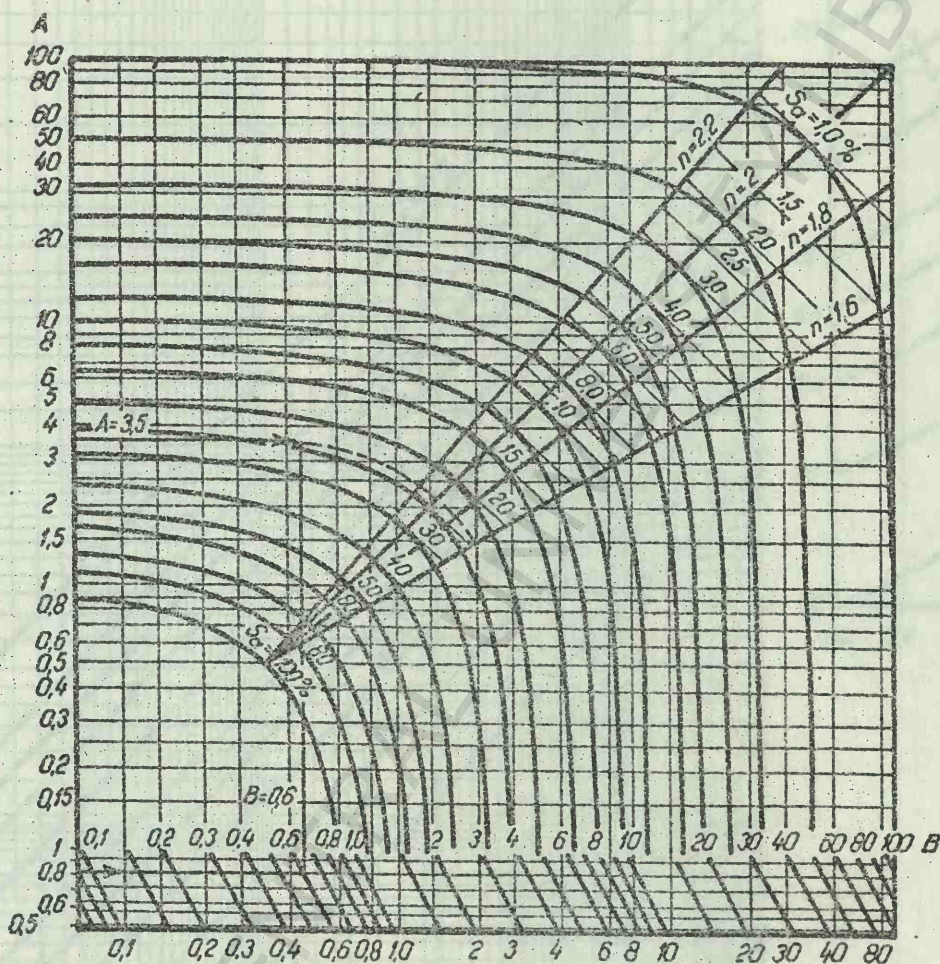


$$A = m^{\frac{y}{2}} \sqrt{\frac{\rho_R}{\rho_{ai}}}$$

$$B = V_{arg} \sqrt{\frac{\rho_R}{\rho_{arg}}}$$

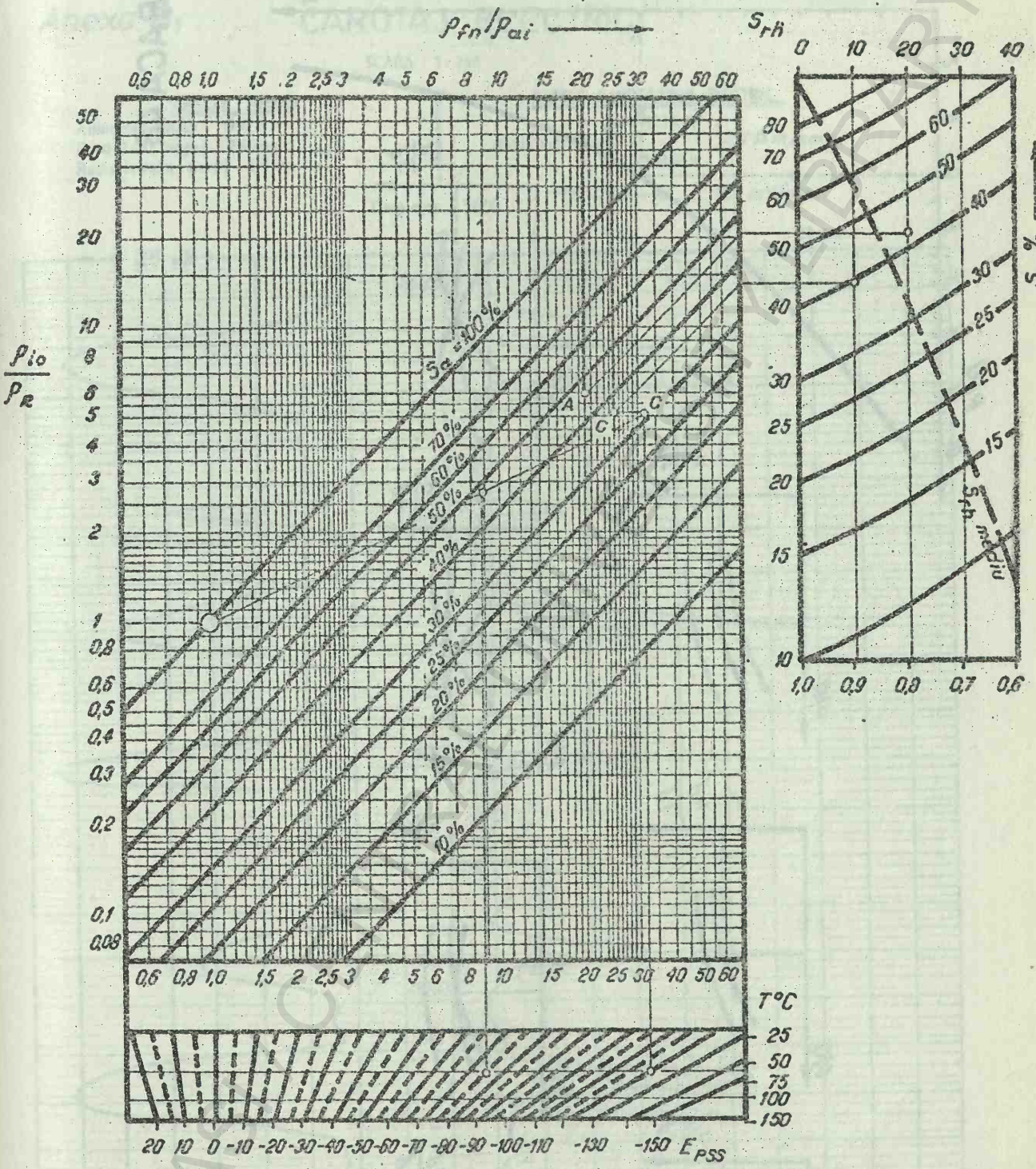
Nomogramă pentru determinarea
rapoartelor $A = m^{\frac{y}{2}} \sqrt{\frac{\rho_R}{\rho_{ai}}}$ și $B = V_{arg} \sqrt{\frac{\rho_R}{\rho_{arg}}}$

(după Campbell și col.)



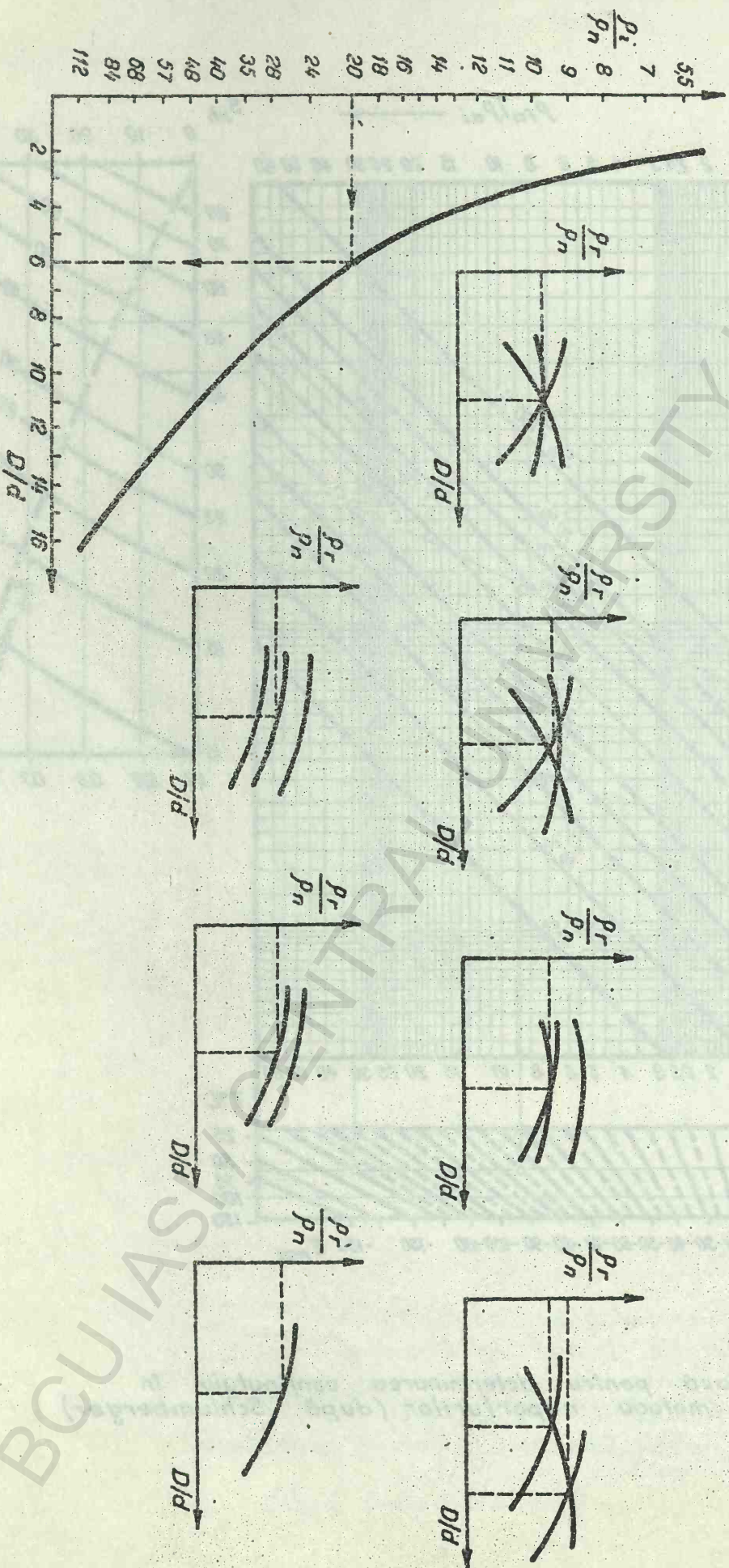
Determinarea coeficientului de saturație în apă în formațiuni cu conținut mare de material argilos ($V_{arg.} \approx 40\%$) prin relația Poupon-Leveaux (după Campbell și col.)

ABACA 47



Abacă pentru determinarea conținutului în apă prin metoda raporturilor (după Schlumberger)

ABACA 48



Anexa B₁

CAROTAJ ELECTRIC

SCARA 1: 200

DATELE SONDEI

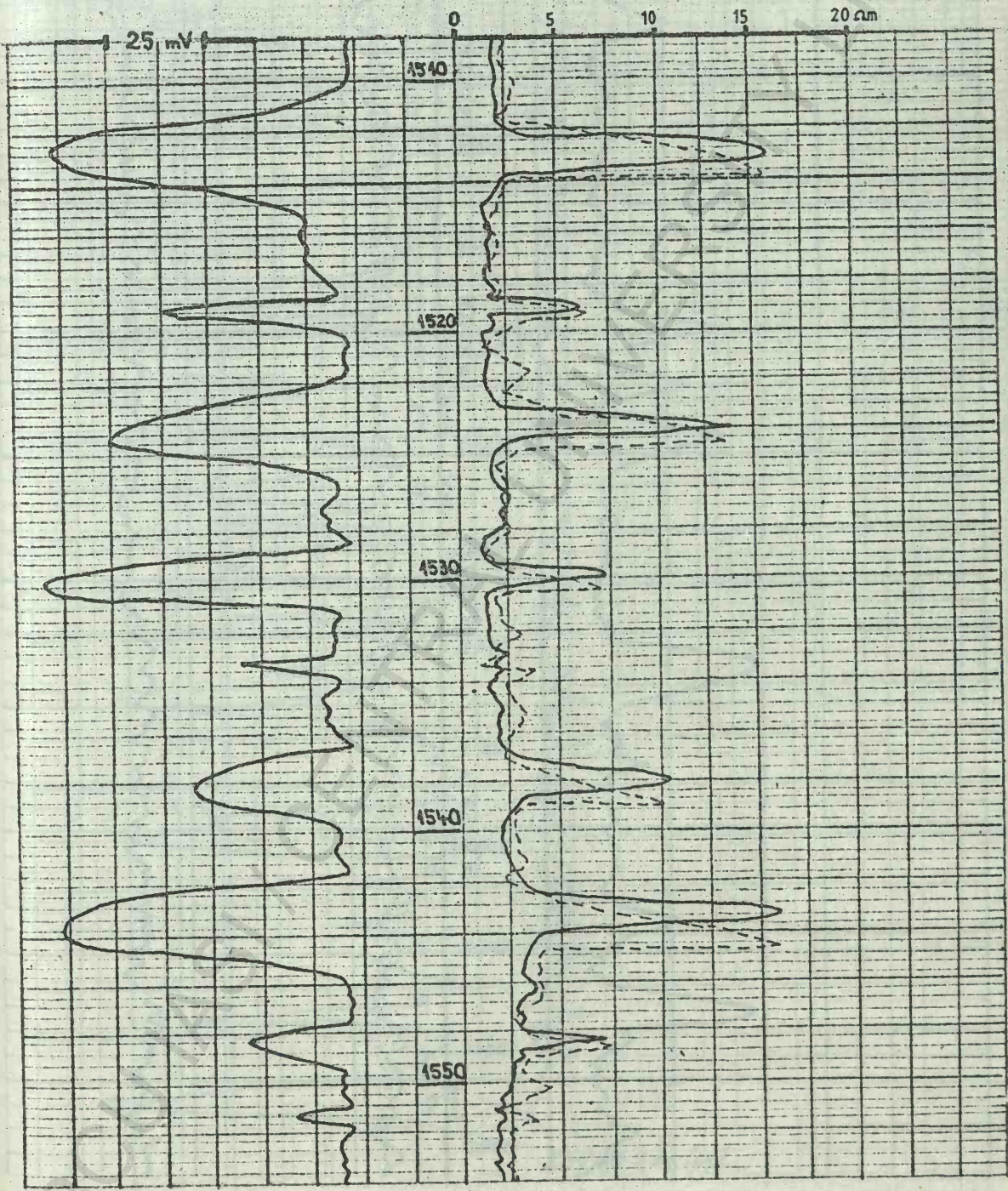
Adincimea finata 1910 m
Diametrul sapei 254 mm
Rezistivitate noroi 1,8 Ω m

DATELE CAROTAJULUI ELECTRIC

Rezistivitatea { M03A2B 2,5 Ω m/cm
B03A2M

Temp.max.: 56°C

P.S. - + 12,5 mV/cm



CAROTAJ ELECTRIC SPECIAL

POTENTIAL SPONTAN

מנחם

10mV

— 1 —

ADINCIMEA

REZISTIVITATE

Curba normala de 16"

A-16-M-68-9N-00B

Curba potențială de 64"

-64°N-64°E-008

Curba gradientă de 18"

1 26°N 161°11'W 5014m

A-26°E-16°11'M-50°11'N

1

2753, 5

28035

卷之三

2903.5

Anexa B₃

SONDA X STRUCTURA C CAROTAJ ELECTRIC

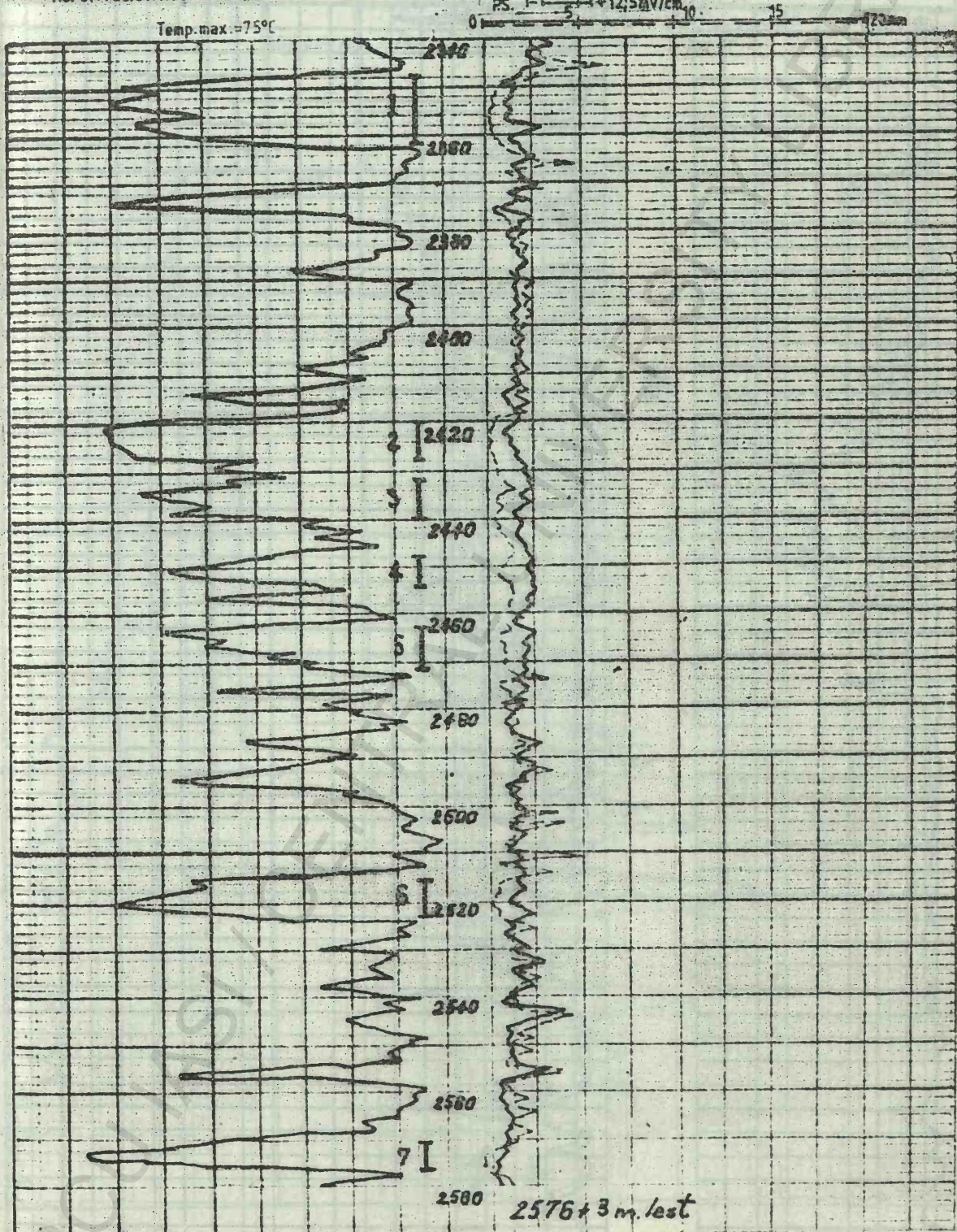
DATELE SONDEI

Adâncimea finală 2579 m.
Diametrul sapei 311,2 mm
Notă: rezistivitatea 2 Ω

Temp. max. = 75°C

DATELE CAROTAJULUI ELECTRIC

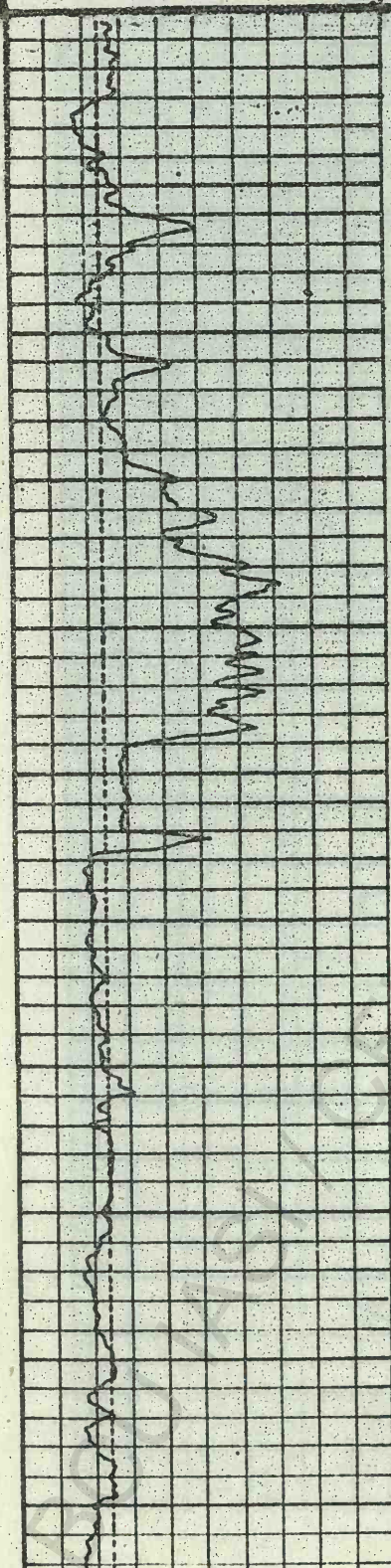
Scara adâncimilor 1:1000
Rezistivitatea { MQ3A2B
BQ3A2M
PS. 1-12,5 mV/cm



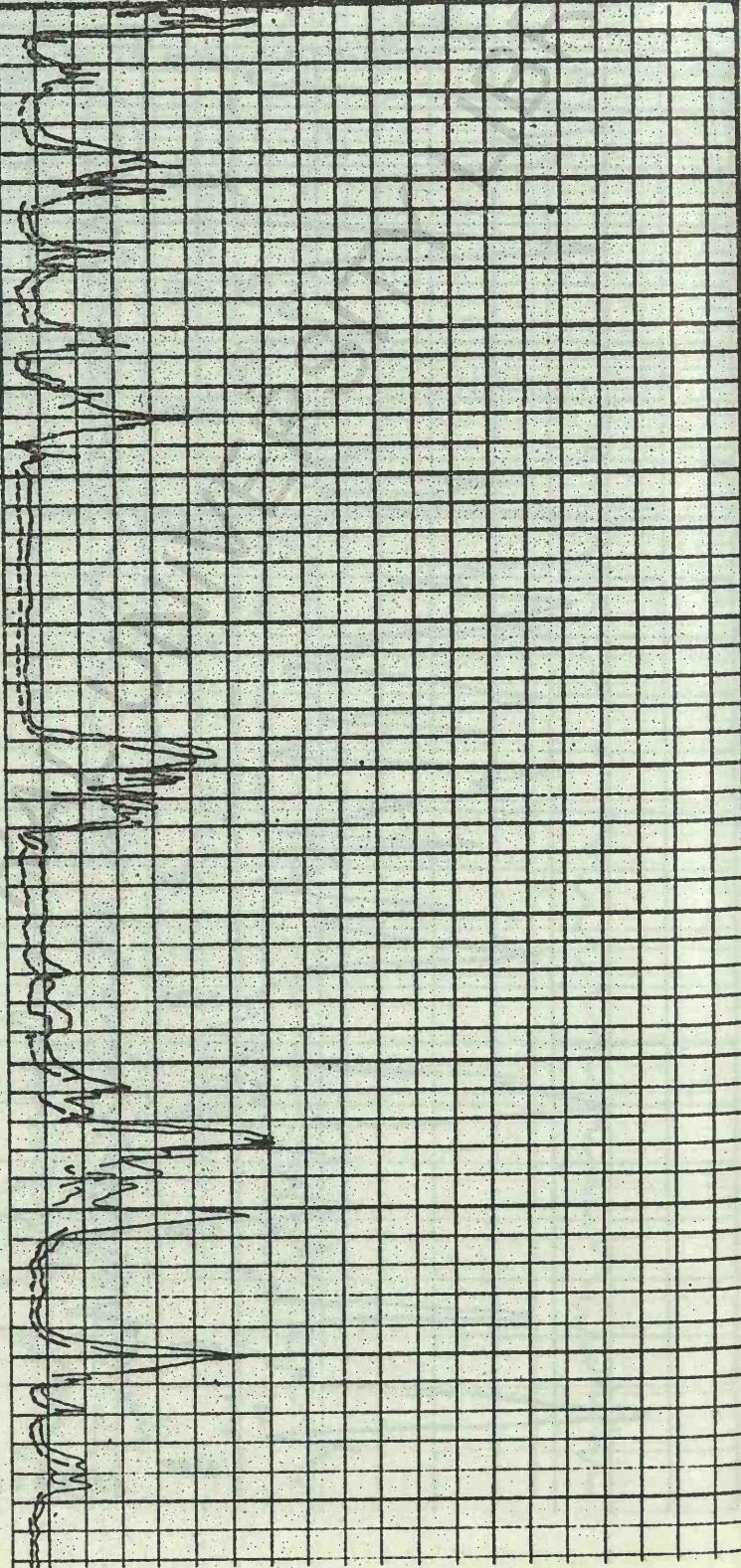
Anexa B₄

MICROCAROTAJ

CAVERNOKRAMA														ADÂNCIMEA		REZISTIVITATEA		Ωm
Diametrul găurii de sondă în toți														SCARA		Microinversa de 1"=1"		20
6	7	8	9	10	11	12	13	14						1: 200		Micropotențială de 2"		20
φ 187 mm.																		



3300



Anexa B₅

MICROLATEROLOG

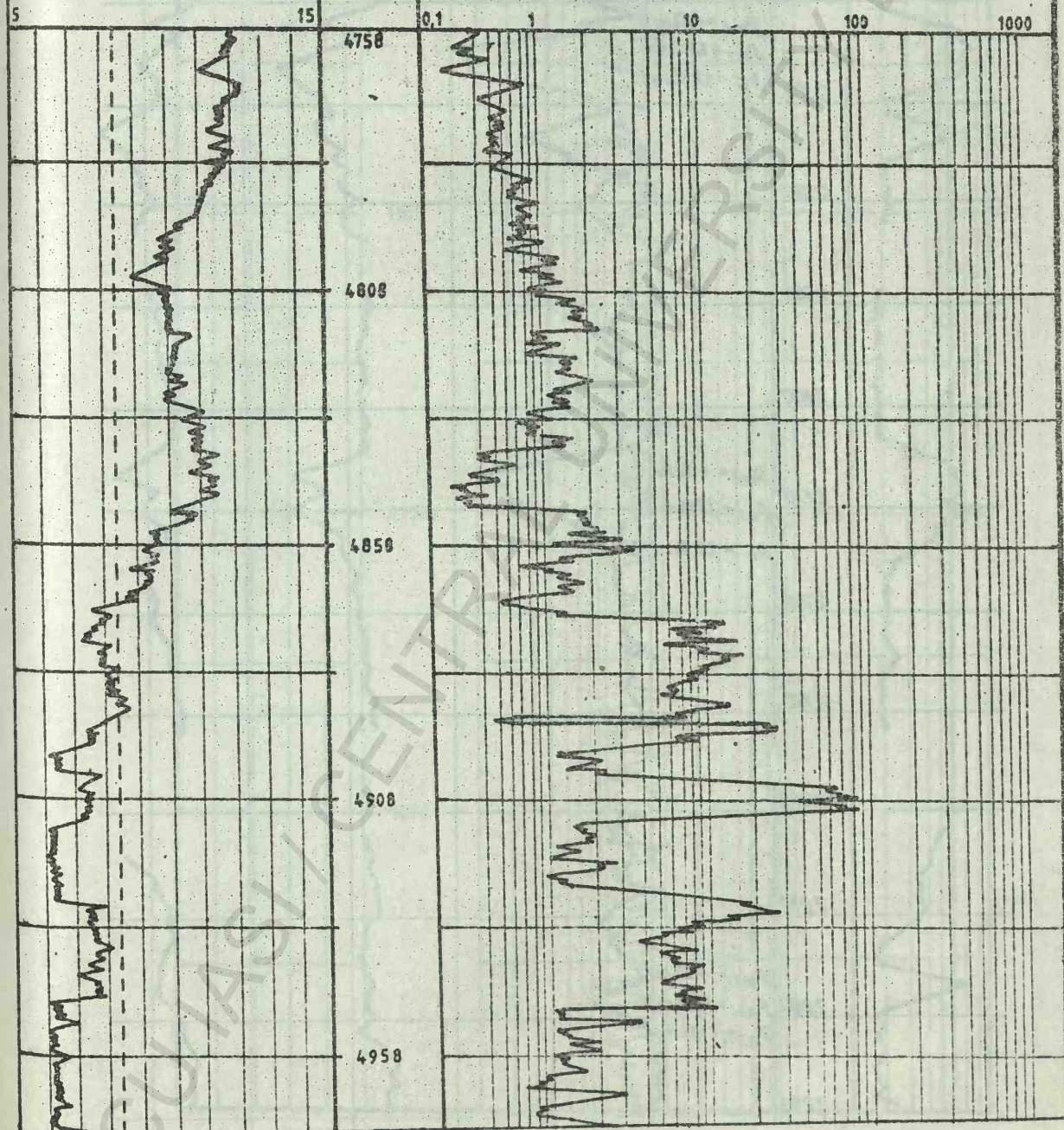
SCARA 1:1000

CAVERNOGRAMA

ADINCIMEA

Adincimea Finală 5 037 m
Rezistivitatea noroiului $(\rho_n)_{20^\circ\text{C}} = 1,1$
Temperatura maximă 152°C

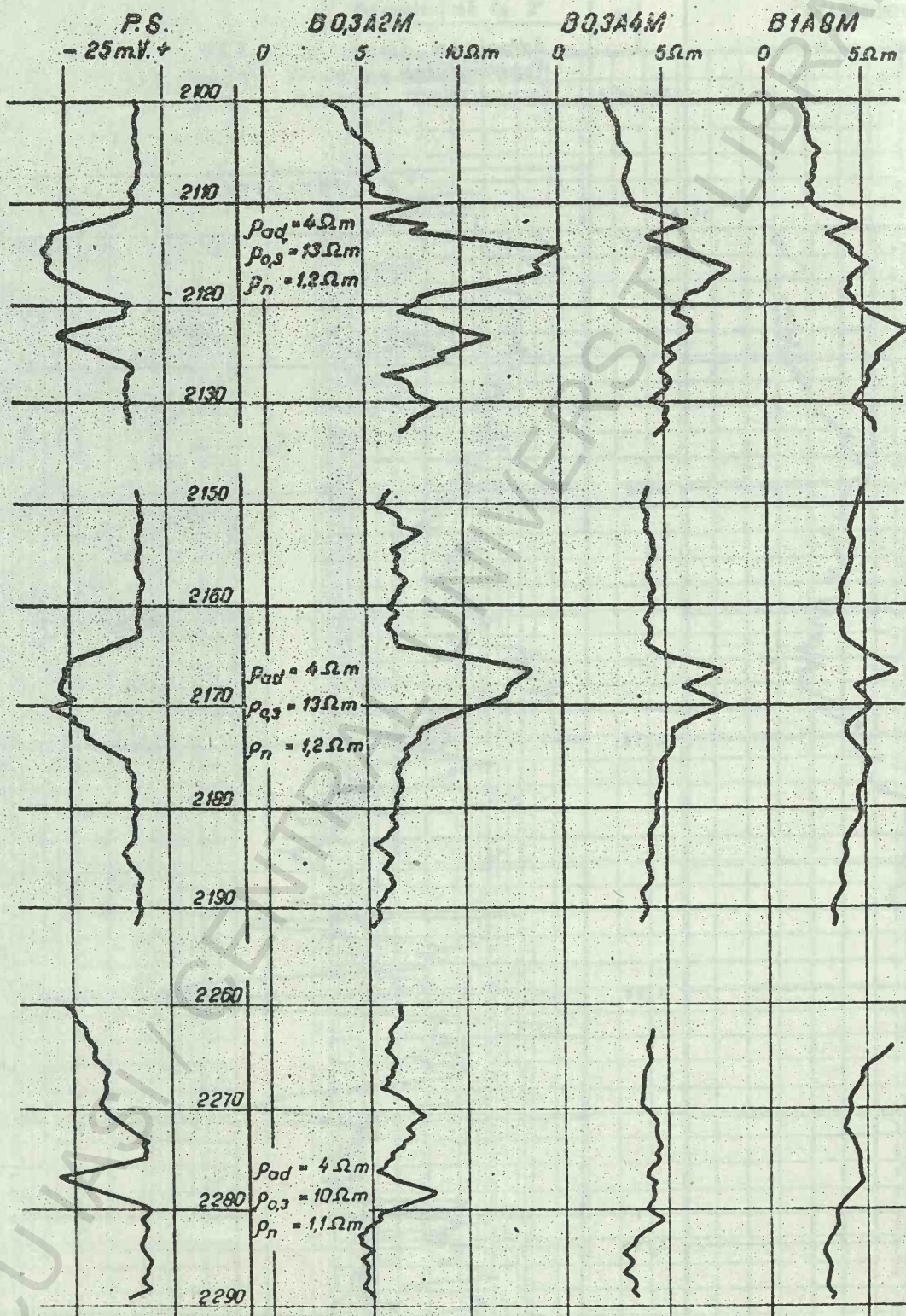
REZISTIVITATEA



Anexa B₆

$\phi_s = 250 \text{ mm}$

Scala 1:500

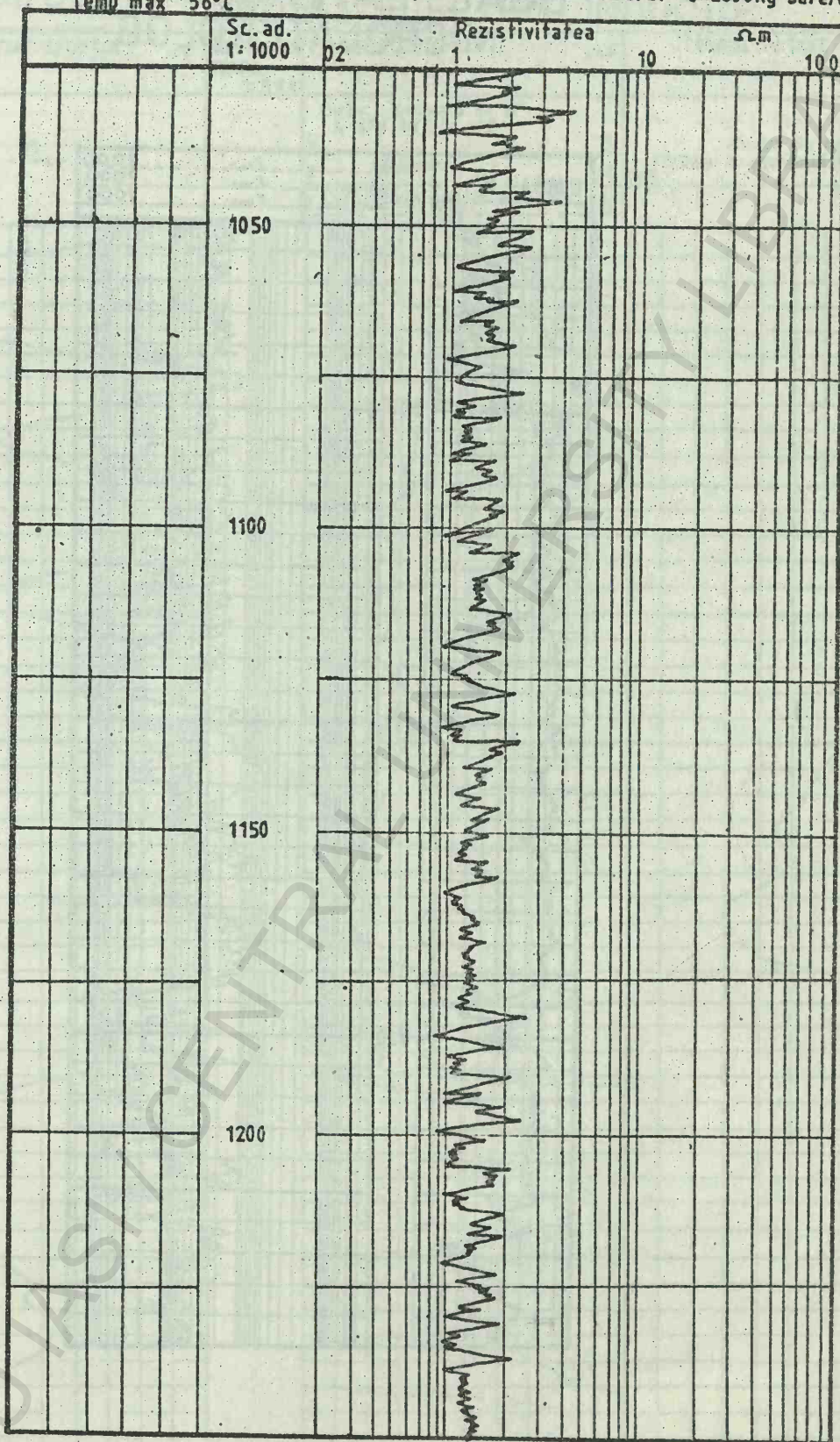


Anexa B₇

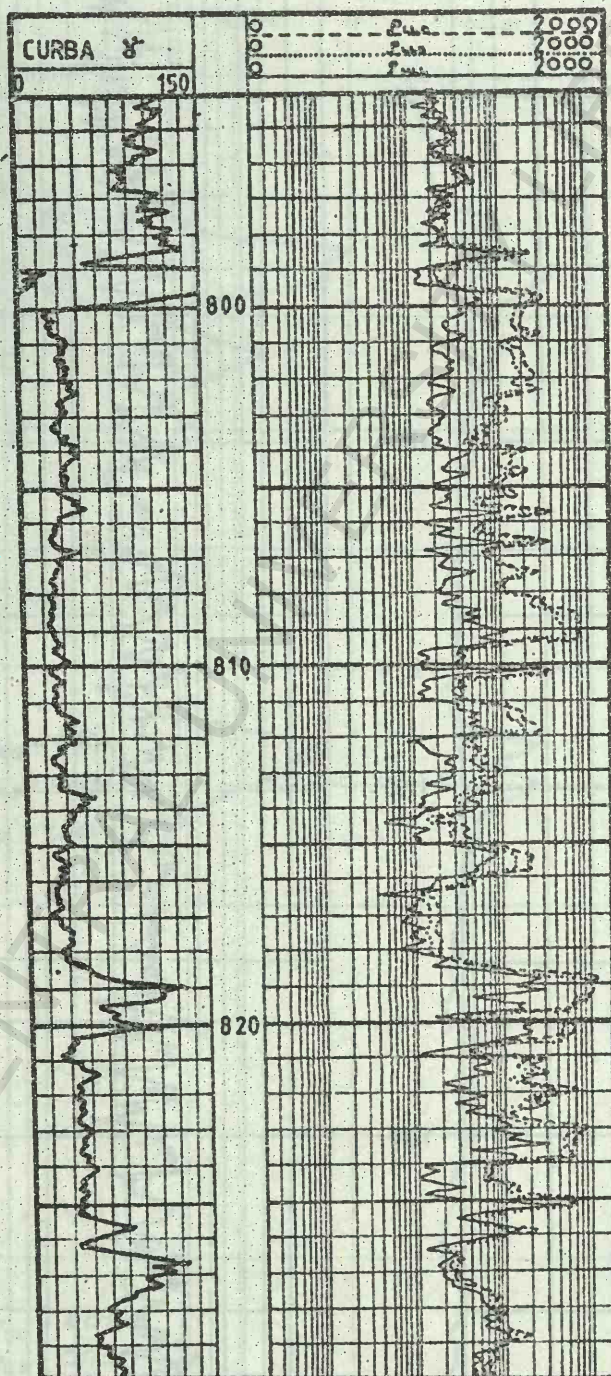
CAROTAJ ELECTRIC FOCALIZAT

Ad finală 1275m
Diam sapei 311mm
Temp max 56°C

(LATEROLOG 3)
Tipul fluidului-noroi sărat c=2600kg sare/vag.



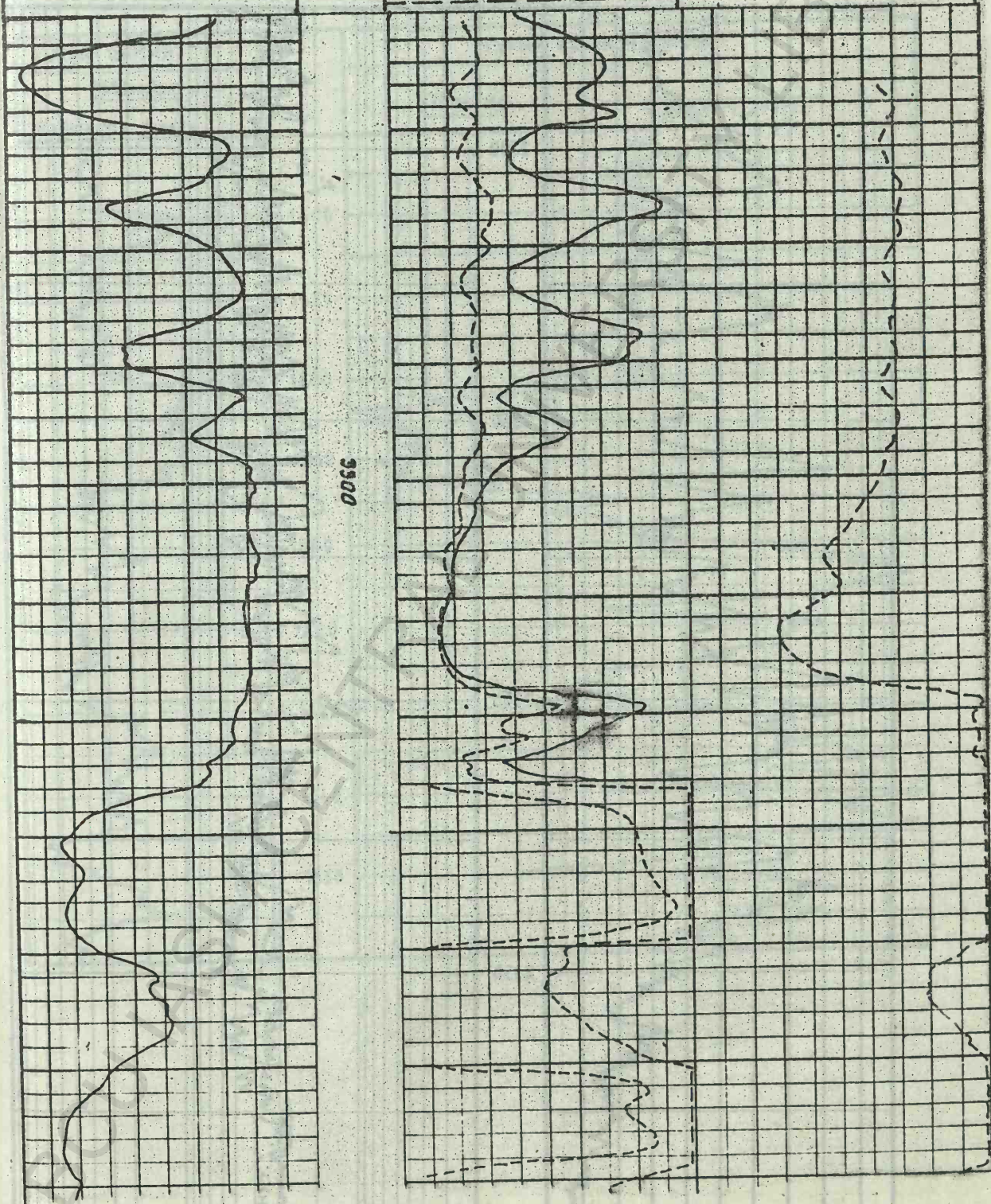
DUAL LATEROLOG + MICROLATEROLOG



Anexa B₉

CAROTAJ ELECTRIC INDUCTIE

POTENTIAL SPONTAN	mV	ADINCIMEA SCARA 1:200	REZISTIVITATE	Ωm	CONDUCTIVITATE	milinha/m
<div>10</div>			Curba normală de 16"	20	Curba de conduc-	tivate a carotajului inductiv
			A 16" M 68° 8' N COB	20		
			Reluare	20		
			Curba reciprocă de inducție	20		

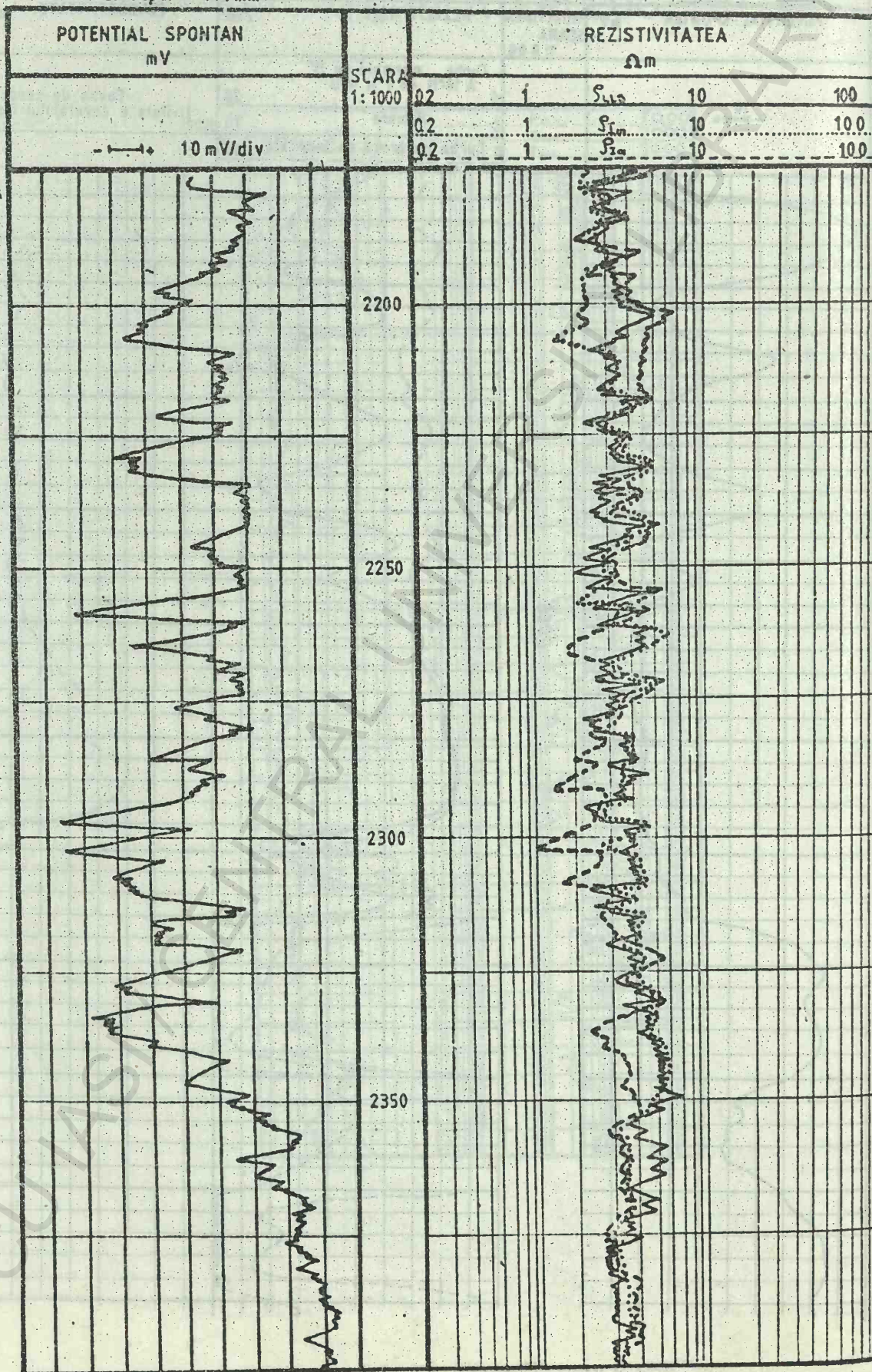


Anexa B₁₀

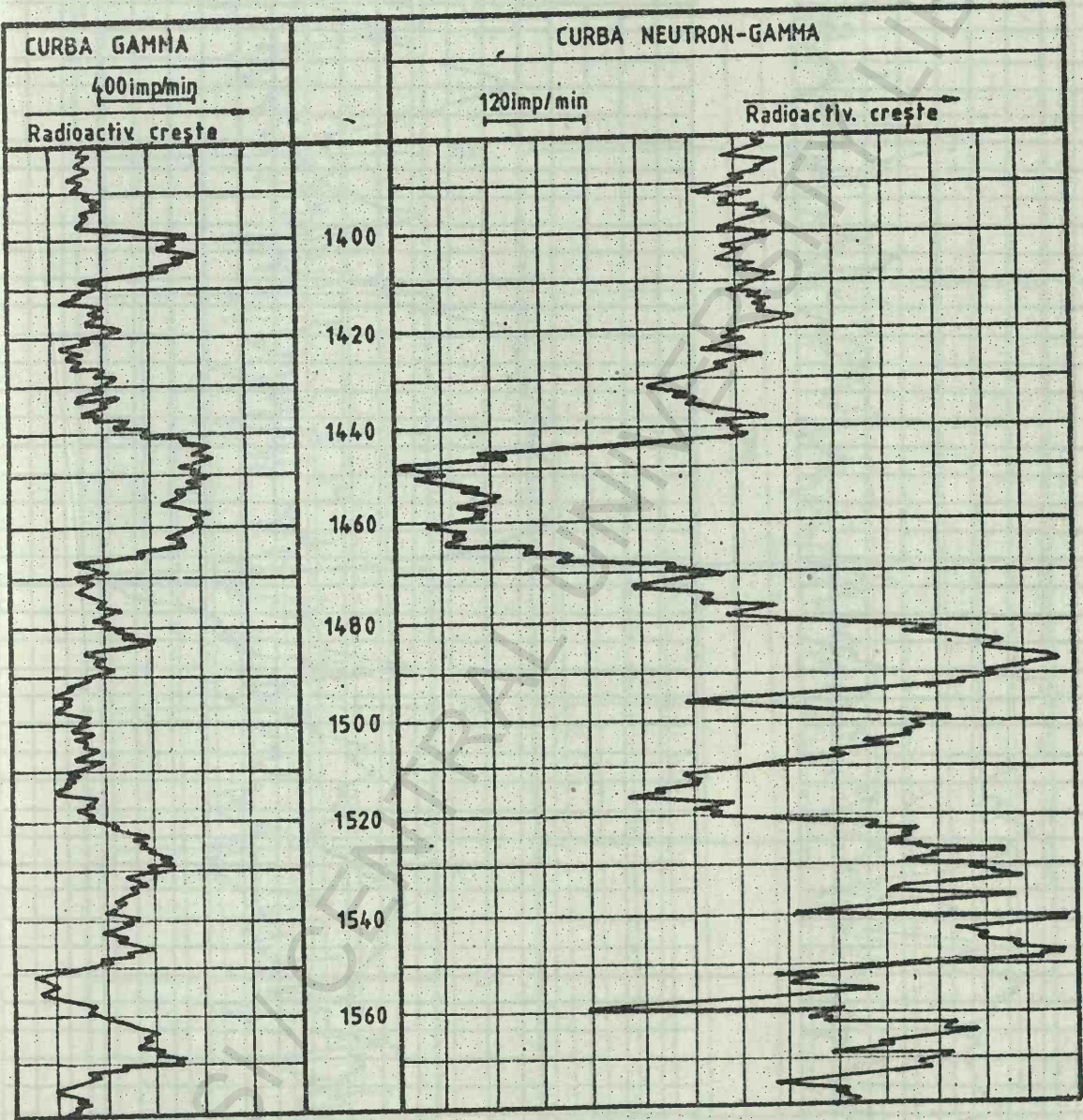
Ad. finală : 3747m

Diametrul sapei: 444 mm

Rezistivitatea noroziului la 20°C : $2\Omega\text{m}$



CAROTAJ NEUTRON GAMMA



Anexa B₁₂

CAROTAJ RADIOACTIV

CAROTAJ GAMMA
Radioactivitatea crește



Unități gamma API de radiație

ADÂNCIMEA
SCARA
1:200

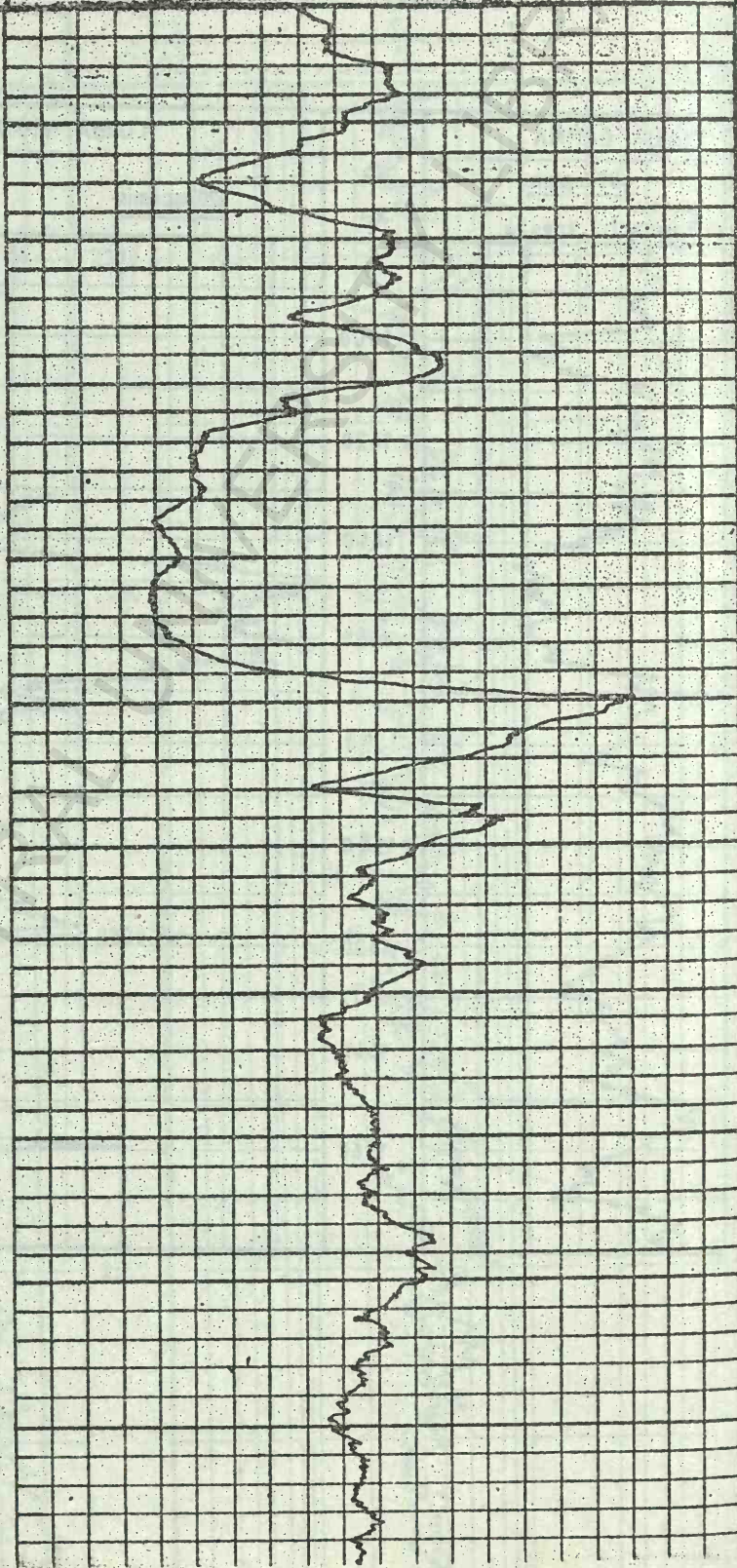
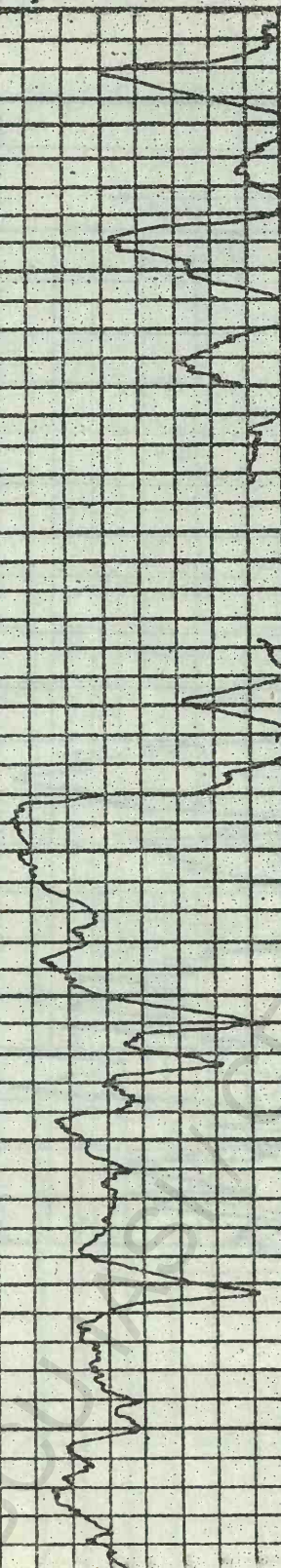
CAROTAJ NEUTRONIC
Unități neutronice API

Reluare

1000
2000

2 000
4 000

0002

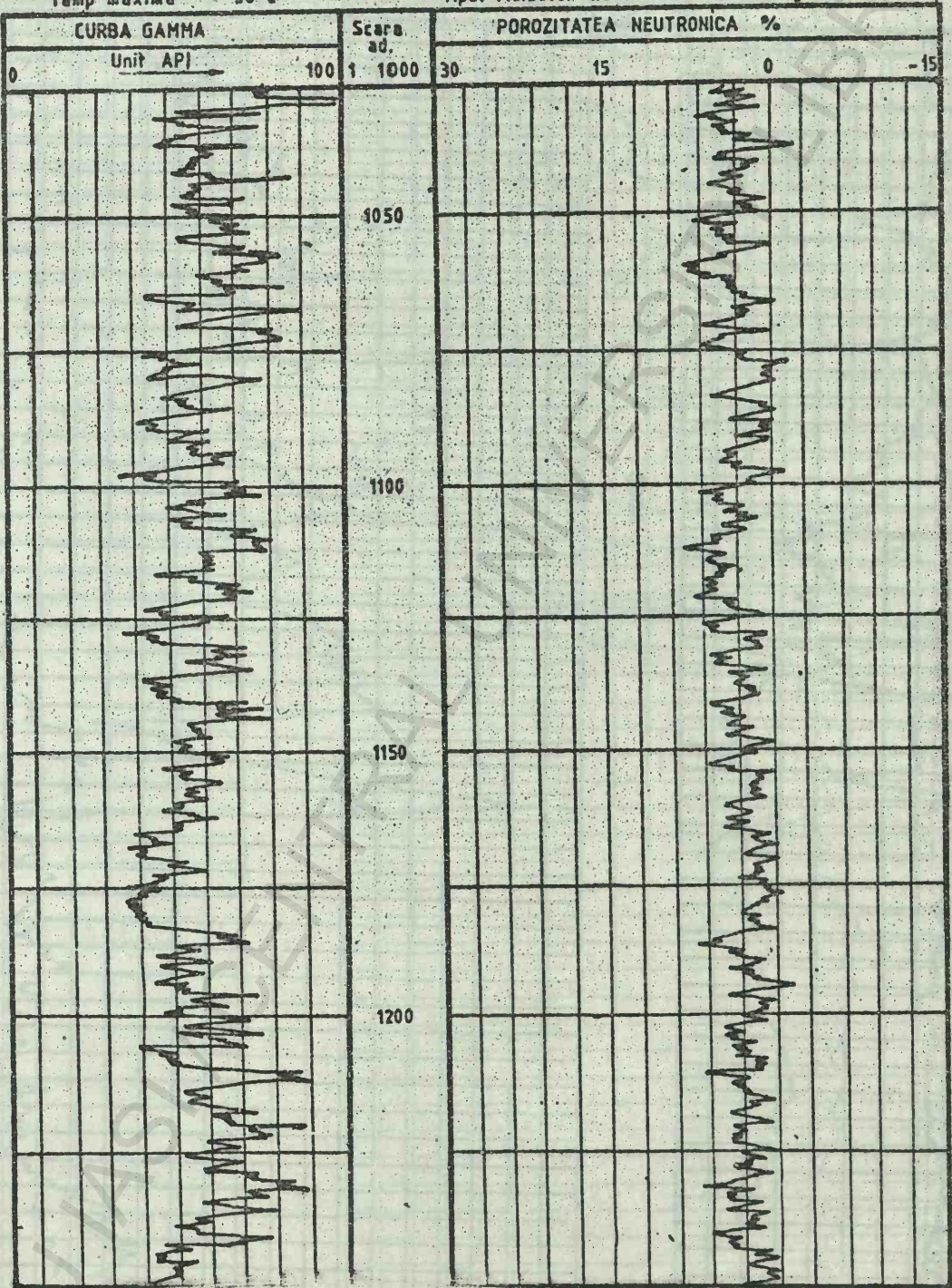


CAROTAJ NEUTRONIC COMPENSAT

SONDA L

Ad. finală 1275 m
Diametrul sapei: 311mm
Temp maximă 56°C

Tipul fluidului - noroi sarat c=2600kg sara/vagon



CAVERNOGRAMA

ADINCHIEA

CAROTAJ DE DENSITATE

SCARA 1:200

Diametrul găurii de sondă în toți

20

2,5

3

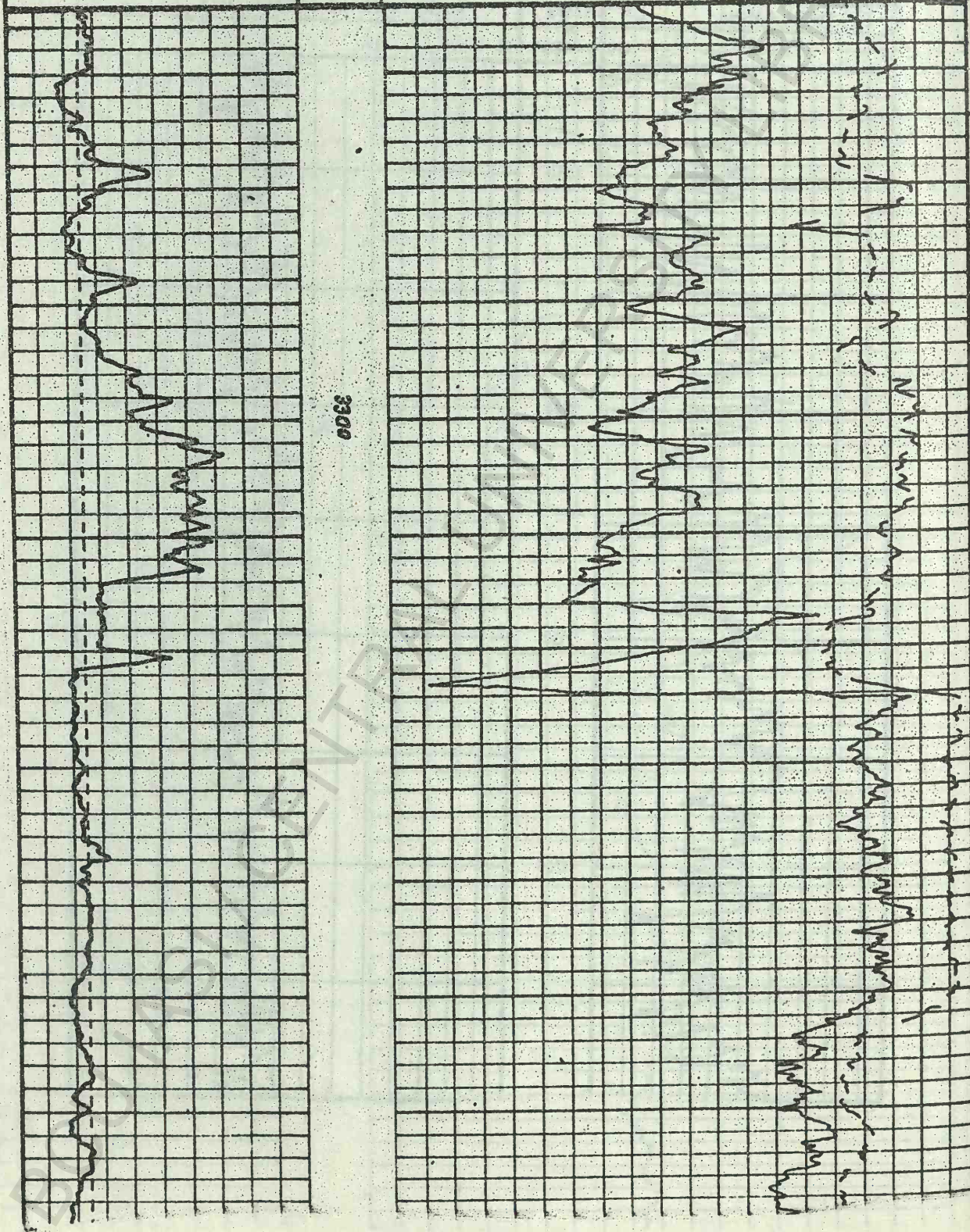
Δp

-0,5

0

+0,5

3300



Anexa B₁₅

ADINCIMEA
SCARA
1: 200

CAROTAJ ACUSTIC

140 μ sec/pic

Curba cu 2 receptori

40

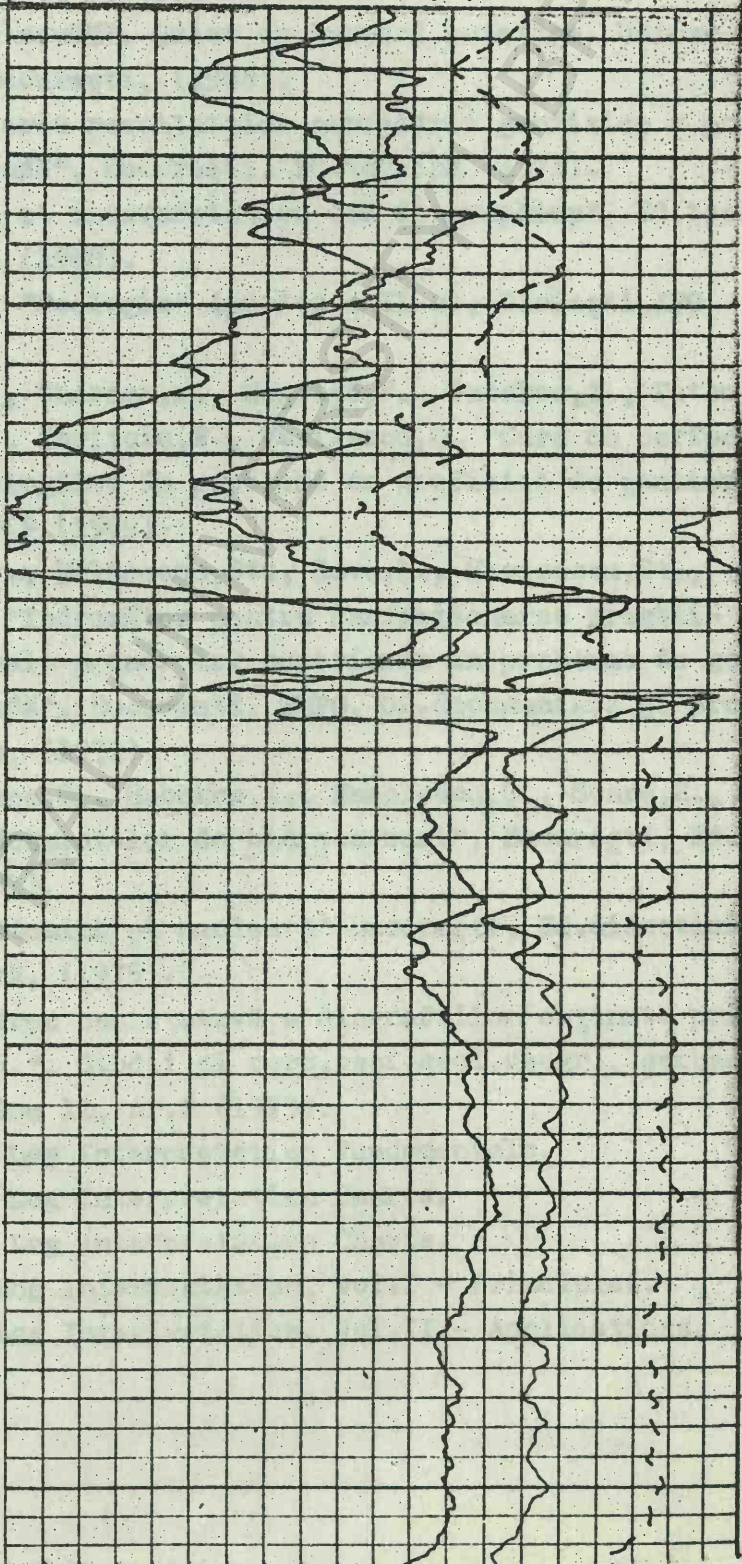
140 μ sec/pic

Curba cu 1 receptor

40

Timpul de parcurs în microsecunde pe picior

3000



CUPRINS

Introducere	I
I. Carotajul de rezistivitate aparentă	3
1.1. Rezistivitatea rocilor	3
1.2. Dependența rezistivitate-factor de formație-saturare	7
1.3. Fenomenul de invazie și influența lui asupra rezistivității rocii	12
1.4. Principiul metodelor de rezistivitate aparentă	16
II. Potențialul spontan sau natural	21
III. Carotajul electric	27
3.1. Carotajul electric standard	30
3.2. Carotajul electric special	35
Lucrarea nr.1 - Criterii de determinare a limitelor și grosimii stratelor poroase permeabile din carotajul electric standard	37
Lucrarea nr.2 - Determinarea rezistivității și concentrației apei de zăcămint	48
3.3. Metode cu microdispozitive	55
3.3.1. Microcarotajul electric convențional	55
3.3.2. Microcarotajul cu curenți focalizați (Micro-laterologul - MLL)	57
3.4. Cavernometria	58
Lucrarea nr.3 - Criterii de determinare a limitelor stratelor poroase-permeabile și a grosimii efective după diagrapia electrică cu microdispozitive și cavernometrie	61
Lucrarea nr.4 - Determinarea rezistivității subzonei spălate, ρ_{ic}	65
Lucrarea nr. 5- Determinarea porozității din diagrapia obținută cu microdispozitive	72
3.5. Carotaj electric lateral	74
Lucrarea nr.6 - Determinarea rezistivității reale, ρ_R , a rezistivității zonei inundate, ρ_i , și a diametrului de invazie, D_i , din carotajul electric lateral metoda D.R.R.	75

3.6. Carotajul electric cu curenți focalizați (laterolog) . . .	83
Lucrarea nr.7 - Determinarea rezistivității reale, ρ_R , din carotajul electric cu curenți focalizați - Laterolog 3 (LL ₃) sau Laterolog 7 (LL ₇)	88
3.7. Carotajul electric cu curenți focalizați dual-Dual laterolog (DLL)	90
Lucrarea nr.8 - Determinarea rezistivității reale, ρ_R , și a diametrului de invazie, D, din DLL	94
3.8. Carotajul electric de inducție	96
3.9. Carotajul inductiv + Laterolog (Dual-inducție-laterolog-DIL)	100
Lucrarea nr.9 - Determinarea rezistivității reale, ρ_R , din carotajul electric inductiv	102
Lucrarea nr.10 - Determinarea " ρ_R " și D după curbele carotajului "Dual inducție - laterolog"	107
IV. Carotajul radioactiv	109
4.1. Radioactivitatea naturală a rocilor	109
4.2. Radioactivitatea provocată	111
4.3. Metode radiometrice de cercetare a sondelor	117
1. Carotajul radioactivității gama-naturale	117
Lucrarea nr.11 - Determinarea grosimii și a limitelor stratelor poroase-permeabile după curba gama-naturală	120
Lucrarea nr.12 - Determinarea conținutului în argilă, V_{arg} , din diagrapia gama naturală	121
2. Carotajul neutronic	123
Lucrarea nr.13 - Determinarea porozității din carotajul neutronic	130
3. Carotajul de densitate gama-gama	132
Lucrarea nr.14 - Determinarea porozității din carotajul de densitate	136
V. Carotaj acustic	139
5.1. Carotajul acustic de viteză	
5.2. Carotajul acustic de cimentare	143
Lucrarea nr.15 - Determinarea porozității din carotajul acustic de viteză	143
Lucrarea nr.16 - Evaluarea porozității formațiunilor cu litologie complexă	150
VI. Determinarea conținutului în fluide și a coeficienților de saturație	154

VII. Măsurarea deviației orientate a sondelor și determinarea orientării instrumentelor de deviere în forajul dirijat	163
VIII. Modul de reprezentare pe diagrame a formațiunilor geologice	170
Anexe grafice.	176
Bibliografie	241

1984



INSTITUTUL DE PETROL SI GAZE
Central de multiplicare
Pentru uzul studenților

C-da nr. 485
Tiraj: 450 ex.
Preț : 29,75 lei

BCU IASI / CENTRAL UNIVERSITY LIBRARY

BCU IASI / CENTRAL UNIVERSITY LIBRARY

BU4852 FEB 1961